

การปรับปรุงสมบัติความเป็นฉนวนกันเสียงและการหน่วงการติดไฟของ
พอลิเมอร์ผสมระหว่างเอทิลีนไวนิลอะซิเตดกับอีลาสโตเมอร์

IMPROVEMENT OF SOUND INSULATION AND FLAME
RETARDATION PROPERTIES OF POLYMER BLEND BETWEEN
ETHYLENE VINYL ACETATE AND ELASTOMERS

เขมทัต เขียวหวาน

วิทยานิพนธ์นี้เป็นส่วนหนึ่งของการศึกษาตามหลักสูตร
ปริญญาวิศวกรรมศาสตรมหาบัณฑิต สาขาวิชาวิศวกรรมวัสดุ


คณะวิศวกรรมศาสตร์

มหาวิทยาลัยเทคโนโลยีราชมงคลธัญบุรี

ปีการศึกษา 2564

ลิขสิทธิ์ของมหาวิทยาลัยเทคโนโลยีราชมงคลธัญบุรี

การปรับปรุงสมบัติความเป็นฉนวนกันเสียงและการหน่วงการติดไฟของ
พอลิเมอร์ผสมระหว่างเอทิลีนไวนิลอะซิเตดกับอีลาสโตเมอร์



เขมทัต เขียวหวาน

วิทยานิพนธ์นี้เป็นส่วนหนึ่งของการศึกษาตามหลักสูตร
ปริญญาวิศวกรรมศาสตรมหาบัณฑิต สาขาวิชาวิศวกรรมวัสดุ

คณะวิศวกรรมศาสตร์

มหาวิทยาลัยเทคโนโลยีราชมงคลธัญบุรี

ปีการศึกษา 2564

ลิขสิทธิ์ของมหาวิทยาลัยเทคโนโลยีราชมงคลธัญบุรี

หัวข้อวิทยานิพนธ์

การปรับปรุงสมบัติความเป็นฉนวนกันเสียงและการหน่วงการติดไฟของ
พอลิเมอร์ผสมระหว่างเอทิลีนไวนิลอะซิเตดกับอีลาสโตเมอร์

Improvement of Sound Insulation and Flame Retardation
Properties of Polymer Blend between Ethylene Vinyl Acetate and
Elastomers

ชื่อ - นามสกุล

นายเชมทัต เขียวหวาน

สาขาวิชา

วิศวกรรมวัสดุ

อาจารย์ที่ปรึกษา

ผู้ช่วยศาสตราจารย์ฉันททิพ สกุลเชมฤทัย, Ph.D.


ปีการศึกษา


2564


คณะกรรมการสอบวิทยานิพนธ์


..... ประธานกรรมการ
(รองศาสตราจารย์สรพงษ์ ภาสุปรีย์, Ph.D.)



..... กรรมการ
(ผู้ช่วยศาสตราจารย์กัลทิมา เขาว์ชาญชัยกุล, ปร.ด.)


..... กรรมการ
(ผู้ช่วยศาสตราจารย์สุนนมาลย์ เนียมกลาง, Ph.D.)


..... กรรมการ
(อาจารย์อรรถพล สิมประดิษฐ์พันธุ์, ปร.ด.)


..... กรรมการ
(ผู้ช่วยศาสตราจารย์ฉันททิพ สกุลเชมฤทัย, Ph.D.)

คณะวิศวกรรมศาสตร์ มหาวิทยาลัยเทคโนโลยีราชมงคลธัญบุรี อนุมัติวิทยานิพนธ์ฉบับนี้เป็น
ส่วนหนึ่งของการศึกษาตามหลักสูตรปริญญาวิทยาศาสตรบัณฑิต


..... คณบดีคณะวิศวกรรมศาสตร์
(ผู้ช่วยศาสตราจารย์ศิวกร อ่างทอง, Ph.D.)

วันที่ 20 เดือน ตุลาคม พ.ศ. 2564

หัวข้อวิทยานิพนธ์	การปรับปรุงสมบัติความเป็นฉนวนกันเสียงและการหน่วงการติดไฟของพอลิเมอร์ผสมระหว่างเอทิลีนไวนิลอะซิเตดกับอีลาสโตเมอร์
ชื่อ - นามสกุล	นายเชมทัต เขียวหวาน
สาขาวิชา	วิศวกรรมวัสดุ
อาจารย์ที่ปรึกษา	ผู้ช่วยศาสตราจารย์ฉันททิพ สกุลเชมฤทัย, Ph.D.
ปีการศึกษา	2564

บทคัดย่อ

งานวิจัยนี้มีวัตถุประสงค์เพื่อพัฒนาสมบัติความเป็นฉนวนกันเสียงและสมบัติการหน่วงการติดไฟของเอทิลีนไวนิลอะซิเตด (EVA) ที่ใช้งานในอุตสาหกรรมรถยนต์ โดยในงานวิจัยนี้ นำเอทิลีนไวนิลอะซิเตดมาผสมกับอีลาสโตเมอร์ 2 ชนิด ได้แก่ ยางธรรมชาติ (NR) และยางสไตรีนบิวตาไดอีน (SBR) ที่อัตราส่วน เอทิลีนไวนิลอะซิเตด:อีลาสโตเมอร์ 30:70, 50:50 และ 70:30 โดยน้ำหนัก โดยใช้ซิลิกาที่ปริมาณ 10, 20 และ 30 phr และใยมะพร้าวยาว 3 มิลลิเมตรที่ปริมาณ 5, 10 และ 15 phr เพื่อเป็นสารเติมแต่งสำหรับปรับปรุงสมบัติความเป็นฉนวนกันเสียงของพอลิเมอร์ผสม และใช้อะลูมินาและเบนโทไนต์ที่ปริมาณ 10 30 และ 50 phr เพื่อเป็นสารเติมแต่งในการปรับปรุงสมบัติการหน่วงการติดไฟของพอลิเมอร์ผสม

ชิ้นงานทดสอบเตรียมโดยใช้เครื่องผสมสองลูกกลิ้งที่อุณหภูมิ 130 องศาเซลเซียส ในการผสมเอทิลีนไวนิลอะซิเตดกับอีลาสโตเมอร์ และผสมพอลิเมอร์ผสมกับสารเติมแต่ง จากนั้นนำพอลิเมอร์ผสมที่ได้มาขึ้นรูปที่อุณหภูมิ 130 องศาเซลเซียส โดยใช้เครื่องอัดขึ้นรูป ทดสอบสมบัติความเป็นฉนวนกันเสียง ความแข็ง ความทนต่อแรงดึง ความถ่วงจำเพาะและการหน่วงการติดไฟ โดยศึกษาเปรียบเทียบสมบัติของเอทิลีนไวนิลอะซิเตด กับพอลิเมอร์ผสมที่เตรียมได้ อันมีวัตถุประสงค์เพื่อทดแทนการใช้งานของเอทิลีนไวนิลอะซิเตดในอุตสาหกรรมการผลิตฉนวนกันเสียงในรถยนต์ ด้วยพอลิเมอร์ผสมจากงานวิจัยนี้ เพื่อลดต้นทุนการผลิตและเพิ่มมูลค่าให้วัสดุอีลาสโตเมอร์

ผลการทดลองพบว่าที่อัตราส่วน เอทิลีนไวนิลอะซิเตด:อีลาสโตเมอร์ 30:70, 50:50 และ 70:30 โดยน้ำหนัก แสดงค่าความถ่วงจำเพาะใกล้เคียงกับเอทิลีนไวนิลอะซิเตด (EVA) แต่ค่าความแข็ง ความทนต่อแรงดึง ระดับการส่งผ่านของเสียง (STC) และการหน่วงการติดไฟมีสมบัติลดลง การเติมซิลิกาที่ 20 phr ทำให้สมบัติความเป็นฉนวนกันเสียงของเอทิลีนไวนิลอะซิเตด:อีลาสโตเมอร์ ในอัตราส่วน 70:30 โดยน้ำหนัก มีค่าระดับการส่งผ่านของเสียงอยู่ที่ 33 ซึ่งมีค่าสูงกว่าเอทิลีนไวนิลอะซิเตด (EVA) โดยค่าความแข็งและความถ่วงจำเพาะใกล้เคียงกับเอทิลีนไวนิลอะซิเตด (EVA) สมบัติการหน่วงการติดไฟทำการทดสอบการลามไฟแวนอน (HB test) ผ่านตามมาตรฐาน ซึ่งมีค่าอัตราเร็วของการเผาไหม้ที่ช้ากว่าเอทิลีนไวนิลอะซิเตด (EVA) แต่ความทนต่อแรงดึงมีค่าน้อยกว่าเอทิลีนไวนิลอะซิเตด (EVA) จึงสรุปได้ว่าเอทิลีนไวนิลอะซิเตด:อีลาสโตเมอร์ในอัตราส่วน 70:30 โดยน้ำหนัก ที่มีการเติมซิลิกาที่ 20 phr สามารถนำไปผลิตเป็นฉนวนกันเสียงในรถยนต์ ทดแทนการใช้งานเอทิลีนไวนิลอะซิเตด เพื่อช่วยลดต้นทุนการผลิตและเพิ่มมูลค่าให้วัสดุอีลาสโตเมอร์ได้

คำสำคัญ: ฉนวนกันเสียง การหน่วงการติดไฟ เอทิลีนไวนิลอะซิเตด วัสดุอีลาสโตเมอร์

Thesis Title Improvement of Sound Insulation and Flame Retardation Properties of Polymer Blend between Ethylene Vinyl Acetate and Elastomers
Name – Surname Mr. Khemmathat Khiewwan
Program Materials Engineering
Thesis Advisor Assistant Professor Chuntip Sakulkhaemaruehai, Ph.D.
Academic Year 2021

ABSTRACT

This research aimed to improve sound insulation and flame retardation property of ethylene vinyl acetate (EVA) used in the automotive industry. In this research, ethylene vinyl acetate was mixed with two elastomers, natural rubber (NR) and styrene butadiene rubber (SBR) with the ratio of ethylene vinyl acetate: elastomer – 30:70, 50:50, and 70:30 by weight using 10, 20, and 30 phr of silica and 5, 10, and 15 phr of 3 mm coconut coir as additives for improving sound insulation property of polymer blend. Alumina and bentonite 10, 30, and 50 phr were used as additives to improve flame retardation property of polymer blend.

The specimens were prepared with the use of a two-roll mill at 130 °C for mixing ethylene vinyl acetate and elastomer and mixing polymer blend with additives. The polymer blend was then formed at 130 °C using a compression molding. Sound insulation property, hardness, tensile strength, specific gravity, and flame retardation were tested by comparative study of the properties of ethylene vinyl acetate with the prepared polymer blend with the purpose of replacing the use of ethylene vinyl acetate in sound insulation manufacturing of automotive industry with the polymer blend from this research, in order to reduce production costs and add value to elastomer.

The research results showed that the ratio of ethylene vinyl acetate: elastomer – 30:70, 50:50, and 70:30 by weight showed similar specific gravity to that of ethylene vinyl acetate (EVA) but it has lower hardness, tensile strength, sound transmission class (STC), and flame retardation property. The addition of silica at 20 phr resulted in the sound insulation property of ethylene vinyl acetate: elastomer at the ratio of 70:30 by weight to sound transmission class of 33 which is higher than ethylene vinyl acetate (EVA). Hardness and specific gravity are similar to ethylene vinyl acetate (EVA). Flame retardation property was tested using horizontal burning test (HB). It passed the standard which has a slower combustion speed than ethylene vinyl acetate (EVA), but tensile strength is less than ethylene vinyl acetate (EVA). It can be concluded that ethylene vinyl acetate: elastomer at a ratio of 70:30 by weight with the addition of silica at 20 phr can be used to produce sound insulation in cars for substituting ethylene vinyl acetate, in order to reduce production costs and add value to elastomer.

Keywords: sound insulator, flame retardation, ethylene vinyl acetate, elastomer

กิตติกรรมประกาศ

วิทยานิพนธ์ฉบับนี้จะสำเร็จลุล่วงไปได้ด้วยดี ด้วยความช่วยเหลือ ความเมตตาอนุเคราะห์ อุปกรณ์ คำแนะนำและคำปรึกษาอย่างดียิ่ง จากบุคคล องค์กรและหน่วยงานต่างๆ จึงกราบขอบพระคุณทุกท่านดังรายนามต่อไปนี้

ขอขอบคุณอาจารย์ที่ปรึกษาวิทยานิพนธ์ ผู้ช่วยศาสตราจารย์ ดร.ฉันททิพ สกุลขมฤทัย ที่ให้คำปรึกษา แนวทางในการแก้ปัญหาต่างๆ และติดตามตลอดจนวิทยานิพนธ์ฉบับนี้สำเร็จลุล่วงไปได้ด้วยดี

ขอขอบคุณคณะกรรมการสอบประกอบด้วยรองศาสตราจารย์ ดร.สรพงษ์ ภาวสุปรีย์ ผู้ช่วยศาสตราจารย์ ดร.สุมนมาลย์ เนียมกลาง ดร.อรรถพล สิมประดิษฐ์พันธ์ และผู้ทรงคุณวุฒิภายนอก ผู้ช่วยศาสตราจารย์ ดร.กัลทิมา เขาว์ชาญชัยกุล คณะวิทยาศาสตร์และเทคโนโลยี มหาวิทยาลัยเทคโนโลยีราชมงคลพระนคร ที่ให้คำแนะนำและแก้ไขวิทยานิพนธ์ฉบับนี้จนเสร็จสมบูรณ์

ขอขอบคุณการสนับสนุนจากสำนักงานคณะกรรมการส่งเสริมวิทยาศาสตร์วิจัยและนวัตกรรม (สกสว.) บริษัท ยูนิโพรเมนูแพคเจอรัง จำกัด ที่ให้ความอนุเคราะห์วัสดุที่ใช้ในการทดลอง การใช้เครื่องมือและเครื่องทดสอบ

ขอขอบคุณการสนับสนุนจากบุคลากรและหน่วยงานของมหาวิทยาลัยเทคโนโลยีราชมงคลธัญบุรี ที่อำนวยความสะดวกเรื่องการใช้วัสดุในการทดลอง การใช้เครื่องมือ เครื่องทดสอบและสถานที่

สุดท้ายนี้ขอขอบคุณครอบครัวและเพื่อนอันเป็นที่รักยิ่ง ผู้ที่คอยให้การสนับสนุนในด้านการศึกษา กำลังใจ กำลังทรัพย์ จนกระทั่งสำเร็จการศึกษา ผู้วิจัยหวังเป็นอย่างยิ่งว่า วิทยานิพนธ์เล่มนี้จะเป็นประโยชน์ต่อผู้ที่สนใจ หากวิทยานิพนธ์นี้ขาดตกบกพร่อง หรือไม่สมบูรณ์ประการใด ผู้วิจัยขอกราบขออภัยมา ณ ที่นี้ด้วย

เชมทัต เขียวหวาน

สารบัญ

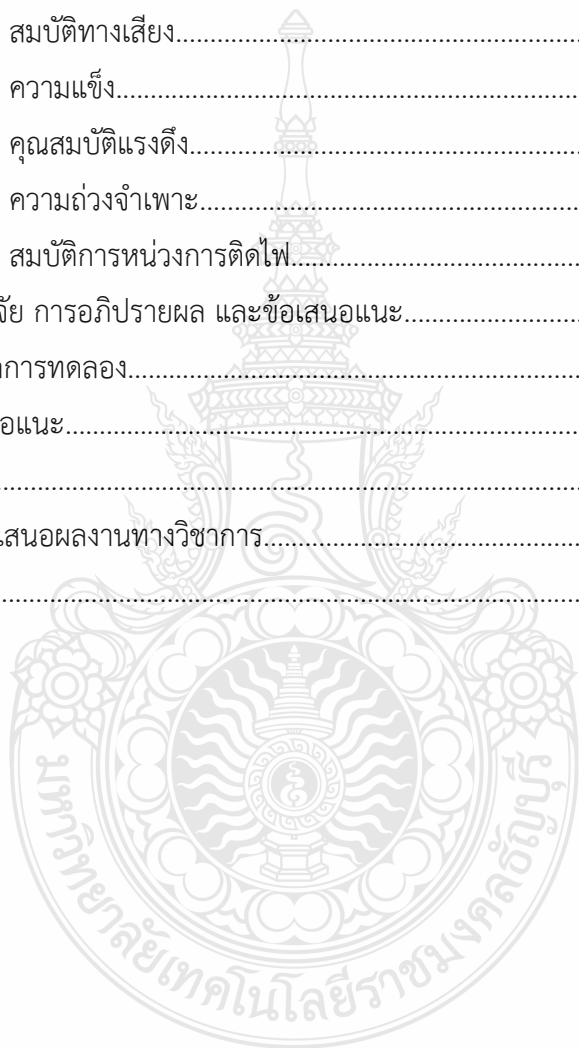
	หน้า
บทคัดย่อภาษาไทย.....	(3)
บทคัดย่อภาษาอังกฤษ.....	(4)
กิตติกรรมประกาศ.....	(5)
สารบัญ.....	(6)
สารบัญตาราง.....	(9)
สารบัญรูป.....	(10)
บทที่ 1 บทนำ.....	16
1.1 ความเป็นมาและความสำคัญของปัญหา.....	16
1.2 วัตถุประสงค์ของการวิจัย.....	17
1.3 ขอบเขตการศึกษา.....	17
1.4 ประโยชน์ที่คาดว่าจะได้รับ.....	17
บทที่ 2 เอกสารและงานวิจัยที่เกี่ยวข้อง.....	18
2.1 เสียงและมลภาวะทางเสียง.....	18
2.2 ฉนวนกันเสียง (Sound Insulation).....	22
2.3 พลาสติกเอทิลีนไวนิลแอซีเตด (Ethylene vinyl acetate ; EVA).....	26
2.4 ยางสไตรีนบิวตาไดอีน (Styrene-Butadiene Rubber ; SBR).....	27
2.5 ยางธรรมชาติ Natural Rubber (NR).....	29
2.6 ซิลิกา (Silica).....	30
2.7 เส้นใยมะพร้าว.....	31
2.8 การต้านการติดไฟ.....	32
2.9 อะลูมินา (Alumina).....	33
2.10 เบนโทไนท์ (Bentonite).....	33
2.11 งานวิจัยที่เกี่ยวข้อง.....	34
บทที่ 3 วิธีดำเนินการวิจัย.....	40

สารบัญ (ต่อ)

	หน้า
3.1 วัสดุสารเคมี อุปกรณ์ และเครื่องมือที่ใช้ในการวิจัย	40
3.2 แผนผังขั้นตอนการดำเนินงาน.....	41
3.3 วิธีการดำเนินงาน.....	45
บทที่ 4 ผลการทดลองและวิเคราะห์ผลการทดสอบ.....	49
4.1 ผลของซิลิกาที่มีผลต่อสมบัติทางเสียงของพอลิเมอร์ผสมระหว่างเอทิลีนไวนิลอะซิเตดกับวัสดุอิลาสโตเมอร์.....	50
4.1.1 สมบัติทางเสียง.....	50
4.1.2 ความแข็ง.....	52
4.1.3 คุณสมบัติแรงดึง.....	54
4.1.4 ความถ่วงจำเพาะ.....	63
4.1.5 สมบัติการหน่วงการตีไฟ.....	65
4.2 ผลของใยธรรมชาติที่มีผลต่อสมบัติทางเสียงของพอลิเมอร์ผสมระหว่างเอทิลีนไวนิลอะซิเตดกับวัสดุอิลาสโตเมอร์.....	68
4.2.1 สมบัติทางเสียง.....	68
4.2.1 ความแข็ง.....	71
4.2.3 คุณสมบัติแรงดึง.....	73
4.2.4 ความถ่วงจำเพาะ.....	80
4.2.5 สมบัติการหน่วงการตีไฟ.....	82
4.3 ผลของสารหน่วงไฟอะลูมินาที่มีผลต่อสมบัติทางเสียงของพอลิเมอร์ผสมระหว่างเอทิลีนไวนิลอะซิเตดผสมกับวัสดุอิลาสโตเมอร์.....	84
4.2.1 สมบัติทางเสียง.....	84
4.2.1 ความแข็ง.....	87
4.2.3 คุณสมบัติแรงดึง.....	89
4.2.4 ความถ่วงจำเพาะ.....	95

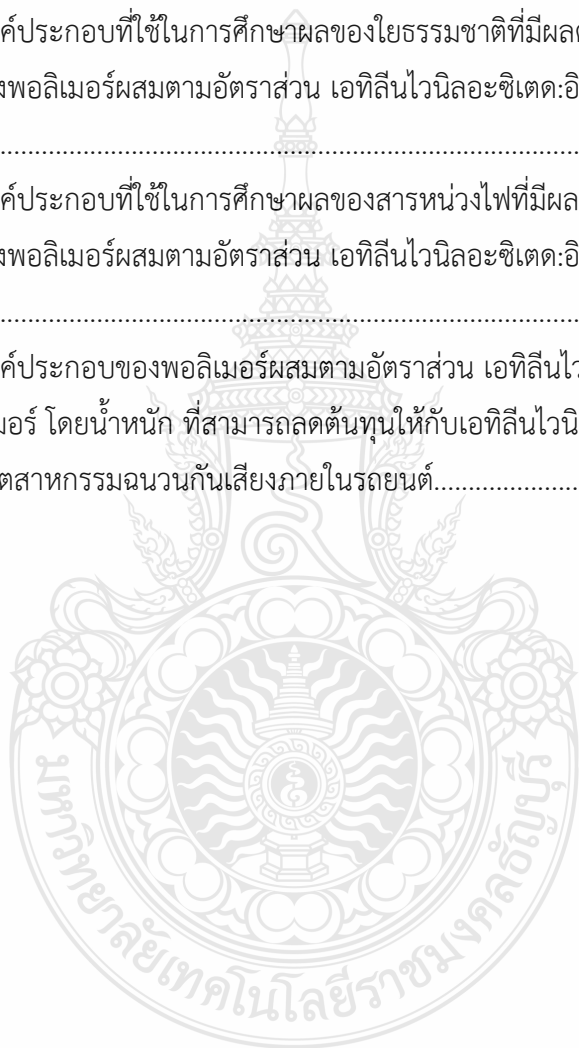
สารบัญ (ต่อ)

	หน้า
4.2.5 สมบัติการหน่วงการตีไฟ.....	97
4.4 ผลของสารหน่วงไฟเบนโทไนท์ที่มีผลต่อสมบัติทางเสียงของพอลิเมอร์	
ผสมระหว่างเอทิลีนไวนิลอะซิเตดผสมกับวัสดุอิลาสโตเมอร์.....	101
4.4.1 สมบัติทางเสียง.....	101
4.4.2 ความแข็ง.....	103
4.4.3 คุณสมบัติแรงดึง.....	105
4.4.4 ความถ่วงจำเพาะ.....	111
4.4.5 สมบัติการหน่วงการตีไฟ.....	113
บทที่ 5 สรุปผลการวิจัย การอภิปรายผล และข้อเสนอแนะ.....	117
5.1 สรุปผลการทดลอง.....	117
5.2 ข้อเสนอแนะ.....	126
บรรณานุกรม.....	127
ภาคผนวก ก. การนำเสนอผลงานทางวิชาการ.....	130
ประวัติผู้เขียน.....	145



สารบัญตาราง

	หน้า
ตารางที่ 2.1 ตารางสรุปงานวิจัย	35
ตารางที่ 3.1 แสดงองค์ประกอบที่ใช้ในการศึกษาผลของซิลิกาที่มีผลต่อสมบัติทางเสียงของ พอลิเมอร์ผสมตามอัตราส่วน เอทิลีนไวนิลอะซิเตด:อีลาสโตเมอร์ โดยน้ำหนัก...	45
ตารางที่ 3.2 แสดงองค์ประกอบที่ใช้ในการศึกษาผลของใยธรรมชาติที่มีผลต่อสมบัติทาง เสียงของพอลิเมอร์ผสมตามอัตราส่วน เอทิลีนไวนิลอะซิเตด:อีลาสโตเมอร์ โดย น้ำหนัก.....	46
ตารางที่ 3.3 แสดงองค์ประกอบที่ใช้ในการศึกษาผลของสารหน่วงไฟที่มีผลต่อสมบัติทาง เสียงของพอลิเมอร์ผสมตามอัตราส่วน เอทิลีนไวนิลอะซิเตด:อีลาสโตเมอร์ โดย น้ำหนัก.....	46
ตารางที่ 5.1 แสดงองค์ประกอบของพอลิเมอร์ผสมตามอัตราส่วน เอทิลีนไวนิลอะซิเตด:อี ลาสโตเมอร์ โดยน้ำหนัก ที่สามารถลดต้นทุนให้กับเอทิลีนไวนิลอะซิเตดที่ใช้ งานในอุตสาหกรรมฉนวนกันเสียงภายในรถยนต์.....	125



สารบัญรูป

	หน้า
รูปที่ 2.1 รูปการณ์แสดงปรากฏการณ์ของเสียงที่กระทบผนัง.....	23
รูปที่ 2.2 มุมตกกระทบ	24
รูปที่ 2.3 การกระจัดกระจายของเสียงเมื่อกระทบกับพื้นผิวขรุขระ	25
รูปที่ 2.4 กระบวนการผลิตเม็ดพลาสติกเอทิลีนไวนิลอะซิเตต	26
รูปที่ 3.1 แผนผังขั้นตอนการดำเนินงานขั้นตอนที่ 1 แสดงองค์ประกอบที่ใช้ในการศึกษาผลของซิลิกาที่มีผลต่อสมบัติทางเสียงของพอลิเมอร์ผสมระหว่างเอทิลีนไวนิลอะซิเตตกับวัสดุอีลาสโตเมอร์.....	42
รูปที่ 3.2 แผนผังขั้นตอนการดำเนินงานในขั้นตอนที่ 2 แสดงองค์ประกอบที่ใช้ในการศึกษาผลของใยธรรมชาติที่มีผลต่อสมบัติทางเสียงของพอลิเมอร์ผสมระหว่างเอทิลีนไวนิลอะซิเตตกับวัสดุอีลาสโตเมอร์.....	43
รูปที่ 3.3 แผนผังขั้นตอนการดำเนินงานในขั้นตอนที่ 3 แสดงองค์ประกอบที่ใช้ในการศึกษาผลของสารหน่วงไฟที่มีผลต่อสมบัติทางเสียงของพอลิเมอร์ผสมระหว่างเอทิลีนไวนิลอะซิเตตผสมกับวัสดุอีลาสโตเมอร์.....	44
รูปที่ 4.1 กราฟแสดงค่าระดับการส่งผ่านของเสียง (STC) ของพอลิเมอร์ผสมระหว่างเอทิลีนไวนิลอะซิเตตกับยางธรรมชาติที่มีการเติมซิลิกา.....	50
รูปที่ 4.2 กราฟแสดงค่าระดับการส่งผ่านของเสียง (STC) ของเอทิลีนไวนิลอะซิเตตผสมยางสไตรีนบิวตาไดอีนที่มีการเติมซิลิกา.....	51
รูปที่ 4.3 กราฟแสดงค่าความแข็ง (Hardness) ของเอทิลีนไวนิลอะซิเตตผสมยางธรรมชาติที่มีการเติมซิลิกา.....	52
รูปที่ 4.4 กราฟแสดงค่าความแข็ง (Hardness) ของเอทิลีนไวนิลอะซิเตตผสมยางสไตรีนบิวตาไดอีนที่มีการเติมซิลิกา.....	53
รูปที่ 4.5 กราฟแสดงค่ามอดุลัสของเอทิลีนไวนิลอะซิเตตผสมยางธรรมชาติที่มีการเติมซิลิกา.....	54
รูปที่ 4.6 ลักษณะสัณฐานวิทยาของเทอร์โมพลาสติกอีลาสโตเมอร์ที่ได้จากกระบวนการเบลนค์ระหว่าง polymer และ elastomer.....	55

สารบัญรูป (ต่อ)

	หน้า
รูปที่ 4.7 กราฟแสดงค่ามอดุลัสของเอทิลีนไวนิลอะซิเตดผสมยางสไตรีนบิวตาไดอีนที่มีการเติมซิลิกา.....	56
รูปที่ 4.8 กราฟแสดงค่าความทนต่อแรงดึง (Tensile strength) ของเอทิลีนไวนิลอะซิเตดผสมยางธรรมชาติที่มีการเติมซิลิกา	58
รูปที่ 4.9 กราฟแสดงค่าความทนต่อแรงดึง (Tensile strength) ของเอทิลีนไวนิลอะซิเตดผสมยางสไตรีนบิวตาไดอีนที่มีการเติมซิลิกา.....	59
รูปที่ 4.10 กราฟแสดงค่าการยืดตัว ณ จุดขาด (Elongation at break) ของเอทิลีนไวนิลอะซิเตดผสมยางธรรมชาติที่มีการเติมซิลิกา.....	61
รูปที่ 4.11 กราฟแสดงค่าการยืดตัว ณ จุดขาด (Elongation at break) ของเอทิลีนไวนิลอะซิเตดผสมยางสไตรีนบิวตาไดอีนที่มีการเติมซิลิกา.....	62
รูปที่ 4.12 กราฟแสดงค่าความถ่วงจำเพาะ (Specific gravity) ของเอทิลีนไวนิลอะซิเตดผสมยางธรรมชาติที่มีการเติมซิลิกา.....	63
รูปที่ 4.13 กราฟแสดงค่าความถ่วงจำเพาะ (Specific gravity) ของเอทิลีนไวนิลอะซิเตดผสมยางสไตรีนบิวตาไดอีนที่มีการเติมซิลิกา.....	64
รูปที่ 4.14 กราฟแสดงค่าอัตราเร็วของการเผาไหม้ (Burning Rate) ของเอทิลีนไวนิลอะซิเตดผสมยางธรรมชาติที่มีการเติมซิลิกา.....	65
รูปที่ 4.15 กลไกการหน่วงการติดไฟของซิลิกา.....	66
รูปที่ 4.16 กราฟแสดงค่าอัตราเร็วของการเผาไหม้ (Burning Rate) ของเอทิลีนไวนิลอะซิเตดผสมยางสไตรีนบิวตาไดอีนที่มีการเติมซิลิกา.....	67
รูปที่ 4.17 กราฟแสดงค่าระดับการส่งผ่านของเสียง (STC) ของพอลิเมอร์ผสมระหว่างเอทิลีนไวนิลอะซิเตดกับยางธรรมชาติที่มีการเติมใยมะพร้าวยาว 3 มิลลิเมตร.....	68
รูปที่ 4.18 แสดงช่องว่างของผนังเซลล์ที่เป็นรูพรุนในเซลล์ลูลอส.....	69
รูปที่ 4.19 กราฟแสดงค่าระดับการส่งผ่านของเสียง (STC) ของพอลิเมอร์ผสมระหว่างเอทิลีนไวนิลอะซิเตดกับยางสไตรีนบิวตาไดอีนที่มีการเติมใยมะพร้าวยาว 3 มิลลิเมตร.....	70

สารบัญรูป (ต่อ)

	หน้า
รูปที่ 4.20 กราฟแสดงค่าความแข็ง (Hardness) ของเอทิลีนไวนิลอะซิเตดผสมยางธรรมชาติ ที่มีการเติมใยมะพร้าวยาว 3 มิลลิเมตร.....	71
รูปที่ 4.21 กราฟแสดงค่าความแข็ง (Hardness) ของเอทิลีนไวนิลอะซิเตดและยางสไตรีนบิว ตาไดอินที่เติมเส้นใยมะพร้าวยาว 3 มิลลิเมตร.....	72
รูปที่ 4.22 กราฟแสดงค่ามอดุลัสของพอลิเมอร์ผสมระหว่างเอทิลีนไวนิลอะซิเตดผสมยาง ธรรมชาติที่เติมใยมะพร้าวยาว 3 มิลลิเมตร.....	73
รูปที่ 4.23 กราฟแสดงค่ามอดุลัส (Modulus) ของพอลิเมอร์ผสมระหว่างเอทิลีนไวนิลอะซิ เตดผสมยางสไตรีนบิวตาไดอินที่เติมใยมะพร้าวยาว 3 มิลลิเมตร.....	74
รูปที่ 4.24 กราฟแสดงค่าความทนต่อแรงดึง (Tensile strength) ของพอลิเมอร์ผสม ระหว่างเอทิลีนไวนิลอะซิเตดกับยางธรรมชาติ โดยใช้ใยมะพร้าวยาว 3 มิลลิเมตร.	75
รูปที่ 4.25 กราฟแสดงค่าความทนต่อแรงดึง (Tensile strength) ของพอลิเมอร์ผสม ระหว่างเอทิลีนไวนิลอะซิเตดกับยางสไตรีนบิวตาไดอินโดยใช้ใยมะพร้าวยาว 3 มิลลิเมตร.....	76
รูปที่ 4.26 กราฟแสดงค่าการยืดตัว ณ จุดขาด (Elongation at break) ของพอลิเมอร์ผสม ระหว่างเอทิลีนไวนิลอะซิเตดกับยางธรรมชาติ โดยใช้ใยมะพร้าวยาว 3 มิลลิเมตร.	78
รูปที่ 4.27 กราฟแสดงค่าการยืดตัว ณ จุดขาด (Elongation at break) ของเอทิลีนไวนิลอะ ซิเตดผสมยางสไตรีนบิวตาไดอินที่เติมใยมะพร้าวยาว 3 มิลลิเมตร.....	79
รูปที่ 4.28 กราฟแสดงค่าความถ่วงจำเพาะ(Specific gravity) ของเอทิลีนไวนิลอะซิเตดผสม ยางธรรมชาติที่เติมใยมะพร้าวยาว 3 มิลลิเมตร.....	80
รูปที่ 4.29 กราฟแสดงค่าความถ่วงจำเพาะ(Specific gravity) ของเอทิลีนไวนิลอะซิเตดผสม ยางสไตรีนบิวตาไดอินที่เติมใยมะพร้าวยาว 3 มิลลิเมตร.....	81
รูปที่ 4.30 กราฟแสดงค่าอัตราเร็วของการเผาไหม้ (Burning Rate) ของเอทิลีนไวนิลอะซิ เตดผสมยางธรรมชาติที่เติมใยมะพร้าวยาว 3 มิลลิเมตร.....	82
รูปที่ 4.31 กราฟแสดงค่าอัตราเร็วของการเผาไหม้ (Burning Rate) ของยางสไตรีนบิวตาได อินผสมใยมะพร้าวยาว 3 มิลลิเมตร.....	83

สารบัญรูป (ต่อ)

	หน้า
รูปที่ 4.32 กราฟแสดงค่าระดับการส่งผ่านของเสียง (STC) ของพอลิเมอร์ผสมระหว่างเอทิลีนไวนิลอะซิเตดกับยางธรรมชาติที่มีการเติมสารหน่วงไฟอะลูมินา.....	84
รูปที่ 4.33 กราฟแสดงค่าระดับการส่งผ่านของเสียง (STC) ของพอลิเมอร์ผสมระหว่างเอทิลีนไวนิลอะซิเตดกับยางสไตรีนบิวตาไดอินที่มีการเติมสารหน่วงไฟอะลูมินา.....	85
รูปที่ 4.34 กราฟแสดงค่าความแข็ง (Hardness) ของพอลิเมอร์ผสมระหว่างเอทิลีนไวนิลอะซิเตดกับยางธรรมชาติที่มีการเติมสารหน่วงไฟอะลูมินา.....	87
รูปที่ 4.35 กราฟแสดงค่าความแข็ง (Hardness) ของพอลิเมอร์ผสมระหว่างเอทิลีนไวนิลอะซิเตดกับยางสไตรีนบิวตาไดอินที่มีการเติมสารหน่วงไฟอะลูมินา.....	88
รูปที่ 4.36 กราฟแสดงค่ามอดุลัส (Modulus) ของพอลิเมอร์ผสมระหว่างเอทิลีนไวนิลอะซิเตดกับยางธรรมชาติที่มีการเติมสารหน่วงไฟอะลูมินา.....	89
รูปที่ 4.37 กราฟแสดงค่ามอดุลัส (Modulus) ของพอลิเมอร์ผสมระหว่างเอทิลีนไวนิลอะซิเตดกับยางสไตรีนบิวตาไดอินที่มีการเติมสารหน่วงไฟอะลูมินา.....	90
รูปที่ 4.38 กราฟแสดงค่าการทดสอบแรงดึง (Tensile strength) ของพอลิเมอร์ผสมระหว่างเอทิลีนไวนิลอะซิเตดกับยางธรรมชาติที่มีการเติมสารหน่วงไฟอะลูมินา.....	91
รูปที่ 4.39 กราฟแสดงค่าการทดสอบแรงดึง (Tensile strength) ของพอลิเมอร์ผสมระหว่างเอทิลีนไวนิลอะซิเตดกับยางสไตรีนบิวตาไดอินที่มีการเติมสารหน่วงไฟอะลูมินา....	92
รูปที่ 4.40 กราฟแสดงค่าการยืดตัว ณ จุดขาด (Elongation at break) ของพอลิเมอร์ผสมระหว่างเอทิลีนไวนิลอะซิเตดกับยางธรรมชาติที่มีการเติมสารหน่วงไฟอะลูมินา.....	93
รูปที่ 4.41 กราฟแสดงค่าการยืดตัว ณ จุดขาด (Elongation at break) ของพอลิเมอร์ผสมระหว่างเอทิลีนไวนิลอะซิเตดกับยางสไตรีนบิวตาไดอินที่มีการเติมสารหน่วงไฟอะลูมินา.....	94
รูปที่ 4.42 กราฟแสดงความถ่วงจำเพาะ (Specific gravity) ของพอลิเมอร์ผสมระหว่างเอทิลีนไวนิลอะซิเตดกับยางธรรมชาติที่มีการเติมสารหน่วงไฟอะลูมินา.....	95
รูปที่ 4.43 กราฟแสดงความถ่วงจำเพาะ (Specific gravity) ของพอลิเมอร์ผสมระหว่างเอทิลีนไวนิลอะซิเตดกับยางสไตรีนบิวตาไดอินที่มีการเติมสารหน่วงไฟอะลูมินา....	96

สารบัญรูป (ต่อ)

	หน้า
รูปที่ 4.44 กราฟแสดงค่าอัตราเร็วของการเผาไหม้ (Burning Rate) ของพอลิเมอร์ผสมระหว่างเอทิลีนไวนิลอะซิเตดกับยางธรรมชาติที่มีการเติมสารหน่วงไฟอะลูมินา.....	97
รูปที่ 4.45 กลไกการหน่วงการติดไฟอะลูมินา.....	98
รูปที่ 4.46 กราฟแสดงค่าอัตราเร็วของการเผาไหม้ (Burning Rate) ของพอลิเมอร์ผสมระหว่างเอทิลีนไวนิลอะซิเตดกับยางสไตรีนบิวตาไดอีนที่มีการเติมสารหน่วงไฟอะลูมินา.....	99
รูปที่ 4.47 กราฟแสดงค่าระดับการส่งผ่านของเสียง (STC) ของพอลิเมอร์ผสมระหว่างเอทิลีนไวนิลอะซิเตดกับยางธรรมชาติที่มีการเติมสารหน่วงไฟเบนโทไนท์.....	101
รูปที่ 4.48 กราฟแสดงค่าระดับการส่งผ่านของเสียง (STC) ของพอลิเมอร์ผสมระหว่างเอทิลีนไวนิลอะซิเตดกับยางสไตรีนบิวตาไดอีนที่มีการเติมสารหน่วงไฟเบนโทไนท์....	102
รูปที่ 4.49 กราฟแสดงค่าความแข็ง (Hardness) ของพอลิเมอร์ผสมระหว่างเอทิลีนไวนิลอะซิเตดกับยางธรรมชาติที่มีการเติมสารหน่วงไฟเบนโทไนท์.....	103
รูปที่ 4.50 กราฟแสดงค่าความแข็ง (Hardness) ของพอลิเมอร์ผสมระหว่างเอทิลีนไวนิลอะซิเตดกับยางสไตรีนบิวตาไดอีนที่มีการเติมสารหน่วงไฟเบนโทไนท์.....	104
รูปที่ 4.51 กราฟแสดงค่ามอดุลัส (Modulus) ของพอลิเมอร์ผสมระหว่างเอทิลีนไวนิลอะซิเตดกับยางธรรมชาติที่มีการเติมสารหน่วงไฟเบนโทไนท์.....	105
รูปที่ 4.52 กราฟแสดงค่ามอดุลัส (Modulus) ของพอลิเมอร์ผสมระหว่างเอทิลีนไวนิลอะซิเตดกับยางสไตรีนบิวตาไดอีนที่มีการเติมสารหน่วงไฟเบนโทไนท์.....	106
รูปที่ 4.53 กราฟแสดงค่าความทนต่อแรงดึง (Tensile strength) ของพอลิเมอร์ผสมระหว่างเอทิลีนไวนิลอะซิเตดกับยางธรรมชาติที่มีการเติมสารหน่วงไฟเบนโทไนท์..	107
รูปที่ 4.54 กราฟแสดงค่าการทดสอบแรงดึง (Tensile strength) ของพอลิเมอร์ผสมระหว่างเอทิลีนไวนิลอะซิเตดกับยางสไตรีนบิวตาไดอีนที่มีการเติมสารหน่วงไฟเบนโทไนท์.	108
รูปที่ 4.55 กราฟแสดงค่าการยืดตัว ณ จุดขาด (Elongation at break) ของพอลิเมอร์ผสมระหว่างเอทิลีนไวนิลอะซิเตดกับยางธรรมชาติที่มีการเติมสารหน่วงไฟเบนโทไนท์..	109

สารบัญรูป (ต่อ)

	หน้า
รูปที่ 4.56 กราฟแสดงค่าการยืดตัว ณ จุดขาด (Elongation at break) ของพอลิเมอร์ผสมระหว่างเอทิลีนไวนิลอะซิเตดกับยางสไตรีนบิวตาไดอีนที่มีการเติมสารหน่วงไฟเบนโทไนท์.....	110
รูปที่ 4.57 กราฟแสดงความถ่วงจำเพาะ (Specific gravity) ของพอลิเมอร์ผสมระหว่างเอทิลีนไวนิลอะซิเตดกับยางธรรมชาติที่มีการเติมสารหน่วงไฟเบนโทไนท์.....	111
รูปที่ 4.58 กราฟแสดงความถ่วงจำเพาะ (Specific gravity) ของพอลิเมอร์ผสมระหว่างเอทิลีนไวนิลอะซิเตดกับยางสไตรีนบิวตาไดอีนที่มีการเติมสารหน่วงไฟเบนโทไนท์.	112
รูปที่ 4.59 กราฟแสดงค่าการทดสอบอัตราเร็วของการเผาไหม้ (Horizontal Burning Test) ของพอลิเมอร์ผสมระหว่างเอทิลีนไวนิลอะซิเตดกับยางธรรมชาติที่มีการเติมสารหน่วงไฟเบนโทไนท์.....	113
รูปที่ 4.60 กลไกการหน่วงการติดไฟของเบนโทไนท์.....	114
รูปที่ 4.61 กราฟแสดงค่าการทดสอบอัตราเร็วของการเผาไหม้ (Horizontal Burning Test) ของพอลิเมอร์ผสมระหว่างเอทิลีนไวนิลอะซิเตดกับยางสไตรีนบิวตาไดอีนที่มีการเติมสารหน่วงไฟเบนโทไนท์.....	115



บทที่ 1

บทนำ

1.1 ความสำคัญและที่มาของปัญหา

ในปัจจุบันปัญหาเรื่องเสียงรบกวนจากสิ่งแวดล้อมภายนอกรถยนต์ที่เล็ดลอดเข้ามาในห้องโดยสาร ไม่ว่าจะเป็นเสียงลม เสียงยาง เสียงเครื่องยนต์ ฯลฯ มักเป็นปัญหาที่สร้างความรำคาญให้ผู้ใช้รถยนต์เป็นอย่างมาก ทำให้เกิดเสียงรบกวนในขณะขับรถ ซึ่งสร้างความไม่สบายใจและผู้โดยสาร อาจทำให้เกิดอุบัติเหตุได้ [1] จึงได้มีการคิดค้นแผ่นดูดซับเสียงที่ทำมาจากยางมะตอย เพื่อช่วยในการลดเสียงที่เข้ามาในห้องโดยสาร เรียกกันว่าแผ่นแดมป์ ซึ่งมีสมบัติในการกันเสียง ลดการสั่นสะเทือนของพื้นผิวซึ่งเป็นที่มาของการเกิดเสียง อย่างไรก็ตามแผ่นแดมป์ก็ยังมีข้อเสีย คือมีการทนต่ออุณหภูมิสูงๆ ได้ไม่ค่อยดี เกิดการหลอมละลายไว ส่งผลให้รูปร่างของแผ่นแดมป์เปลี่ยนไป เมื่อแผ่นแดมป์เกิดการละลายจะปล่อยสารคาร์บอนไดออกไซด์ออกมาทำให้เกิดกลิ่นเหม็นในรถยนต์ส่งผลให้เกิดมลพิษภายในรถยนต์ [2]

ผู้ทำวิจัยได้เล็งเห็นถึงความสำคัญของปัญหานี้จึงได้ร่วมมือกับบริษัท ยูนิโพรเมนูแพคเจอร์ จำกัด

ในการปรับปรุงฉนวนกันเสียงที่ทำมาจากเอทิลีนไวนิลอะซิเตด (Ethylene vinyl acetate ; EVA) ซึ่งเป็นวัสดุที่นำมาใช้เป็นผลิตภัณฑ์ทำฉนวนกันเสียงกันภายในบริษัท ยูนิโพรเมนูแพคเจอร์ จำกัด อยู่แล้ว มาปรับปรุงคุณสมบัติความเป็นฉนวนกันเสียงและการหน่วงการตีไฟให้ดีขึ้น และต้องการลดต้นทุนในการผลิตโดยใช้วัสดุอีลาสโตเมอร์ 2 ชนิด ได้แก่ ยางธรรมชาติ (Natural Rubber ; NR) และยางสไตรีนบิวตาไดอีน (Styrene Butadiene Rubber ; SBR) มาผสมเพื่อช่วยในการผสมสารเคมีได้ง่ายขึ้น และลดต้นทุนในการผลิต ใช้ซิลิกา (Silica) และใยมะพร้าวยาว 3 มิลลิเมตร (Coconut Coir) เพื่อปรับปรุงสมบัติความเป็นฉนวนกันเสียงของพอลิเมอร์ผสม และใช้อะลูมินา (Alumina) และเบนโทไนต์ (Bentonite) เพื่อปรับปรุงสมบัติการหน่วงการตีไฟของพอลิเมอร์ผสม

ดังนั้นในการวิจัยจึงมีวัตถุประสงค์เพื่อจะพัฒนาสมบัติฉนวนกันเสียงและการหน่วงการตีไฟของเอทิลีนไวนิลอะซิเตดในอุตสาหกรรมการผลิตฉนวนกันเสียงในรถยนต์ด้วยพอลิเมอร์ผสม ทดแทนการใช้งานเอทิลีนไวนิลอะซิเตด เพื่อช่วยลดต้นทุนการผลิตและต้องการเพิ่มมูลค่าให้วัสดุอีลาสโตเมอร์อันได้แก่ ยางธรรมชาติซึ่งเป็นผลผลิตทางการเกษตรที่สำคัญต่อเศรษฐกิจของประเทศไทย และยางสไตรีนบิวตาไดอีนเป็นยางสังเคราะห์ที่ใช้มากที่สุด ในอุตสาหกรรมยาง ซึ่งเป็นวัสดุที่สามารถผลิตได้เองในประเทศไทย

1.2 วัตถุประสงค์ของงานวิจัย

เพื่อปรับปรุงสมบัติความเป็นฉนวนกันเสียง และการหน่วงการติดไฟของพอลิเมอร์ผสมระหว่าง

เอทิลีนไวนิลอะซิเตดกับอีลาสโตเมอร์ ที่ใช้ในฉนวนกันเสียงภายในอุตสาหกรรมรถยนต์

1.3 ขอบเขตของการวิจัย

1.3.1 วัสดุที่เลือกใช้ในงานวิจัยนี้ได้แก่ เอทิลีนไวนิลอะซิเตด (Ethylene vinyl acetate ; EVA) และวัสดุอีลาสโตเมอร์ ได้แก่ ยางธรรมชาติ (Natural Rubber ; NR) และยางสไตรีนบิวตาไดอีน (Styrene Butadiene Rubber ; SBR)

1.3.2 สารตัวเติมที่ใช้ทดลองได้แก่ ซิลิกา (Silica) และใยมะพร้าวยาว 3 มิลลิเมตร (Coconut Coir)

1.3.3 สารหน่วงไฟที่ใช้ในการทดลองได้แก่ อะลูมินา (Alumina) และเบนโทไนท์ (Bentonite)

1.3.4 ใช้เครื่องบดผสมสองลูกกลิ้ง (Two Roll Mill Plastic) ในการผสมสารเคมี แล้วจึงนำไปขึ้นรูปชิ้นงานโดยใช้กระบวนการอัดขึ้นรูป (Compression Moulding) แล้วศึกษาและเปรียบเทียบสมบัติเชิงกลบางประการและลักษณะทางกายภาพของฉนวนกันเสียงที่ผลิตได้ในงานวิจัยนี้กับเอทิลีนไวนิลอะซิเตด

1.4 ประโยชน์ที่คาดว่าจะได้รับจากงานวิจัย

1.4.1 เพื่อปรับปรุงสมบัติความฉนวนกันเสียงของพอลิเมอร์ผสมระหว่างเอทิลีนไวนิลอะซิเตดกับวัสดุอีลาสโตเมอร์ ที่ใช้ในอุตสาหกรรมรถยนต์

1.4.2 เพื่อช่วยลดต้นทุนการผลิตให้กับแผ่นฉนวนกันเสียงที่ใช้งานในอุตสาหกรรมรถยนต์

1.4.3 เพิ่มมูลค่าให้กับวัสดุอีลาสโตเมอร์ ซึ่งเป็นผลผลิตทางการเกษตรที่สำคัญต่อเศรษฐกิจของประเทศไทย

บทที่ 2

เอกสารและงานวิจัยที่เกี่ยวข้อง

2.1 เสียงและมลภาวะทางเสียง

2.1.1 เสียง [3]

เสียง เป็นคลื่นกลที่ต้องอาศัยอากาศเป็นเพื่อนำทาง เสียงเกิดจากการสั่นของวัตถุ เมื่อวัตถุเกิดการสั่นสะเทือน ส่งผลทำให้เกิดการอัดตัวและขยายตัวของคลื่นเสียง แล้วจึงถูกส่งผ่านทางตัวกลาง ตัวอย่างเช่น อากาศ ไปยังหู แต่เสียงก็ยังสามารถเดินทางผ่านก๊าซ ของเหลว และของแข็งก็ได้ แต่เสียงไม่สามารถเดินทางผ่าน สุญญากาศ เช่น ในอวกาศ ได้ เมื่อเกิดการสั่นสะเทือนเสียงนั้นจะมาถึงหูของเรา มันจะถูกแปลงเปลี่ยนเป็นพัลส์ประสาท ซึ่งจะถูกส่งตรงผ่านไปยังสมอง ทำให้เราสามารถรับรู้และจำแนกเสียงต่างๆ ออกไปได้

เสียงมีคุณลักษณะเฉพาะ ได้แก่ ความถี่ ความยาวช่วงคลื่น แอมพลิจูด และความเร็วเสียง แต่ละเสียงมีความแตกต่างกัน เสียงสูง-เสียงต่ำ เสียงดัง-เสียงเบา หรือคุณภาพของเสียงลักษณะต่างๆ ทั้งนี้ขึ้นอยู่กับแหล่งกำเนิดเสียงว่าเกิดจากอะไร และจำนวนรอบต่อวินาทีของการสั่นสะเทือน

ความถี่ ใช้อ้างถึงการเกิดของคลื่นเป็นจำนวนรอบต่อวินาที คลื่นเสียงที่เกิดขึ้นมีความสัมพันธ์กับความถี่ ถ้าคุณเป็นนักดนตรีแล้วต้องการจูนตัวโน้ต เอ ของเครื่องดนตรีให้เป็น 440 ซึ่งตัวเลข 440 จะบอกถึงค่าความถี่ของคลื่นเสียงว่าอยู่ในช่วงไหน จะเห็นได้ว่าต่างจากแอมพลิจูด ซึ่งมีหน่วยของแอมพลิจูดจะเป็นเดซิเบล ความถี่จะมีหน่วยเป็นเฮิรตซ์ ซึ่งเป็นชื่อนักฟิสิกส์ชาวเยอรมัน Heinrich Hertz คิดจากค่าเฉลี่ยของหูคนเรา สามารถได้ยินช่วงความถี่จาก 20 เฮิรตซ์ ถึง 20,000 เฮิรตซ์ เมื่อคลื่นเสียงมีค่า 1,000 รอบต่อวินาที จะใช้ค่าความถี่เป็นกิโลเฮิรตซ์ (kHz) เช่น 1,000 เฮิรตซ์ = 1 กิโลเฮิรตซ์ 2,000 เฮิรตซ์ = 2 กิโลเฮิรตซ์ และ 3,000 เฮิรตซ์ = 3 กิโลเฮิรตซ์ ค่าความถี่ยังมีความสัมพันธ์เกี่ยวข้องกับค่าระดับเสียงสูงเสียงต่ำด้วย ถ้าต้องการที่จะพิจารณาชาร์ตที่ใช้แสดงความสัมพันธ์กับความถี่ที่เกี่ยวข้องกับอุปกรณ์เครื่องดนตรีต่างๆ โดยเริ่มจากเครื่องเปียโน จะเห็นได้ว่าแต่ละช่วงของความถี่จะมีลักษณะแตกต่างกันออกไป เครื่องดนตรีแต่ละอย่าง ต่างก็มีช่วงของค่าความถี่ที่ไม่เหมือนกัน โดยช่วงที่ทับซ้อนกันก็มี จะเห็นได้ว่าลิ้มคีย์ของเปียโนมีความสัมพันธ์กันกับค่าความถี่อย่างไร โน้ตตัวแรกในออกเตปต่ำสุดคือ A มีค่าความถี่ประมาณ 27.5 เฮิรตซ์ หรือจะพูดให้เข้าใจได้ง่ายๆว่า 27.5 รอบต่อวินาที ทุกคนคงเคยปรับแต่งเสียงเบสหรือเสียงแหลม บนเครื่องเล่นเพลงหรือเครื่องเสียงรถยนต์ จะเห็นได้ว่าเมื่อคุณบูสต์หรือคัตแอมพลิจูด จะมีผลโดยตรงต่อย่านความถี่และช่วงความถี่นั้นๆ หรือจะพูดให้เรียกว่าการอีคิว (EQ; Equalization) นั่นเอง โดยเป็นลักษณะสำคัญมีผล

กับเสียง แต่ละช่วงค่าความถี่จะมีคุณสมบัติแตกต่างกันออกไป เพื่อให้ท่านมองเห็นภาพ ผู้ออกแบบจะแบ่งช่วงความถี่ที่มักจะพบได้บ่อยซึ่งมี 3 ช่วงหลักๆ คือ

1) ย่านค่าความถี่ต่ำ (Low/Bass Frequency Range) โดยทั่วไปจะมีค่าอยู่ระหว่าง 20 เฮิรตซ์ ถึง 200 เฮิรตซ์ คุณสมบัติย่านความถี่ช่วงนี้ จะเคลื่อนตัวในแบบทุกทิศทาง (omnidirectional) ที่มีกำลังสูง จะมีโทนเสียงขนาดใหญ่ เวลาอยู่ใกล้แหล่งกำเนิด บางครั้งอาจฟังจับใจความไม่รู้เรื่อง

2) ย่านความถี่กลาง (Mid/Midrange Frequency Range) โดยทั่วไปมีอยู่ระหว่าง 200 เฮิรตซ์ ถึง 5 กิโลเฮิรตซ์ เป็นช่วงความถี่ที่คนเราสามารถรับและได้ยินดีที่สุด ช่วงค่าความถี่นี้จะมีทิศทางมากกว่าย่านความถี่ต่ำ และสามารถทำให้เกิดเสียงเหมือนเสียงนั้นอยู่ตรงข้างหน้าของเราได้ง่ายกว่า หรือมีความพุ่งจะทำให้รู้สึกได้ว่าเสียงมีขอบ เสียงที่มีย่าน midrange น้อยจะได้โทนเสียงที่มีความกลมกล่อมไม่สูงไม่ต่ำ เสียงที่บหรือเหมือนนั้นอยู่ห่างจากเราไกล ถ้าหากเกิดฟังนานๆ อาจจะทำให้หูของเราล้าได้

3) ย่านความถี่สูง (High/Treble Frequency Range) โดยทั่วไปจะอยู่ระหว่าง 5 กิโลเฮิรตซ์ ถึง 20 กิโลเฮิรตซ์ คุณสมบัติของมันจะมีทิศทางที่ค่อนข้างสูง การบูสต์ย่านความถี่ในช่วงนี้ จะได้รับโทนเสียงที่สว่างๆ จัดจ้าน และมีความคมโปร่ง คุณมีชีวิตชีวา แต่ข้อเสียของความถี่ย่านนี้คือมีพลังงานต่ำกว่าทุกย่านความถี่ ย่านความถี่สูงจะมีจุดเด่นกว่าย่านความถี่อื่นๆตรงที่สามารถทำให้ชาวดีโผล่มาเหมือนอยู่ตรงหน้าเราได้ง่ายกว่าย่านความถี่อื่นๆ โดยคนที่ฟังจะรู้สึกไร้คาถาหู เสียงที่มีย่านความถี่น้อยจะได้เนื้อชาวดีออกทีบๆ และยังให้ความรู้สึกเหมือนเสียงนั้นอยู่ใกล้ลงไปในพื้นที่ เหมือนเสียงนั้นเกิดมาจากกันเหว เสียงในย่านคามถี่นี้จะไม่จัดจ้าน

ความยาวช่วงคลื่น (wavelength) หมายถึง ระยะทางระหว่างยอดคลื่นสองยอดที่ติดกันซึ่งเกิดขึ้นระหว่างการอัดตัวของคลื่นเสียง (คล้ายคลึงกับยอดคลื่นในทะเล) ยิ่งความยาวช่วงคลื่นมีมาก ความถี่ของเสียง (ระดับเสียง) ยิ่งต่ำลง

แอมพลิจูด บอกถึงค่าความสูงของคลื่นเสียงว่ามีความสัมพันธ์กันกับค่าโวลุ่ม เมื่อเครื่องเล่นสเตอริโอ เพาเวอร์แอมป์ หรือโทรทัสน์ เมื่อได้ทำการถูกปรับโวลุ่มขึ้นหรือลง ค่าของเสียงของแอมพลิจูดจะมีค่าเพิ่มขึ้นและลดลง ทำให้เกิดการให้เสียงมีความดังขึ้นหากค่าเสียงแอมพลิจูดก็จะสูงขึ้นในทางกลับกันถ้าค่าเสียงเบาหรือเกิดเจ็บบหายไปแล้วแสดงว่าค่าแอมพลิจูดกำลังลดลง เมื่อค่าแอมพลิจูดมีค่าสูงขึ้น จะส่งผลทำให้ค่าเสียงดังขึ้นแล้วก็ยังทำให้ค่า เอสพีแอล (Sound Pressure Level) มีค่าเพิ่มขึ้นอีกตามไปด้วย สำหรับแอมพลิจูดจะวัดกันด้วยหน่วยเป็นเดซิเบล (dB) ผู้คนจำนวนมากอาจจะบอกว่าค่าเสียงนี้ดังประมาณ 3 เดซิเบล ซึ่งนั่นก็เป็นการระบุถึงค่าแอมพลิจูด ของหูคนเราที่จะสามารถสัมผัสหรือรับรู้ถึงการเปลี่ยนแปลง ของค่าระดับความดังของเสียงที่มีค่าแอมพลิจูดต่างๆได้ เมื่อค่าแอม

พลิจุดมีการเพิ่มขึ้นในทางปฏิบัติเราจะเรียกกันให้เข้าใจว่า "บูสต์" (Boost) เมื่อค่าแอมพลิจูดมีการลดลง ในทางปฏิบัติเราจะเรียกกันให้เข้าใจว่า "คัต" (Cut) โดยคำพูดที่เรียกกันว่าโวลุ่มความเป็นจริงแล้วเป็นแค่ ส่วนย่อยๆ ของการกล่าวขยายความถึงค่าแอมพลิจูด ภาษาของชาวดีเอ็นจีเนียร์ที่ใช้กันบ่อยจะพูดว่า "บูสต์ 3 เดซิเบล " หรือ "คัต 3 เดซิเบล " การเขียนเพื่อแสดงและระบุการเพิ่มขึ้นหรือลดลงของค่าแอมพลิจูดนั้น นิยมใช้เป็นเครื่องหมายค้อยกำกับไว้ด้านหน้า ตัวอย่างที่เห็นได้ชัดเช่นการใช้เครื่องหมายบวกไว้ข้างหน้าตัวเลขคือ +3 เดซิเบล หรือใช้เครื่องหมายลบไว้ข้างหน้าตัวเลขคือ -3 เดซิเบล บูสต์ย่าน 1 กิโลเฮิรตซ์ +3 เดซิเบล ในกิจกรรมต่างๆ ที่เกี่ยวข้องในชีวิตประจำวันของแต่ละคน จะมีค่าระดับของความดังในหน่วย dB ที่ไม่เหมือนกันขึ้นอยู่กับว่าคนเราจะเจอกับสิ่งใด ระดับ 0 เดซิเบล จะบ่งบอกถึงระดับเสียงที่เงียบหรือเสียงนั้นกำลังจะใกล้เงียบ ระดับ 40-50 เดซิเบล บ่งบอกถึงค่าระดับเสียงที่อยู่และ ล่องลอยอยู่ในบรรยากาศในห้องปกติ ระดับ 50-60 เดซิเบล จะบ่งบอกถึงค่าเสียงกระซิบ ระดับ 60-75 เดซิเบล บ่งบอกถึงเสียงที่คนเราใช้พูดหรือสนทนากันทั่วไป ระดับ 80-85 บ่งบอกถึงค่าระดับเสียงที่เหมาะสมกับการจูนลำโพงมอนิเตอร์ โดยเหตุผลที่กล่อกันมานี้จะไปสอดคล้องกับกราฟที่เอาไว้อ้างอิงผล เสียงของ Fletcher-Munson curve ระดับ 90 เดซิเบล บ่งบอกถึงค่าระดับเสียงที่รบกวนภายในโรงงาน โดยปกติแล้วถ้าเกิดมีเสียงดังมากๆ ใกล้บริเวณหูขึ้นมา หรือเสียงนั้นเกิดขึ้นมาโดยพรวดพราด ส่งผลให้ สามารถเกิดการทำลายชั้นเยื่อหุ้มของชั้นหูเกิดอันตรายและอาจทำให้หูไม่สามารถรับเสียงได้เป็น ช่วงเวลานึง ระดับ 100 เดซิเบล บ่งบอกถึงค่าเสียงของทารกแรกคลอดร้องไห้ ระดับ 110 เดซิเบล บ่ง บอกระดับเสียงของเครื่องสูบลมทำความสะอาดสิ่งต่างๆและคาร์ฮอว์นไว้สลายมีอบ ระดับ 120 เดซิเบล บ่งบอกถึงค่าระดับเสียงที่สามารถทำลายการเนื้อเยื่อหูให้เสียหาย หรือจะพูดให้เข้าใจคือหูเราจะ ไม่ได้ยินเสียงอะไรอีกเลย ระดับ 140 เดซิเบล บ่งบอกถึงค่าเสียงของกลองสนแอร์ที่อยู่ห่างออกไปใน ระยะห่าง 1 in วัดระยะห่างจากระดับของหน้ากลอง ระดับ 150-160 เดซิเบล บ่งบอกถึงค่าเสียงเครื่อง ของเครื่องบินเจ็ท ทุกคนจะเห็นได้ว่าในชีวิตประจำวันของเราทุกคนนั้น มีความใกล้ชิดเกี่ยวข้องกับ ระดับแอมพลิจูดอยู่ที่ระหว่างจาก 0-160 เดซิเบล กล่าวคือคนเรานับว่าไม่น้อยที่จะสามารถรับและได้ ยินเสียงดนตรีที่มีค่าตั้งแต่ระดับ 70 เดซิเบล (ฟังแบบนี่มๆ) จนถึง 100 เดซิเบล (ฟังแบบโคตรดัง)

2.1.2 มลภาวะทางเสียง [4]

ระดับค่าความดังของเสียงส่งผลโดยตรงต่อสุขภาพของคนเรามากกว่าที่ทุกคนคิด เมื่อ เกิดเสียงดังมากเกินไปก็จะส่งผลทำให้เป็นอันตรายต่อระบบของการได้ยิน หรืออาจจะพูดได้ว่าส่งผล กระทบต่อส่วนอื่นๆ ที่อยู่ภายในร่างกายของเราได้ ทุกคนในสังคมเมืองที่อยู่ปัจจุบันมักจะชอบใส่หูฟัง เพลงหรือพูดคุยกันอยู่ตลอดเวลา หรืออาจชอบทำกิจกรรมตัวอย่างเช่นการฟังเพลงดัง ดูหนังในโรง หรือ ไปเดินเล่นในห้างสรรพสินค้า ล้วนแล้วมีความเสี่ยงเผชิญกับเสียงดังทำให้เกิดผลกระทบต่อสุขภาพ ตามมาได้ เสียงดังแค่ไหนถึงจะเป็นอันตรายต่อสุขภาพ กิจกรรมต่าง ๆ ในชีวิตประจำวันนั้นมีระดับเสียง

เบาตั้งแต่แตกต่างกัน อย่างเสียงคุยกันปกติจะมีความดังประมาณ 60 เดซิเบล ซึ่งถือว่าไม่เป็นอันตราย แต่ระดับของเสียงที่ส่งผลกระทบต่อร่างกายและอาจเป็นอันตราย คือ เสียงที่มีค่าเสียงความดังประมาณ 85 dB ขึ้นไป อย่างเสียงการจราจรบนท้องถนน ซึ่งหากได้ยินความดังระดับนี้เป็นเวลานานอาจมีผลกระทบต่อสุขภาพได้ ยิ่งไปกว่านั้น หากได้ยินเสียงที่มีความดังระดับ 120 เดซิเบลขึ้นไป อย่างเสียงไซเรนของรถพยาบาล อาจทำให้เกิดผลกระทบต่อการใช้ชีวิตในทันที เสียงดังเกินไปส่งผลกระทบต่อสุขภาพอย่างไรบ้าง เสียงที่ดังเกินไปไม่เพียงแต่สร้างความรำคาญอย่างเดียว แต่ยังก่อให้เกิดผลกระทบที่ไปส่งผลกระทบต่อส่วนต่างๆ ในร่างกายของเราได้ จนอาจทำให้สูญเสียการได้ยิน หรือเสียงต่อโรคร้ายแรงบางชนิดได้โดยผลกระทบของเสียงดังที่อาจเกิดขึ้นกับสุขภาพของเรา มีดังนี้

1. ผลกระทบต่อการได้ยินในหูของคนเราจะมีเส้นขนจำนวนมากทำหน้าที่รับเสียงและแปลงเป็นสัญญาณไฟฟ้าส่งไปยังสมอง ซึ่งเสียงที่ดังเกินไปจะทำให้เส้นขนเหล่านั้นได้รับความเสียหาย จึงทำให้มีปัญหาในการได้ยิน นอกจากนี้ การได้ยินเสียงดังติดต่อกันเป็นเวลานานยังอาจทำให้เกิดโรคประสาทหูเสื่อมจากการทำงาน หรือถึงขั้นทำให้หูหนวกได้

2. ผลกระทบต่อการนอนเสียงที่ดังเกินไปจะกระตุ้นสมองให้ตื่นตัวอยู่ตลอดเวลา จึงรู้สึกไม่ผ่อนคลายจนอาจทำให้นอนไม่หลับและส่งผลให้วงจรระหว่างวันได้ อีกทั้งการพักผ่อนไม่เพียงพอติดต่อกันเป็นเวลานานยังเพิ่มความเสียงต่อโรคร้ายแรงอีกหลายชนิด เช่น โรคเบาหวาน หรือโรคหัวใจ เป็นต้น

3. ส่งผลกระทบต่อระบบภูมิคุ้มกันเสียงที่ดังเกินไปนั้นส่งผลให้ร่างกายหลั่งฮอร์โมนความเครียดออกมา ซึ่งฮอร์โมนประเภทนี้จะทำให้ระดับภูมิคุ้มกันของร่างกายต่ำลง จึงเสี่ยงต่อการติดเชื้อแบคทีเรียหรือไวรัสชนิดต่าง ๆ มากขึ้น จนอาจนำไปสู่การเจ็บป่วยได้

4) ผลกระทบต่อสมาธิและอารมณ์ความรู้สึกการที่ต้องอยู่ในสถานที่ที่มีเสียงรบกวน อาจทำให้เกิดผลกระทบต่อการใช้สมาธิหรืออารมณ์ความรู้สึกได้ หากต้องนั่งทำงานในห้องที่มีเสียงดังตลอดเวลา คงใช้สมาธิได้ไม่เต็มที่และไม่มีความสุขเท่าใดนัก อีกทั้งเสียงดังยังทำให้ผู้ที่มีความเครียดหรือความกังวลใจอยู่แล้วมีอาการหนักไปกว่าเดิมได้ด้วย

5) ผลกระทบต่อสมองมีการศึกษาจากผู้เชี่ยวชาญพบว่า เสียงที่ดังเกินไปจะทำให้ปลายประสาทที่ส่งสัญญาณไฟฟ้าจากเซลล์รับเสียงภายในหูไปสู่สมองนั้นเกิดความเสียหาย จนอาจทำให้สมองเกิดการอักเสบ และการสูญเสียการได้ยินจากเสียงที่ดังเกินไปนั้นก็อาจนำไปสู่โรคสมองเสื่อมได้

6) ผลกระทบต่อทารกในครรภ์นอกจากเสียงดังจะมีผลกระทบต่อผู้ที่ได้ยินแล้ว ยังอาจส่งผลกระทบต่อทารกที่อยู่ในครรภ์ได้อีกด้วยถึงแม้มารดาจะใส่เครื่องป้องกันเสียงแล้วก็ตาม ดังนั้น หากกำลังตั้งครรภ์อยู่ก็ควรหลีกเลี่ยงสถานที่ที่มีเสียงดังด้วย

7) เพิ่มความเสี่ยงโรคหัวใจแม้จะยังไม่ได้ยืนยันแน่ชัด แต่ก็มี การวิจัยพบว่าเสียงรบกวนในระหว่างทำงานนั้นเกี่ยวข้องกับระดับความดันโลหิตและระดับคอเลสเตอรอลที่เพิ่มสูงขึ้น ซึ่ง จะเพิ่มความเสี่ยงต่อโรคหัวใจได้ด้วยเช่นกัน

2.2 ฉนวนกันเสียง (Sound Insulation) [5]

ฉนวนกันเสียงจะอาศัยหลักของการกันเสียงคือให้เสียงผ่านจากด้านหนึ่งไปยังอีกด้านหนึ่งให้มีค่าน้อยที่สุด หรือไม่ยอมให้เสียงได้ผ่านเลย ฉนวนกันเสียง เป็นวัสดุที่มีลักษณะเป็นชิ้นงานที่แข็ง มีความหนาแน่นสูง ความหนาของชิ้นงานต้องมีความหนาพอประมาณ จึงช่วยในการกันเสียงได้อย่างมีประสิทธิภาพมาก คือ ขณะที่เสียงวิ่งตกกระทบฉนวน พลังงานเสียงเหล่านั้นจะถูกเปลี่ยนเป็นพลังงานความร้อน ซึ่งเกิดจากการเสียดสีของพลังงานเสียงกับผนังของชิ้นงานของฉนวนฉนวนกันเสียง (Sound Insulation) แบ่งออกเป็น 2 ประเภทดังนี้

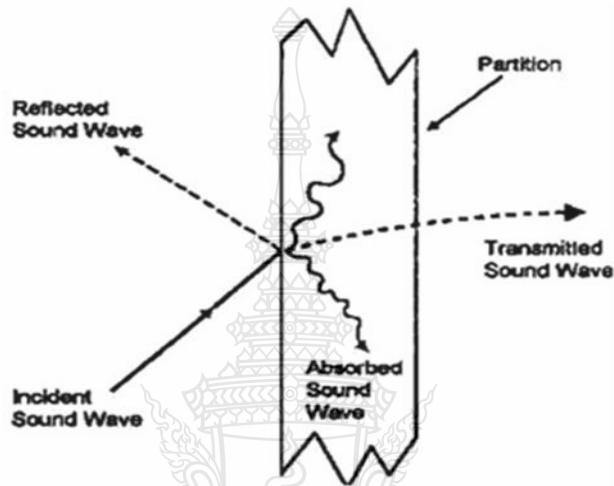
1.การซับเสียง (Sound Absorption) วัสดุซับเสียงถูกนำมาใช้เพื่อลดการสะท้อนของเสียงในอากาศโดยการเปลี่ยนเสียงให้เป็นความร้อนเพื่อให้เกิดการเสียดสีในวัสดุซับเสียง วัสดุซับเสียงที่นิยมใช้กันทั่วไป เช่น วัสดุโฟมโพลีเมอร์ อะคูสติคโฟม ชั้นเส้นใยและแผ่นใยแร่เป็นวัสดุที่มีลักษณะรูพรุน

2.การกันเสียง (Sound Insulation) เป็นวัสดุที่ได้รับความนิยมในการนำมาใช้กันมากในปัจจุบันเพื่อการลดเสียง ที่ส่งอยู่ในอากาศ ตัวอย่างเช่น จากห้องหนึ่งไปอีกห้องหนึ่งผ่านกำแพงป้องกันเสียงและฉนวนกันเสียงวัสดุ เป็นวัสดุที่มีความหนาแน่นสูง

2.2.1 การสะท้อนของเสียง

การสะท้อนเสียง (Echo) คือการที่เสียงสามารถสะท้อนกลับมา เช่น การได้ยินเสียงสะท้อนเมื่อตัวเราอยู่ในหุบเขาและเราตะโกนออกไป และถ้าในหุบเขาที่เราอยู่นั้นมีภูเขาตั้งอยู่หลายๆ ลูก เสียงที่จะสะท้อนกลับมาก็จะเกิดขึ้นหลายๆ ครั้งด้วยเหมือนกัน โดยปกติแล้วเมื่อเสียงเกิดการกระทบกับกำแพงหรือวัตถุที่มีความแข็งหรือมีผิวที่แข็งมากๆ เสียงก็จะเกิดการสะท้อนกลับ แต่เสียงอีกส่วนหนึ่งที่ทะลุผ่านไปได้อีกก็จะแทรกซึมผ่านเข้าไปในกำแพง ส่วนที่แทรกเข้าไป (transmit) นี้ จะถูกเปลี่ยนแปลงสภาพให้กลายเป็นความร้อน และยังมีเสียงอีกส่วนหนึ่งที่สามารถทะลุออกไปอีกด้านหนึ่งของกำแพงได้ ลักษณะของการแทรกซึมผ่านของเสียงที่ออกไปนี้เราเรียกว่า Transmittance โดยถ้ากำแพงเหล่านั้น ประกอบขึ้นด้วย แผ่นไม้อัดที่มีลักษณะเป็นแผ่นบางๆ หรือหน้าต่างที่เป็นบานกระจก เมื่อเกิดเสียงเข้ามากระทบมากๆ เข้า กำแพงเหล่านั้นจะเกิดการสั่นสะเทือน ซึ่งทำให้เกิดการส่งพลังงานเสียงออกไปอีกต่อหนึ่งนั่นเอง เพราะฉะนั้นแล้วกำแพงที่มีความแข็งมากๆ จะไม่สั่นสะเทือนเมื่อมีเสียงมากระทบมากๆ จะกลายเป็นตัวกันเสียง (Barrier) ที่มีประสิทธิภาพที่จะไม่ทำให้เสียงนั้นผ่านไปได้โดยง่าย การสั่นในขณะกำแพงไม้อัดบางๆ หรือหน้าต่างบานกระจกเสียงจะผ่านไปได้อย่างง่ายดาย

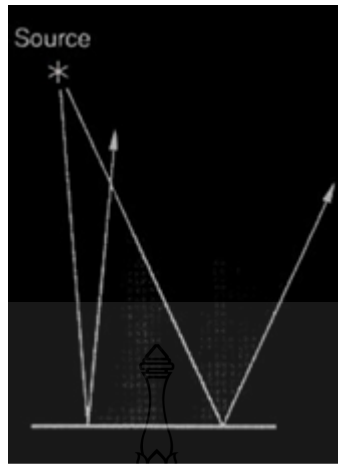
เกิดจากการสั่นสะเทือน อีกวิธีหนึ่งที่จะช่วยให้กันเสียงได้ดีขึ้นคือการนำวัสดุที่มีรูพรุนมากๆ (porous materials) ทั้งหลาย เช่น เส้นใย ฟองน้ำ หรือวัสดุอะไรก็ได้ที่มีรูพรุนเยอะๆ จะสามารถช่วยดูดกลืนเสียงได้มาก เมื่อนำวัสดุที่มีรูพรุนเหล่านี้มาประกบเข้ากับกำแพงที่มีความแข็งแรงมากๆ เข้าด้วยกันจะสามารถทำเป็น ฉนวนกันเสียง (insulation) ที่มีประสิทธิภาพสูง อีกทั้งยังสามารถเป็นฉนวนกันความร้อนได้อีกด้วย



รูปที่ 2.1 รูปการณแสดงปรากฏการณ์ของเสียงที่กระทบผนัง

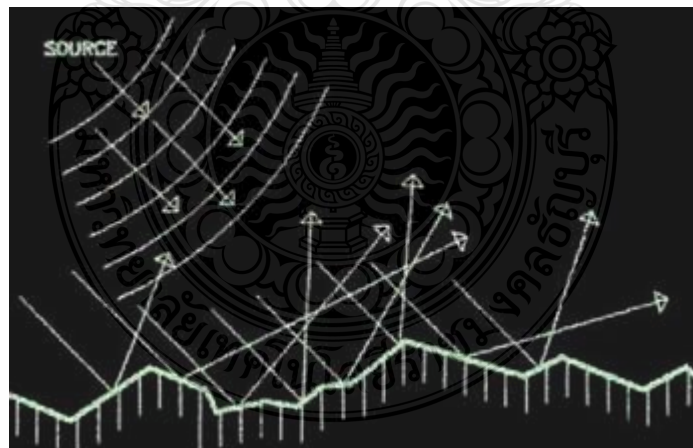
เสียงมีคุณสมบัติคล้ายกับแสงที่สามารถสะท้อนได้ การสะท้อนของเสียงนั้นขึ้นอยู่กับความถี่ของเสียง (Frequency) และขึ้นอยู่กับมุมที่เสียงนั้นเกิดการตกกระทบ ความยาวคลื่นของเสียงมีค่ามากกว่าความยาวคลื่นของแสงมาก (แสงที่เราสามารถเห็นได้ มีความยาวคลื่นระหว่าง 0.000015 ถึง 0.000030 นิ้ว แต่เสียงที่เราได้ยินนั้นจะมีความยาวคลื่นประมาณ 0.06 ฟุตถึง 60 ฟุต) ฉะนั้นวัสดุที่เสียงตกกระทบจะต้องมีขนาดใหญ่พอสมควร โดยกฎของการสะท้อนของเสียงมี 2 ประการ คือ

- 1) มุมตกกระทบ (Angle of Incidence) จะมีค่าเท่ากับมุมสะท้อน (Angle of Reflection)
- 2) รังสีตกกระทบ เส้นปกติและรังสีสะท้อนย่อมุมอยู่ในระนาบเดียวกัน เสียงที่ลักษณะของการสะท้อนเช่นเดียวกันแสง



รูปที่ 2.2 มุมตกกระทบ

การที่เสียงตกกระทบลงบนพื้นผิวที่ขรุขระ เสียงจะสะท้อนกระจายออกไปในทุกๆ ทาง (เช่นเดียวกับกับคลื่นแสง) เสียงจะมีทั้งการสะท้อนและการกระจาย มีการเลี้ยวมุมในลักษณะต่างๆ กัน เมื่อเสียงนั้นมาสัมผัสผิวกว้างหรือพื้นผิวที่ขรุขระ หากพื้นผิวที่มีพื้นผิวขรุขระหรือมีร่องมากจะสามารถทำให้เสียงกระจายออกไปได้มากที่สุด หากพื้นผิวมีรูพรุน (Porous) เพิ่มขึ้นมาด้วยก็จะยังสามารถดูดคลื่นเสียงในเวลาเดียวกันได้ดีขึ้นอีกด้วย



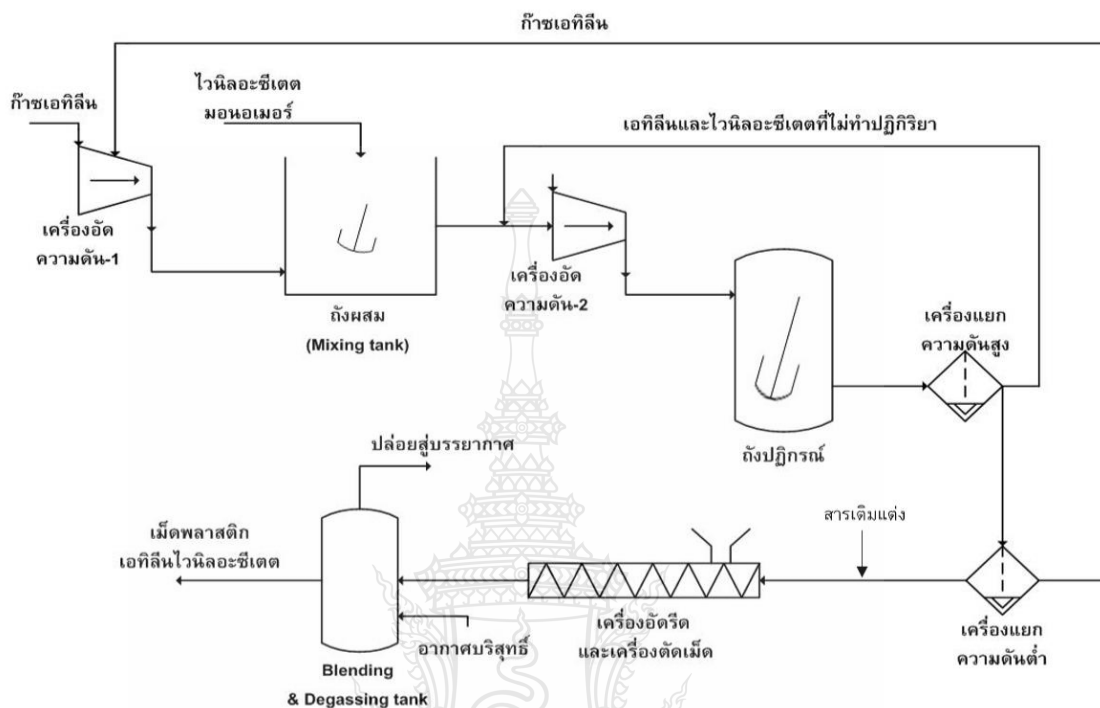
รูปที่ 2.3 การกระจายของเสียงเมื่อกระทบกับพื้นผิวขรุขระ

2.2.2 Sound transmission class (STC)

Sound transmission class (STC) คือ ค่าความสามารถในการกั้นเสียงของวัสดุ. กล่าวคือ เป็นการใช่วัสดุกั้นการส่งผ่านของเสียง เพื่อลดทอนเสียงที่จะผ่านไปยังอีกด้าน ทั้งนี้ ความสามารถในการกั้นเสียงของวัสดุจะไม่เท่ากัน โดยวัสดุที่มีค่า NRC น้อยจะสามารถ ในการกั้นเสียง ได้ดีกว่า วัสดุที่มีค่า NRC เยอะ เพราะว่า NRC หากใช้ค่า STC ในงานก่อสร้าง รูปแบบโครงสร้างก็มีผล เรื่องการกั้นเสียงเช่นกัน ยกตัวอย่างคือ การก่ออิฐ ชั้นเดียว มีค่าSTC 40 dB แต่หากก่อกำแพงสองชั้น จะได้ค่าSTC 50 dB แต่หากก่อกำแพงสองชั้น แต่เว้นระยะหาก Air Grab ก็จะได้ STC เพิ่มขึ้นเป็น 55 dB สรุปคือSTC คือค่าลดการส่งผ่านของเสียงจากแหล่งกำเนิดเสียงไปยังอีกฝั่ง ซึ่งการหา NRC คือ ค่าสัมประสิทธิ์การลดระดับเสียง หาได้โดย ค่าเฉลี่ยของค่าสัมประสิทธิ์การดูดซับเสียงที่ความถี่ 250, 500, 1000, 2000 Hz สำหรับวิธีการป้องกันเสียงที่ได้รับความนิยมในการใช้มากที่สุด คือ การใช้ฉนวนที่ใช้ หลักการดูดซับเสียง (Sound Absorption) มีหลักการทำงานคือจะสลายพลังงานเสียงให้อยู่ในรูปของ ความร้อน ทั้งนี้ประสิทธิภาพของการดูดซับเสียงนั้นจะขึ้นอยู่กับหลายปัจจัย เช่น ความหนาแน่น ความหนา และลักษณะการติดตั้งของฉนวน เป็นต้น โดยเราสามารถวัดค่าการดูดซับเสียงได้จากค่าสัมประสิทธิ์ของการดูดเสียง (Absorption Coefficient, α)

ในปัจจุบันการผลิตฉนวนดังกล่าวได้ผลิตจากพลาสติกพีวีซี ฉนวนใยหิน ฉนวนใยแก้ว และฟองน้ำที่ผลิตจาก Polyurethane เป็นวัสดุที่ได้รับความนิยมมาใช้ในการผลิต ซึ่งวัสดุหลักที่ใช้ในการผลิตส่วนใหญ่ที่กล่าวมาข้างต้นนั้นยังมีผลกระทบต่อสุขภาพและเป็นอันตรายต่อผู้ใช้งานอยู่ เช่น สารพิษจาก สารเติมแต่ง อนุภาคใยหินและใยแก้ว เป็นต้น

2.3 พลาสติกเอทิลีนไวนิลอะซิเตด (Ethylene vinyl acetate ; EVA) [6]



รูปที่ 2.4 กระบวนการผลิตเม็ดพลาสติกเอทิลีนไวนิลอะซิเตด

สัดส่วนวัตถุดิบหลัก : เอทิลีน 89 เปอร์เซ็นต์ และไวนิลอะซิเตดมอนอเมอร์ 11 เปอร์เซ็นต์ ปริมาณการใช้ไวนิลอะซิเตดมอนอเมอร์ : ประมาณ 6,000 ตัน 1 กระบวนการผลิต : นำก๊าซเอทิลีนเข้าสู่อุปกรณ์อัดความดันเพื่อเพิ่มความดันไปที่ 197 - 300 บรรยากาศ นำไปผสมกับไวนิลอะซิเตดมอนอเมอร์ที่ถังผสม จากนั้นนำของผสมที่ได้ไปเพิ่มความดันจนถึง 1,480 - 1,974 บรรยากาศ และลดอุณหภูมิเหลือ 15°C ก่อนเข้าไปทำปฏิกิริยาพอลิเมอไรเซชันในถังปฏิกรณ์ พอลิเมอร์หนักจาก ถังปฏิกรณ์จะถูกทำให้เย็นตัวลง และจำเป็นที่จะต้องลดความดันด้วยเครื่องแยกความดันสูง (High Pressure Separator) ส่วนก๊าซเอทิลีนและไวนิลอะซิเตดมอนอเมอร์ที่ไม่ทำปฏิกิริยากัน จะถูกนำกลับไปใช้ใหม่ในกระบวนการผลิต จากนั้นนำพอลิเมอร์มาลดความดันจนถึง 0.49 บรรยากาศ ด้วยเครื่องแยกความดันต่ำ (Low Pressure Separator) ซึ่งพอลิเมอร์ที่ได้นั้นจะถูกส่งไปยังเครื่องอัดรีด (Extruder) หลังจากนั้นจะทำการเติมสารเติมแต่งต่างๆก่อนฉีดผานหัวตาย แล้วจึงนำไปตัดเป็นเม็ดพลาสติก หลังจากนั้นนำผลิตภัณฑ์ที่ได้ไปเก็บที่ไซโลที่ติดตั้งอุปกรณ์ดูดไอเนื่องจากตัวของพลาสติกนั้นดูดความชื้นและเพื่อให้ความเข้มข้นของไวนิลอะซิเตดมอนอเมอร์คงเหลือในผลิตภัณฑ์น้อยกว่า 1,000 ppm

คุณสมบัติของพลาสติกเอทิลีนไวนิลอะซิเตด

1. ย่อยสลายได้โดยไม่ทำลายสิ่งแวดล้อมเมื่อถูกทิ้งหรือเผา ไม่เกิดแก๊สกรดไฮโดรคลอริก

2. มีความโปร่งใสความนุ่มนวลและความเหนียวสูงใช้งานได้หลากหลาย

3. อุณหภูมิต่ำสุด (-70C) เหมาะสำหรับสภาพแวดล้อมการแช่แข็ง

4. มีความยืดหยุ่นสูง

5. มีสมบัติเชิงกลที่ดี

6. ทนต่อการกัดกร่อนได้ดี

ผลิตภัณฑ์ที่ทำมาจากเอทิลีนไวนิลอะซิเตด

1. ใช้ในวงการแพทย์เป็นอุปกรณ์นำส่งยา

2. ทำเป็นรองเท้า

3. ใช้เป็นม่านรูดกันห้องแช่แข็ง

4. พลาสติกชนิดนี้สามารถสัมผัสกับอาหารได้เป็น Food grade มีเอกสารรับรองทั้งในยุโรปและอเมริกา

5. ปลอกหุ้มสายไฟ

2.4 ยางสไตรีนบิวตาไดอีน (Styrene-Butadiene Rubber ; SBR) [7]

ยาง SBR ค่า Density ที่อุณหภูมิห้องอยู่ที่ 0.93 g/cm^3 โดยเปรียบเทียบกับยาง NR ยาง SBR มีสมบัติที่ดีกว่ายาง NR เมื่อนำไปใช้ในงานอุตสาหกรรมและยาง SBR สมบัติการคงรูปของยางจึงมีความสม่ำเสมอกว่ายางชนิดอื่น นอกจากนี้ยาง SBR ยังมีสิ่งสกปรกที่น้อยกว่ายางชนิดอื่นๆ การนำไปผสมกับสารเคมีไม่จำเป็นต้องบดให้นิ่มก่อนสามารถนำไปผสมกับสารเคมีได้เลยก่อนทำการผสมยาง เพราะยาง SBR โดยตัวของยางได้ถูกสังเคราะห์มาให้มีน้ำหนักโมเลกุลที่ไม่ค่อยสูงมาก ยางจึงมีความหนืดที่เหมาะสม ส่งผลทำให้เมื่อมีการเติมสารเคมีลงไป สารเคมีจะมีการกระจายตัวได้ทั่วเนื้อยาง และยางสามารถไหลได้ง่ายในระหว่างการขึ้นรูปแบบต่างๆ โดยเหตุผลนี้ ยาง SBR ยังมีแนวโน้มที่จะเกิดการคงรูปของยางในระหว่างกระบวนการผลิต น้อยกว่ายาง NR (less tendency to scorch in processing) เนื่องจากยาง SBR มีอัตราเร็วในการคงรูปที่ช้ากว่ายาง NR และยังมีข้อดีอีกอย่างคือยาง SBR ถูกออกซิไดซ์ได้ช้ากว่ายาง NR (สามารถทนต่ออุณหภูมิสูงได้ดีกว่ายาง NR เพียงเล็กน้อย) ด้วยเหตุผลที่กล่าวมานี้ ส่งผลให้ยาง SBR มีข้อดีหลายประการที่ดีกว่ายาง NR ยกตัวอย่างเช่น มีขั้นตอนกระบวนการขึ้นรูปขึ้นงาน และแปรรูปขึ้นงานที่สามารถทำได้ง่ายกว่า ประหยัดเวลาในการขึ้นรูปและกำลังแรงงาน ตลอดจนถึงต้นทุนการผลิต

ความเหนียวติดกัน (tack) ยาง SBR มีสมบัติของความเหนียวติดกันที่ไม่ค่อยดี ด้วยเหตุนี้ในกระบวนการผลิตผลิตภัณฑ์บางประเภทจำเป็นต้องนำยางชนิดอื่นเข้ามาช่วย เช่น ในกระบวนการผลิตยางล้อรถยนต์จึงจำเป็นต้องที่จะนำยาง NR ที่มีสมบัติความเหนียวติดกันที่ดีเข้ามาช่วย เช่น เรซินลงไป

ความยืดหยุ่น (elasticity) ยาง SBR มีค่าความยืดหยุ่นที่ต่ำกว่ายาง NR มากเนื่องจากยาง SBR มีโครงสร้างของสไตรีนมากทำให้มีความยืดหยุ่นน้อยลงยังมีสไตรีนมากเท่าไรก็จะยิ่งส่งผลให้ค่าความยืดหยุ่นของยางน้อยลงไปด้วย

ความทนทานต่อแรงดึง (tensile strength) และ ค่าความทนทานต่อการฉีกขาด (tear strength) เนื่องจากยาง SBR ไม่สามารถเกิดการตกผลึกได้เมื่อถูกยืด ยางชนิดนี้จึงมีค่าความทนทานต่อแรงดึงต่ำ (ต่ำกว่ายาง NR ประมาณ 7-10 เท่าในสภาพที่ไม่มีการเติมสารตัวเติมเสริมแรง)

ความต้านทานต่อการขัดถู (abrasion resistance) ยาง SBR ที่มีการใส่สารเสริมแรงลงไปจำพวกสารตัวเติมเสริมแรง เช่น เขม่าดำ ซิลิกา และอื่นจะมีค่าความต้านทานต่อการขัดถูที่สูงกว่ายาง NR เพียงเล็กน้อย (อยู่ที่ประมาณ 10-20 เปอร์เซนต์)

ความทนทานต่อการเสื่อมสภาพ (aging resistance) เนื่องจากโครงสร้างของยาง SBR มีพันธะคู่อยู่ในโมเลกุลมาก ส่งผลให้ยาง SBR มีค่าการเสื่อมสภาพที่เร็วในภาวะที่มีออกซิเจน โอโซน แสงแดด และความร้อนเหมือนกันกับยาง NR แต่ค่าการเสื่อมสภาพของยาง SBR จะมีความแตกต่างจากยางธรรมชาติ ตรงที่เมื่อเกิดการเสื่อมสภาพ เนื่องจากมาจากออกซิเจน โอโซน หรือแสงแดด ตัวของยางจะมีลักษณะแข็งมากขึ้นเนื่องจากเกิดการเชื่อมโยงของสายโมเลกุลและเกิดการแตกร้า (chain scission)

ความทนทานต่อน้ำมันและสารเคมี (oil and chemical resistance) ยาง SBR จัดเป็นยางชนิดที่ไม่ขี้หรือมีความเป็นขี้ต่ำๆ เช่นเดียวกับยาง NR ดังนั้นยางชนิดนี้จึงมีความทนทานต่อน้ำมันปิโตรเลียม และตัวทำละลายในไฮโดรคาร์บอนต่ำ

ความเป็นฉนวน (insulation) ยาง SBR เป็นยางชนิดที่ไม่มีขี้หรือมีความเป็นขี้ต่ำ จึงมีความเป็นฉนวนสูงเหมือนกันยาง NR โดยส่งผลให้ทำให้ความต้านทานไฟฟ้าจำเพาะมีค่าอยู่ในช่วง 1014 - 1015 ohm. cm

การกระด้างกระดอน (rebound resilience) ยาง SBR มีการกระด้างกระดอนต่ำกว่ายาง NR กล่าวคือในระหว่างการเปลี่ยนรูปร่าง ยางจะมีการสูญเสียพลังงานในรูปของความร้อนสูง (มี hysteresis สูง) ด้วยเหตุผลนี้เมื่อถูกใช้งานในเชิงพลวัต ยาง SBR จึงมีค่าความร้อนสะสมที่สูงกว่ายาง NR จึงไม่เหมาะสมที่จะนำยางชนิดนี้ไปใช้งานในกระบวนการผลิตเป็นผลิตภัณฑ์ยางล้อรถยนต์หรือยาง

ล้อยกรบรรทุกที่มีขนาดใหญ่ได้ เนื่องจากค่าความร้อนสะสมที่เกิดขึ้นอาจมีค่าที่สูงมากพอที่จะส่งผลทำให้ยางล้อยกรยนต์เกิดการระเบิดระหว่างการขับขี่ขึ้นได้

อุณหภูมิของการใช้งาน (service temperature) โดยทั่วไปยาง SBR สามารถนำไปใช้งานได้ในช่วงอุณหภูมิตั้งแต่ -50 องศาเซลเซียส ถึง 100 องศาเซลเซียส และเนื่องจากโครงสร้างของยาง SBR ไม่สามารถทนผลึกได้ที่อุณหภูมิต่ำ เมื่อนำไปใช้งานที่อุณหภูมิตดลบต่ำๆ จึงไม่ส่งผลให้เกิดปัญหายางแข็งตัวเมื่อเก็บไว้หรือเมื่อใช้งานที่อุณหภูมิต่ำเป็นระยะเวลายาวนาน

2.5 ยางธรรมชาติ Natural Rubber (NR) [7]

ยางธรรมชาติหรือยางพาราส่วนมากได้มาจากต้นยางพาราสายพันธุ์ *Hevea Braziliensis* โดยมีโครงสร้างทางเคมีของยาง NR คือ cis-1,4-polyisoprene ซึ่งจะประกอบด้วยหน่วยของไอโซพรีน (C_5H_8) มาเรียงต่อกันเป็นสายโซ่ยาว และมีอุณหภูมิการเปลี่ยนสถานะคล้ายแก้ว (Glass transition Temperature; Tg) ประมาณ -72 องศาเซลเซียส กล่าวให้เข้าใจได้ว่าหากนำยาง NR ไปเก็บไว้ที่อุณหภูมิต่ำกว่า -72 องศาเซลเซียส จะส่งผลต่อสมบัติของยางธรรมชาติจะเปลี่ยนจากที่เคยยืดหยุ่นได้ดีกลับเป็นของแข็งเปราะเช่นเดียวกันกับแก้ว โดยทั่วไป จะสามารถแบ่งออกเป็น 2 รูปแบบใหญ่ๆ ได้ดังนี้

น้ำยาง โดยจะผ่านกระบวนการปั่นเหวี่ยง เพื่อลดปริมาณน้ำในน้ำยางสด โดยน้ำยางที่ได้เรียกว่า น้ำยางข้น โดยผลิตภัณฑ์ที่ได้จากน้ำยางข้น ได้แก่ ถุงมือยาง, ถุงยางอนามัย, ลูกโป่ง, จุกหัวนม, ฟองน้ำสำหรับนอน และ ฟองน้ำที่ทำเป็นหมอน

ยางแท่ง โดยสามารถแบ่งออกได้เป็น 3 ประเภทหลักๆ ได้แก่

ยางแผ่น โดยสามารถแบ่งออกได้เป็น 2 ประเภท คือ

แผ่นยางที่ไม่ได้รมควัน

แผ่นยางที่มีการรมควัน สามารถแบ่งออกได้เป็นชั้นต่าง ๆ 5 ชั้น โดยที่ชั้นที่ 1 คือเกรดที่ดีที่สุด และชั้นที่ 5 คือเกรดที่ต่ำที่สุด โดยแผ่นยางเหล่านี้จะเอามาอัดเป็นก้อนๆ เพื่อนำไปผลิตในชั้นต่างๆต่อไป

ยางเครฟ เป็นยางเหลือใช้ที่ได้มาจากการนำเศษยาง การทำยางเครฟนำไปรีดในเครื่องเครฟเพื่อกำจัดสิ่งสกปรกต่าง ๆ ออกไปจากยาง ในระหว่างการรีด

ยางแท่ง เป็นยางที่มีคุณภาพสม่ำเสมอมากกว่ายางแผ่น และยางเครฟ ผ่านการตรวจสอบและจัดชั้นเพื่อรับรองคุณภาพตามหลักวิชาการ และยังเป็นยางที่นิยมนำมาใช้งานในอุตสาหกรรมรถยนต์ในปัจจุบันเป็นจำนวนมาก ยางแท่ง STR ที่ผลิตจาก น้ำยางสด มี 4 เกรด คือ

ยางแท่ง STR XL จะจำกัดปริมาณสิ่งสกปรก ไม่เกิน 0.02% และ มีค่าสี ไม่เกิน 4 หน่วยโลวิบอนด์

ยางแท่ง STR 5L จะจำกัดปริมาณสิ่งสกปรก ไม่เกิน 0.04% และ มีค่าสี ไม่เกิน 6 หน่วยโลวิบอนด์

ยางแท่ง STR 5 จะจำกัดปริมาณสิ่งสกปรก ไม่เกิน 0.04% (ไม่จำกัดค่าสี จึงสามารถนำไปใช้กับ ผลิตภัณฑ์คุณภาพสูง ที่ไม่เน้นสีส้นมากนัก)

ยางแท่ง STR 5CV จะจำกัดปริมาณสิ่งสกปรก ไม่เกิน 0.04% (ไม่จำกัดค่าสี จึงสามารถนำไปใช้กับ ผลิตภัณฑ์คุณภาพสูง ที่ไม่เน้นสีส้นมากนัก)

2.6 ซิลิกา (silica) [8]

ซิลิกา (silica) คือสารประกอบระหว่างออกไซด์และซิลิกอน เมื่อรวมตัวกันก็จะกลายเป็นสูตรทางเคมีชื่อ SiO_2 มีลักษณะเป็นผลึก ไม่มีสี หรือเป็นผลึกสีขาว ไม่มีกลิ่น และรส พบมากในดิน และหิน และเป็นธาตุที่มีมากเป็นอันดับ 2 บนเปลือกโลกรองจากออกซิเจน ซิลิกา มีอนุภาคขนาดเล็ก มีพื้นที่ผิวสูง ซึ่งมีชื่อในทางการค้าแตกต่างกันออกไป เช่น Silica Gel, Precipitated Silica, Silica Fume, Pyrogenic Silica และ Colloidal Silica เป็นต้น รูปแบบของซิลิกาอาจมีลักษณะเป็นเม็ดกลม หรือเรียงตัวกันเป็นแผ่น หรือแท่ง บางครั้งจะเกาะตัวเป็นสายยาวในลักษณะคล้ายวุ้นลอยในแก้ว ทุกชนิดของรูปแบบต่างๆ เหล่านี้ย่อมประกอบด้วยขนาดอนุภาคเล็กมากอยู่ในระดับตั้งแต่ ไมโครเมตร ละเอียดลงเป็นนาโน เมตร และบางครั้งถูกรายงานเป็นเส้นผ่านศูนย์กลางของหน่วย อังสตรอม (Angstrom Å) และถูกนำมาใช้ประโยชน์ในหลายด้าน อาทิ เป็นสารดูดซับความชื้น เป็นสารเพิ่มความเงา เป็นส่วนผสมของวัสดุก่อสร้าง และใช้เป็นสารเพิ่มความแข็งแรงของผลิตภัณฑ์ เป็นต้น

ลักษณะเฉพาะและสมบัติ

1. มีขนาดอนุภาคเล็กมากระดับไมโครเมตร (0.1×10^{-6}), นาโนเมตร ($1-20 \times 10^{-9}$) และอังสตรอม (10×10^{-10})
2. มีพื้นที่ผิวเฉพาะสูง 70 - 200 m^2/g
3. ว่องไวต่อปฏิกิริยา เพราะมีฤทธิ์เป็นกรด และมีพื้นที่ผิวสูง
4. โปร่งใส เพราะโครงสร้างซิลิกาจัดเรียงตัวไม่เป็นระเบียบ
5. ไม่ละลายน้ำหรือละลายได้น้อย
6. ไม่ละลายในกรดทุกชนิด ยกเว้นกรดไฮโดรฟลูออริก
7. จุดหลอมเหลว: 1,710 °C
8. จุดเดือด: 2,230 °C
9. ความหนาแน่น: 2.65 g/cm^3 .
10. ไม่ลุกติดไฟ

ประโยชน์

1. อุตสาหกรรมยาใช้เป็นสารช่วยแรงแรงดึงผิว ช่วยในการกระจายตัวของยาชนิดที่เป็นของเหลว
2. อุตสาหกรรมน้ำมัน และปิโตรเคมีใช้เป็นสารช่วยเร่งให้เกิดปฏิกิริยา หรือใช้เป็นตัวตรงสารช่วยเร่งปฏิกิริยา
3. ใช้เป็นฉนวนกันความร้อน
4. ด้านสิ่งแวดล้อม ใช้เป็นตัวดูดซับสารเคมีอันตราย
5. ด้านวัสดุใช้เป็นสารเสริมความแข็งแรงให้วัสดุ

2.7 ไยมะพร้าว (Coconut Coir) [9]

เส้นใยมะพร้าวเป็นเส้นใยที่ได้จากเปลือกของผลมะพร้าว เส้นใยที่ได้แบ่งตามลักษณะการเก็บเกี่ยวหากเก็บเกี่ยวเมื่อผลมะพร้าวไม่แก่จัด เส้นใยที่ได้จะมีสีขาวหรือสีน้ำตาลอ่อนมีความนุ่ม แต่ไม่เหนียว ในขณะที่เมื่อเก็บเกี่ยวในขณะที่ผลมะพร้าวแก่เต็มที่จะได้เส้นใยสีน้ำตาลมีความเหนียว แต่แข็งแรงต่าง เส้นใยมะพร้าวเป็นเส้นใยที่มีความเหนียวพอสมควร ความโค้งงอต่ำ ทนต่อความชื้นและการทำลายของจุลินทรีย์และเชื้อราได้ดี ไยมะพร้าวมีสัดส่วนเซลลูโลสประมาณ 35-37% และมีลิกนินและเพนินสูงมาก กระบวนการฟอกสีหลายขั้นตอน ดังนั้นใยมะพร้าวจึงถูกนำมาใช้ประโยชน์ในเชิงอุตสาหกรรม รวมทั้งเป็นวัตถุดิบสำหรับผลิตภัณฑ์ที่ใช้ในชีวิตประจำวันส่วนใหญ่ เช่น

ใช้เป็นฉนวนในการดูดซับเสียงสำหรับห้องบันทึกเสียงและระบบเสียงในลำโพง ผลิตเป็นวัสดุป้องกันการกระเทือน

2.8 การหน่วงการติดไฟ [10]

การหน่วงไฟถูกพัฒนาขึ้นเพื่อตอบสนองความต้องการด้านความปลอดภัยทางสังคมในด้านการผลิตและชีวิตป้องกันไฟและปกป้องชีวิตและทรัพย์สินของผู้คน สารชะลอการติดไฟคือการประยุกต์ใช้เทคโนโลยีป้องกันไฟในชีวิตจริง เป็นสารเคมีพิเศษที่ใช้ในการปรับปรุงคุณสมบัติในการเผาไหม้ของสารเผาไหม้และติดไฟประเภทของสารหน่วงไฟสามารถแบ่งได้ดังนี้

1 สารประกอบฮาโลเจน (halogen compounds) สารประกอบฮาโลเจนเป็นที่นิยมในการนำมาใช้เป็นสารหน่วงไฟในช่วงหลายปีที่ผ่านมา เนื่องจากมีประสิทธิภาพในการหน่วงไฟที่ดี เมื่อมีการเผาไหม้เกิดขึ้น สารประกอบฮาโลเจนเกิดการสลายตัวเป็นไฮโดรเจน เฮไลด์ (hydrogen halides) ซึ่งสามารถทำปฏิกิริยากับคาร์บอนอะตอมที่เกิดจากการสลายตัวของวัสดุในระหว่างการเผาไหม้ได้เป็นก๊าซซึ่งสามารถเจือจางก๊าซที่สามารถติดไฟได้ให้กับวัสดุ เป็นการยับยั้งขั้นตอนการแผ่ขยาย ในกระบวนการเผาไหม้ได้ แต่อย่างไรก็ตาม การใช้สารประกอบฮาโลเจน เป็นสาร หน่วงไฟ มีข้อเสียคือ มี

ควันมาก และมีการปลดปล่อยก๊าซที่เป็นพิษต่อมนุษย์ในระหว่างการเผาไหม้ ซึ่งไม่เหมาะสมกับการใช้งานบางประเภท

2 สารประกอบฟอสฟอรัส (phosphorus compounds) สารประกอบฟอสฟอรัสเป็นสารหน่วงไฟอีกชนิดหนึ่งที่ยอมรับใช้ เนื่องจาก ไม่เป็นพิษ มีควันน้อย ในระหว่างการเผาไหม้ และเป็นมิตรต่อสิ่งแวดล้อม สารประกอบฟอสฟอรัสได้แก่ แอมโมเนียม โพลีฟอสเฟต (ammonium polyphosphate, APP) เพนตาอีริทริทอล ฟอสเฟต (pentaerythritol phosphate) และเมลามีน ฟอสเฟต (melamine phosphate, MP) ซึ่งแต่ละชนิดมีกลไกที่ต่างกันและนิยมใช้ร่วมกัน เรียกว่า สารหน่วงไฟระบบอินทนูเมสเซนซ์ (intumescent flame retardant) ในระหว่างการเผาไหม้ APP สลายตัวเป็นกรด แล้วทำปฏิกิริยากับสารประกอบคาร์บอนได้เป็นเถ้าซึ่งทำหน้าที่เป็นฉนวนกันเปลวไฟ ความร้อนและ ก๊าซที่สามารถติดไฟ เพนตาอีริทริทอล ฟอสเฟต ทำปฏิกิริยาเกิดเป็นสารประกอบคาร์บอน (carbonization agent) และ MP ทำหน้าที่เป็นสารทำให้เกิดโฟม (blowing agent) เพื่อเพิ่มประสิทธิภาพในการเป็นฉนวนกันความร้อน

3 สารประกอบซิลิคอน (silicon compounds) สารประกอบซิลิคอน ได้แก่ ซิแลน (silanes) ซิลอกเซน (siloxane) และ ซิลิเอสควิวอกเซน (silsesquioxanes) เป็นสารหน่วงไฟที่เป็นมิตรต่อสิ่งแวดล้อม ไม่เป็นพิษ มีประสิทธิภาพที่ดีในการปรับปรุงความเสถียรทางความร้อนของพอลิเมอร์ กลไกหลักในการต้านการติดไฟของสารประกอบซิลิคอนคือ แตกตัวเป็นอนุภาคมูลอิสระไปเจือจางก๊าซที่สามารถติดไฟในระหว่างการเผาไหม้ นอกจากนี้ สารประกอบซิลิคอนเป็นสารหน่วงไฟที่สามารถปรับปรุงการทนต่อแรงกระแทก

4 โลหะไฮดรอกไซด์ (metal hydroxides) สารหน่วงไฟชนิดโลหะไฮดรอกไซด์เป็นสารหน่วงไฟที่มีการใช้งานมาก เนื่องจากมีควันน้อย มีความเป็นพิษต่ำในระหว่างการเผาไหม้ โลหะไฮดรอกไซด์ได้แก่ อลูมิเนียม ไฮดรอกไซด์ (aluminium hydroxide, $\text{Al}(\text{OH})_3$) แมกนีเซียมคาร์บอเนต (magnesium carbonate, MgCO_3) และแมกนีเซียม ไฮดรอกไซด์ (magnesium hydroxide, $\text{Mg}(\text{OH})_2$) กลไกการต้านการติดไฟของโลหะไฮดรอกไซด์คือ ในระหว่างการเผาไหม้ โลหะไฮดรอกไซด์มีการสลายตัวเป็นเถ้าและน้ำซึ่งทำหน้าที่เป็นฉนวนกันความร้อนและลดความร้อน

2.9 อะลูมินา (Alumina) [11]

อะลูมินาเป็นสารเติมแต่งสารอนินทรีย์ที่ใช้กันอย่างแพร่หลาย เป็นสารหน่วงไฟสามารถยับยั้งการเกิดเพลิงไหม้ และยังป้องกันไม่ให้เกิดควันห้ามผลิตรายละเอียดและไม่ก่อให้เกิดก๊าซพิษ อะลูมินา เป็นเม็ดผลึกขาว ผลิตด้วยกระบวนการไบเออร์และกระบวนการเผาผลึก อะลูมินาบริสุทธิ์ มีความถ่วงจำเพาะ 3.4 - 4.0 จุดหลอมเหลว 2,030 °C ความแข็งเท่ากับ 9 มีความหนาแน่นอยู่ที่ 3.95 g/cm³

2.10 เบนโทไนท์ (Bentonite) [12]

เบนโทไนท์เป็นชื่อเรียกดินประเภทหนึ่งในกลุ่มของ Monmorillonite ที่พบโดยทั่วไปจะเป็นชนิด Dioctahedral โครงสร้างผลึกเป็นแบบสามชั้น T-O-T คือมีชั้น Alumina octahedral sheet แทรกอยู่ระหว่าง Silica tetrahedral 2 ชั้น โครงสร้างทั่วไปคล้ายกับ Mica แต่แทนที่จะมี K⁺ ions แทรกอยู่ระหว่าง Layer กลับมีน้ำแทรกอยู่แทน แรงยึดระหว่าง sheet ของโครงสร้างแต่ละชั้นจะมีค่าน้อย ทำให้น้ำหรือของเหลวสามารถแทรกเข้าไปอยู่ระหว่าง sheet ได้ สำหรับในอุตสาหกรรมเซรามิกนั้น เบนโทไนท์ใช้เป็นตัว plasticizer เพื่อเสริมความแข็งแรงของชิ้นงานก่อนเผาทำให้วัสดุมีความทนไฟและทนการเปลี่ยนแปลงอุณหภูมิอย่างกะทันหัน (Thermal shock resistance) ช่วยลด เปอร์เซ็นต์การหดตัว (shrinkage) ทั้งการหดตัวของชิ้นงานหลอมและการหดตัวของชิ้นงานหลังเผา ทำให้ได้ขนาดของอิฐหลังเผาใกล้เคียงกันมากขึ้น ไม่เกิด size variation และยังช่วยลดปัญหาการแตกร้าวของอิฐในขณะอบแห้งและการแตกร้าวเนื่องจากการเผา นอกจากนี้ยังช่วยเพิ่มความเร็วในการเผาได้ เนื่องจากปริมาณน้ำในโครงสร้างของชิ้นงานลดลง

2.11 งานวิจัยที่เกี่ยวข้อง

กิตติชาติ โทมาควิน และคณะ [13] ได้ทำการศึกษาการไขโยมะพร้าวรวมกับยางพาราเพื่อ เบนทอนดูดซับเสียง ขั้นตอนการทำขึ้นรูปแผ่นโยมะพร้าวขนาดแผ่น 0.50. ม. x 0.50 ม . โดยใช้ความยาวของเส้นใย 3 ขนาด ได้แก่ 8 มม. , 2 มม. และ 1/2 มม. ในอัตราสวนโยมะพร้าว 15 ส่วน : กาวลาเท็กซ์ 20 ส่วน : กาวผง 7 ส่วน : น้ำปลา 6 ส่วน นำส่วนผสมที่ได้ใส่ลงในแม่แบบขนาด 0.50 ม. x 0.50 ม. ที่มีลวดตาข่ายติดไว้ด้านล่างตากทิ้งไว้โดยวิธีธรรมชาติเพื่อให้แห้งและโยมะพร้าวยึดเกาะกันนำแผ่นโยมะพร้าวที่ได้ใส่ลงในแม่แบบขนาด 0.50. ม. x 0.50 ม .แล้วกดทับด้วยน้ำหนัก 70 กก. (ใช้หนังสือหนัก 70 กก.) เพื่ออัดให้มีความหนาแน่นของโยมะพร้าวเพิ่มมากขึ้น แล้วนำไปแช่ในน้ำยางพารา และนำไปทาน้ำยางพารา ผลที่ได้การขึ้นรูปแผ่นโยมะพร้าวความยาวของเส้นโยมะพร้าวที่เหมาะสมในการใช้ขึ้นรูปแผ่นโยมะพร้าว คือ ขนาดความยาว 1/2 มม.เนื่องจากการสามารถขึ้นรูปแผ่นโยมะพร้าวได้ และเนื้อแผ่นโยมะพร้าวมีความ หนาแน่นและความละเอียดของใยสูง การยึดติดของแผ่นโยมะพร้าวกับยางพารา วิธีการนำแผ่นโยมะพร้าววางแช่ในน้ำยางพารา มีการยึด ติดกันของแผ่นโยมะพร้าวกับยางพาราได้ดี มีความหนาและเรียบสม่ำเสมอทั้งทั้งแผ่น ยางพาราช่วยปิดช่อง

รูปทรงของแผ่นใยมะพร้าว ทดสอบการสะท้อนและการดูดซับเสียง พบว่าค่าเฉลี่ยการดูดซับเสียงที่ได้จากการทดสอบแผ่นดูดซับเสียงจากแผ่นใยมะพร้าวร่วมกับยางพาราหนา 2 มม. มีค่าใกล้เคียงกับแผ่นฉนวนใยแก้ว แต่ดีกว่าแผ่นยิปซัม บอร์ด อนุสติบอร์ด และแผ่นใยมะพร้าวหนา 2 มม. ที่ไม่ได้ใช้ยางพารารวมด้วย

Leitao Cao และคณะ [14] ได้ทำการศึกษาประสิทธิภาพและพัฒนาวัสดุดูดซับเสียงที่มีรูปทรงแบ่งออกเป็น 3 ส่วน ได้แก่ กลไกการดูดซับเสียง โฟมดูดซับเสียง และวัสดุดูดซับเสียงแบบเส้นใย ผลที่ได้วัสดุดูดซับเสียงจากเส้นใยธรรมชาติ มีความได้เปรียบของการย่อยสลายตามธรรมชาติ อันตรายต่อสุขภาพของมนุษย์และการจัดการ ทำให้เป็นหนึ่งในวัสดุสำหรับการควบคุมเสียงรบกวน

อนุชิต คำชาติ และคณะ [15] ได้ทำการศึกษาฉนวนกันเสียงจากยางธรรมชาติเติมขุยมะพร้าวที่มีการต้านทานต่อการติดไฟสูง โดยใช้ยาง STR 5L ผสมกับขุยมะพร้าวคัดขนาดให้ได้ขนาด 27 mesh ถึง 11 mesh ใช้ขุยมะพร้าวปริมาณ 0 และ 10 phr และใช้เบนโทไนท์เป็นสารหน่วงไฟในปริมาณ 0, 10, 20, 30, 40, 50 phr ตามลำดับ ทำการผสมยางกับสารเคมีด้วยเครื่องผสมยางระบบปิดทำการคงรูปยางคอมพาวด์โดยใช้แม่พิมพ์อัดธรรมดา หลังจากนั้นก็นำแผ่นยางไปทดสอบ (Horizontal Burning Test) หาค่า Burning Rate พบว่าอัตราส่วนขุยมะพร้าวต่อปริมาณเบนโทไนท์ 10 phr/50 phr ได้ค่า Burning Rate 26.89 (mm/min) ซึ่งเป็นอัตราส่วนที่ดีที่สุด ดังนั้นจึงสรุปได้ว่าอัตราเร็วของการเผาไหม้ (Horizontal Burning Test) ลดลง เมื่อเติมเบนโทไนท์ ลงไปในยางธรรมชาติ เนื่องจากเบนโทไนท์ทำให้เกิดถ่านปกคลุมที่บริเวณผิวของยาง ทำให้ออกซิเจนลงไปทำปฏิกิริยาเผาไหม้ได้ยากขึ้น ทำให้การเผาไหม้ช้าลง

Umberto Berardi และคณะ [16] ได้ทำการศึกษาเส้นใยธรรมชาติได้แก่ เส้นใยปอ, เนื้อไม้, เส้นใยกล้วย, เส้นใยมะพร้าว, ไม้ก๊อก, อ้อย, กระจูด, ขนแกะ มาเป็นวัสดุดูดซับเสียงในอาคาร ผลที่ได้เส้นใยธรรมชาติที่นำมาทดสอบสามารถใช้เป็นวัสดุดูดซับเสียงในอาคารได้ โดยเส้นใยมะพร้าวสามารถดูดซับเสียงได้ดีกว่าเส้นใยธรรมชาติชนิดอื่นๆ

นฤเบศร์ มั่นจิตร และคณะ [17] ได้ทำการศึกษาสมบัติทางเสียงของวัสดุอีลาสโตเมอร์ โดยใช้วัสดุอีลาสโตเมอร์ 3 ชนิดได้แก่ NR, SBR และ IIR ทำการผสมยางกับสารเคมีด้วยเครื่อง Two Roll Mill หลังจากผสมเสร็จจะได้ยางคอมพาวด์ แล้วทำการคงรูปยางคอมพาวด์โดยใช้แม่พิมพ์แบบอัดธรรมดาแล้วนำไปทดสอบสมบัติทางเสียงโดยผลที่ได้ พบว่ายาง SBR มีค่าความสามารถในการกันเสียงที่ดีที่สุด มีค่า STC 21 ในขณะที่ยาง NR และ IIR มีค่า STC 11 และ 10 ตามลำดับ

วาริสรา บรภาค และคณะ [15] ได้ทำศึกษานำยางธรรมชาติ (STR5L) ผสมซิลิกาและใช้ยางธรรมชาติอีพอกไซด์ที่มีหมู่ อีพอกไซด์ 25 เปอร์เซ็นต์ (ENR25) ปริมาณ 15 เปอร์เซ็นต์ โดยน้ำหนักของซิลิกา เป็นสารเพิ่มความสามารถในการเข้ากันระหว่างยางธรรมชาติกับซิลิกา และ ใช้ซิลิกา ตั้งแต่ 0

ถึง 60 phr ลำดับการผสมยางคอมพาวด์ผสมซิลิกาด้วยเครื่องผสมแบบปิด (Internal mixer) ขนาดห้องผสม 500 cm³ ใช้อุณหภูมิเริ่มต้นการผสมเท่ากับ 90°C ความเร็วโรเตอร์ (Rotor speed) 60 rpm และค่าฟิลแฟคเตอร์ (Fill factor) เท่ากับ 0.70 และนำไปศึกษา สมบัติเชิงกล และ ลักษณะสัญญาณวิทยาของยางธรรมชาติคอมพอสิต ผลการทดลอง พบว่ามอดูลัสที่ 100% มอดูลัสที่ 300% และดัชนีการเสริมแรง (M300/M100) มีแนวโน้มเพิ่มสูงขึ้นเมื่อปริมาณซิลิกา แต่ระยะเวลาสกออร์ช (Scorch time) และระยะเวลาคงรูป (Cure time) ความต้านทานต่อแรงดึง ระยะยืด ณ จุดขาด และอุณหภูมิการเปลี่ยนแปลง สถานะคล้ายแก้ว (Glass transition temperature, T_g) ลดลงเมื่อเพิ่มปริมาณซิลิกา

ตารางที่ 2.1 ตารางสรุปงานวิจัย

1	กิตติชาติ โหมาศวิน และคณะ เรื่อง การใช้ใยมะพร้าวร่วมกับยางพาราเพื่อเป็นฉนวนดูดซับเสียง
	Q70-การแปรรูปวัสดุเหลือใช้เกษตร การประชุมทางวิชาการของมหาวิทยาลัยเกษตรศาสตร์ ครั้งที่ 45 ปีพิมพ์ : 2550 หน้า 235-244
วัสดุและสารเคมี	ใยมะพร้าว , กาวลาเท็กซ์ , กาวผง , ยางพารา
วิธีการ	ขึ้นรูปแผ่นใยมะพร้าวขนาดแผ่น 0.50. ม. x 0.50 ม . โดยใช้ความยาวของเส้นใย 3 ขนาด ไตแก 8 มม. , 2 มม. และ ½ มม. ในอัตราส่วนใยมะพร้าว 15 ส่วน : กาวลาเท็กซ์ 20 ส่วน : กาวผง 7 ส่วน : น้ำเปล่า 6 ส่วน นำส่วนผสมที่ได้อัดลงในแม่แบบขนาด 0.50. ม. x 0.50 ม. ที่มีลวดตาข่ายติดไว้ด้านล่างตากทิ้งไว้โดยวิธีธรรมชาติเพื่อให้แห้งและใยมะพร้าวยึดเกาะกันนำแผ่นใยมะพร้าวที่ได้อัดลงในแม่แบบขนาด 0.50. ม. x 0.50 ม .แล้วกดทับด้วยน้ำหนัก 70 กก. (ใช้หนังสือหนัก 70 กก.) เพื่ออัดให้มีความหนาแน่นของใยมะพร้าวเพิ่มมากขึ้น แล้วนำไปแช่ในน้ำยางพารา และนำไปทาน้ำยางพารา
ผลที่ได้	การขึ้นรูปแผ่นใยมะพร้าวความยาวของเส้นใยมะพร้าวที่เหมาะสมในการใช้ขึ้นรูปแผ่นใยมะพร้าว คือ ขนาดความยาว 1/2 มม. เนื่องจากการสามารถขึ้นรูปแผ่นใยมะพร้าวได้ และเนื้อแผ่นใยมะพร้าวมีความ หนาแน่นและความละเอียดของใยสูง การยึดติดของแผ่นใยมะพร้าวกับยางพารา วิธีการนำแผ่นใยมะพร้าวลงแช่

	<p>ในน้ำยางพารา มีการยึด ติดกันของแผ่นใยมะพร้าวกับยางพาราได้ดี มีความหนาและเรียบสม่ำเสมอทั้งทั้งแผ่น ยางพาราช่วยปิดช่อง รูพรุนของแผ่นใยมะพร้าว ทดสอบการสะท้อนและการดูดซับเสียง พบว่าค่าเฉลี่ยการดูดซับเสียงที่ได้จากการทดสอบแผ่นดูดซับเสียง จากแผ่นใยมะพร้าวรวมกับยางพาราหนา 2 มม. มีค่าใกล้เคียงกับ แผ่นฉนวนใยแก้ว แต่ดีกว่าแผ่นยิปซัม บอร์ด อคูสติคบอร์ด และ แผ่นใยมะพร้าวหนา 2 มม. ที่ไม่ได้ใช้ยางพารารวมด้วย</p>
สิ่งที่เกี่ยวข้องกับงานวิจัย	เส้นใยมะพร้าว ,การดูดซับเสียง
2	<p>Leitao Cao และคณะ เรื่อง Porous materials for sound absorption Composites Communications Volume 10, December 2018, Pages 25-35 Short Review</p>
วัสดุและสารเคมี	เส้นใย
วิธีการ	ได้ประดิษฐ์ และการพัฒนาวัสดุดูดซับเสียงที่มีรูพรุน แบ่งออกเป็น 3 ส่วน ได้แก่ กลไกการดูดซับเสียง โฟมดูดซับเสียง และวัสดุดูดซับเสียงแบบเส้นใย
ผลที่ได้	วัสดุดูดซับเสียงจากเส้นใยธรรมชาติ มีความได้เปรียบของการย่อยสลายตามธรรมชาติ อันตรายต่อสุขภาพของมนุษย์และการจัดการ ทำให้เป็นหนึ่งในวัสดุสำหรับการควบคุมเสียงรบกวน
สิ่งที่เกี่ยวข้องกับงานวิจัย	การดูดซับเสียง ,ขนาดของเส้นใย
3	<p>อนุชิต คำชาติ เรื่อง ฉนวนกันเสียงจากยางธรรมชาติเติมขุยมะพร้าวที่มีการต้านทานต่อการติดไฟสูง ปริญญาณีพนธ์ตามหลักสูตรวิศวกรรมศาสตรบัณฑิต ภาควิชาวิศวกรรมวัสดุและโลหะการ มหาวิทยาลัยเทคโนโลยีราชมงคลธัญบุรี</p>
วัสดุและสารเคมี	ยาง STR 5L ,ขุยมะพร้าว ,Bentonite
วิธีการ	ได้ทำการศึกษาฉนวนกันเสียงจากยางธรรมชาติเติมขุยมะพร้าวที่มีการต้านทานต่อการติดไฟสูง โดยใช้ยาง STR 5L ผสมกับขุยมะพร้าวคัดขนาดให้ได้ขนาด 27 mesh ถึง 11 mesh ใช้ขุยมะพร้าวปริมาณ 0 และ 10 phr และใช้เบนโทไนท์เป็นสารหน่วงไฟ ในปริมาณ 0, 10, 20, 30, 40, 50 phr ตามลำดับ ทำการผสมยางกับสารเคมีด้วยเครื่องผสมยางระบบปิด ทำการคงรูปร่างคอม

	พรารวดโดยใช้แม่พิมพ์อัดธรรมดา หลังจากนั้นก็นำแผ่นยางไปทดสอบ(Horizontal Burning Test) หาค่า Burning Rate
ผลที่ได้	พบว่าอัตราส่วนขุยมะพร้าวต่อปริมาณเบนโทไนท์ 10phr/ 50phr ได้ค่าBurning Rate 26.89 (mm/min) ซึ่งเป็นอัตราส่วนที่ดีที่สุด ดังนั้นจึงสรุปได้ว่าอัตราเร็วของการเผาไหม้ (Horizontal Burning Test) ลดลง เมื่อเติมเบนโทไนท์ ลงไปในยางธรรมชาติ เนื่องจากเบนโทไนท์ทำให้เกิดถ่านปกคลุมที่บริเวณผิวของยาง ทำให้ออกซิเจนลงไปทำปฏิกิริยาเผาไหม้ได้ยากขึ้นทำให้การเผาไหม้ช้าลง
สิ่งที่เกี่ยวข้องกับงานวิจัย	Bentonite
4	Umberto Berardi และคณะ เรื่อง Acoustic characterization of natural fibers for sound absorption applications Building and Environment Volume 94, Part 2, December 2015, Pages 840-852
วัสดุและสารเคมี	เส้นใยปอ, เนื้อไม้, เส้นใยกล้วย, เส้นใยมะพร้าว, ไม้ก๊อก, อ้อย, กระจาดขี้ผึ้ง, ขนแกะ
วิธีการ	นำเส้นใยธรรมชาติได้แก่ ใยกล้วย, ไม้, ปอ ,มะพร้าว ,ไม้ก๊อก ,อ้อย ,กระจาดขี้ผึ้ง และขนแกะ นำมาวัดค่าสัมประสิทธิ์การดูดกลืนและความต้านทานการไหลของตัวอย่างที่มีความหนาต่างกัน
ผลที่ได้	เส้นใยธรรมชาติที่นำมาทดสอบสามารถใช้เป็นวัสดุดูดซับเสียงในอาคารได้ โดยเส้นใยมะพร้าวสามารถดูดซับเสียงได้ดีกว่าเส้นใยธรรมชาติชนิดอื่นๆ
สิ่งที่เกี่ยวข้องกับงานวิจัย	เส้นใยมะพร้าว ,สมบัติการกันเสียง
5	นฤเบศร์ มั่นจิตร และคณะ เรื่อง การศึกษาสมบัติทางเสียงของวัสดุอิลาสโตเมอร์ ปริญญาณีพนธ์ตามหลักสูตรวิศวกรรมศาสตรบัณฑิต ภาควิชาวิศวกรรมวัสดุและโลหะการ มหาวิทยาลัยเทคโนโลยีราชมงคลธัญบุรี
วัสดุและสารเคมี	NR ,SBR ,IIR
วิธีการ	โดยใช้วัสดุอิลาสโตเมอร์ 3 ชนิดได้แก่ NR, SBR และIIR ทำการผสมยางกับสารเคมีด้วยเครื่อง Two Roll Mill หลังจากผสมเสร็จจะได้ยางคอมพาวด์ แล้วทำการคงรูปยางคอมพาวด์โดยใช้แม่พิมพ์แบบอัดธรรมดา แล้วนำไปทดสอบสมบัติทางเสียง

ผลที่ได้	พบว่ายาง SBR มีค่าความสามารถในการกันเสียงดีที่สุดในค่า STC 21 ในขณะที่ยาง NR และ IIR มีค่า STC 11 และ 10 ตามลำดับ
สิ่งที่เกี่ยวข้องกับงานวิจัย	SBR ,NR
6	วิเคราะห์ บรภาค และคณะ เรื่อง ผลของปริมาณซิลิกาต่อสมบัติของยางธรรมชาติเสริมแรงด้วยซิลิกาที่มียางธรรมชาติอีพอกไซด์ เป็นสารเพิ่มความสามารถในการเข้ากัน
	การประชุมวิชาการระดับชาติ “วลัยลักษณ์วิจัย” ครั้งที่ 11 วันที่ 27-28 มีนาคม 2562
วัสดุและสารเคมี	STR 5 L ,Silica STR5L ,Zinc oxide ,Stearic acid ,Ultrasil VN3 ,Aromatic oil ,MBTS ,DPG ,Sulfur ,ENR 25
วิธีการ	ผสมยางคอมพาวด์กับซิลิกาด้วยเครื่องผสมแบบปิด (Internal mixer) ขนาดห้องผสม 500 cm ³ ใช้อุณหภูมิเริ่มต้นการผสมเท่ากับ 90° C ความเร็วโรเตอร์ (Rotor speed) 60 rpm และค่าฟิลแฟคเตอร์ (Fill factor) เท่ากับ 0.70
ผลที่ได้	พบว่ามอดูลัสที่ 100% มอดูลัสที่ 300% และดัชนีการเสริมแรง (M300/M100) มีแนวโน้มเพิ่มสูงขึ้นเมื่อปริมาณซิลิกา แต่ระยะเวลาสกอร์ช (Scorch time) และระยะเวลาคงรูป (Cure time) ความต้านทานต่อแรงดึง ระยะยืด ณ จุดขาด และอุณหภูมิการเปลี่ยนแปลง สถานะคล้ายแก้ว (Glass transition temperature, Tg) ลดลงเมื่อเพิ่มปริมาณซิลิกา
สิ่งที่เกี่ยวข้องกับงานวิจัย	STR 5 L ,Silica

บทที่ 3

วิธีการดำเนินงาน

3.1 วัสดุสารเคมี อุปกรณ์ และเครื่องมือที่ใช้ในการวิจัย

3.1.1 วัสดุและสารเคมี

1) เอทิลีนไวนิลอะซิเตด (Ethylene Vinyl Acetate) เกรด N 8038 ของ บริษัท ทีพีไอ โพลีน จำกัด (มหาชน)

2) วัสดุอีลาสโตเมอร์ (Elastomer)

- ยางธรรมชาติ (Natural Rubber, NR) ชนิดแท่ง เกรด STR 5 L จากบริษัท PJ Rubbre Co.,Ltd. ประเทศไทย

- ยางสไตรีนบิวตาไดอีน (Styrene Butadiene Rubber, SBR) เกรด SBR 1502 บริษัท บีเอสที อีลาสโตเมอร์ จำกัด

3) สารตัวเติม (Fillers)

- ซิลิกา (Silica) ของ บริษัท นิคอินเตอร์เคท จำกัด

- ไยมะพร้าวยาว 3 มิลลิเมตร จากตลาดไท จังหวัดปทุมธานี

5) สารหน่วงการติดไฟ (Flame Retardant)

- อะลูมินา (Alumina) เกรด H-WF-8 ได้รับความอนุเคราะห์จาก บริษัท ยูนิโปร เมนูแพคเจอรัง จำกัด

- เบนโทไนท์ (Bentonite) เกรด SCA-1 ของ บริษัท THAI NIPPON CHEMICAL INDUSTRY CO.,LTD

3.1.2 เครื่องมือที่ใช้ในงานวิจัย

1) เครื่องบดผสมสองลูกกลิ้ง (Two Roll Mill) ของ บริษัท LAB TECH ENGINEERING CO.LTD ประเทศจีน

2) เครื่องอัดขึ้นรูป (Compression Molding) ของ บริษัท Interface ประเทศจีน

3) เครื่องทดสอบความแข็งแบบดูโรมิเตอร์ (Durometer) Shore A รุ่น PTC Instruments model 473

4) เครื่องทดสอบแรงดึง (Universal Testing machine) รุ่น QC-500A2 ของ บริษัท Astrolnstrument

5) เครื่องทดสอบความถ่วงจำเพาะ (Specific gravity) รุ่น AB 204-S บริษัท Mettler Toledo

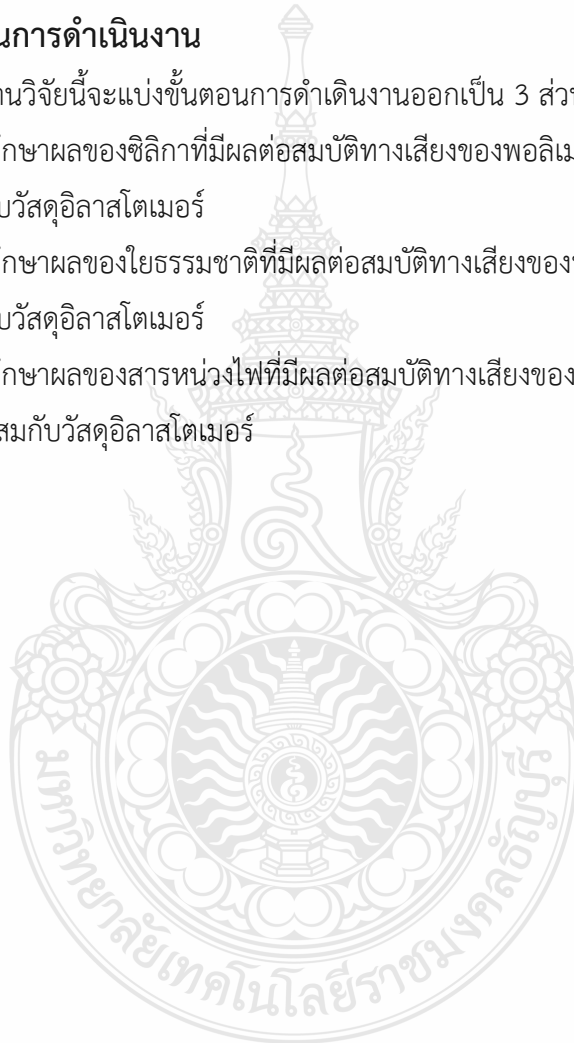
6) เครื่องทดสอบการลามไฟ (Flammable tester) รุ่น TYOE G151 SERIAL 12385 บริษัท CEAST

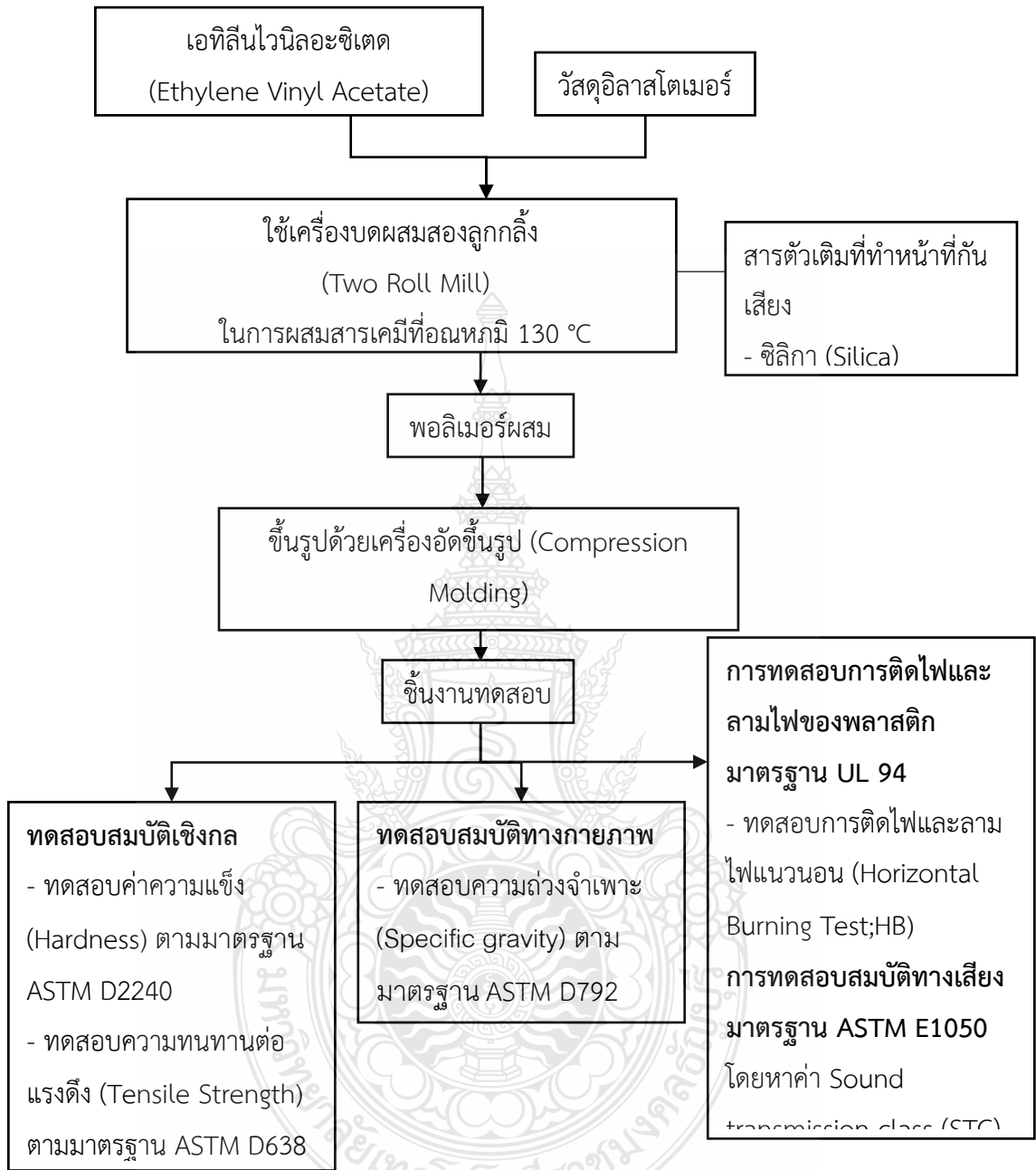
7) เครื่องทดสอบทางเสียงความถี่สูง-ต่ำ

3.2 แผนผังขั้นตอนการดำเนินงาน

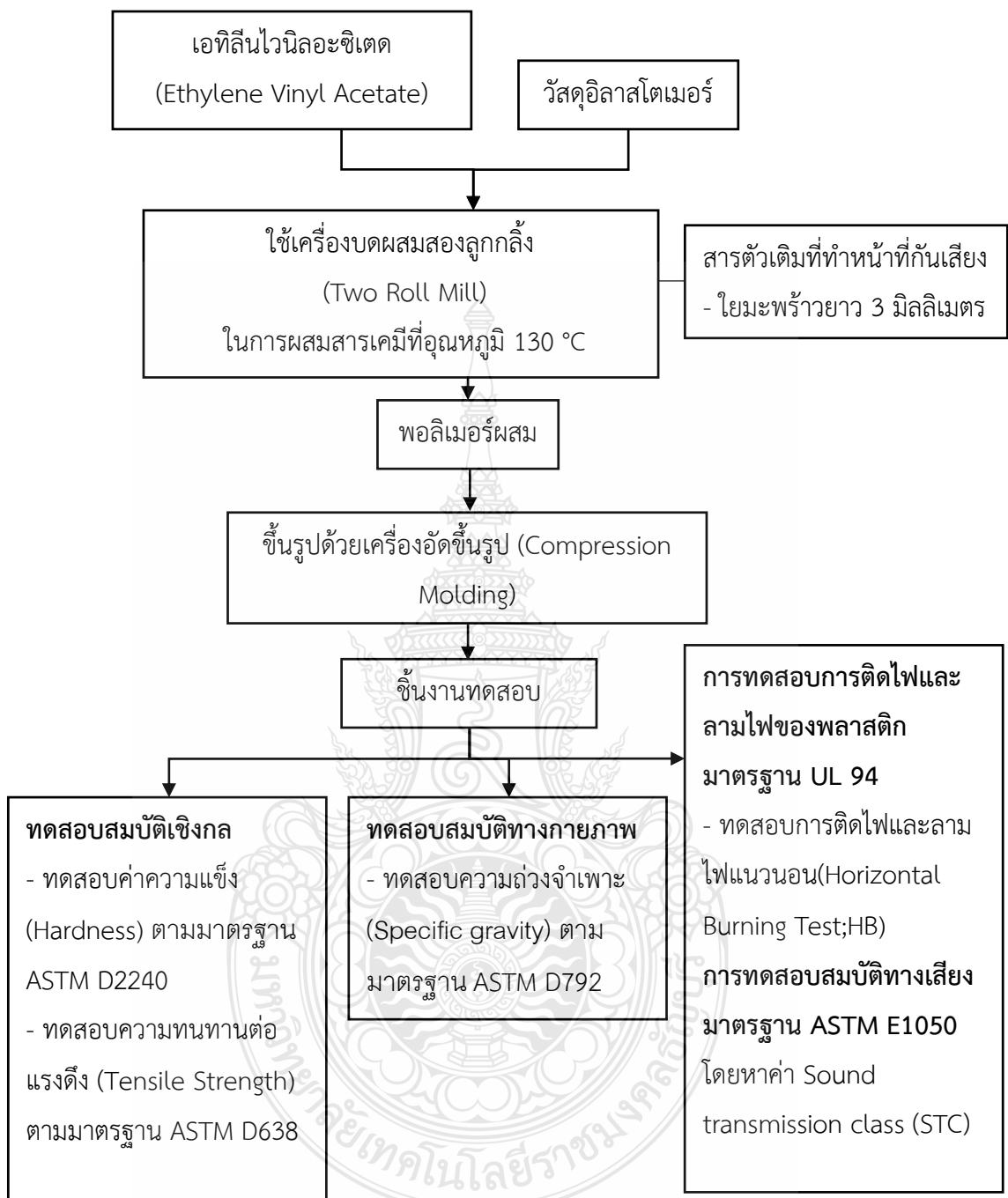
3.2.1 ในงานวิจัยนี้จะแบ่งขั้นตอนการดำเนินงานออกเป็น 3 ส่วน ได้แก่

- 1) ศึกษาผลของซิลิกาที่มีผลต่อสมบัติทางเสียงของพอลิเมอร์ผสมระหว่างเอทิลีนไวนิลอะซิเตดกับวัสดุอิลาสโตเมอร์
- 2) ศึกษาผลของใยธรรมชาติที่มีผลต่อสมบัติทางเสียงของพอลิเมอร์ผสมระหว่างเอทิลีนไวนิลอะซิเตดกับวัสดุอิลาสโตเมอร์
- 3) ศึกษาผลของสารหน่วงไฟที่มีผลต่อสมบัติทางเสียงของพอลิเมอร์ผสมระหว่างเอทิลีนไวนิลอะซิเตดผสมกับวัสดุอิลาสโตเมอร์

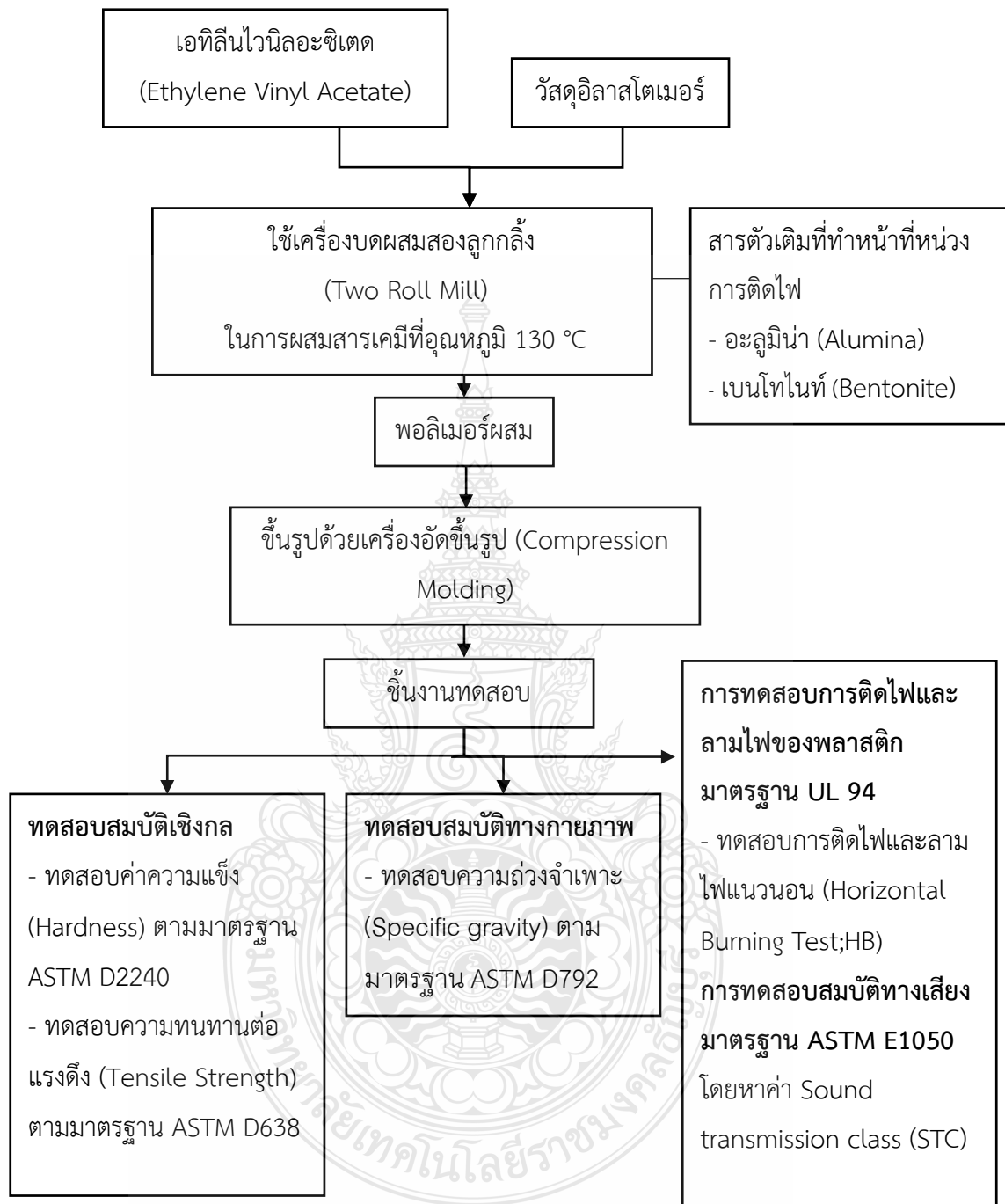




รูปที่ 3.1 แผนผังขั้นตอนการดำเนินงานขั้นตอนที่ 1 แสดงองค์ประกอบที่ใช้ในการศึกษาผลของซิลิกาที่มีผลต่อสมบัติทางเสียงของพอลิเมอร์ผสมระหว่างเอทิลีนไวนิลอะซิเตดกับวัสดุซิลิกาโตเมอร์



รูปที่ 3.2 แผนผังขั้นตอนการดำเนินงานในขั้นตอนที่ 2 แสดงองค์ประกอบที่ใช้ในการศึกษาผลของใยธรรมชาติที่มีผลต่อสมบัติทางเสียงของพอลิเมอร์ผสมระหว่างเอทิลีนไวนิลอะซิเตดกับวัสดุอีลาสโตเมอร์



รูปที่ 3.3 แผนผังขั้นตอนการดำเนินงานในขั้นตอนที่ 3 แสดงองค์ประกอบที่ใช้ในการศึกษาผลของสารหน่วงไฟที่มีผลต่อสมบัติทางเสียงของพอลิเมอร์ผสมระหว่างเอทิลีนไวนิลอะซิเตดผสมกับวัสดุอีลาสโตเมอร์

3.3 วิธีการดำเนินงาน

3.3.1 ขั้นตอนการผสม

นำเอทิลีนไวนิลอะซิเตดผสมกับวัสดุอิลาสโตเมอร์ อันได้แก่ ยางธรรมชาติ และยางสไตรีนบิวตาไดอีน ตามองค์ประกอบดังแสดงในตารางที่ 3.1, 3.2 และ 3.3 หลังจากนั้นใส่สารตัวเติมอันได้แก่ ซิลิกาตามองค์ประกอบดังแสดงในตารางที่ 3.1 ไยมะพร้าวตามองค์ประกอบดังแสดงในตารางที่ 3.2 และอะลูมินา และเบนโทไนท์ตามองค์ประกอบดังแสดงในตารางที่ 3.3 ทำการผสมโดยเครื่องบดผสมสองลูกกลิ้งที่อุณหภูมิ 130 °C เป็นเวลา 8 นาที

ตารางที่ 3.1 แสดงองค์ประกอบที่ใช้ในการศึกษาผลของซิลิกาที่มีผลต่อสมบัติทางเสียงของพอลิเมอร์ผสมตามอัตราส่วน เอทิลีนไวนิลอะซิเตด:อิลาสโตเมอร์ โดยน้ำหนัก

วัสดุ	Silica (phr)			
EVA	0			
EVA : SBR				
70 : 30				
50 : 50	0	10	20	30
30 : 70				
EVA : NR				
70 : 30				
50 : 50	0	10	20	30
30 : 70				

ตารางที่ 3.2 แสดงองค์ประกอบที่ใช้ในการศึกษาผลของใยธรรมชาติที่มีผลต่อสมบัติทางเสียงของพอลิเมอร์ผสมตามอัตราส่วน เอทิลีนไวนิลอะซิเตด:อีลาสโตเมอร์ โดยน้ำหนัก

วัสดุ	ใยมะพร้าวยาว 3 มิลลิเมตร (phr)			
EVA	0			
EVA : SBR				
70 : 30				
50 : 50	0	5	10	15
30 : 70				
EVA : NR				
70 : 30				
50 : 50	0	5	10	15
30 : 70				

ตารางที่ 3.3 แสดงองค์ประกอบที่ใช้ในการศึกษาผลของสารหน่วงไฟที่มีผลต่อสมบัติทางเสียงของพอลิเมอร์ผสมตามอัตราส่วน เอทิลีนไวนิลอะซิเตด:อีลาสโตเมอร์ โดยน้ำหนัก

วัสดุ	Alumina (phr)				Bentonite (phr)		
EVA	0				0		
EVA : SBR							
70 : 30							
50 : 50	0	10	30	50	10	30	50
30 : 70							
EVA : NR							
70 : 30							
50 : 50	0	10	30	30	10	30	50
30 : 70							

3.3.2 ขั้นตอนการขึ้นรูปชิ้นงาน

นำพอลิเมอร์ผสมใส่แม่พิมพ์ขนาด กว้าง 20 เซนติเมตร ยาว 20 เซนติเมตร หนา 3 มิลลิเมตร แล้วนำไปขึ้นรูปชิ้นงานด้วยเครื่องอัดขึ้นรูปที่อุณหภูมิ 130 °C ความดัน 250 บาร์ เวลาในการขึ้นรูปชิ้นงาน 4 นาที และ เวลาในการหล่อเย็น 4 นาที

3.3.3 การทดสอบสมบัติเชิงกล

1) การทดสอบค่าความแข็ง

ทดสอบด้วยเครื่องทดสอบความแข็งแบบคูโรมิเตอร์ (Durometer) ประเภท Shore A ตามมาตรฐาน ASTM D2240 โดยขึ้นทดสอบควรมีความหนาอย่างน้อย 6 มิลลิเมตร ทดสอบชิ้นงานตัวอย่าง 10 จุด และจะใช้สภาวะในการทดสอบคือโหลดที่ใช้ 5 kg

วิธีการทดสอบ

1. กดหัวกดลงบนชิ้นทดสอบด้วยความรวดเร็วและต้องออกแรงกดให้มากพอที่จะทำให้ฐานของหัวกดแนบสนิทกับชิ้นทดสอบ

2. เมื่อบานของหัวกดแนบสนิทกับชิ้นทดสอบ จึงอ่านค่าความแข็งภายใน 1 วินาที

3. ทำการวัดความแข็งอย่างน้อย 10 จุดบนชิ้นทดสอบและรายงานค่าเฉลี่ยที่วัดได้

2) การทดสอบความต้านทานต่อแรงดึง

ทดสอบด้วยเครื่องทดสอบความต้านทานต่อแรงดึง (Universal testing machine) ตามมาตรฐาน ASTM D638 โดยจะเตรียมชิ้นงานทดสอบเป็นรูปดัมเบลล์แบบ Types I มีความหนา 3 มิลลิเมตร ความกว้าง 19 มิลลิเมตร และความยาว 165 มิลลิเมตร การเตรียมชิ้นงานจะเตรียมด้วยเครื่องกัดชิ้นงาน โดยจะทดสอบชิ้นงานตัวอย่างละ 5 ชิ้น และจะใช้สภาวะในการทดสอบคือ Load range ที่ใช้ในการทดสอบเท่ากับ 250 นิวตัน อัตราเร็วในการดึง (Speed) เท่ากับ 500 มิลลิเมตร/นาที Extension length เท่ากับ 1,000 มิลลิเมตรและระยะห่างของหัวจับชิ้นงาน (Grip) 100 มิลลิเมตร

วิธีการทดสอบ

1. เตรียมชิ้นงานให้เรียบร้อยหลังจากนั้นนำชิ้นงานไปใส่ในช่องว่างของตัวจับแล้วหมุนตัวจับให้แน่นพอดีมือ

2. เซตข้อมูลต่างๆ ลงในเครื่องแล้วกดเริ่มการทดสอบ

3. ทำซ้ำอย่างน้อย 5 ครั้ง แล้วบันทึกผลการทดสอบ

3.3.4 การทดสอบสมบัติทางกายภาพ

ทดสอบความถ่วงจำเพาะ (Specific gravity) มาตรฐาน ASTM D 792 ยี่ห้อ Mettler Toledo รุ่น AB 204-S

วิธีการทดสอบ

1. ตัดชิ้นงานให้เป็นชิ้นเล็กๆ ขนาด 1*1 เซนติเมตร
2. นำชิ้นงานไปวางในตะแกรงที่เตรียมไว้
3. ปิดฝาเครื่องแล้วทำการทดลอง
4. ทำซ้ำอย่างน้อย 5 ครั้ง/บันทึกผลการทดสอบ

3.3.5 การทดสอบการหน่วงการติดไฟตามมาตรฐาน UL-94 แบบการลามไฟแนวนอน (Horizontal Burning Test (HB))

วิธีการทดสอบ

1. เตรียมชิ้นงานขนาด 125 12.5 3 มิลลิเมตร
2. เสียบปลั๊กมอเตอร์ดูความขึ้น
3. เปิดวาล์วแก๊ส
4. จุดไฟที่หัวปล่อยแก๊สด้วยไฟแช็กและปรับเปลวไฟตามความต้องการ หรือประมาณ 25 มิลลิเมตร และหัว burner เอียงทำมุม 45 องศา
5. เอาชิ้นงานไปยึดไว้ที่หัวจับชิ้นงานและเอาแผ่นอลูมิเนียมรองไว้ตามชิ้นงานเพื่อกันน้ำพลาสติกไหลลงมาจะได้ไม่ติดกับเครื่องทดสอบ
6. ทำการเผาโดยเลื่อนหัว burner ไปจ่อที่ปลายชิ้นงานเป็นเวลา 30 วินาทีเมื่อครบ 30 วินาที เลื่อนไฟออกจากชิ้นงานแล้วสังเกตการติดไฟ
7. เมื่อเผาเสร็จก็สวมถุงมือหยิบชิ้นงานออกจากที่ยึด

3.3.6 การทดสอบสมบัติเสียงตามมาตรฐาน ASTM E1050

วิธีการทดสอบ

1. เตรียมชิ้นงาน มีลักษณะวงกลม เส้นผ่าศูนย์กลาง 100 มิลลิเมตร กับ 20 มิลลิเมตร
2. เลือกความถี่เสียงที่ใช้ทดสอบ ความถี่สูง 500 – 4000 Hz ความถี่ต่ำ 125 – 1600 Hz
3. เตรียมตัวอย่างใส่ Tube
4. ใช้โปรแกรม elas ในการทดสอบ

บทที่ 4

ผลการทดลองและวิเคราะห์ผลการทดลอง

งานวิจัยนี้ได้แบ่งการดำเนินงานออกเป็น 4 ส่วนได้แก่

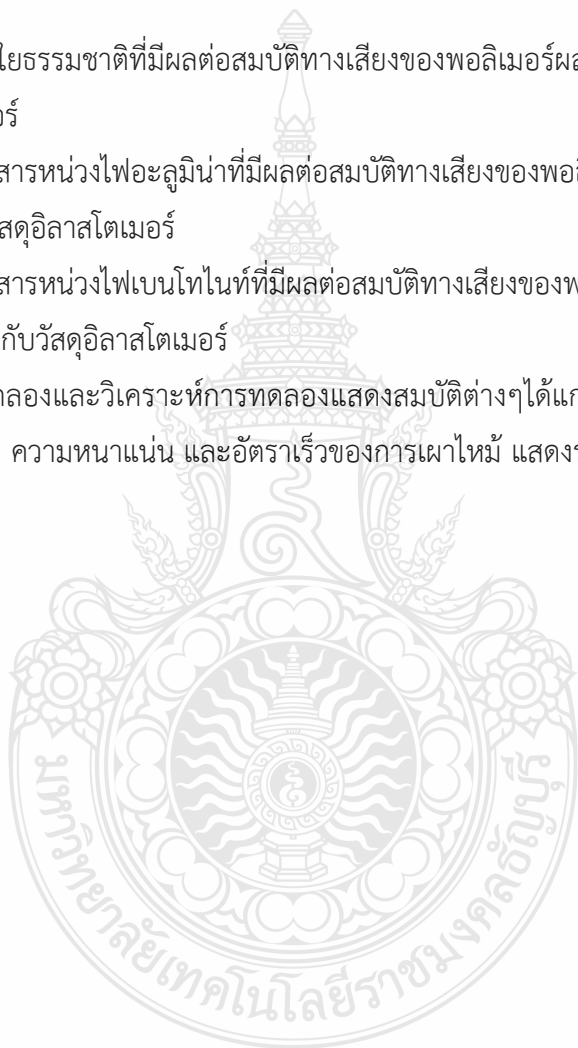
4.1. ผลของซิลิกาที่มีผลต่อสมบัติทางเสียงของพอลิเมอร์ผสมระหว่างเอทิลีนไวนิลอะซิเตดกับ วัสดุอิลาสโตเมอร์

4.2. ผลของใยธรรมชาติที่มีผลต่อสมบัติทางเสียงของพอลิเมอร์ผสมระหว่างเอทิลีนไวนิลอะซิเตดกับวัสดุอิลาสโตเมอร์

4.3. ผลของสารหน่วงไฟอะลูมินาที่มีผลต่อสมบัติทางเสียงของพอลิเมอร์ผสมระหว่างเอทิลีนไวนิลอะซิเตดผสมกับวัสดุอิลาสโตเมอร์

4.4. ผลของสารหน่วงไฟเบนโทไนท์ที่มีผลต่อสมบัติทางเสียงของพอลิเมอร์ผสมระหว่างเอทิลีนไวนิลอะซิเตดผสมกับวัสดุอิลาสโตเมอร์

ซึ่งผลการทดลองและวิเคราะห์การทดลองแสดงสมบัติต่างๆได้แก่ สมบัติทางเสียง ความแข็งแรง ความทนทานต่อแรงดึง ความหนาแน่น และอัตราเร็วของการเผาไหม้ แสดงรายละเอียดดังต่อไปนี้

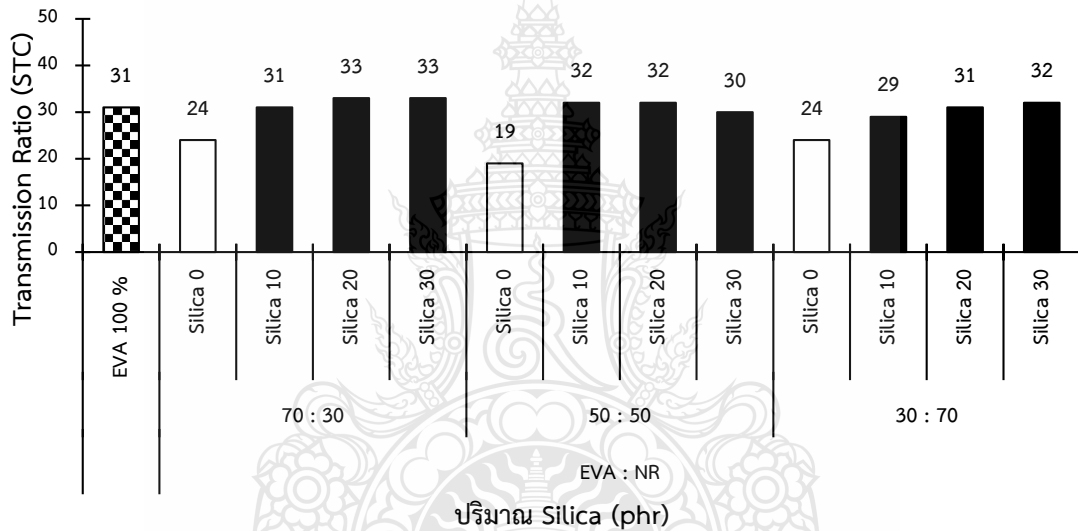


4.1 ผลของซิลิกาที่มีผลต่อสมบัติทางเสียงของพอลิเมอร์ผสมระหว่างเอทิลีนไวนิลอะซิเตดกับวัสดุอิลาสโตเมอร์

4.1.1 สมบัติทางเสียง

ในงานวิจัยนี้ได้ศึกษาสมบัติความเป็นฉนวนกันเสียงของพอลิเมอร์ผสมระหว่างเอทิลีนไวนิลอะซิเตดกับวัสดุอิลาสโตเมอร์ โดยเน้นในการศึกษาสมบัติการกันเสียงเป็นหลัก ค่าการกันเสียงหาได้จาก ค่าระดับการส่งผ่านของเสียง (Transmission Ratio : STC)

สมบัติความเป็นฉนวนกันเสียงของพอลิเมอร์ผสมระหว่างเอทิลีนไวนิลอะซิเตดกับยางธรรมชาติโดยใช้ซิลิกาเป็นสารตัวเติมแสดงรายละเอียด ดังรูปที่ 4.1

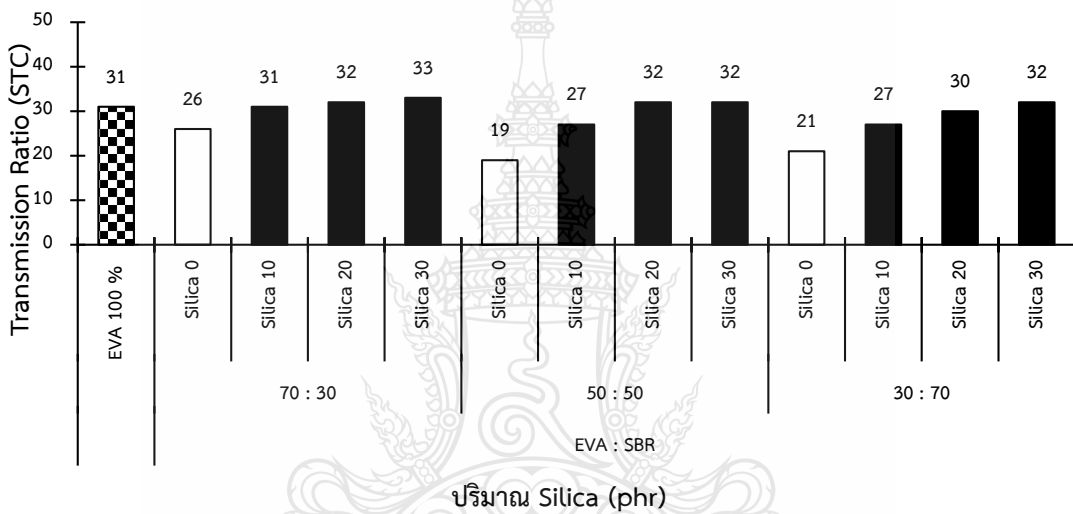


รูปที่ 4.1 กราฟแสดงค่าระดับการส่งผ่านของเสียง (STC) ของพอลิเมอร์ผสมระหว่างเอทิลีนไวนิลอะซิเตดกับยางธรรมชาติที่มีการเติมซิลิกา

จากรูปที่ 4.1 แสดงผลการศึกษาสมบัติความเป็นฉนวนกันเสียงของพอลิเมอร์ผสมระหว่างเอทิลีนไวนิลอะซิเตดกับยางธรรมชาติ ในอัตราส่วน 70:30, 50:50 และ 30:70 โดยนำห้มาเปรียบเทียบกับเอทิลีนไวนิลอะซิเตดที่ใช้งานในอุตสาหกรรมฉนวนกันเสียงภายในรถยนต์ ผลการทดลองพบว่าค่าระดับการส่งผ่านของเสียงของพอลิเมอร์ผสมต่ำกว่าเอทิลีนไวนิลอะซิเตด สอดคล้องกับ [พงษ์ธร แซ่ฮ้อย] เนื่องจากยางธรรมชาติมีความแข็งน้อยกว่าเอทิลีนไวนิลอะซิเตด ทำให้ค่าความแข็งลดลง ซึ่งค่าความแข็งของวัสดุมีผลต่อค่าระดับการส่งผ่านของเสียง ส่งผลให้พอลิเมอร์ผสมมีค่าระดับการส่งผ่านของเสียงที่ลดลง การเติมซิลิกาที่ปริมาณ 10, 20 และ 30 phr ในพอลิเมอร์ผสมเพื่อเปรียบเทียบกับเอ

ทีลีนไวนิลอะซิเตด พบว่าพอลิเมอร์ผสมระหว่างเอทีลีนไวนิลอะซิเตดกับยางยางธรรมชาติ มีค่าระดับการส่งผ่านของเสียง เพิ่มขึ้นตามปริมาณของซิลิกาที่เติมลงไป สอดคล้องกับ [พงษ์ธร แซ่อู่ย] ซึ่งซิลิกาเป็นสารตัวเติมที่ช่วยเพิ่มความแข็งให้วัสดุ โดยความแข็งที่เพิ่มขึ้นทำให้การส่งผ่านของเสียงทะลุผ่านไปได้ยาก

สมบัติความเป็นฉนวนกันเสียงของพอลิเมอร์ผสมระหว่างเอทีลีนไวนิลอะซิเตดกับยางสไตรีนบิวตาไดอีนโดยใช้ซิลิกาเป็นสารตัวเติมแสดงรายละเอียด ดังรูปที่ 4.2



รูปที่ 4.2 กราฟแสดงค่าระดับการส่งผ่านของเสียง (STC) ของเอทีลีนไวนิลอะซิเตดผสมยางสไตรีนบิวตาไดอีนที่มีการเติมซิลิกา

จากรูปที่ 4.2 แสดงผลการศึกษาศมบัติความเป็นฉนวนกันเสียงของพอลิเมอร์ผสมระหว่างเอทีลีนไวนิลอะซิเตดกับยางสไตรีนบิวตาไดอีน ในอัตราส่วน 70:30, 50:50 และ 30:70 โดยน้ำหนัก เปรียบเทียบกับเอทีลีนไวนิลอะซิเตดที่ใช้งานในอุตสาหกรรมฉนวนกันเสียงภายในรถยนต์ ผลการทดลองพบมีทิศทางเดียวกันกับ ผลการศึกษาศมบัติความเป็นฉนวนกันเสียงของพอลิเมอร์ผสมระหว่างเอทีลีนไวนิลอะซิเตดกับยางธรรมชาติโดยใช้ซิลิกาเป็นสารตัวเติม

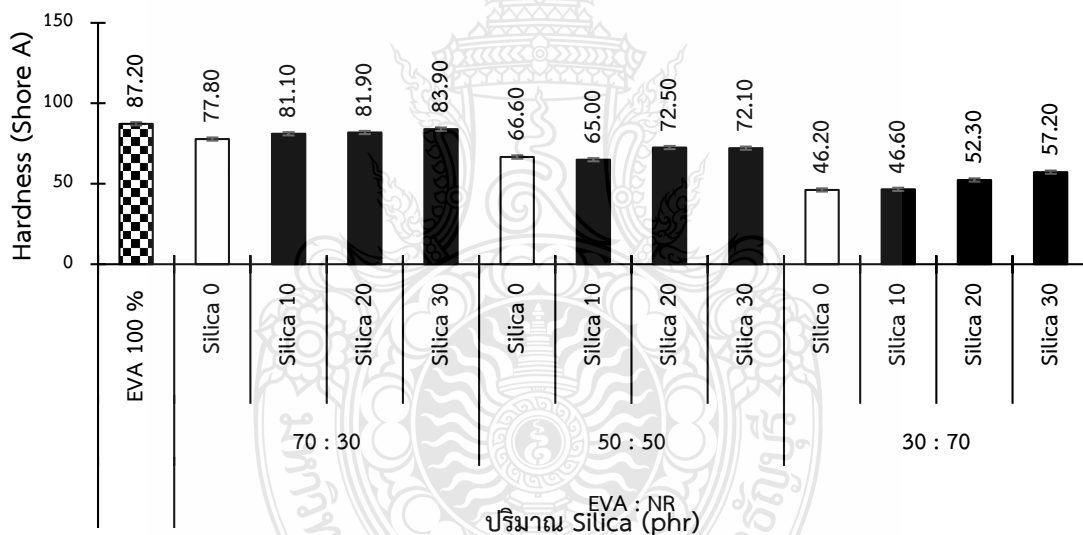
จากรูปที่ 4.1 และ 4.2 ผลการทดลองพบว่าวัสดุอีลาสโตเมอร์ 2 ชนิด ได้แก่ ยางธรรมชาติและยางสไตรีนบิวตาไดอีน ที่นำไปผสมกับเอทีลีนไวนิลอะซิเตด มีค่าระดับการส่งผ่านของเสียงลดลง เพราะวัสดุอีลาสโตเมอร์มีค่าความแข็งน้อยกว่าเอทีลีนไวนิลอะซิเตด การเติมซิลิกาที่ปริมาณ 10, 20 และ 30 phr ในพอลิเมอร์ผสม มีค่าระดับการส่งผ่านของเสียงที่สูงกว่าเอทีลีนไวนิลอะซิเตด แต่เมื่อ

ปริมาณยางเพิ่มขึ้นมีค่าระดับการส่งผ่านของเสียงจะลดลง เนื่องจากยางมีความแข็งน้อยกว่าเอทิลีนไวนิลอะซิเตด ดังนั้นการเติมซิลิกาในพอลิเมอร์ผสมช่วยให้ค่าระดับการส่งผ่านของเสียงสูงขึ้น โดยเอทิลีนไวนิลอะซิเตด:ยางธรรมชาติ 70:30 ที่มีการเติมซิลิกา 20 phr มีค่าระดับการส่งผ่านของเสียงใกล้เคียงเอทิลีนไวนิลอะซิเตด แต่เอทิลีนไวนิลอะซิเตด:ยางสไตรีนบิวตาไดอีน:ซิลิกา 70:30 ต้องใช้ซิลิกา 30 phr ถึงจะมีค่าการกันเสียงใกล้เคียงกับเอทิลีนไวนิลอะซิเตด

4.1.2 ความแข็ง

ค่าความแข็งสามารถวัดได้โดยนำหัวกดลงบนชิ้นทดสอบภายใต้สภาวะที่กำหนด ความลึกของการทะลุทะลวงของหัวกดจะสะท้อนถึงค่าความแข็ง

ค่าความแข็งของพอลิเมอร์ผสมระหว่างเอทิลีนไวนิลอะซิเตดกับยางธรรมชาติ โดยใช้ซิลิกาเป็นสารตัวเติมแสดงรายละเอียด ดังรูปที่ 4.3

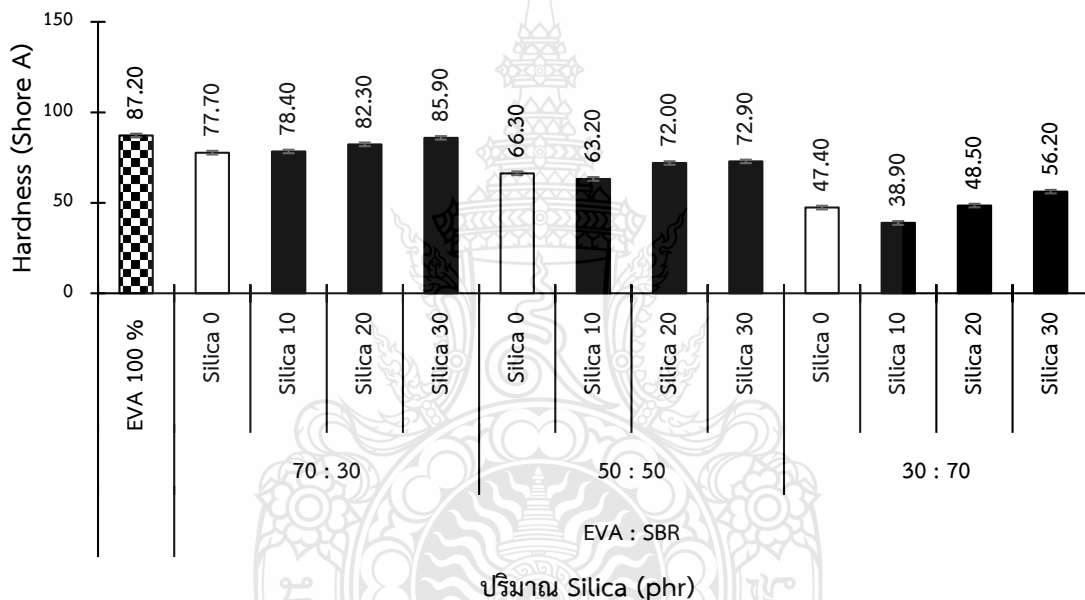


รูปที่ 4.3 กราฟแสดงค่าความแข็ง (Hardness) ของเอทิลีนไวนิลอะซิเตดผสมยางธรรมชาติที่มีการเติมซิลิกา

จากรูปที่ 4.3 แสดงผลค่าความแข็งของพอลิเมอร์ผสมระหว่าง เอทิลีนไวนิลอะซิเตดกับยางธรรมชาติในอัตราส่วน 70:30, 50:50 และ 30:70 โดยน้ำหนัก เปรียบเทียบกับเอทิลีนไวนิลอะซิเตดที่ใช้งานในอุตสาหกรรมฉนวนกันเสียงภายในรถยนต์ ผลการทดลองพบว่าค่าความแข็งของพอลิเมอร์ผสมต่ำกว่าค่าความแข็งของเอทิลีนไวนิลอะซิเตด เนื่องจากยางธรรมชาติมีค่าความแข็งที่น้อยกว่าเอ

ทีลีนไวนิลอะซิเตด การเติมยางธรรมชาติลงไปทำให้ค่าความแข็งของพอลิเมอร์ผสมลดลง ในการเปรียบเทียบผลของซิลิกาที่เติมในพอลิเมอร์ผสม การเติมซิลิกา 10, 20 และ 30 phr ลงในพอลิเมอร์ผสม พบว่ามีค่าความแข็งเพิ่มขึ้นตามปริมาณของซิลิกาที่เติมลงไป สอดคล้องกับ[พงษ์ธร แซ่ฮุย] เนื่องจากซิลิกาเป็นสารตัวเติมเสริมแรงที่เพิ่มความแข็ง เมื่อนำซิลิกามาผสมกับพอลิเมอร์ผสมที่มีความแข็งน้อยจึงทำให้ค่าความแข็งของพอลิเมอร์ผสมเพิ่มขึ้นตามปริมาณของซิลิกา

ค่าความแข็งของพอลิเมอร์ผสมระหว่างเอทีลีนไวนิลอะซิเตดกับยางสไตรีนบิวตาไดอิน โดยใช้ซิลิกาเป็นสารตัวเติมแสดงรายละเอียด ดังรูปที่ 4.4



รูปที่ 4.4 กราฟแสดงค่าความแข็ง (Hardness) ของเอทีลีนไวนิลอะซิเตดผสมยางสไตรีนบิวตาไดอินที่มีการเติมซิลิกา

จากรูปที่ 4.4 แสดงค่าความแข็งของพอลิเมอร์ผสมระหว่างเอทีลีนไวนิลอะซิเตดกับยางสไตรีนบิวตาไดอินโดยใช้ซิลิกาเป็นสารตัวเติม มีผลการทดลองไปทิศทางเดียวกันกับ ค่าความแข็งของพอลิเมอร์ผสมระหว่างเอทีลีนไวนิลอะซิเตดกับธรรมชาติโดยใช้ซิลิกาเป็นสารตัวเติม

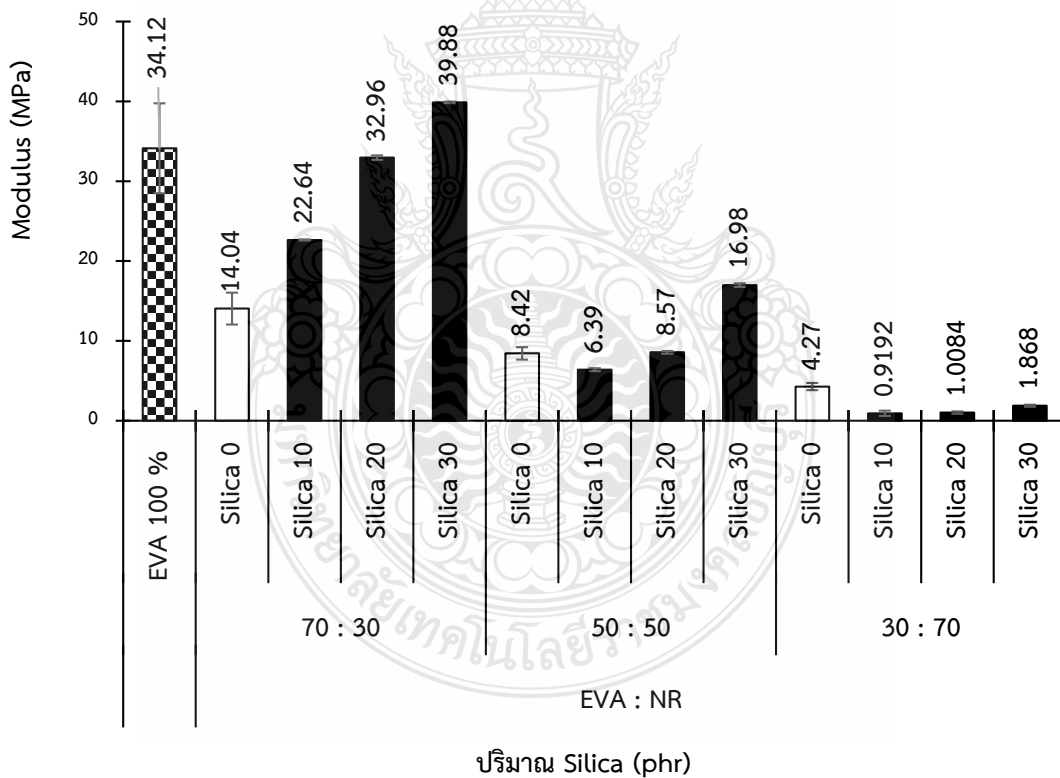
จากรูปที่ 4.3 และ 4.4 พบว่าวัสดุอีลาสโตเมอร์ 2 ชนิด ได้แก่ ยางธรรมชาติและยางสไตรีนบิวตาไดอิน ที่นำไปผสมกับเอทีลีนไวนิลอะซิเตด มีค่าความแข็งลดลง เพราะวัสดุอีลาสโตเมอร์มีค่าความแข็งที่น้อยกว่าเอทีลีนไวนิลอะซิเตด การเติมซิลิกา 30 phr ลงไปในพอลิเมอร์ผสมระหว่างเอทีลีน

ไวนิลอะซิเตดกับวัสดุอีลาสโตเมอร์ 70:30 มีค่าความแข็งใกล้เคียงกับค่าความแข็งของเอทิลีนไวนิลอะซิเตด เพราะซิลิกาเป็นสารตัวเติมเสริมแรงที่เพิ่มความแข็งแรง

4.1.3 คุณสมบัติแรงดึง

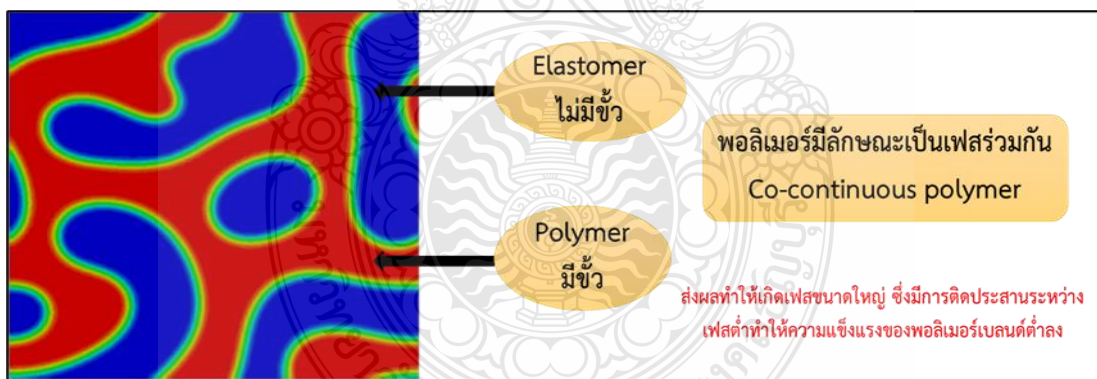
ในงานวิจัยนี้ได้ศึกษาสมบัติความเป็นฉนวนกันเสียงของพอลิเมอร์ผสมระหว่างเอทิลีนไวนิลอะซิเตดกับวัสดุอีลาสโตเมอร์ ในการศึกษาสมบัติความทนต่อแรงดึง (Tensile properties) มีสมบัติ 3 ประการที่ศึกษาได้แก่ โมดูลัส (Modulus), ความทนต่อแรงดึง (Tensile strength) และ การยืดตัว ณ จุดขาด (Elongation at break)

โมดูลัสของพอลิเมอร์ผสมระหว่างเอทิลีนไวนิลอะซิเตดกับยางธรรมชาติ โดยใช้ซิลิกาเป็นสารตัวเติมแสดงรายละเอียด ดังรูปที่ 4.5



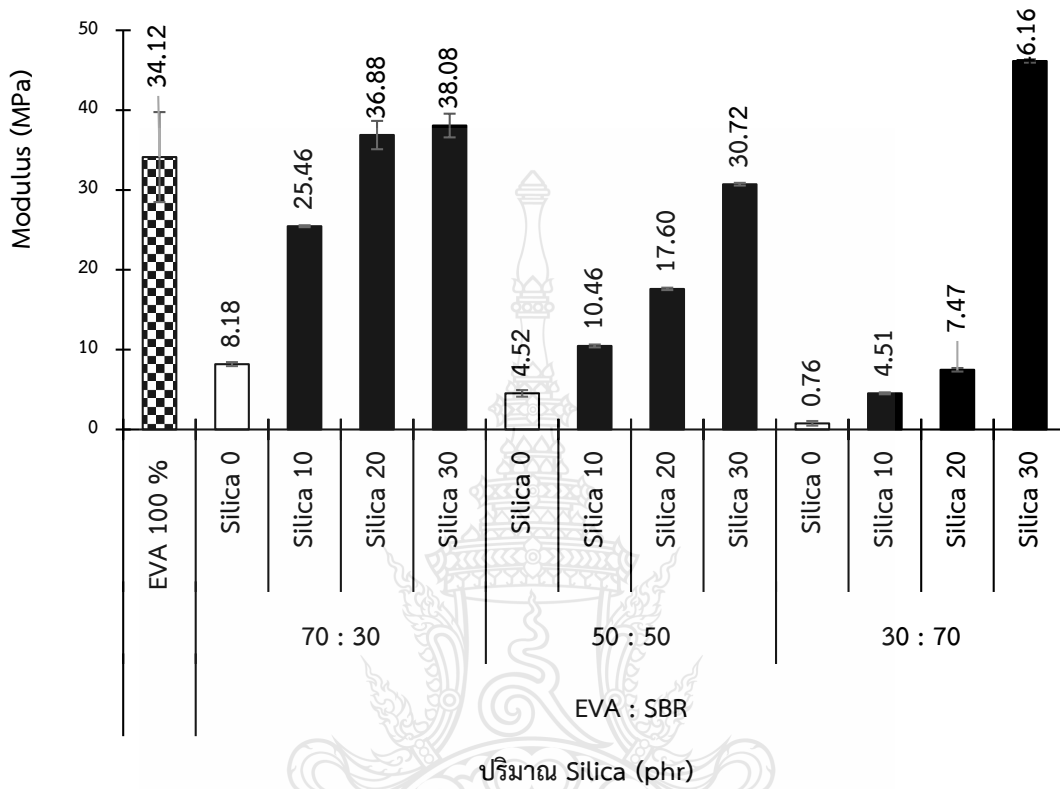
รูปที่ 4.5 กราฟแสดงค่าโมดูลัสของเอทิลีนไวนิลอะซิเตดผสมยางธรรมชาติที่มีการเติมซิลิกา

จากรูปที่ 4.5 แสดงค่ามอดุลัส จากผลการทดลองสะท้อนให้เห็นความสามารถในการต้านทานการเปลี่ยนรูปร่างของพอลิเมอร์ผสมระหว่างเอทิลีนไวนิลอะซิเตดกับยางธรรมชาติในอัตราส่วน 70:30, 50:50 และ 30:70 โดยน้ำหนัก เปรียบเทียบกับเอทิลีนไวนิลอะซิเตดที่ใช้งานในอุตสาหกรรม ฉนวนกันเสียงภายในรถยนต์ พบว่าค่ามอดุลัสของพอลิเมอร์ผสมต่ำกว่าค่ามอดุลัสของเอทิลีนไวนิลอะซิเตด เกิดจากความไม่เข้ากันของพอลิเมอร์ผสมระหว่างเอทิลีนไวนิลอะซิเตดกับยางธรรมชาติ เนื่องจากเอทิลีนไวนิลอะซิเตดมีความเป็นขี้และยางธรรมชาติไม่มีความเป็นขี้ ทำให้เกิดการไม่เข้ากัน ดังแสดงในแบบจำลองรูปที่ 4.6 และยางธรรมชาติมีความต้านทานต่อการเปลี่ยนแปลงรูปร่างต่ำกว่าเอทิลีนไวนิลอะซิเตด เมื่อนำไปผสมกับเอทิลีนไวนิลอะซิเตดจึงทำให้พอลิเมอร์ผสมมีค่ามอดุลัสต่ำลง การเติมซิลิกาในพอลิเมอร์ผสมที่ปริมาณ 10, 20 และ 30 phr พบว่าพอลิเมอร์ผสมที่อัตราส่วนเอทิลีนไวนิลอะซิเตด:ยางธรรมชาติ 70:30 50:50 มีค่ามอดุลัสเพิ่มขึ้นตามปริมาณของซิลิกาที่เติมลงไป ซึ่งซิลิกามีการกระจายตัวทั่วเนื้อของพอลิเมอร์ผสม โดยไปขัดขวางการเคลื่อนไหวของสายโซ่โมเลกุล ทำให้สายโซ่โมเลกุลของพอลิเมอร์ผสมเคลื่อนไหวได้ยากขึ้น ส่งผลให้การเปลี่ยนแปลงรูปร่างทำได้ยากขึ้น ค่ามอดุลัสของพอลิเมอร์ผสมจึงมีค่าสูงขึ้น แต่พอลิเมอร์ผสมที่อัตราส่วนเอทิลีนไวนิลอะซิเตด:ยางธรรมชาติ 30:70 มีค่าต่ำลง เกิดจากซิลิกามีการกระจายตัวไม่ทั่วชิ้นงาน เกิดการเกาะกลุ่มกันเพราะความเข้ากันไม่ได้ของยางธรรมชาติกับซิลิกา ส่งผลทำให้การเปลี่ยนแปลงรูปร่างทำได้ง่ายขึ้นให้ค่ามอดุลัสต่ำลง



รูปที่ 4.6 ลักษณะสัณฐานวิทยาของเทอร์โมพลาสติกอิลาสโตเมอร์ที่ได้จากกระบวนการเบลนค์ระหว่าง polymer และ elastomer [D.Carolan] [19]

มอดูลัสของพอลิเมอร์ผสมระหว่างเอทิลีนไวนิลอะซิเตดกับยางสไตรีนบิวตาไดอีน โดยใช้ซิลิกาเป็นสารตัวเติมแสดงรายละเอียด ดังรูปที่ 4.7



รูปที่ 4.7 กราฟแสดงค่ามอดูลัสของเอทิลีนไวนิลอะซิเตดผสมยางสไตรีนบิวตาไดอีนที่มีการเติมซิลิกา

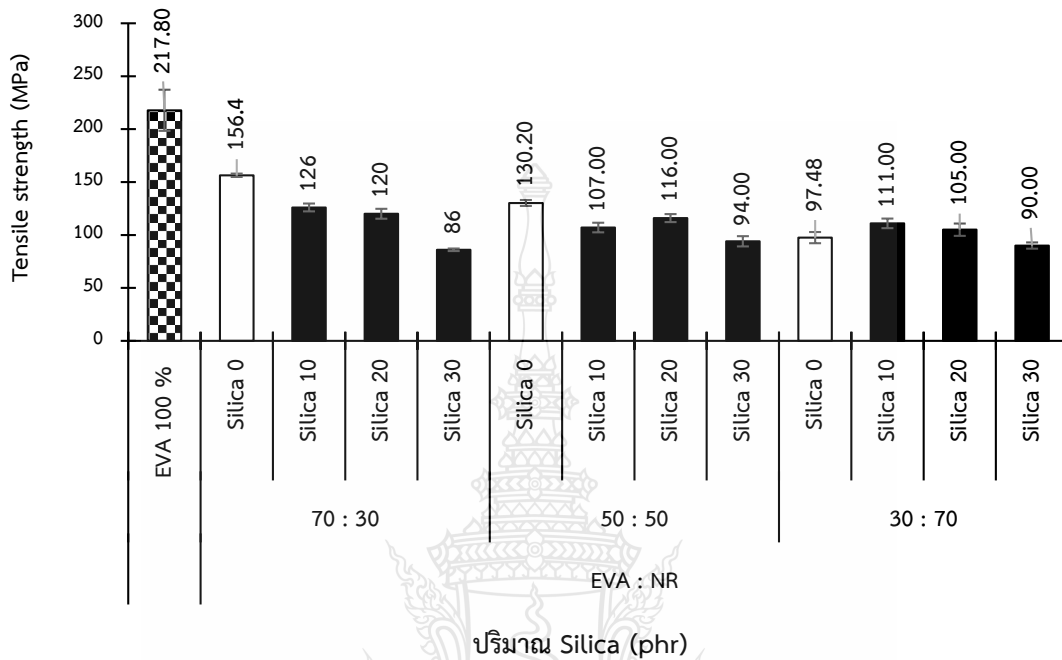
จากรูปที่ 4.7 แสดงค่ามอดูลัส จากผลการทดลองสะท้อนให้เห็นความสามารถในการต้านทานการเปลี่ยนรูปร่างของพอลิเมอร์ผสมระหว่าง เอทิลีนไวนิลอะซิเตดกับยางสไตรีนบิวตาไดอีน ในอัตราส่วน 70:30, 50:50 และ 30:70 โดยน้ำหนัก เปรียบเทียบกับเอทิลีนไวนิลอะซิเตดที่ใช้งานในอุตสาหกรรมฉนวนกันเสียงภายในรถยนต์ พบว่าค่ามอดูลัสของพอลิเมอร์ผสมต่ำกว่าค่ามอดูลัสของเอทิลีนไวนิลอะซิเตด เพราะความไม่เข้ากันของพอลิเมอร์ผสมระหว่างเอทิลีนไวนิลอะซิเตดกับยางสไตรีนบิวตาไดอีน เนื่องจากเอทิลีนไวนิลอะซิเตดมีความเป็นขี้ผึ้งและยางสไตรีนบิวตาไดอีนมีขี้ผึ้งต่ำๆ ทำให้ไม่เกิดการเข้ากันได้ดี ดังแสดงในแบบจำลองในรูป 4.6 และยางสไตรีนบิวตาไดอีนมีความต้านทานต่อการเปลี่ยนแปลงรูปร่างต่ำกว่าเอทิลีนไวนิลอะซิเตด เมื่อนำไปผสมกับเอทิลีนไวนิลอะซิเตดจึงทำให้พอลิเมอร์ผสมมีค่ามอดูลัสต่ำลง การเติมซิลิกาในพอลิเมอร์ผสมที่ปริมาณ 10, 20 และ 30 phr พบว่า

พอลิเมอร์ผสมที่อัตราส่วนเอทิลีนไวนิลอะซิเตด:ยางสไตรีนบิวตาไดอีน 70:30, 50:50 และ 30:70 โดยน้ำหนัก มีค่ามอดูลัสเพิ่มขึ้นตามปริมาณของซิลิกาที่เติมลงไป ซึ่งซิลิกามีการกระจายตัวทั่วเนื้อของพอลิเมอร์ผสมทำให้ขัดขวางการเคลื่อนไหวยของสายโซ่โมเลกุลของพอลิเมอร์ผสม โมเลกุลของสายโซ่จึงเคลื่อนไหวยได้ยากขึ้น ส่งผลทำให้การเปลี่ยนแปลงรูปร่างทำได้ยากขึ้นทำให้ค่ามอดูลัสมีค่าสูงขึ้น

จากรูปที่ 4.5 และ 4.7 พบว่าค่ามอดูลัสของพอลิเมอร์ผสมระหว่างเอทิลีนไวนิลอะซิเตดกับยางธรรมชาติมีค่ามอดูลัสสูงกว่าพอลิเมอร์ผสมระหว่างเอทิลีนไวนิลอะซิเตดกับยางสไตรีนบิวตาไดอีน เนื่องจากยางธรรมชาติมีค่ามอดูลัสมากกว่ายางสไตรีนบิวตาไดอีน การเติมซิลิกาในพอลิเมอร์ผสมระหว่างเอทิลีนไวนิลอะซิเตดกับยางธรรมชาติ ในอัตราส่วน 50:50 และ 30:70 มีค่ามอดูลัสที่ต่ำกว่าเพราะยางธรรมชาติไม่มีความเป็นขั้วและซิลิกามีความเป็นขั้วมากกว่า ทำให้ความเข้ากันได้ของยางธรรมชาติและซิลิกาน้อย ไม่เกิดการเข้ากันได้ดี ส่งผลให้ค่ามอดูลัสต่ำกว่าพอลิเมอร์ผสมระหว่างเอทิลีนไวนิลอะซิเตดกับยางสไตรีนบิวตาไดอีน ในอัตราส่วน 50:50 และ 30:70 มีค่ามอดูลัสสูงขึ้นตามปริมาณซิลิกาที่เพิ่มขึ้น เพราะยางสไตรีนบิวตาไดอีนมีความเป็นขั้วต่ำๆ และซิลิกามีความเป็นขั้ว ทำให้ยางสไตรีนบิวตาไดอีนและ ซิลิกาเกิดการเข้ากันได้ดีกว่ายางธรรมชาติ จึงทำให้ซิลิกามีการกระจายตัวในพอลิเมอร์ผสมระหว่างเอทิลีนไวนิลอะซิเตดผสมยางสไตรีนบิวตาไดอีนได้ดีกว่าพอลิเมอร์ผสมระหว่างเอทิลีนไวนิลอะซิเตดผสมยางธรรมชาติ ส่งผลให้ค่ามอดูลัสมีค่าสูงขึ้น จึงส่งผลให้ซิลิกามีประสิทธิภาพเสริมแรงให้กับเอทิลีนไวนิลอะซิเตดผสมยางสไตรีนบิวตาไดอีน



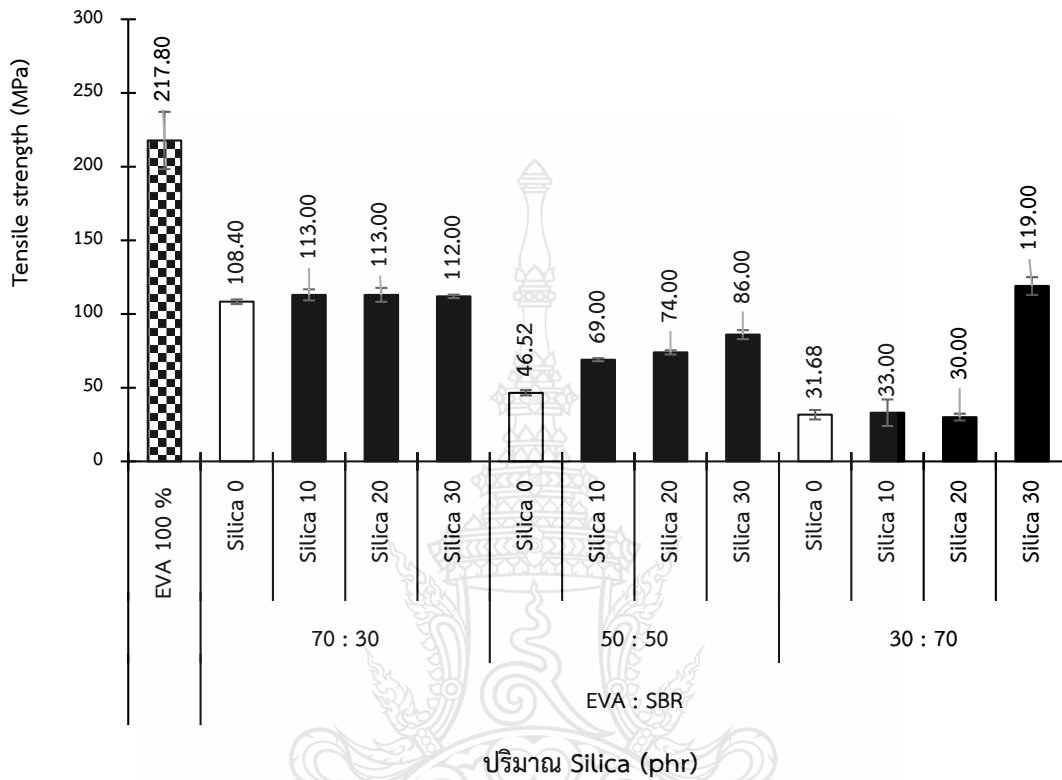
ค่าความทนต่อแรงดึงของพอลิเมอร์ผสมระหว่างเอทิลีนไวนิลอะซิเตดกับยางธรรมชาติ โดยใช้ซิลิกาเป็นสารตัวเติมแสดงรายละเอียด ดังรูปที่ 4.8



รูปที่ 4.8 กราฟแสดงค่าความทนต่อแรงดึง (Tensile strength) ของเอทิลีนไวนิลอะซิเตดผสมยางธรรมชาติที่มีการเติมซิลิกา

จากรูปที่ 4.8 แสดงค่าความทนต่อแรงดึงของพอลิเมอร์ผสมระหว่างเอทิลีนไวนิลอะซิเตดกับยางธรรมชาติในอัตราส่วน 70:30, 50:50 และ 30:70 โดยน้ำหนัก เปรียบเทียบกับเอทิลีนไวนิลอะซิเตดที่ใช้งานในอุตสาหกรรมฉนวนกันเสียงภายในรถยนต์ พบว่าค่าความทนต่อแรงดึงของพอลิเมอร์ผสมต่ำกว่าค่าความทนต่อแรงดึงของเอทิลีนไวนิลอะซิเตด เพราะความเข้ากันไม่ได้ของพอลิเมอร์ผสมระหว่างเอทิลีนไวนิลอะซิเตดกับยางธรรมชาติ ทำให้ความแข็งแรงลดลง ดังแสดงในแบบจำลองรูปที่ 4.6 การเติมซิลิกาในพอลิเมอร์ผสมที่ปริมาณ 10, 20 และ 30 phr ผลการทดลองพบว่าพอลิเมอร์ผสมที่อัตราส่วนเอทิลีนไวนิลอะซิเตด:ยางธรรมชาติ 70:30, 50:50 และ 30:70 โดยน้ำหนัก มีค่าความทนต่อแรงดึงลดลงตามปริมาณของซิลิกาที่เติมลงไป เพราะยางธรรมชาติไม่มีความเป็นขี้และซิลิกามีความเป็นขี้มากกว่า ทำให้ความเข้ากันได้ของยางธรรมชาติและซิลิกาไม่เกิดการการเข้ากันกัน ส่งผลให้ซิลิกาไม่ช่วยเสริมแรงในเอทิลีนไวนิลอะซิเตดกับยางธรรมชาติ

ค่าความทนต่อแรงดึงของพอลิเมอร์ผสมระหว่างเอทิลีนไวนิลอะซิเตดกับยางยางสไตรีน บิวตาไดอีน โดยใช้ซิลิกาเป็นสารตัวเติมแสดงรายละเอียด ดังรูปที่ 4.9



รูปที่ 4.9 กราฟแสดงค่าความทนต่อแรงดึง (Tensile strength) ของเอทิลีนไวนิลอะซิเตดผสมยางสไตรีนบิวตาไดอีนที่มีการเติมซิลิกา

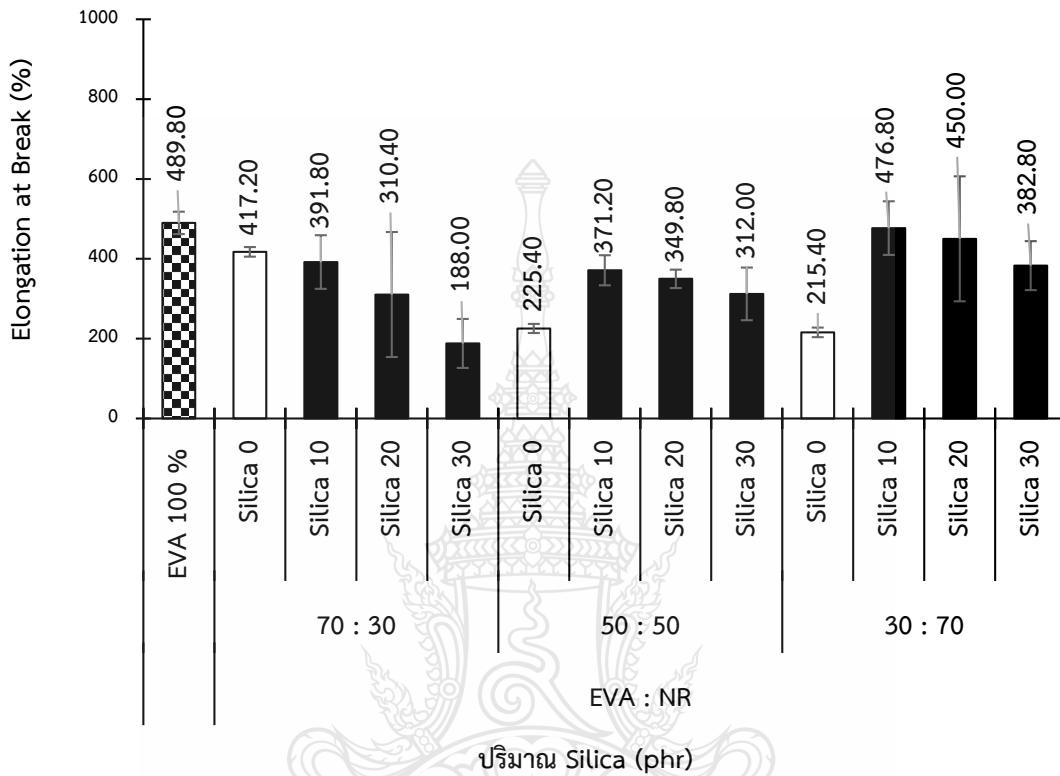
จากรูปที่ 4.9 แสดงค่าความทนต่อแรงดึงของพอลิเมอร์ผสมระหว่าง เอทิลีนไวนิลอะซิเตดกับยางสไตรีนบิวตาไดอีนในอัตราส่วน 70:30, 50:50 และ 30:70 โดยน้ำหนัก เปรียบเทียบกับเอทิลีนไวนิลอะซิเตดที่ใช้งานในอุตสาหกรรมฉนวนกันเสียงภายในรถยนต์ ผลการทดลองพบว่าค่าความทนต่อแรงดึงของพอลิเมอร์ผสมต่ำกว่าค่าความทนต่อแรงดึงของเอทิลีนไวนิลอะซิเตด เพราะความเข้ากันไม่ได้ของพอลิเมอร์ผสมระหว่างเอทิลีนไวนิลอะซิเตดกับยางสไตรีนบิวตาไดอีน ทำให้ความแข็งแรงลดลง ดังรูป 4.6 แต่การเติมซิลิกาในพอลิเมอร์ผสมที่ปริมาณ 10, 20 และ 30 phr ส่งผลให้ค่าความทนต่อแรงดึงของพอลิเมอร์ผสมเพิ่มขึ้นตามปริมาณของซิลิกาที่เติมลงไป เนื่องจากยางสไตรีนบิวตาไดอีนมีความ

เป็นข้าวต่ำๆ และซิลิกามีความเป็นข้าว ทำให้ความเข้ากันได้ของยางสไตรีนบิวตาไดอีนและซิลิกาเกิดการเข้ากันได้ โดยซิลิกาช่วยเสริมแรงในเอทิลีนไวนิลอะซิเตดกับยางสไตรีนบิวตาไดอีน

จากรูปที่ 4.8 และ 4.9 พบว่าวัสดุอีลาสโตเมอร์ 2 ชนิด ได้แก่ ยางธรรมชาติและยางสไตรีนบิวตาไดอีน ที่นำไปผสมกับเอทิลีนไวนิลอะซิเตด พบว่ายางธรรมชาติมีค่าความทนต่อแรงดึงสูงกว่ายางสไตรีนบิวตาไดอีน เนื่องจากยางธรรมชาติเมื่อถูกยืดสามารถเกิดผลึกได้ แต่ยางสไตรีนบิวตาไดอีนไม่สามารถเกิดการตกผลึกได้เมื่อถูกยืดจึงส่งผลให้ค่าความทนต่อแรงดึงของยางสไตรีนบิวตาไดอีนต่ำกว่าค่าความทนต่อแรงดึงของยางธรรมชาติ การเติมซิลิกาในพอลิเมอร์ผสมที่ปริมาณ 10, 20 และ 30 phr ทำให้ความทนต่อแรงดึงของพอลิเมอร์ผสมของเอทิลีนไวนิลอะซิเตดกับยางสไตรีนบิวตาไดอีนเพิ่มขึ้น แต่พอลิเมอร์ผสมระหว่างเอทิลีนไวนิลอะซิเตดกับยางธรรมชาติลดลง เพราะซิลิกามีความเป็นข้าวและยางสไตรีนบิวตาไดอีนมีความเป็นข้าวต่ำๆ จึงส่งผลให้ซิลิกาเกิดการเข้ากันได้กับยางสไตรีนบิวตาไดอีนได้ดีกว่ายางธรรมชาติที่ไม่มีข้าว และซิลิกาเข้าไปขัดขวางการเคลื่อนไหวของสายโซ่โมเลกุลของพอลิเมอร์ผสมของเอทิลีนไวนิลอะซิเตดกับยางธรรมชาติทำให้สายโซ่โมเลกุลเคลื่อนไหวได้ยากขึ้น ส่งผลให้เกิดการตกผลึกได้ยาก จึงทำให้ซิลิกาไม่เสริมแรงในพอลิเมอร์ผสมของเอทิลีนไวนิลอะซิเตดกับยางธรรมชาติ แต่ซิลิกาช่วยเสริมแรงให้กับพอลิเมอร์ผสมของเอทิลีนไวนิลอะซิเตดกับยางสไตรีนบิวตาไดอีน



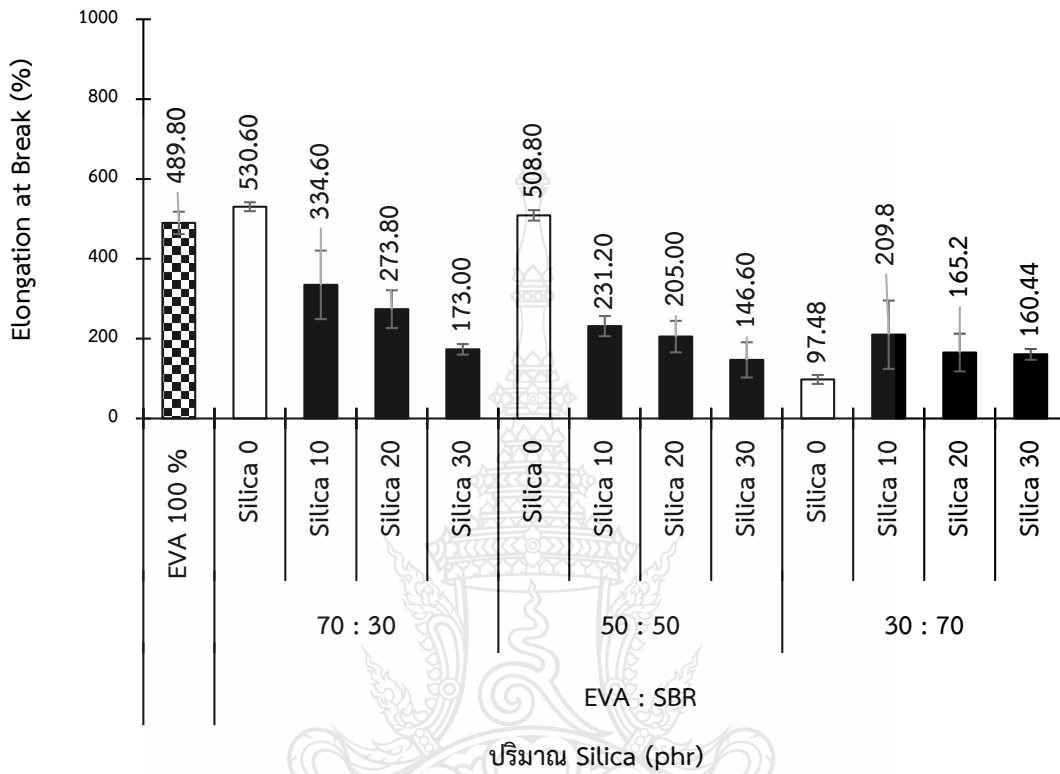
ค่าการยืดตัว ณ จุดขาด (Elongation at break) ของพอลิเมอร์ผสมระหว่างเอทิลีนไวนิลอะซิเตดกับยางธรรมชาติ โดยใช้ซิลิกาเป็นสารตัวเติมแสดงรายละเอียด ดังรูปที่ 4.10



รูปที่ 4.10 กราฟแสดงค่าการยืดตัว ณ จุดขาด (Elongation at break) ของเอทิลีนไวนิลอะซิเตดผสมยางธรรมชาติที่มีการเติมซิลิกา

จากรูปที่ 4.10 แสดงค่าการยืดตัว ณ จุดขาด ของพอลิเมอร์ผสมระหว่างเอทิลีนไวนิลอะซิเตดกับยางธรรมชาติในอัตราส่วน 70:30, 50:50 และ 30:70 โดยน้ำหนัก เปรียบเทียบกับเอทิลีนไวนิลอะซิเตดที่ใช้งานในอุตสาหกรรมฉนวนกันเสียงภายในรถยนต์ ผลการทดลองพบว่าค่าการยืดตัว ณ จุดขาด ของพอลิเมอร์ผสมต่ำกว่าค่าความทนต่อแรงดึงของเอทิลีนไวนิลอะซิเตด การเติมซิลิกาในพอลิเมอร์ผสมที่ปริมาณ 10, 20 และ 30 phr พบว่าพอลิเมอร์ผสมระหว่างเอทิลีนไวนิลอะซิเตดกับยางธรรมชาติมีค่าการยืดตัว ณ จุดขาด ต่ำลง ตามปริมาณของซิลิกาที่เพิ่มขึ้น

ค่าการยืดตัว ณ จุดขาด (Elongation at break) ของพอลิเมอร์ผสมระหว่างเอทิลีนไวนิลอะซิเตดกับยางยางสไตรีนบิวตาไดอีน โดยใช้ซิลิกาเป็นสารตัวเติมแสดงรายละเอียด ดังรูปที่ 4.11



รูปที่ 4.11 กราฟแสดงค่าการยืดตัว ณ จุดขาด (Elongation at break) ของเอทิลีนไวนิลอะซิเตดผสมยางสไตรีนบิวตาไดอีนที่มีการเติมซิลิกา

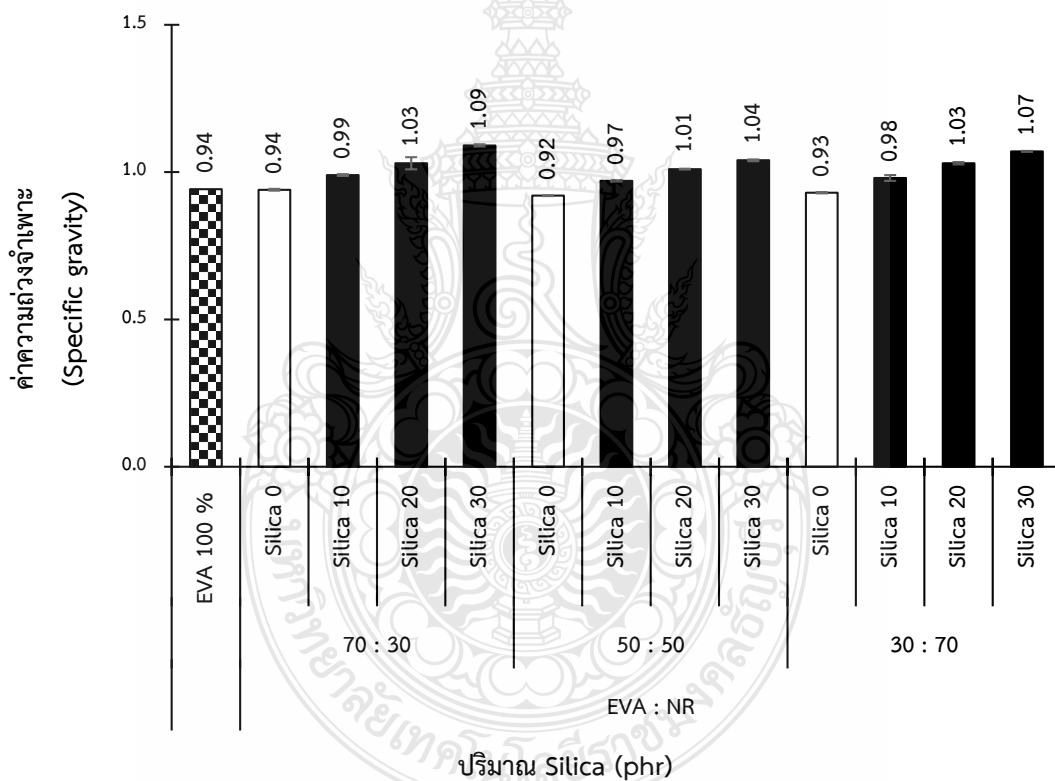
จากรูปที่ 4.11 แสดงค่าการยืดตัว ณ จุดขาด ของพอลิเมอร์ผสมระหว่างเอทิลีนไวนิลอะซิเตดกับยางสไตรีนบิวตาไดอีนโดยใช้ซิลิกาเป็นสารตัวเติม มีผลการทดลองไปทิศทางเดียวกันกับค่าการยืดตัว ณ จุดขาด ของพอลิเมอร์ผสมระหว่างเอทิลีนไวนิลอะซิเตดกับธรรมชาติโดยใช้ซิลิกาเป็นสารตัวเติม

จากรูปที่ 4.10 และ 4.11 พบว่าวัสดุอีลาสโตเมอร์ 2 ชนิด ได้แก่ ยางธรรมชาติและยางสไตรีนบิวตาไดอีน ที่นำไปผสมกับเอทิลีนไวนิลอะซิเตด พบว่ายางธรรมชาติมีค่าการยืดตัว ณ จุดขาด สูงกว่ายางสไตรีนบิวตาไดอีน เนื่องจากยางธรรมชาติเมื่อถูกยืดสามารถเกิดผลึกได้ การเติมซิลิกาที่ปริมาณ 10, 20 และ 30 phr ลงไปในพอลิเมอร์ผสม พบว่ายางสไตรีนบิวตาไดอีนมีค่าการยืดตัว ณ จุด

ขาด สูงกว่ายางธรรมชาติ เพราะซิลิกามีความเป็นขี้และยางสไตรีนบิวตาไดอีนมีความเป็นขี้ต่ำๆ จึงส่งผลให้ซิลิกาเกิดการเข้ากันได้กับยางสไตรีนบิวตาไดอีนได้ดีกว่ายางธรรมชาติที่ไม่มีขี้ โดยซิลิกาในพอลิเมอร์ผสมระหว่างเอทิลีนไวนิลอะซิเตดกับยางสไตรีนบิวตาไดอีน มีการกระจายตัวที่ดี ทำให้เข้าไปขัดขวางการเคลื่อนไหวของสายโซ่โมเลกุลของพอลิเมอร์ผสม ทำให้สายโซ่โมเลกุลเคลื่อนไหวได้ยากขึ้น ส่งผลให้ค่าการยืดตัว ณ จุดขาด ต่ำลง

4.1.4 ความถ่วงจำเพาะ

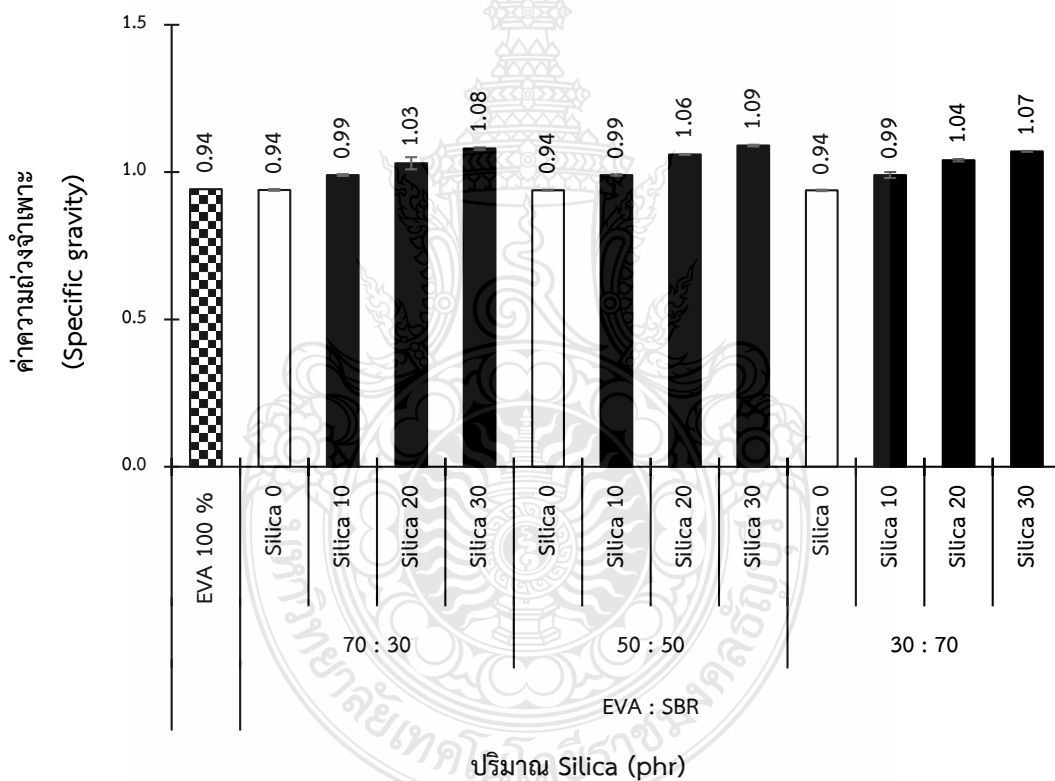
ความถ่วงจำเพาะของพอลิเมอร์ผสมระหว่างเอทิลีนไวนิลอะซิเตดกับยางธรรมชาติ โดยใช้ซิลิกาเป็นสารตัวเติมแสดงรายละเอียด ดังรูปที่ 4.12



รูปที่ 4.12 กราฟแสดงค่าความถ่วงจำเพาะ (Specific gravity) ของเอทิลีนไวนิลอะซิเตดผสมยางธรรมชาติที่มีการเติมซิลิกา

จากรูปที่ 4.12 แสดงผลค่าความถ่วงจำเพาะของพอลิเมอร์ผสมระหว่าง เอทิลีนไวนิลอะซิเตด กับยางธรรมชาติในอัตราส่วน 70:30, 50:50 และ 30:70 โดยน้ำหนัก เปรียบเทียบกับเอทิลีนไวนิลอะซิเตดที่ใช้งานในอุตสาหกรรมฉนวนกันเสียงภายในรถยนต์ ผลการทดลองพบว่าความถ่วงจำเพาะของพอลิเมอร์ผสมมีค่าใกล้เคียงกับของเอทิลีนไวนิลอะซิเตด การเติมซิลิกา 10, 20 และ 30 phr ในพอลิเมอร์ผสมระหว่างเอทิลีนไวนิลอะซิเตดกับยางธรรมชาติ มีค่าความถ่วงจำเพาะเพิ่มขึ้นเล็กน้อย เพราะซิลิกามีความถ่วงจำเพาะสูงกว่าพอลิเมอร์ผสม

ความถ่วงจำเพาะของพอลิเมอร์ผสมระหว่างเอทิลีนไวนิลอะซิเตดกับยางสไตรีนบิวตาไดอีนโดยใช้ซิลิกาเป็นสารตัวเติมแสดงรายละเอียด ดังรูปที่ 4.13



รูปที่ 4.13 กราฟแสดงค่าความถ่วงจำเพาะ (Specific gravity) ของเอทิลีนไวนิลอะซิเตดผสมยางสไตรีนบิวตาไดอีนที่มีการเติมซิลิกา

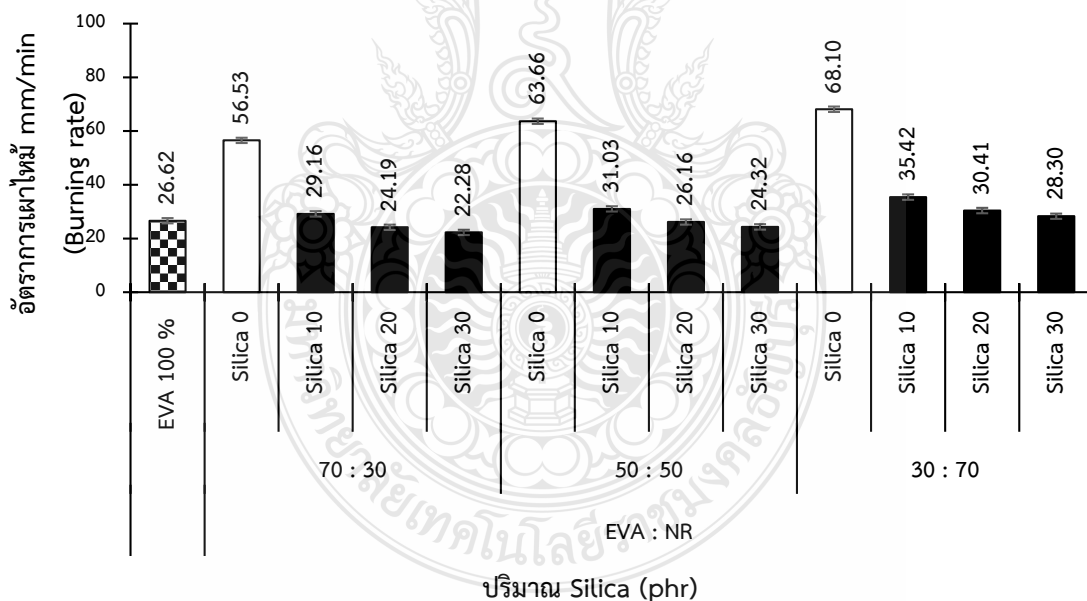
จากรูปที่ 4.13 แสดงค่าความถ่วงจำเพาะของพอลิเมอร์ผสมระหว่างเอทิลีนไวนิลอะซิเตดกับยางสไตรีนบิวตาไดอีนโดยใช้ซิลิกาเป็นสารตัวเติม มีผลการทดลองไปทิศทางเดียวกันกับค่าความถ่วงจำเพาะของพอลิเมอร์ผสมระหว่างเอทิลีนไวนิลอะซิเตดกับธรรมชาติโดยใช้ซิลิกาเป็นสารตัวเติม

จากรูปที่ 4.12 และ 4.13 พบว่าวัสดุอีลาสโตเมอร์ 2 ชนิด ได้แก่ ยางธรรมชาติและยางสไตรีนบิวตาไดอีน ที่นำไปผสมกับเอทิลีนไวนิลอะซิเตด มีค่าความถ่วงจำเพาะใกล้เคียงกัน การเติมซิลิกาลงไปในพอลิเมอร์ผสม มีค่าความถ่วงจำเพาะใกล้เคียงกันกับเอทิลีนไวนิลอะซิเตด เพราะซิลิกามีความถ่วงจำเพาะสูงกว่าพอลิเมอร์ผสม

4.1.5 สมบัติการหน่วงการติดไฟ

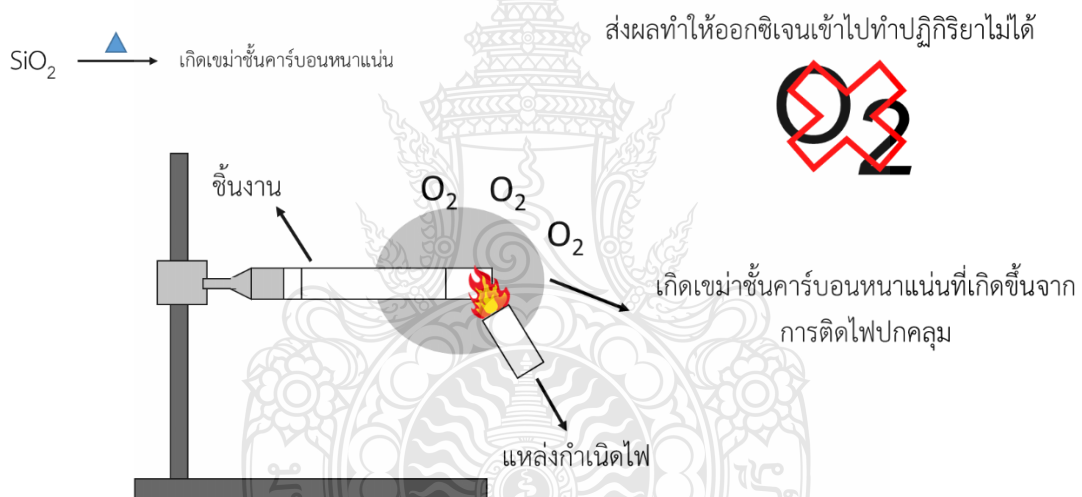
การทดสอบสมบัติการติดไฟของวัสดุมาตรฐาน UL-94 ทดสอบการติดไฟและลามไฟแนวนอน (Horizontal Burning Test)

สมบัติการหน่วงการติดไฟของพอลิเมอร์ผสมระหว่างเอทิลีนไวนิลอะซิเตดกับยางธรรมชาติไดอีนโดยใช้ซิลิกาเป็นสารตัวเติมแสดงรายละเอียด ดังรูปที่ 4.14



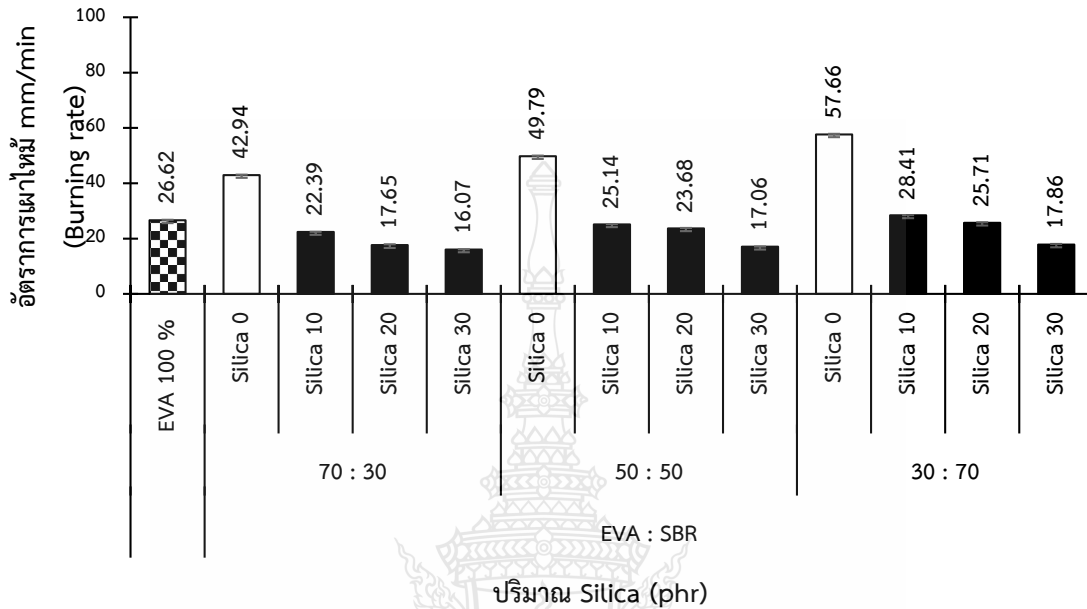
รูปที่ 4.14 กราฟแสดงค่าอัตราการเร็วของการเผาไหม้ (Burning Rate) ของเอทิลีนไวนิลอะซิเตดผสมยางธรรมชาติที่มีการเติมซิลิกา

จากรูปที่ 4.14 ผลการทดสอบการหน่วงการติดไฟ ทำการทดสอบการลามไฟแนวนอนพบว่าที่อัตราส่วน เอทิลีนไวนิลอะซิเตด:ยางธรรมชาติ 70:30, 50:50 และ 30:70 โดยน้ำหนัก ผลการทดสอบพบว่าไม่ผ่านมาตรฐาน UL-94 HB เนื่องจากมีอัตราเร็วของการเผาไหม้มากกว่า 40 มิลลิเมตร/วินาที เพราะยางธรรมชาติเป็นวัสดุที่ลามไฟได้ดีกว่าเอทิลีนไวนิลอะซิเตด ทำให้พอลิเมอร์ผสมระหว่างยางธรรมชาติกับเอทิลีนไวนิลอะซิเตดมีอัตราเร็วของการเผาไหม้สูงขึ้นตามปริมาณของยางธรรมชาติที่เพิ่มขึ้น การเติมซิลิกาที่ปริมาณ 10, 20 และ 30 phr ในพอลิเมอร์ผสมระหว่างเอทิลีนไวนิลอะซิเตดกับยางธรรมชาติ ผ่านมาตรฐาน UL-94 HB สอดคล้องกับงานวิจัยของ[Heng Zhang 2019] เพราะซิลิกาเมื่อเกิดการเผาไหม้จะเกิดเขม่าชั้นคาร์บอนหนาแน่นมาปกคลุมบริเวณที่เกิดการเผาไหม้ทำให้ออกซิเจนเข้ามาทำปฏิกิริยาได้ยาก ดังรูป 4.15 ส่งผลให้พอลิเมอร์ผสมระหว่างเอทิลีนไวนิลอะซิเตดกับยางธรรมชาติ มีอัตราเร็วของการเผาไหม้ต่ำลง ตามปริมาณของซิลิกาที่เพิ่มขึ้น



รูปที่ 4.15 กลไกการหน่วงการติดไฟของซิลิกา [Heng Zhang 2019] [20]

สมบัติการหน่วงการติดไฟของพอลิเมอร์ผสมระหว่างเอทิลีนไวนิลอะซิเตดกับยางสไตรีนบิวตาไดอีนโดยใช้ซิลิกาเป็นสารตัวเติมแสดงรายละเอียด ดังรูปที่ 4.16



รูปที่ 4.16 กราฟแสดงค่าอัตราเร็วของการเผาไหม้ (Burning Rate) ของเอทิลีนไวนิลอะซิเตดผสมยางสไตรีนบิวตาไดอีนที่มีการเติมซิลิกา

จากรูปที่ 4.16 แสดงค่าอัตราเร็วของการเผาไหม้ (Burning Rate) ของพอลิเมอร์ผสมระหว่างเอทิลีนไวนิลอะซิเตดกับยางสไตรีนบิวตาไดอีนโดยใช้ซิลิกาเป็นสารตัวเติม มีผลการทดลองไปทิศทางเดียวกันค่าอัตราเร็วของการเผาไหม้ (Burning Rate) ของพอลิเมอร์ผสมระหว่างเอทิลีนไวนิลอะซิเตดกับยางธรรมชาติโดยใช้ซิลิกาเป็นสารตัวเติม

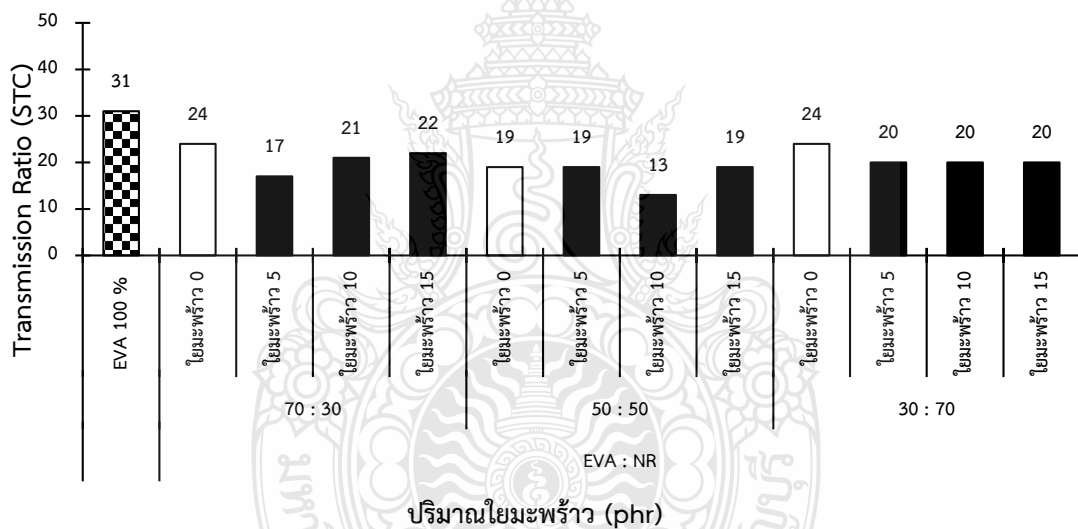
จากรูปที่ 4.14 และ 4.16 พบว่าวัสดุอีลาสโตเมอร์ 2 ชนิด ได้แก่ ยางธรรมชาติและยางสไตรีนบิวตาไดอีน ที่นำไปผสมกับเอทิลีนไวนิลอะซิเตด ผลการทดสอบพบว่าไม่ผ่านมาตรฐาน UL-94 HB แต่การเติมซิลิกาที่ปริมาณ 10, 20 และ 30 phr ในพอลิเมอร์ผสมระหว่างเอทิลีนไวนิลอะซิเตดกับวัสดุอีลาสโตเมอร์ผ่านมาตรฐาน UL-94 HB โดยพอลิเมอร์ผสมระหว่างเอทิลีนไวนิลอะซิเตดกับยางสไตรีนบิวตาไดอีนมีอัตราการเผาไหม้ต่ำที่สุด เมื่อเปรียบเทียบกับเอทิลีนไวนิลอะซิเตด เพราะซิลิกามีการกระจายตัวทั่วชิ้นงาน เนื่องจากความเข้ากันได้ของยางสไตรีนบิวตาไดอีนที่มีขั้วต่ำๆ กับซิลิกาที่มีขั้ว แต่พอลิเมอร์ผสมระหว่างเอทิลีนไวนิลอะซิเตดกับยางธรรมชาติมีการกระจายตัวไม่ทั่วชิ้นงาน เกิดการเกาะกลุ่มกัน เพราะความเข้ากันไม่ได้ของยางธรรมชาติที่ไม่มีขั้วกับซิลิกาที่มีขั้ว

4.2 ผลของใยธรรมชาติที่มีผลต่อสมบัติทางเสียงของพอลิเมอร์ผสมระหว่างเอทิลีนไวนิลอะซิเตดกับวัสดุอีลาสโตเมอร์

4.2.1 สมบัติทางเสียง

ในงานวิจัยนี้ได้ศึกษาสมบัติความเป็นฉนวนกันเสียงของพอลิเมอร์ผสมระหว่างเอทิลีนไวนิลอะซิเตดกับวัสดุอีลาสโตเมอร์ โดยเน้นในการศึกษาสมบัติการกันเสียงเป็นหลัก ค่าการกันเสียงหาได้จาก ค่าระดับการส่งผ่านของเสียง (Transmission Ratio : STC)

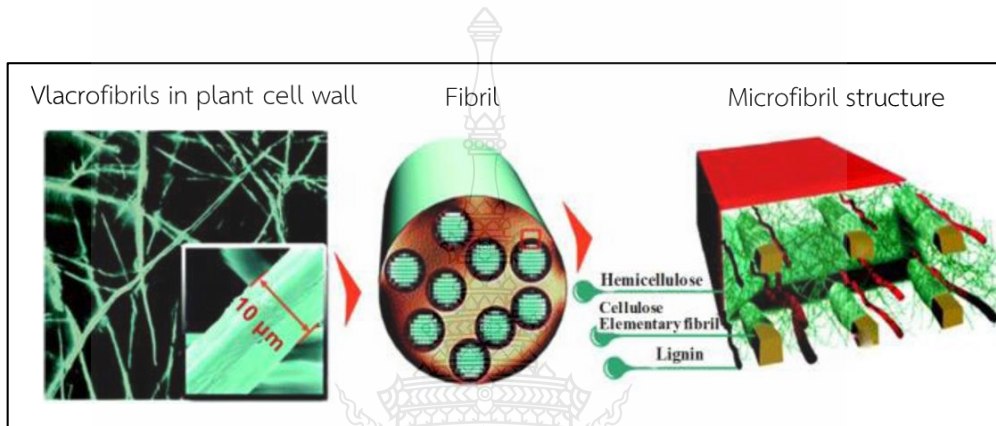
สมบัติความเป็นฉนวนกันเสียงของพอลิเมอร์ผสมระหว่างเอทิลีนไวนิลอะซิเตดกับยางธรรมชาติ โดยใช้ใยมะพร้าวยาว 3 มิลลิเมตรเป็นสารตัวเติมแสดงรายละเอียด ดังรูปที่ 4.17



รูปที่ 4.17 กราฟแสดงค่าระดับการส่งผ่านของเสียง (STC) ของพอลิเมอร์ผสมระหว่างเอทิลีนไวนิลอะซิเตดกับยางธรรมชาติที่มีการเติมใยมะพร้าวยาว 3 มิลลิเมตร

จากรูปที่ 4.17 แสดงผลการศึกษาสมบัติความเป็นฉนวนกันเสียงของพอลิเมอร์ผสมระหว่างเอทิลีนไวนิลอะซิเตดกับยางธรรมชาติ ในอัตราส่วน 70:30, 50:50 และ 30:70 โดยนำหน้ากเปรียบเทียบกัเอทิลีนไวนิลอะซิเตดที่ใช้งานในอุตสาหกรรมฉนวนกันเสียงภายในรถยนต์ ผลการทดลองพบว่าค่าระดับการส่งผ่านของเสียงของพอลิเมอร์ผสมต่ำกว่าเอทิลีนไวนิลอะซิเตด เนื่องจากยางธรรมชาติมีค่าความแข็งน้อยกว่าเอทิลีนไวนิลอะซิเตด ทำให้ค่าความแข็งลดลง ซึ่งค่าความแข็งของวัสดุมี

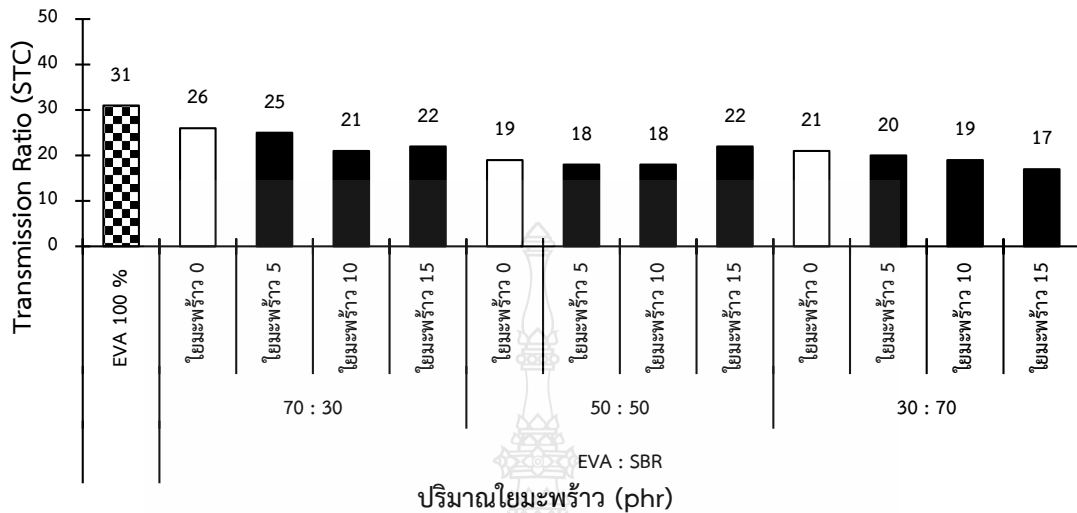
ผลต่อค่าระดับการส่งผ่านของเสียง ส่งผลให้พอลิเมอร์ผสมมีค่าระดับการส่งผ่านของเสียงที่ลดลง การเติมใยมะพร้าวยาว 3 มิลลิเมตร ที่ปริมาณ 5, 10 และ 15 phr ในพอลิเมอร์ผสมเพื่อเปรียบเทียบกับเอทิลีนไวนิลอะซิเตต พบว่าพอลิเมอร์ผสมระหว่างเอทิลีนไวนิลอะซิเตตกับยางธรรมชาติ มีค่าระดับการส่งผ่านของเสียงลดลงตามปริมาณของใยมะพร้าวที่เติมลงไป เพราะใยมะพร้าวมีผนังเซลล์ของเซลลูโลสที่เป็นช่องว่างและรูพรุน [14] ดังรูป 4.18 ซึ่งช่องว่างและรูพรุนของใยมะพร้าวทำให้เสียงทะลุผ่านได้ง่าย จึงส่งผลให้ค่าการกั้นเสียงต่ำลง



รูปที่ 4.18 แสดงช่องว่างของผนังเซลล์ที่เป็นรูพรุนในเซลลูโลส [Leitao Cao] [14]



สมบัติความเป็นฉนวนกันเสียงของพอลิเมอร์ผสมระหว่างเอทิลีนไวนิลอะซิเตดกับยางสไตรีนบิวตาไดอีน โดยใช้โয়มะพร้าวยาว 3 มิลลิเมตรเป็นสารตัวเติมแสดงรายละเอียด ดังรูปที่ 4.19



รูปที่ 4.19 กราฟแสดงค่าระดับการส่งผ่านของเสียง (STC) ของพอลิเมอร์ผสมระหว่างเอทิลีนไวนิลอะซิเตดกับยางสไตรีนบิวตาไดอีนที่มีการเติมโয়มะพร้าวยาว 3 มิลลิเมตร

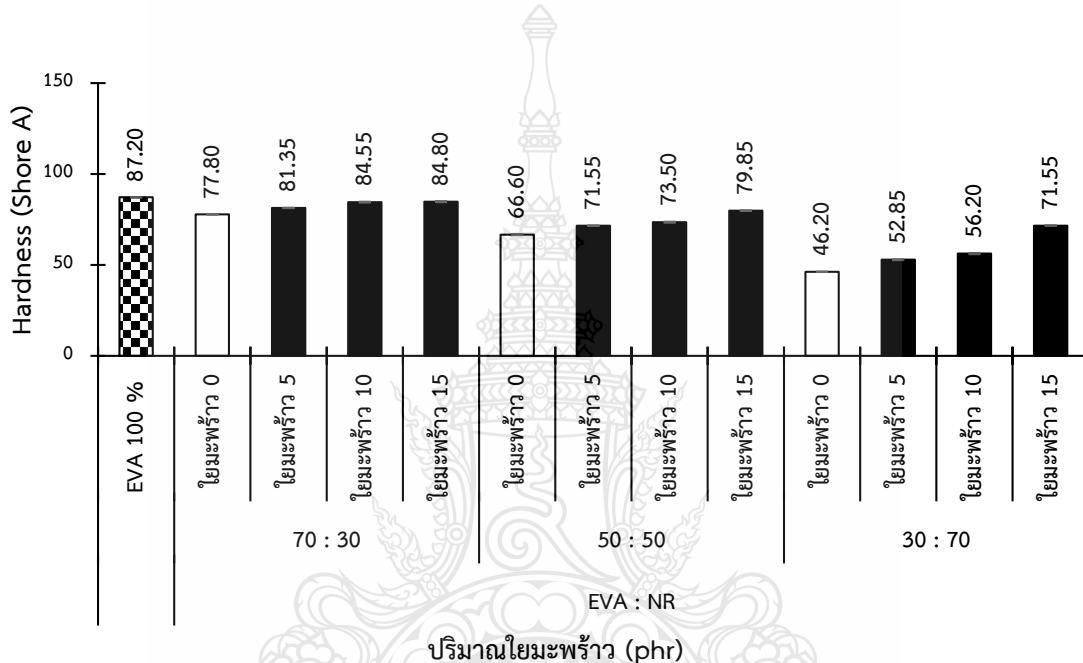
จากรูปที่ 4.19 แสดงผลการศึกษสมบัติความเป็นฉนวนกันเสียงของพอลิเมอร์ผสมระหว่างเอทิลีนไวนิลอะซิเตดกับยางสไตรีนบิวตาไดอีน ในอัตราส่วน 70:30, 50:50 และ 30:70 โดยน้ำหนัก เปรียบเทียบกับเอทิลีนไวนิลอะซิเตดที่ใช้งานในอุตสาหกรรมฉนวนกันเสียงภายในรถยนต์ ผลการทดลองพบมีทิศทางเดียวกันกับ ผลการศึกษาสมบัติความเป็นฉนวนกันเสียงของพอลิเมอร์ผสมระหว่างเอทิลีนไวนิลอะซิเตดกับยางธรรมชาติ โดยใช้โয়มะพร้าวเป็นสารตัวเติม

จากรูปที่ 4.17 และ 4.19 ผลการทดลองพบว่าวัสดุโอสติลาสโตะเมอร์ 2 ชนิด ได้แก่ ยางธรรมชาติและยางสไตรีนบิวตาไดอีน ที่นำไปผสมกับเอทิลีนไวนิลอะซิเตด มีค่าระดับการส่งผ่านของเสียงใกล้เคียงกัน การเติมโয়มะพร้าวยาว 3 มิลลิเมตร ที่ปริมาณ 5 10 และ 15 phr ในพอลิเมอร์ผสม มีค่าระดับการส่งผ่านของเสียงที่ต่ำกว่าเอทิลีนไวนิลอะซิเตด ดังเหตุผลที่กล่าวมาข้างต้น

4.2.1 ความแข็ง

ค่าความแข็งสามารถวัดได้โดยนำหัวกดลงบนชิ้นทดสอบภายใต้สภาวะที่กำหนด ความลึกของการทะลุทะลวงของหัวกดจะสะท้อนถึงค่าความแข็ง

ค่าความแข็งของพอลิเมอร์ผสมระหว่างเอทิลีนไวนิลอะซิเตดกับยางธรรมชาติ โดยใช้ ไยมะพร้าวยาว 3 มิลลิเมตรเป็นสารตัวเติมแสดงรายละเอียด ดังรูปที่ 4.20

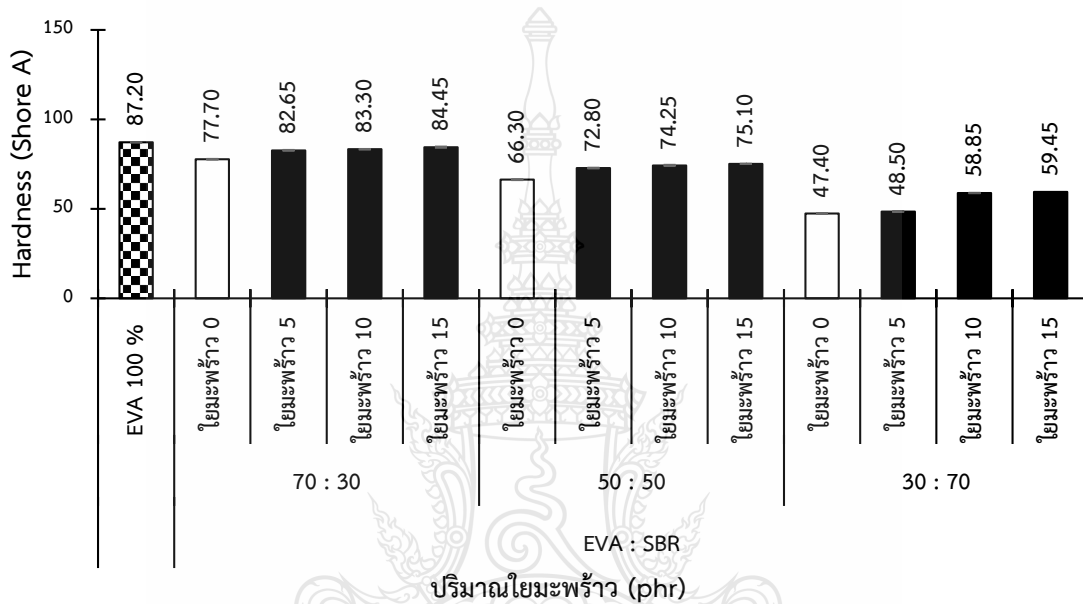


รูปที่ 4.20 กราฟแสดงค่าความแข็ง (Hardness) ของเอทิลีนไวนิลอะซิเตดผสมยางธรรมชาติที่มีการเติม ไยมะพร้าวยาว 3 มิลลิเมตร

จากรูปที่ 4.20 แสดงผลค่าความแข็งของพอลิเมอร์ผสมระหว่าง เอทิลีนไวนิลอะซิเตดกับยางธรรมชาติในอัตราส่วน 70:30, 50:50 และ 30:70 โดยน้ำหนัก เปรียบเทียบกับเอทิลีนไวนิลอะซิเตดที่ใช้งานในอุตสาหกรรมฉนวนกันเสียงภายในรถยนต์ ผลการทดลองพบว่าค่าความแข็งของพอลิเมอร์ผสมต่ำกว่าค่าความแข็งของเอทิลีนไวนิลอะซิเตด เนื่องจากยางธรรมชาติมีค่าความแข็งที่น้อยกว่าเอทิลีนไวนิลอะซิเตด การเติมยางธรรมชาติลงไปทำให้ค่าความแข็งของพอลิเมอร์ผสมลดลง ในการเปรียบเทียบผลของ ไยมะพร้าวยาว 3 มิลลิเมตรที่เติมในพอลิเมอร์ผสม การเติมไยมะพร้าวยาว 3 มิลลิเมตร 5, 10 และ 15 phr ลงในพอลิเมอร์ผสม พบว่ามีค่าความแข็งเพิ่มขึ้นตามปริมาณของไย

มะพร้าวที่เติมลงไป เนื่องจากใยมะพร้าวมีความแข็งมากกว่าพอลิเมอร์ผสม ทำให้ค่าความแข็งของพอลิเมอร์ผสมเพิ่มขึ้น

ค่าความแข็งของพอลิเมอร์ผสมระหว่างเอทิลีนไวนิลอะซิเตดกับยางสไตรีนบิวตาไดอีน โดยใช้ใยมะพร้าวยาว 3 มิลลิเมตร เป็นสารตัวเติมแสดงรายละเอียด ดังรูปที่ 4.21



รูปที่ 4.21 กราฟแสดงค่าความแข็ง (Hardness) ของเอทิลีนไวนิลอะซิเตดและยางสไตรีนบิวตาไดอีนที่เติมเส้นใยมะพร้าวยาว 3 มิลลิเมตร

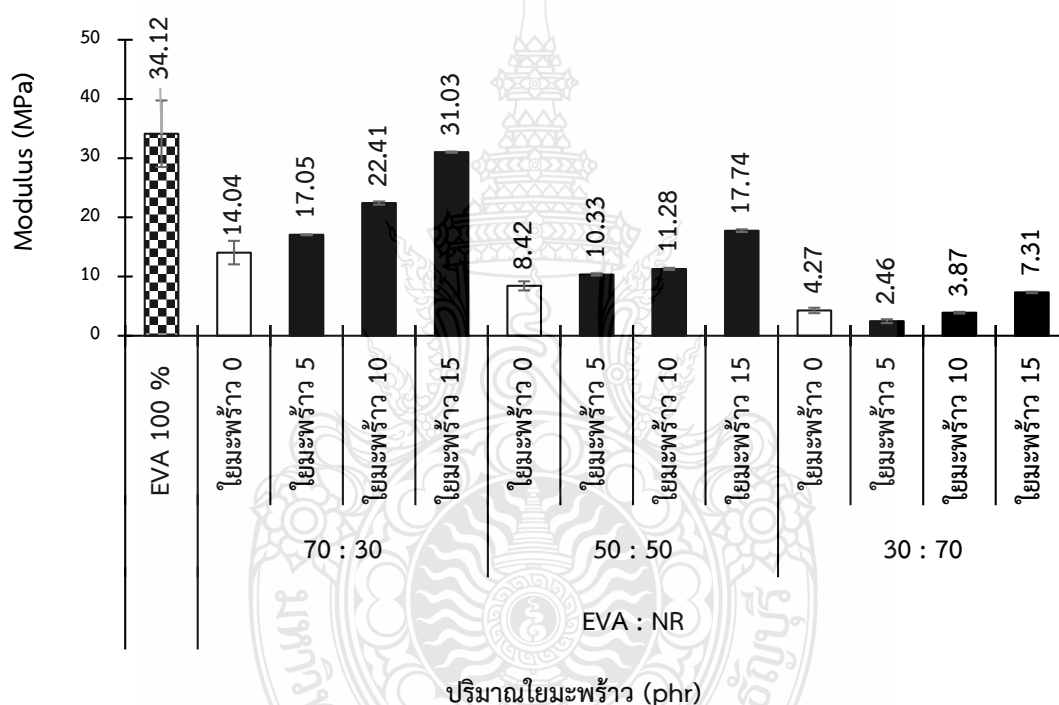
จากรูปที่ 4.21 แสดงค่าความแข็งของพอลิเมอร์ผสมระหว่างเอทิลีนไวนิลอะซิเตดกับยางสไตรีนบิวตาไดอีนโดยใช้ใยมะพร้าวยาว 3 มิลลิเมตร เป็นสารตัวเติม มีผลการทดลองไปทิศทางเดียวกันกับ ค่าความแข็งของพอลิเมอร์ผสมระหว่างเอทิลีนไวนิลอะซิเตดกับธรรมชาติโดยใช้ใยมะพร้าวยาว 3 มิลลิเมตร เป็นสารตัวเติม

จากรูปที่ 4.20 และ 4.21 พบว่าวัสดุโกลาสโตเมอร์ 2 ชนิด ได้แก่ ยางธรรมชาติและยาง สไตรีนบิวตาไดอีน ที่นำไปผสมกับเอทิลีนไวนิลอะซิเตด มีค่าความแข็งใกล้เคียงกัน การเติมใยมะพร้าวลงไปในพอลิเมอร์ผสม มีค่าแข็งเพิ่มขึ้นตามปริมาณของใยมะพร้าวยาว 3 มิลลิเมตรที่เพิ่มขึ้น เนื่องจากใยมะพร้าวยาว 3 มิลลิเมตร มีความแข็งมากกว่าพอลิเมอร์ผสม เมื่อเติมใยมะพร้าวเข้าไปเลยทำให้ค่าความแข็งเพิ่มขึ้น

4.2.3 คุณสมบัติแรงดึง

ในงานวิจัยนี้ได้ศึกษาสมบัติความเป็นฉนวนกันเสียงของพอลิเมอร์ผสมระหว่างเอทิลีนไวนิลอะซิเตดกับวัสดุอิลาสโตเมอร์ ในการศึกษาสมบัติความทนต่อแรงดึง (Tensile properties) มีสมบัติ 3 ประการที่ศึกษาได้แก่ มอดุลัส (Modulus), ความทนต่อแรงดึง (Tensile strength) และ การยืดตัว ณ จุดขาด (Elongation at break)

มอดุลัสของพอลิเมอร์ผสมระหว่างเอทิลีนไวนิลอะซิเตดกับยางธรรมชาติ โดยใช้ใยมะพร้าวยาว 3 มิลลิเมตรเป็นสารตัวเติมแสดงรายละเอียด ดังรูปที่ 4.22

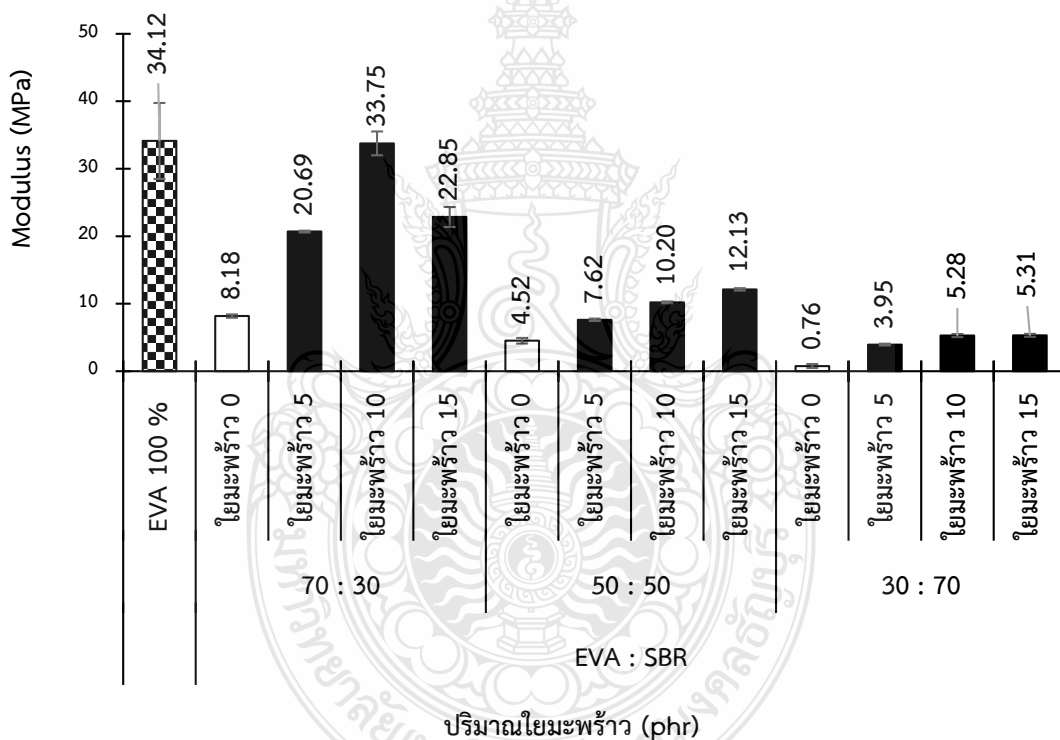


รูปที่ 4.22 กราฟแสดงค่ามอดุลัสของพอลิเมอร์ผสมระหว่างเอทิลีนไวนิลอะซิเตดผสมยางธรรมชาติที่เติมใยมะพร้าวยาว 3 มิลลิเมตร

จากรูปที่ 4.22 แสดงค่ามอดุลัส จากผลการทดลองสะท้อนให้เห็นความสามารถในการต้านทานการเปลี่ยนรูปร่างของพอลิเมอร์ผสมระหว่าง เอทิลีนไวนิลอะซิเตดกับยางธรรมชาติในอัตราส่วน 70:30, 50:50 และ 30:70 โดยน้ำหนัก เปรียบเทียบกับเอทิลีนไวนิลอะซิเตดที่ใช้งานในอุตสาหกรรมฉนวนกันเสียงภายในรถยนต์ พบว่าค่ามอดุลัสของพอลิเมอร์ผสมต่ำกว่าค่ามอดุลัสของเอ

ทีลีนไวนิลอะซิเตด เนื่องจากยางธรรมชาติมีค่ามอดุลัสที่ต่ำกว่าเอทีลีนไวนิลอะซิเตด ซึ่งยางธรรมชาติมีต
 วามต้านทานต่อการการเปลี่ยนแปลงรูปร่างต่ำกว่าเอทีลีนไวนิลอะซิเตด เมื่อนำไปผสมกับเอทีลีนไว
 นิลอะซิเตดจึงทำให้พอลิเมอร์ผสมมีค่ามอดุลัสต่ำลง การเติมโพลิเมอร์ยาว 3 มิลลิเมตรในพอลิเมอร์
 ผสมที่ปริมาณ 5, 10 และ 15 phr พบว่าค่ามอดุลัสสูงขึ้น เพราะโมเลกุลของพอลิเมอร์ผสมที่ต่ออยู่กับ
 เส้นใยจะสูญเสียส่วนการเคลื่อนที่ อันเนื่องมาจากโพลิเมอร์ยาวซึ่งกว่าพอลิเมอร์ผสมทำให้โมเลกุลของ
 สายโซ่เคลื่อนไหวได้ยากขึ้น ส่งผลต่อการเปลี่ยนแปลงรูปร่าง ดังนั้นค่ามอดุลัสจึงมีค่าสูงขึ้น

มอดุลัสของพอลิเมอร์ผสมระหว่างเอทีลีนไวนิลอะซิเตดกับยางสไตรีนบิวตาไดอีน โดย
 ใช้โพลิเมอร์ยาว 3 มิลลิเมตรเป็นสารตัวเติมแสดงรายละเอียด ดังรูปที่ 4.23



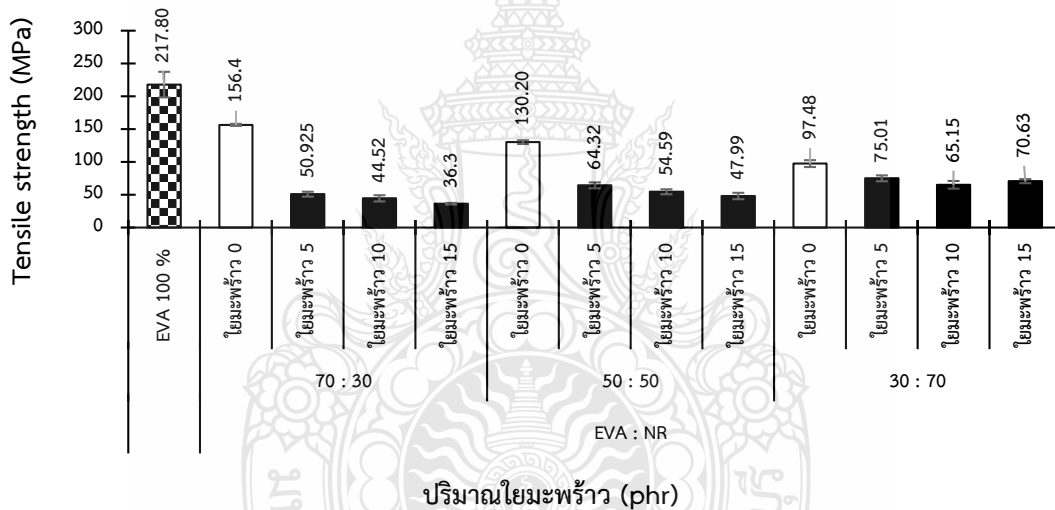
รูปที่ 4.23 กราฟแสดงค่ามอดุลัส (Modulus) ของพอลิเมอร์ผสมระหว่างเอทีลีนไวนิลอะซิเตด
 ผสมยางสไตรีนบิวตาไดอีนที่เติมโพลิเมอร์ยาว 3 มิลลิเมตร

จากรูปที่ 4.23 ผลการทดลองค่ามอดุลัสของพอลิเมอร์ผสมระหว่างเอทีลีนไวนิลอะซิ
 เตดผสมยางสไตรีนบิวตาไดอีนที่มีการเติมโพลิเมอร์ยาว 3 มิลลิเมตร มีผลการทดลองไปทิศทางเดียวกัน

กับค่ามอดุลัสของพอลิเมอร์ผสมระหว่างเอทิลีนไวนิลอะซิเตดผสมธรรมชาติที่มีการเติมใยมะพร้าวยาว 3 มิลลิเมตร

จากรูปที่ 4.22 และ 4.23 พบว่าค่ามอดุลัสของพอลิเมอร์ผสมระหว่างเอทิลีนไวนิลอะซิเตดกับยางธรรมชาติมีค่ามอดุลัสสูงกว่าพอลิเมอร์ผสมระหว่างเอทิลีนไวนิลอะซิเตดกับยางสไตรีนบิวตาไดอีน เนื่องจากยางธรรมชาติมีค่ามอดุลัสมากกว่ายางสไตรีนบิวตาไดอีน การเติมใยมะพร้าวยาว 3 มิลลิเมตรในพอลิเมอร์ผสมที่ปริมาณ 5, 10 และ 15 phr พบว่าค่ามอดุลัสสูงขึ้น เพราะทำให้โมเลกุลของสายโซ่เคลื่อนไหวได้ยากขึ้น ส่งผลให้ค่ามอดุลัสจึงมีค่าสูงขึ้น

ค่าความทนต่อแรงดึง (Tensile strength) ของพอลิเมอร์ผสมระหว่างเอทิลีนไวนิลอะซิเตดกับยางธรรมชาติ โดยใช้ใยมะพร้าวยาว 3 มิลลิเมตรเป็นสารตัวเติมแสดงรายละเอียด ดังรูปที่ 4.24

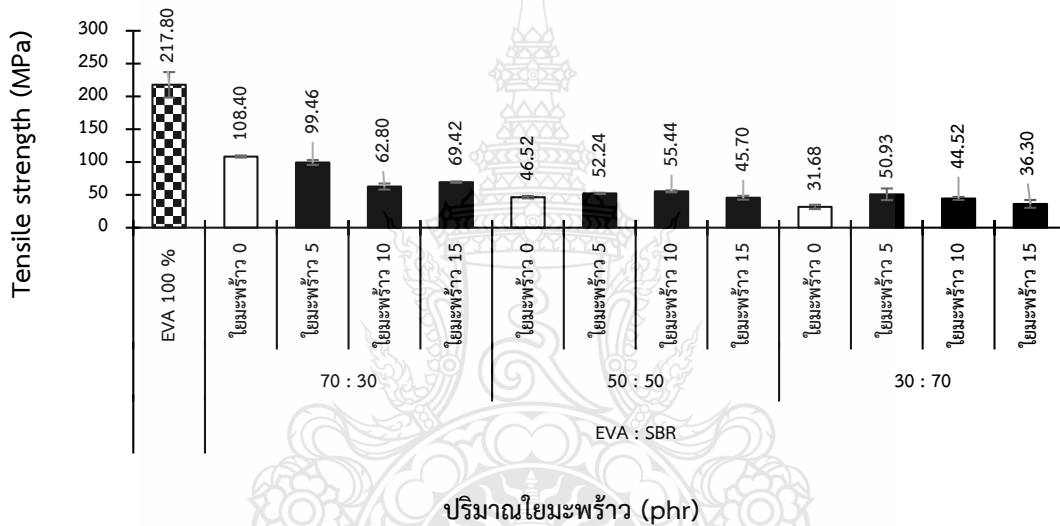


รูปที่ 4.24 กราฟแสดงค่าความทนต่อแรงดึง (Tensile strength) ของพอลิเมอร์ผสมระหว่างเอทิลีนไวนิลอะซิเตดกับยางธรรมชาติ โดยใช้ใยมะพร้าวยาว 3 มิลลิเมตร

จากรูปที่ 4.24 แสดงค่าความทนต่อแรงดึงของพอลิเมอร์ผสมระหว่างเอทิลีนไวนิลอะซิเตดกับยางธรรมชาติในอัตราส่วน 70:30, 50:50 และ 30:70 โดยน้ำหนัก เปรียบเทียบกับเอทิลีนไวนิลอะซิเตดที่ใช้งานในอุตสาหกรรมฉนวนกันเสียงภายในรถยนต์ พบว่าค่าความทนต่อแรงดึงของพอลิเมอร์ผสมต่ำกว่าค่าความทนต่อแรงดึงของเอทิลีนไวนิลอะซิเตด เนื่องจากโครงสร้างของเอทิลีนไวนิลอะซิเตดมีขั้ว แต่โครงสร้างของยางธรรมชาติไม่มีขั้วทำให้เข้ากันได้ยาก ส่งผลให้ค่าความทนต่อแรงดึงของพอลิเมอร์ผสมต่ำลง การเติมใยมะพร้าวยาว 3 มิลลิเมตร ที่ปริมาณ 5, 10 และ 15 phr มีค่าความทนต่อ

แรงดึงลดลงตามปริมาณของใยมะพร้าวยาว 3 มิลลิเมตรที่เติมลงไป เพราะยางธรรมชาติไม่มีความเป็นขี้และใยมะพร้าวมีความเป็นขี้มากกว่า โดยความเป็นขี้เป็นผลมาจากเซลลูโลสในใยมะพร้าว [21] ทำให้ความเข้ากันได้ของยางธรรมชาติและใยมะพร้าวไม่เกิดการเข้ากัน ส่งผลให้ใยมะพร้าวไม่ช่วยเสริมแรงในเอทิลีนไวนิลอะซิเตดกับยางธรรมชาติ

ค่าความทนต่อแรงดึง (Tensile strength) ของพอลิเมอร์ผสมระหว่างเอทิลีนไวนิลอะซิเตดกับยางสไตรีนบิวตาไดอีนโดยใช้ใยมะพร้าวยาว 3 มิลลิเมตรเป็นสารตัวเติมแสดงรายละเอียด ดังรูปที่ 4.25



รูปที่ 4.25 กราฟแสดงค่าความทนต่อแรงดึง (Tensile strength) ของพอลิเมอร์ผสมระหว่างเอทิลีนไวนิลอะซิเตดกับยางสไตรีนบิวตาไดอีนโดยใช้ใยมะพร้าวยาว 3 มิลลิเมตร

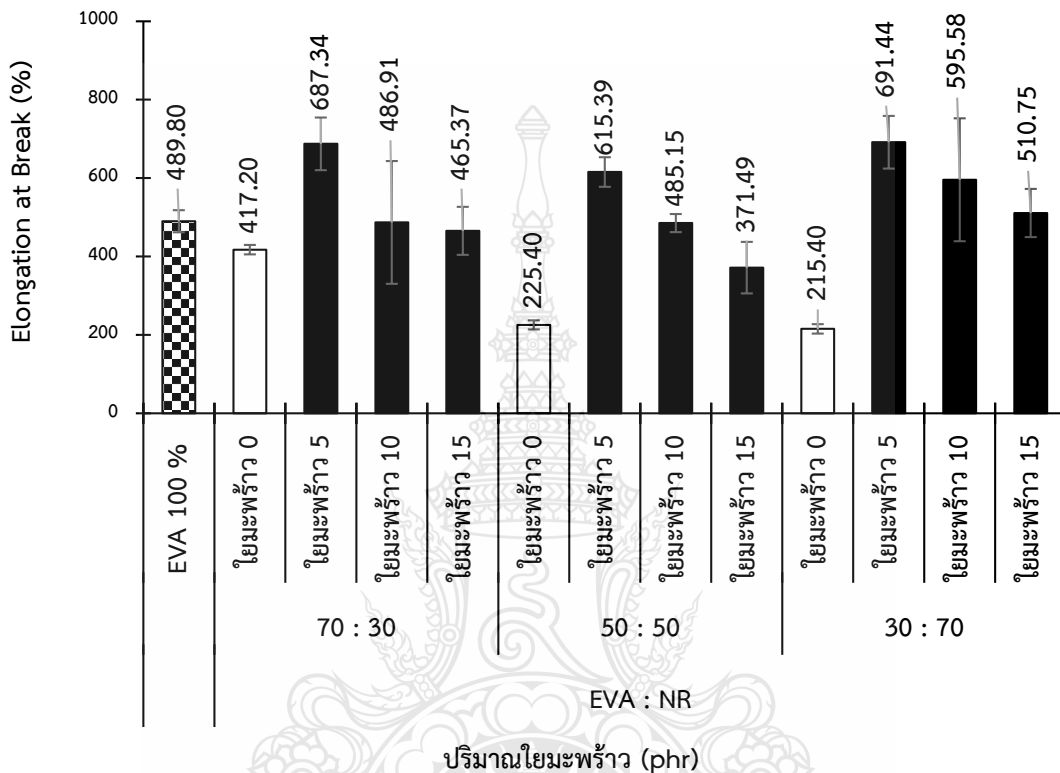
จากรูปที่ 4.25 แสดงค่าความทนต่อแรงดึงของพอลิเมอร์ผสมระหว่าง เอทิลีนไวนิลอะซิเตดกับยางสไตรีนบิวตาไดอีนในอัตราส่วน 70:30, 50:50 และ 30:70 โดยน้ำหนัก เปรียบเทียบกับเอทิลีนไวนิลอะซิเตดที่ใช้งานในอุตสาหกรรมฉนวนกันเสียงภายในรถยนต์ ผลการทดลองพบว่าค่าความทนต่อแรงดึงของพอลิเมอร์ผสมต่ำกว่าค่าความทนต่อแรงดึงของเอทิลีนไวนิลอะซิเตด เพราะความเข้ากันไม่ได้ของ พอลิเมอร์ผสมระหว่างเอทิลีนไวนิลอะซิเตดกับยางสไตรีนบิวตาไดอีน ทำให้ความแข็งแรงลดลง ดังรูป 4.6 การเติมใยมะพร้าวยาว 3 มิลลิเมตร ที่ปริมาณ 5, 10 และ 15 phr ส่งผลให้ค่าความทนต่อแรงดึงของพอลิเมอร์ผสมเพิ่มขึ้นเล็กน้อยตามปริมาณของใยมะพร้าวที่เติมลงไป เนื่องจากยางสไตรีนบิวตาไดอีนมีความเป็นขี้ต่ำๆ และใยมะพร้าวมีความเป็นขี้ โดยความเป็นขี้เป็นผลมาจาก

เซลล์โลสในไยมะพร้าว [21] ทำให้เกิดความเข้ากันได้ของยางสไตรีนบิวตาไดอีนและไยมะพร้าว ส่งผลให้ไยมะพร้าวช่วยเสริมแรงในเอทิลีนไวนิลอะซิเตดกับยางสไตรีนบิวตาไดอีน

จากรูปที่ 4.24 และ 4.25 พบว่าวัสดุอีลาสโตเมอร์ 2 ชนิด ได้แก่ ยางธรรมชาติและยางสไตรีนบิวตาไดอีน ที่นำไปผสมกับเอทิลีนไวนิลอะซิเตด พบว่ายางธรรมชาติมีค่าความทนต่อแรงดึงสูงกว่ายางสไตรีนบิวตาไดอีน เนื่องจากยางธรรมชาติเมื่อถูกยืดสามารถเกิดผลึกได้ แต่ยางสไตรีนบิวตาไดอีนไม่สามารถเกิดการตกผลึกได้เมื่อถูกยืดจึงส่งผลให้ค่าความทนต่อแรงดึงของยางสไตรีนบิวตาไดอีนต่ำกว่าค่าความทนต่อแรงดึงของยางธรรมชาติ การเติมเส้นไยมะพร้าวลงไปในพอลิเมอร์ผสมระหว่างเอทิลีนไวนิลอะซิเตดกับยางธรรมชาติส่งผลให้ค่าความทนต่อแรงดึงต่ำลง เพราะเกิดความเข้ากันไม่ได้ของพอลิเมอร์ผสม ดังเหตุผลที่กล่าวมาข้างต้น แต่การเติมไยมะพร้าวลงไปในพอลิเมอร์ผสมระหว่างเอทิลีนไวนิลอะซิเตดกับยางสไตรีนบิวตาไดอีน ส่งผลให้ค่าความทนต่อแรงดึงสูงขึ้นเพียงเล็กน้อย เพราะความเข้ากันได้ของยาง สไตรีนบิวตาไดอีนและไยมะพร้าว ดังเหตุผลที่กล่าวข้างต้น ส่งผลให้ไยมะพร้าวช่วยเสริมแรงในเอทิลีนไวนิลอะซิเตดกับยางสไตรีนบิวตาไดอีน ตามปริมาณของยางสไตรีนบิวตาไดอีนที่เพิ่มขึ้น



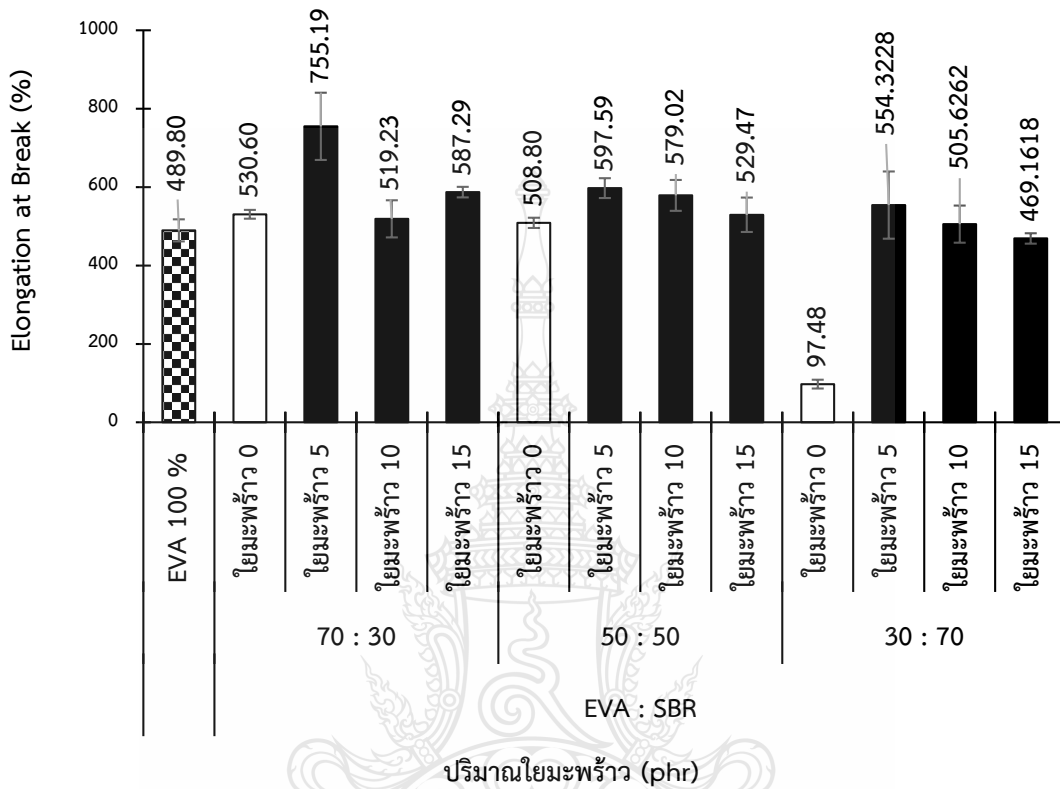
ค่าการยืดตัว ณ จุดขาด (Elongation at break) ของพอลิเมอร์ผสมระหว่างเอทิลีนไว
 นิลอะซีเตดกับยางธรรมชาติ โดยใช้ใยมะพร้าวยาว 3 มิลลิเมตรเป็นสารตัวเติมแสดงรายละเอียด ดังรูปที่
 4.26



รูปที่ 4.26 กราฟแสดงค่าการยืดตัว ณ จุดขาด (Elongation at break) ของพอลิเมอร์ผสมระหว่าง
 เอทิลีนไว นิลอะซีเตดกับยางธรรมชาติ โดยใช้ใยมะพร้าวยาว 3 มิลลิเมตร

จากรูปที่ 4.26 แสดงค่าการยืดตัว ณ จุดขาด ที่อัตราส่วน เอทิลีนไว นิลอะซีเตด:อีลาส
 โทเมอร์ 70:30, 50:50 และ 30:70 โดยน้ำหนัก ค่าการยืดตัว ณ จุดขาด ต่ำกว่าเอทิลีนไว นิลอะซีเตด
 การเติมใยมะพร้าวยาว 3 มิลลิเมตร 5 phr พบว่าการยืดตัว ณ จุดขาด เพิ่มขึ้น เพราะสายโซ่โมเลกุล
 ขยับได้ง่าย แต่เมื่อเพิ่มปริมาณของใยมะพร้าวที่ปริมาณ 10 และ 15 phr ทำให้การยืดตัว ณ จุดขาด
 ต่ำลง เนื่องจากใยมะพร้าวขัดขวางการเคลื่อนไหวของสายโมเลกุล ดังนั้นการเติมใยมะพร้าวในปริมาณที่
 มากขึ้นส่งผลให้การยืดตัว ณ จุดขาด ต่ำลง

ค่าการยืดตัว ณ จุดขาด (Elongation at break) ของพอลิเมอร์ผสมระหว่างเอทิลีนไวนิลอะซิเตดกับยางสไตรีนบิวตาไดอีน โดยใช้ซิลิกาเป็นสารตัวเติมแสดงรายละเอียด ดังรูปที่ 4.27



รูปที่ 4.27 กราฟแสดงค่าการยืดตัว ณ จุดขาด (Elongation at break) ของเอทิลีนไวนิลอะซิเตดผสมยางสไตรีนบิวตาไดอีนที่เติมใยมะพร้าวยาว 3 มิลลิเมตร

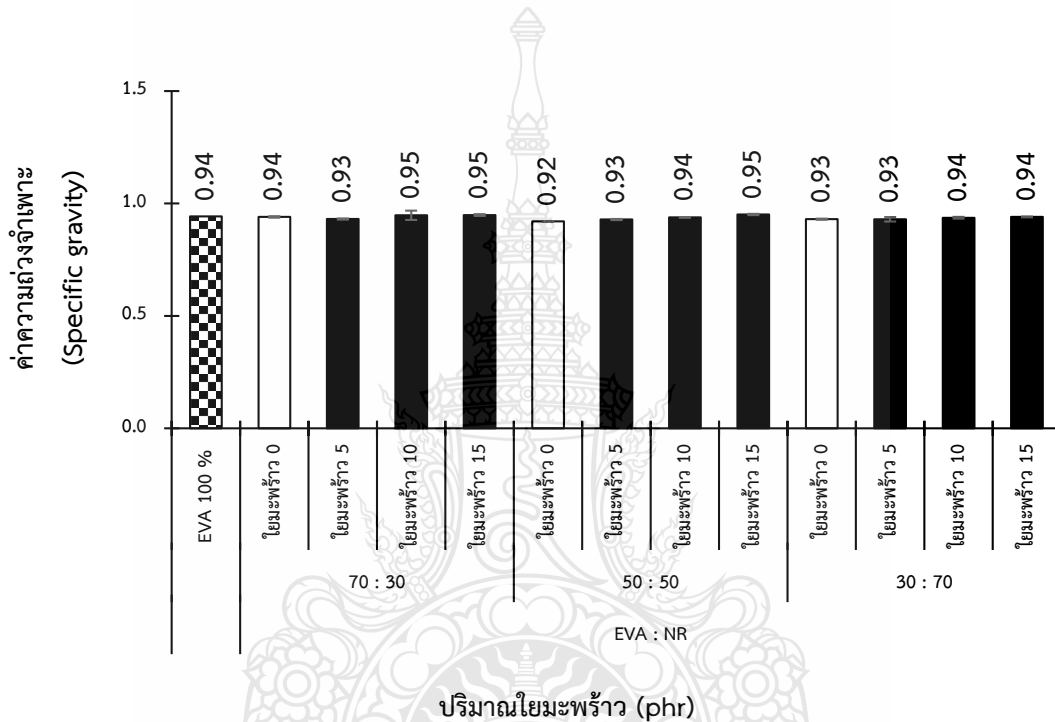
จากรูปที่ 4.27 แสดงค่าการยืดตัว ณ จุดขาดของพอลิเมอร์ผสมระหว่างเอทิลีนไวนิลอะซิเตดกับยางสไตรีนบิวตาไดอีนโดยใช้ใยมะพร้าว 3 มิลลิเมตรเป็นสารตัวเติม มีผลการทดลองไปทิศทางเดียวกันกับการยืดตัว ณ จุดขาด ของพอลิเมอร์ผสมระหว่างเอทิลีนไวนิลอะซิเตดกับธรรมชาติโดยใช้ใยมะพร้าว 3 มิลลิเมตรเป็นสารตัวเติม

จากรูปที่ 4.26 และ 4.27 พบว่าวัสดุอีลาสโตเมอร์ 2 ชนิด ได้แก่ ยางธรรมชาติและยางสไตรีนบิวตาไดอีน ที่นำไปผสมกับเอทิลีนไวนิลอะซิเตด ค่าการยืดตัว ณ จุดขาดของพอลิเมอร์ผสมต่ำกว่า เอทิลีนไวนิลอะซิเตด การเติมใยมะพร้าวยาว 3 มิลลิเมตร 5 phr พบว่าการยืดตัว ณ จุดขาดเพิ่มขึ้น เพราะสายโซ่โมเลกุลขยับได้ง่าย แต่เมื่อเพิ่มปริมาณของใยมะพร้าวที่ปริมาณ 10 และ 15 phr

ทำให้การยึดตัว ณ จุดขาด ต่ำลง เนื่องจากใยมะพร้าวขัดขวางการเคลื่อนไหวของสายโมเลกุล ดังนั้นการเติมใยมะพร้าวในปริมาณที่มากขึ้นส่งผลให้การยึดตัว ณ จุดขาด ต่ำลง

4.2.4 ความถ่วงจำเพาะ

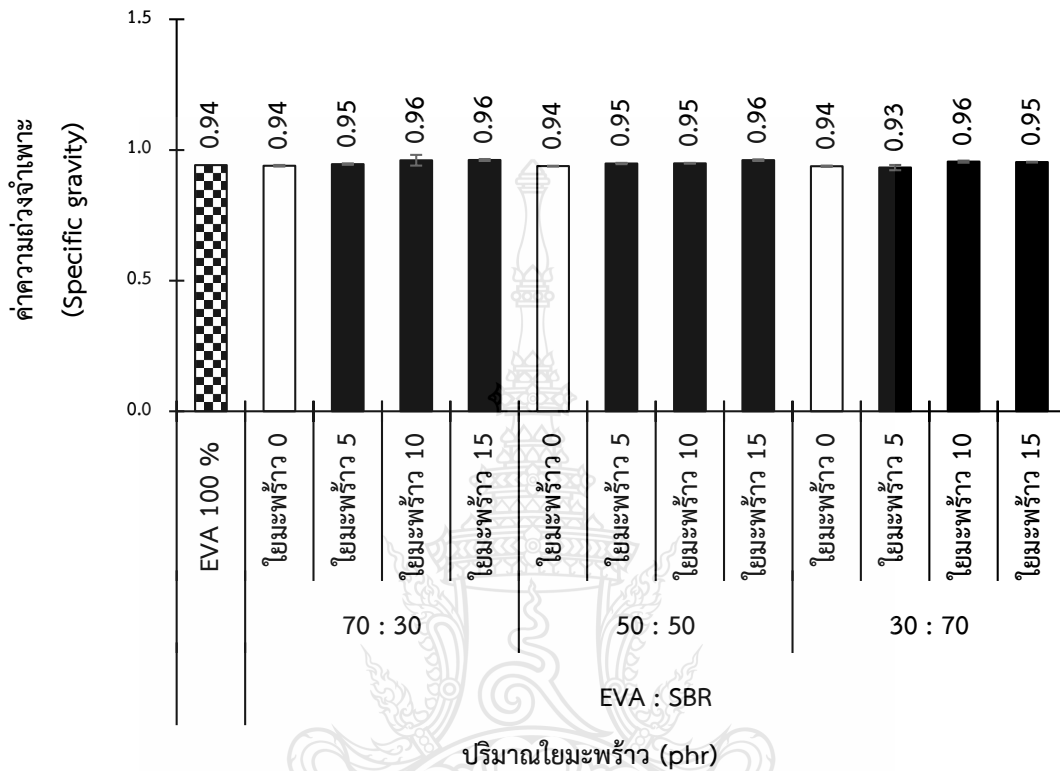
ความถ่วงจำเพาะของพอลิเมอร์ผสมระหว่างเอทิลีนไวนิลอะซิเตดกับยางธรรมชาติ โดยใช้ใยมะพร้าวยาว 3 มิลลิเมตร เป็นสารตัวเติมแสดงรายละเอียด ดังรูปที่ 4.28



รูปที่ 4.28 กราฟแสดงความถ่วงจำเพาะ(Specific gravity) ของเอทิลีนไวนิลอะซิเตดผสมยางธรรมชาติที่เติมใยมะพร้าวยาว 3 มิลลิเมตร

จากรูปที่ 4.28 แสดงผลค่าความถ่วงจำเพาะของพอลิเมอร์ผสมระหว่าง เอทิลีนไวนิลอะซิเตดกับยางธรรมชาติในอัตราส่วน 70:30, 50:50 และ 30:70 โดยน้ำหนัก เปรียบเทียบกับเอทิลีนไวนิลอะซิเตดที่ใช้งานในอุตสาหกรรมฉนวนกันเสียงภายในรถยนต์ ผลการทดลองพบว่าความถ่วงจำเพาะของพอลิเมอร์ผสมมีค่าใกล้เคียงกับของเอทิลีนไวนิลอะซิเตด การเติมใยมะพร้าวยาว 3 มิลลิเมตร 5, 10 และ 15 phr ในพอลิเมอร์ผสมระหว่างเอทิลีนไวนิลอะซิเตดกับยางธรรมชาติ มีค่าความถ่วงจำเพาะใกล้เคียงกับ พอลิเมอร์ผสม

ความถ่วงจำเพาะของพอลิเมอร์ผสมระหว่างเอทิลีนไวนิลอะซิเตดกับยางสไตรีนบิวตาไดอีนโดยใช้เติมใยมะพร้าวยาว 3 มิลลิเมตร เป็นสารตัวเติมแสดงรายละเอียด ดังรูปที่ 4.29



รูปที่ 4.29 กราฟแสดงค่าความถ่วงจำเพาะ(Specific gravity) ของเอทิลีนไวนิลอะซิเตดผสมยางสไตรีนบิวตาไดอีนที่เติมใยมะพร้าวยาว 3 มิลลิเมตร

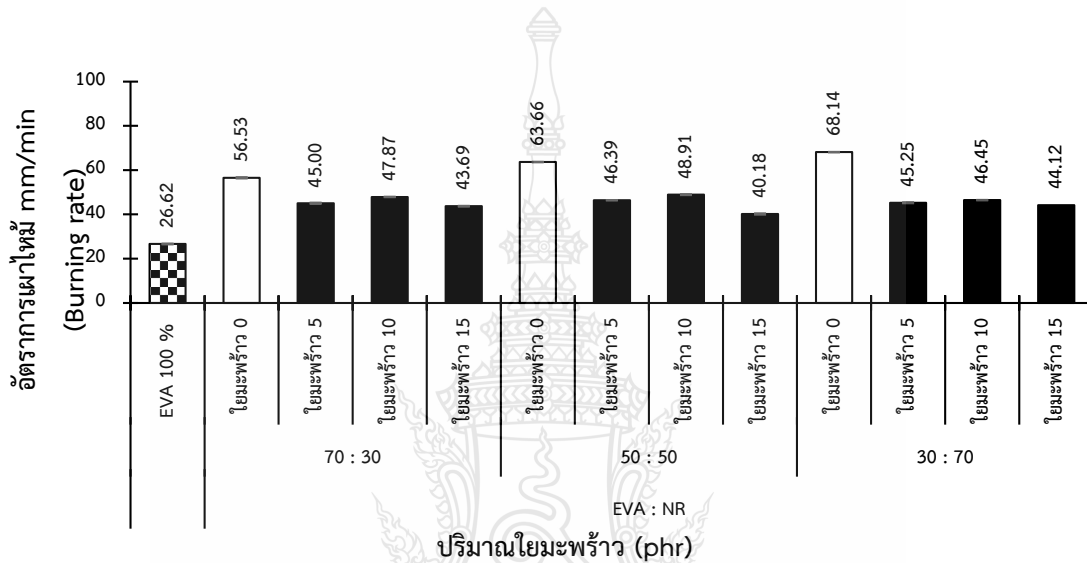
จากรูปที่ 4.29 แสดงค่าความถ่วงจำเพาะของพอลิเมอร์ผสมระหว่างเอทิลีนไวนิลอะซิเตดกับยางสไตรีนบิวตาไดอีนโดยใช้ใยมะพร้าว 3 มิลลิเมตรเป็นสารตัวเติม มีผลการทดลองไปทิศทางเดียวกันกับค่าความถ่วงจำเพาะของพอลิเมอร์ผสมระหว่างเอทิลีนไวนิลอะซิเตดกับธรรมชาติโดยใช้ใยมะพร้าว 3 มิลลิเมตรเป็นสารตัวเติม

จากรูปที่ 4.28 และ 4.29 พบว่าวัสดุอีลาสโตเมอร์ 2 ชนิด ได้แก่ ยางธรรมชาติและยางสไตรีนบิวตาไดอีน ที่นำไปผสมกับเอทิลีนไวนิลอะซิเตด มีค่าความถ่วงจำเพาะใกล้เคียงกัน การเติมใยมะพร้าว 3 มิลลิเมตรลงไปในพอลิเมอร์ผสม มีค่าความถ่วงจำเพาะใกล้เคียงกันกับเอทิลีนไวนิลอะซิเตด

4.2.5 สมบัติการหน่วงการติดไฟ

การทดสอบสมบัติการติดไฟของวัสดุมาตรฐาน UL-94 ทดสอบการติดไฟและลามไฟแนวนอน (Horizontal Burning Test)

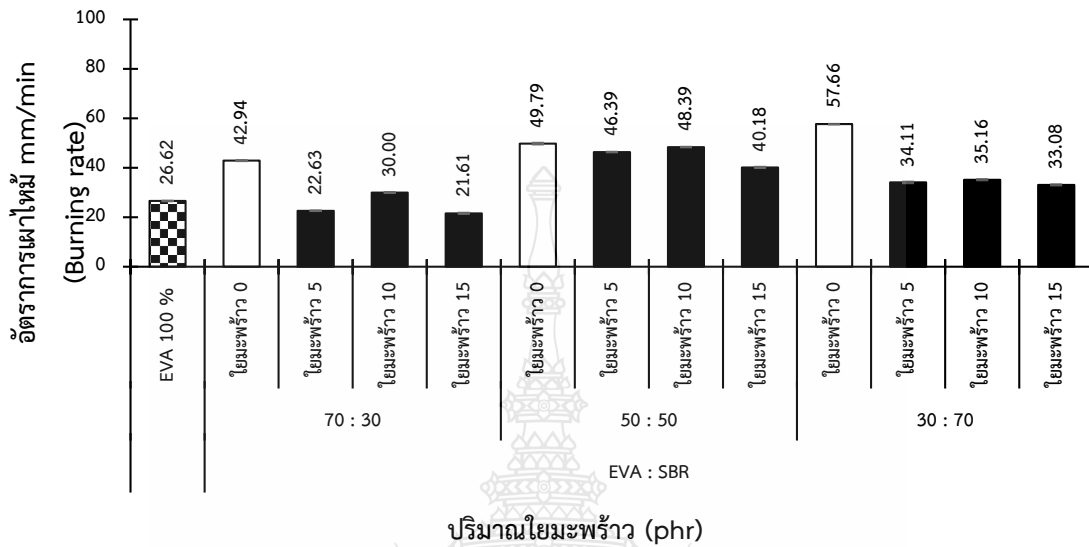
สมบัติการหน่วงการติดไฟของพอลิเมอร์ผสมระหว่างเอทิลีนไวนิลอะซิเตดกับยางธรรมชาติโดยใช้ใยมะพร้าวยาว 3 มิลลิเมตร เป็นสารตัวเติมแสดงรายละเอียด ดังรูปที่ 4.30



รูปที่ 4.30 กราฟแสดงค่าอัตราเร็วของการเผาไหม้ (Burning Rate) ของเอทิลีนไวนิลอะซิเตดผสมยางธรรมชาติที่เติมใยมะพร้าวยาว 3 มิลลิเมตร

จากรูปที่ 4.30 ผลการทดสอบการหน่วงการติดไฟ ทำการทดสอบการลามไฟแนวนอนพบว่าที่อัตราส่วน เอทิลีนไวนิลอะซิเตด:ยางธรรมชาติ 70:30, 50:50 และ 30:70 โดยน้ำหนัก ผลการทดสอบพบว่าไม่ผ่านมาตรฐาน UL-94 HB เนื่องจากมีอัตราเร็วของการเผาไหม้มากกว่า 40 มิลลิเมตร/วินาที เพราะยางธรรมชาติเป็นวัสดุที่ลามไฟได้ดีกว่าเอทิลีนไวนิลอะซิเตด ทำให้พอลิเมอร์ผสมระหว่างยางธรรมชาติกับเอทิลีนไวนิลอะซิเตดมีอัตราเร็วของการเผาไหม้สูงขึ้นตามปริมาณของยางธรรมชาติที่เพิ่มขึ้น การเติมใยมะพร้าวยาว 3 มิลลิเมตร 5, 10 และ 15 phr ในพอลิเมอร์ผสมระหว่างเอทิลีนไวนิลอะซิเตดกับยางธรรมชาติ ไม่ผ่านมาตรฐาน UL-94 HB เพราะใยมะพร้าวเป็นวัสดุที่ลามไฟได้ดีเช่นเดียวกับยางธรรมชาติ

สมบัติการหน่วงการติดไฟของพอลิเมอร์ผสมระหว่างเอทิลีนไวนิลอะซิเตดกับยางสไตรีนบิวตาไดอีนโดยใช้ใยมะพร้าวยาว 3 มิลลิเมตรเป็นสารตัวเติมแสดงรายละเอียด ดังรูปที่ 4.31



รูปที่ 4.31 กราฟแสดงค่าอัตราเร็วของการเผาไหม้ (Burning Rate) ของเอทิลีนไวนิลอะซิเตดผสมยางสไตรีนบิวตาไดอีนที่เติมใยมะพร้าวยาว 3 มิลลิเมตร

จากรูปที่ 4.31 ผลการทดสอบการหน่วงการติดไฟ ทำการทดสอบการลามไฟแนนนอนพบว่าที่อัตราส่วนเอทิลีนไวนิลอะซิเตด:ยางสไตรีนบิวตาไดอีน 70:30, 50:50 และ 30:70 โดยน้ำหนักผลการทดสอบพบว่าไม่ผ่านมาตรฐาน UL-94 HB เนื่องจากมีอัตราเร็วของการเผาไหม้มากกว่า 40 มิลลิเมตร/วินาที เพราะยางสไตรีนบิวตาไดอีนเป็นวัสดุที่ลามไฟได้ดีกว่าเอทิลีนไวนิลอะซิเตด ทำให้พอลิเมอร์ผสมระหว่างยางสไตรีนบิวตาไดอีนกับเอทิลีนไวนิลอะซิเตดมีอัตราเร็วของการเผาไหม้สูงขึ้นตามปริมาณของยางสไตรีนบิวตาไดอีนที่เพิ่มขึ้น การเติมใยมะพร้าวยาว 3 มิลลิเมตร 5, 10 และ 15 phr ที่อัตราส่วนเอทิลีนไวนิลอะซิเตด:ยางสไตรีนบิวตาไดอีน 50:50 ไม่ผ่านมาตรฐาน UL-94 HB เพราะใยมะพร้าวเป็นวัสดุที่ลามไฟได้ดีเช่นเดียวกับยางสไตรีนบิวตาไดอีน แต่ที่อัตราส่วนเอทิลีนไวนิลอะซิเตด:ยางสไตรีนบิวตาไดอีน 70:30 และ 30:70 ผ่านมาตรฐาน UL-94 HB

จากรูปที่ 4.30 และ 4.31 พบว่าวัสดุอีลาสโตเมอร์ 2 ชนิด ได้แก่ ยางธรรมชาติและยางสไตรีนบิวตาไดอีน ที่นำไปผสมกับเอทิลีนไวนิลอะซิเตด มีค่าอัตราเร็วของการเผาไหม้เร็วขึ้น เพราะอีลาสโตเมอร์เป็นวัสดุที่ลามไฟได้ดีกว่าเอทิลีนไวนิลอะซิเตด แต่ยางธรรมชาติลามไฟได้ดีกว่ายางสไตรีนบิวตาไดอีนทำให้ค่าอัตราการเผาไหม้ของยางธรรมชาติสูงกว่า ทำให้ไม่ผ่านมาตรฐาน UL-94 HB การเติมใยมะพร้าวยาว 3 มิลลิเมตร 5, 10 และ 15 phr 50:50 ไม่ผ่านมาตรฐาน UL-94 HB เพราะใย

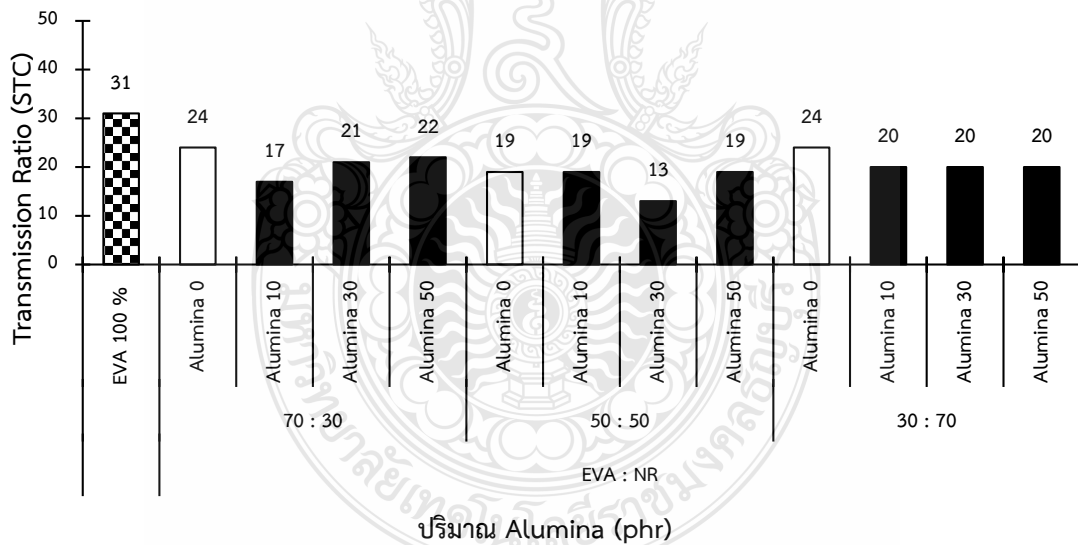
มะพร้าวเป็นวัสดุที่ลามไฟได้ดีเช่นเดียวกับยางสไตรีนบิวตาไดอีน แต่ที่อัตราส่วนเอทิลีนไวนิลอะซิเตด:ยางสไตรีนบิวตาไดอีน 70:30 และ 30:70 ผ่านมาตรฐาน UL-94 HB

4.3 ผลของสารหน่วงไฟอะลูมินาที่มีผลต่อสมบัติทางเสียงของพอลิเมอร์ผสมระหว่างเอทิลีนไวนิลอะซิเตดผสมกับวัสดุอีลาสโตเมอร์

4.3.1 สมบัติทางเสียง

ในงานวิจัยนี้ได้ศึกษาสมบัติความเป็นฉนวนกันเสียงของพอลิเมอร์ผสมระหว่างเอทิลีนไวนิลอะซิเตดกับวัสดุอีลาสโตเมอร์ โดยเน้นในการศึกษาสมบัติการกันเสียงเป็นหลัก ค่าการกันเสียงหาได้จาก ค่าระดับการส่งผ่านของเสียง (Transmission Ratio : STC)

สมบัติความเป็นฉนวนกันเสียงของพอลิเมอร์ผสมระหว่างเอทิลีนไวนิลอะซิเตดกับยางธรรมชาติ โดยใช้สารหน่วงไฟอะลูมินาเป็นสารตัวเติมแสดงรายละเอียด ดังรูปที่ 4.32

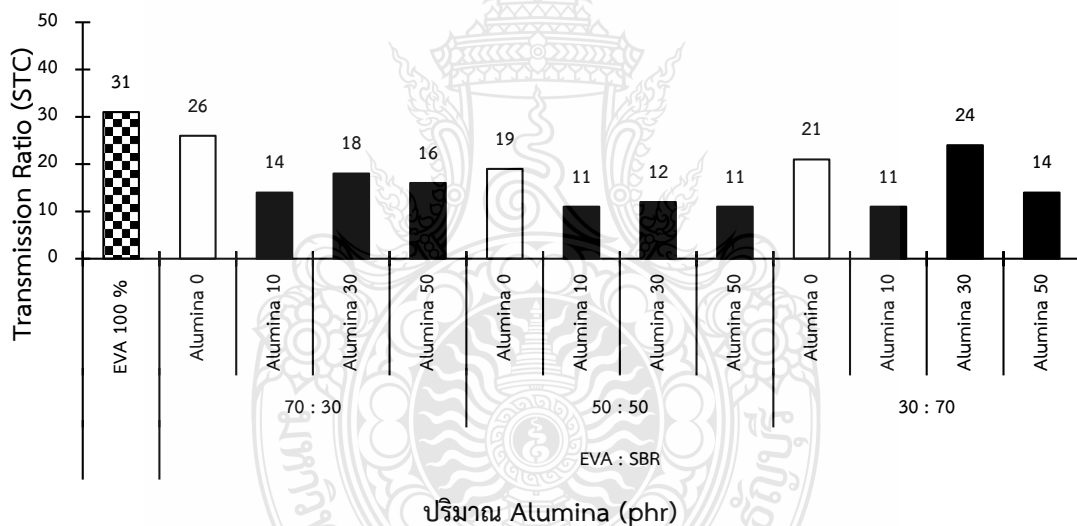


รูปที่ 4.32 กราฟแสดงค่าระดับการส่งผ่านของเสียง (STC) ของพอลิเมอร์ผสมระหว่างเอทิลีนไวนิลอะซิเตดกับยางธรรมชาติที่มีการเติมสารหน่วงไฟอะลูมินา

จากรูปที่ 4.32 แสดงผลการศึกษาสมบัติความเป็นฉนวนกันเสียงของพอลิเมอร์ผสมระหว่างเอทิลีนไวนิลอะซิเตดกับยางธรรมชาติ ในอัตราส่วน 70:30, 50:50 และ 30:70 โดยน้ำหนัก

เปรียบเทียบกับเอทิลีนไวนิลอะซิเตดที่ใช้งานในอุตสาหกรรมฉนวนกันเสียงภายในรถยนต์ ผลการทดลองพบว่าค่าระดับการส่งผ่านของเสียงของพอลิเมอร์ผสมต่ำกว่าเอทิลีนไวนิลอะซิเตด เนื่องจากยางธรรมชาติมีค่าความแข็งแรงน้อยกว่าเอทิลีนไวนิลอะซิเตด ทำให้ค่าความแข็งแรงลดลง ซึ่งค่าความแข็งแรงของวัสดุมีผลต่อค่าระดับการส่งผ่านของเสียง ส่งผลให้พอลิเมอร์ผสมมีค่าระดับการส่งผ่านของเสียงที่ลดลง การเติมสารหน่วงไฟอะลูมินา ที่ปริมาณ 10, 30 และ 50 phr ในพอลิเมอร์ผสมเพื่อเปรียบเทียบกับเอทิลีนไวนิลอะซิเตด พบว่าพอลิเมอร์ผสมระหว่างเอทิลีนไวนิลอะซิเตดกับยางธรรมชาติ มีค่าระดับการส่งผ่านของเสียงลดลง เพราะสารหน่วงไฟอะลูมินาไม่ได้ช่วยเพิ่มความแข็งแรงให้วัสดุ ทำให้การส่งผ่านของเสียงลดลง

สมบัติความเป็นฉนวนกันเสียงของพอลิเมอร์ผสมระหว่างเอทิลีนไวนิลอะซิเตดกับยางสไตรีนบิวตาไดอีน โดยใช้สารหน่วงไฟอะลูมินาเป็นสารตัวเติมแสดงรายละเอียด ดังรูปที่ 4.33



รูปที่ 4.33 กราฟแสดงค่าระดับการส่งผ่านของเสียง (STC) ของพอลิเมอร์ผสมระหว่างเอทิลีนไวนิลอะซิเตดกับยางสไตรีนบิวตาไดอีนที่มีการเติมสารหน่วงไฟอะลูมินา

จากรูปที่ 4.33 แสดงผลการศึกษาศักยภาพสมบัติความเป็นฉนวนกันเสียงของพอลิเมอร์ผสมระหว่างเอทิลีนไวนิลอะซิเตดกับยางสไตรีนบิวตาไดอีน ในอัตราส่วน 70:30, 50:50 และ 30:70 โดยน้ำหนัก เปรียบเทียบกับเอทิลีนไวนิลอะซิเตดที่ใช้งานในอุตสาหกรรมฉนวนกันเสียงภายในรถยนต์ ผล

การทดลองพบเป็นไปในทิศทางเดียวกันกับ ผลการศึกษาสมบัติความเป็นฉนวนกันเสียงของพอลิเมอร์ผสมระหว่างเอทิลีนไวนิลอะซิเตดกับยางธรรมชาติ โดยใช้สารหน่วงไฟอะลูมินาเป็นสารตัวเติม

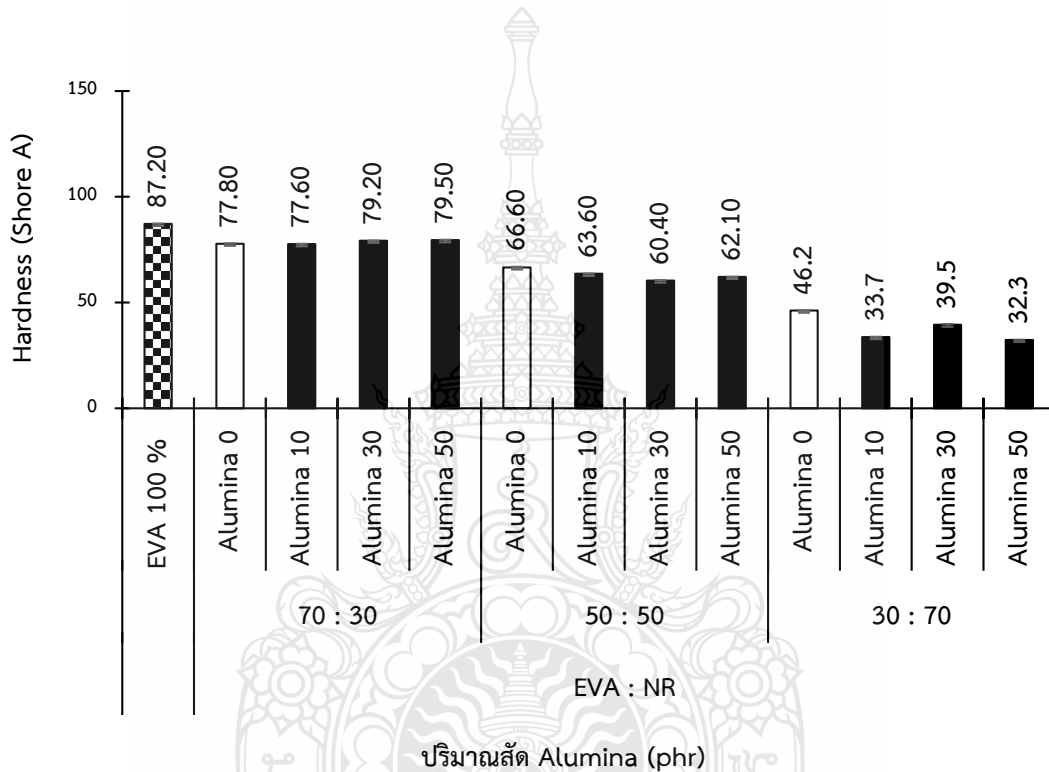
จากรูปที่ 4.32 และ 4.33 ผลการทดลองพบว่าวัสดุอิลาสโตเมอร์ 2 ชนิด ได้แก่ ยางธรรมชาติและยางสไตรีนบิวตาไดอีน ที่นำไปผสมกับเอทิลีนไวนิลอะซิเตด มีค่าระดับการส่งผ่านของเสียงใกล้เคียงกัน การเติมสารหน่วงไฟอะลูมินา ที่ปริมาณ 10, 30 และ 50 phr ในพอลิเมอร์ผสม มีค่าระดับการส่งผ่านของเสียงที่สูงกว่าเอทิลีนไวนิลอะซิเตด แต่เมื่อปริมาณยางเพิ่มขึ้นมีค่าระดับการส่งผ่านของเสียงจะลดลง เนื่องจากยางมีความแข็งน้อยกว่าเอทิลีนไวนิลอะซิเตด และการเติมสารหน่วงไฟอะลูมินา ลงในพอลิเมอร์ผสมไม่ได้ช่วยเพิ่มความแข็งให้วัสดุ ทำให้การส่งผ่านของเสียงลดลง



4.3.2 ความแข็ง

ค่าความแข็งสามารถวัดได้โดยนำหัวกดลงบนชิ้นทดสอบภายใต้สภาวะที่กำหนด ความลึกของการทะลุทะลวงของหัวกดจะสะท้อนถึงค่าความแข็ง

ค่าความแข็งของพอลิเมอร์ผสมระหว่างเอทิลีนไวนิลอะซิเตดกับยางธรรมชาติ โดยใช้สารหน่วงไฟอะลูมินาเป็นสารตัวเติมแสดงรายละเอียด ดังรูปที่ 4.34

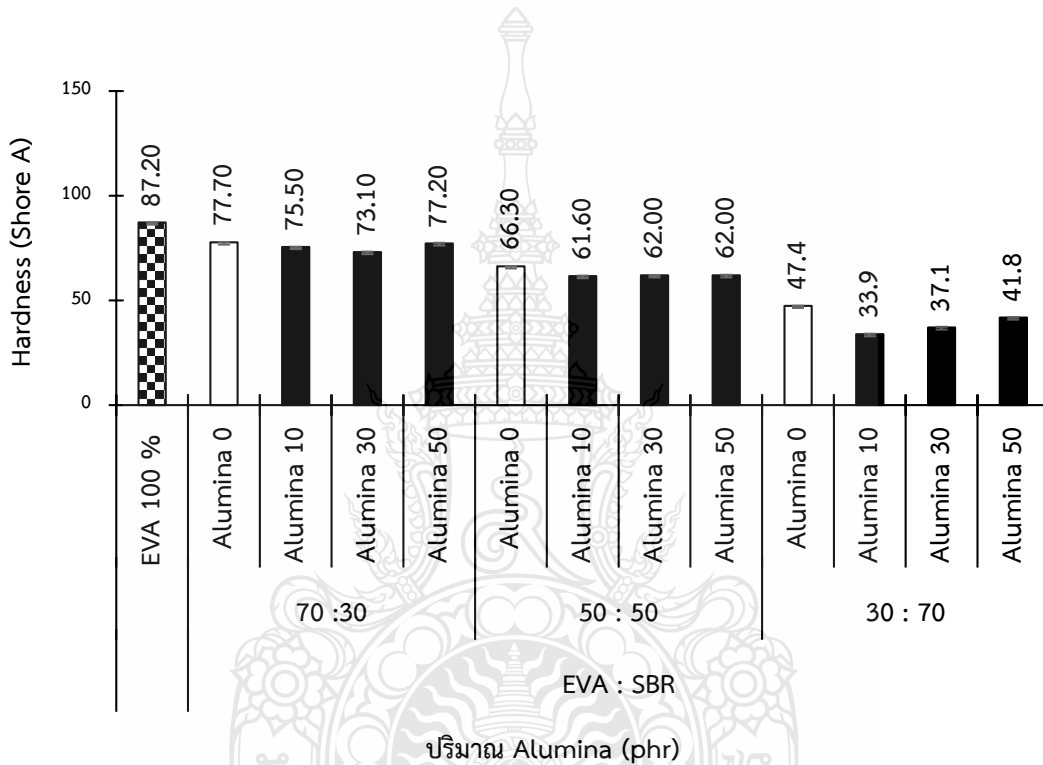


รูปที่ 4.34 กราฟแสดงค่าความแข็ง (Hardness) ของพอลิเมอร์ผสมระหว่างเอทิลีนไวนิลอะซิเตดกับยางธรรมชาติที่มีการเติมสารหน่วงไฟอะลูมินา

จากรูปที่ 4.34 แสดงผลค่าความแข็งของพอลิเมอร์ผสมระหว่าง เอทิลีนไวนิลอะซิเตดกับยางธรรมชาติในอัตราส่วน 70:30, 50:50 และ 30:70 โดยน้ำหนัก เปรียบเทียบกับเอทิลีนไวนิลอะซิเตดที่ใช้งานในอุตสาหกรรมฉนวนกันเสียงภายในรถยนต์ ผลการทดลองพบว่าค่าความแข็งของพอลิเมอร์ผสมต่ำกว่าค่าความแข็งของเอทิลีนไวนิลอะซิเตด เนื่องจากยางธรรมชาติมีค่าความแข็งที่น้อยกว่าเอทิลีนไวนิลอะซิเตด การเติมยางธรรมชาติลงไปทำให้ค่าความแข็งของพอลิเมอร์ผสมลดลง การเติมสารหน่วงไฟอะลูมินา ที่ปริมาณ 10, 30 และ 50 phr ในพอลิเมอร์ผสมเพื่อเปรียบเทียบกับเอทิลีนไวนิลอะซิเตด

เตด ผลการทดลองพบว่า การเติมสารหน่วงอะลูมินาไม่ส่งผลให้พอลิเมอร์ผสมมีความแข็งเพิ่มขึ้น ซึ่ง อะลูมินาไม่ใช่เป็นสารตัวเติมเสริมแรงที่เพิ่มความแข็งให้กับวัสดุพอลิเมอร์ เมื่อนำสารหน่วงอะลูมินามา ผสมกับพอลิเมอร์ผสมจึงทำให้ค่าความแข็งไม่เพิ่มขึ้น

ค่าความแข็งของพอลิเมอร์ผสมระหว่างเอทิลีนไวนิลอะซิเตดกับยางสไตรีนบิวตาไดอีน โดยใช้สารหน่วงไฟอะลูมินาเป็นสารตัวเติมแสดงรายละเอียด ดังรูปที่ 4.35



รูปที่ 4.35 กราฟแสดงค่าความแข็ง (Hardness) ของพอลิเมอร์ผสมระหว่างเอทิลีนไวนิลอะซิเตดกับ ยางสไตรีนบิวตาไดอีนที่มีการเติมสารหน่วงไฟอะลูมินา

จากรูปที่ 4.35 แสดงค่าความแข็งของพอลิเมอร์ผสมระหว่างเอทิลีนไวนิลอะซิเตดกับ ยาง สไตรีนบิวตาไดอีนโดยใช้สารหน่วงอะลูมินาเป็นสารตัวเติม มีผลการทดลองไปทิศทางเดียวกันกับ ค่าความแข็งของพอลิเมอร์ผสมระหว่างเอทิลีนไวนิลอะซิเตดกับธรรมชาติโดยใช้สารหน่วงอะลูมินาเป็น สารตัวเติม

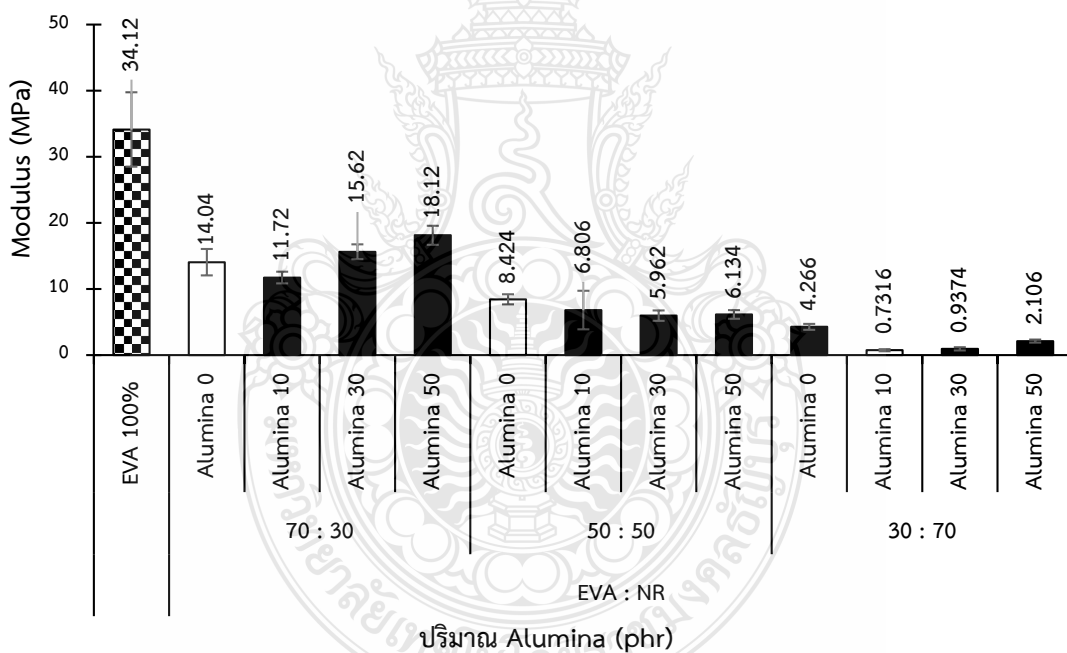
จากรูปที่ 4.34 และ 4.35 พบว่าวัสดุอีลาสโตเมอร์ 2 ชนิด ได้แก่ ยางธรรมชาติและยาง สไตรีนบิวตาไดอีน ที่นำไปผสมกับเอทิลีนไวนิลอะซิเตด มีค่าความแข็งใกล้เคียงกัน การเติมสารหน่วง

อะลูมินาลงไปไม่ได้ช่วยให้ค่าความแข็งของพอลิเมอร์ผสมสูงขึ้น เพราะอะลูมิน่าไม่ใช่เป็นสารตัวเติมเสริมแรงที่เพิ่มความแข็งให้กับวัสดุพอลิเมอร์

4.3.3 คุณสมบัติแรงดึง

ในงานวิจัยนี้ได้ศึกษาสมบัติความเป็นฉนวนกันเสียงของพอลิเมอร์ผสมระหว่างเอทิลีนไวนิลอะซิเตดกับวัสดุอิลาสโตเมอร์ ในการศึกษาสมบัติความทนต่อแรงดึง (Tensile properties) มีสมบัติ 3 ประการที่ศึกษาได้แก่ โมดูลัส (Modulus), ความทนต่อแรงดึง (Tensile strength) และ การยืดตัว ณ จุดขาด (Elongation at break)

โมดูลัสของพอลิเมอร์ผสมระหว่างเอทิลีนไวนิลอะซิเตดกับยางธรรมชาติ โดยใช้อะลูมิน่าเป็นสารตัวเติมแสดงรายละเอียด ดังรูปที่ 4.36

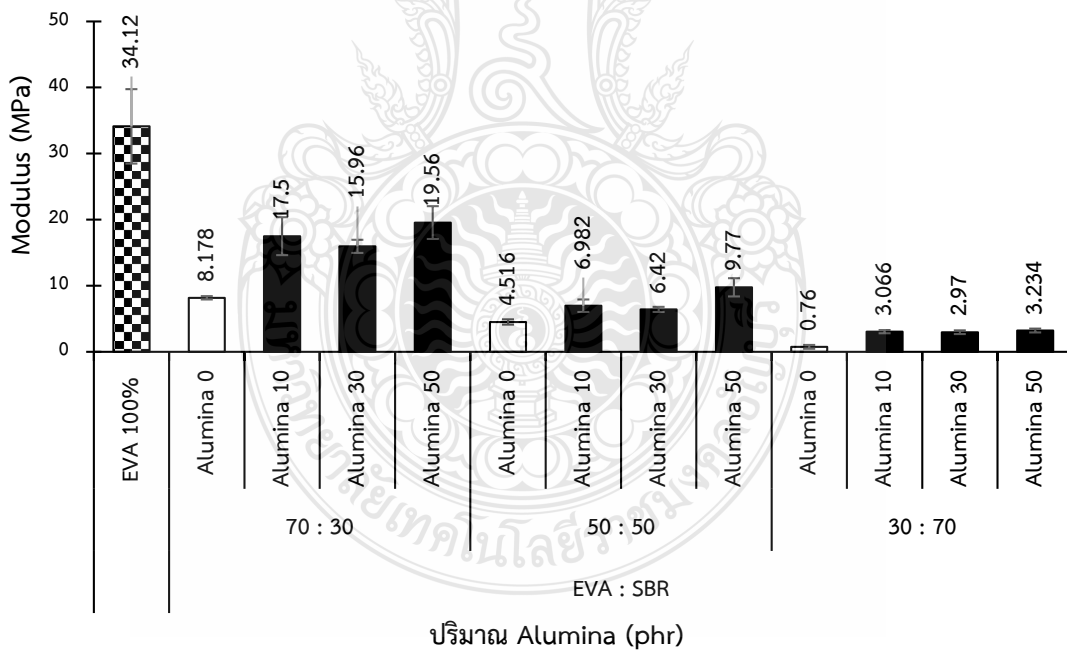


รูปที่ 4.36 กราฟแสดงค่ามอดูลัส (Modulus) ของพอลิเมอร์ผสมระหว่างเอทิลีนไวนิลอะซิเตดกับยางธรรมชาติที่มีการเติมสารหน่วงไฟอะลูมิน่า

จากรูปที่ 4.36 แสดงค่ามอดูลัส จากผลการทดลองสะท้อนให้เห็นความสามารถในการต้านทานการเปลี่ยนรูปร่างของพอลิเมอร์ผสมระหว่างเอทิลีนไวนิลอะซิเตดกับยางธรรมชาติในอัตราส่วน

70:30, 50:50 และ 30:70 โดยน้ำหนัก เปรียบเทียบกับเอทิลีนไวนิลอะซิเตดที่ใช้งานในอุตสาหกรรม ฉนวนกันเสียงภายในรถยนต์ พบว่าค่ามอดุลัสของพอลิเมอร์ผสมต่ำกว่าค่ามอดุลัสของเอทิลีนไวนิลอะซิเตด เกิดจากความไม่เข้ากันของพอลิเมอร์ผสมระหว่างเอทิลีนไวนิลอะซิเตดกับยางธรรมชาติ เนื่องจากเอทิลีนไวนิลอะซิเตดมีความเป็นขี้และยางธรรมชาติไม่มีความเป็นขี้ ทำให้เกิดการไม่เข้ากัน ดังแสดงในแบบจำลองรูปที่ 4.6 และยางธรรมชาติมีความต้านทานต่อการเปลี่ยนแปลงรูปร่างต่ำกว่าเอทิลีนไวนิลอะซิเตด เมื่อนำไปผสมกับเอทิลีนไวนิลอะซิเตดจึงทำให้พอลิเมอร์ผสมมีค่ามอดุลัสต่ำลง การเติมสารหน่วงไฟอะลูมินาในพอลิเมอร์ผสมที่ปริมาณ 10, 30 และ 50 phr พบว่า มีค่ามอดุลัสเพิ่มขึ้นตามปริมาณของสารหน่วงไฟอะลูมินาที่เติมลงไป ซึ่งสารหน่วงไฟอะลูมินามีการกระจายตัวทั่วเนื้อของพอลิเมอร์ผสมไปขัดขวางการเคลื่อนไหวของสายโซ่โมเลกุล ทำให้โมเลกุลของสายโซ่โมเลกุลเคลื่อนไหวได้ยากขึ้น ส่งผลทำให้การเปลี่ยนแปลงรูปร่างทำได้ยากขึ้นทำให้ค่ามอดุลัสมีค่าสูงขึ้น

มอดุลัสของพอลิเมอร์ผสมระหว่างเอทิลีนไวนิลอะซิเตดกับยางสไตรีนบิวตาไดอีน โดยใช้สารหน่วงไฟอะลูมินาเป็นสารตัวเติมแสดงรายละเอียด ดังรูปที่ 4.37

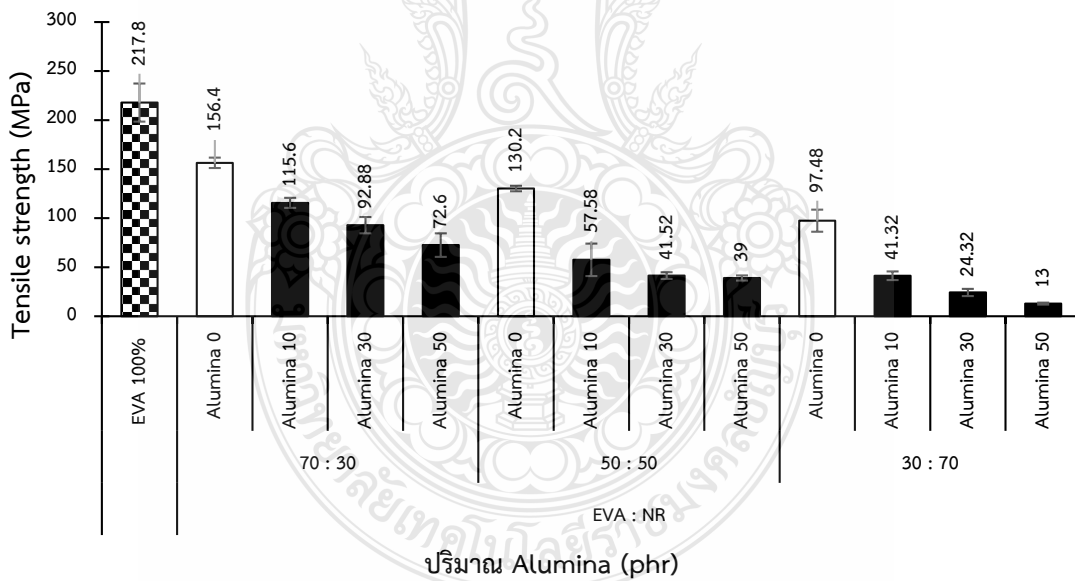


รูปที่ 4.37 กราฟแสดงค่ามอดุลัส (Modulus) ของพอลิเมอร์ผสมระหว่างเอทิลีนไวนิลอะซิเตดกับยางสไตรีนบิวตาไดอีนที่มีการเติมสารหน่วงไฟอะลูมินา

จากรูปที่ 4.37 ผลการทดลองค่ามอดุลัสของพอลิเมอร์ผสมระหว่างเอทิลีนไวนิลอะซิเตดผสมยางสไตรีนบิวตาไดอีนที่มีการเติมสารหน่วงไฟอะลูมิน่า มีผลการทดลองไปทิศทางเดียวกันกับค่ามอดุลัสของพอลิเมอร์ผสมระหว่างเอทิลีนไวนิลอะซิเตดผสมธรรมชาติที่มีการเติมสารหน่วงไฟอะลูมิน่า

จากรูปที่ 4.36 และ 4.37 พบว่าค่ามอดุลัสของพอลิเมอร์ผสมระหว่างเอทิลีนไวนิลอะซิเตดกับยางธรรมชาติมีค่ามอดุลัสสูงกว่าพอลิเมอร์ผสมระหว่างเอทิลีนไวนิลอะซิเตดกับยางสไตรีนบิวตาไดอีน เนื่องจากยางธรรมชาติมีค่ามอดุลัสมากกว่ายางสไตรีนบิวตาไดอีน การเติมสารหน่วงไฟอะลูมิน่าในพอลิเมอร์ผสมที่ปริมาณ 10, 30 และ 50 phr พบว่า มีค่ามอดุลัสเพิ่มขึ้นตามปริมาณของสารหน่วงไฟอะลูมิน่าที่เติมลงไป เพราะสารหน่วงไฟอะลูมิน่ากระจายตัวได้ดี ทำให้ขัดขวางการเคลื่อนไหวของสายโซ่โมเลกุล จึงเคลื่อนไหวได้ยากขึ้น ส่งผลทำให้การเปลี่ยนแปลงรูปร่างทำได้ยากขึ้นทำให้ค่ามอดุลัสมีค่าสูงขึ้น

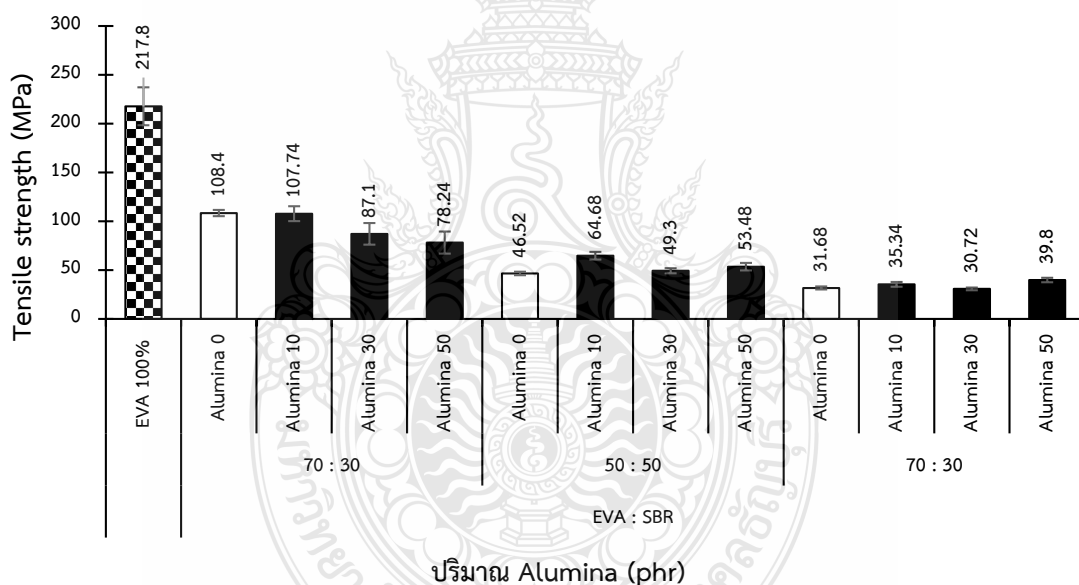
ค่าการทดสอบแรงดึง (Tensile strength) ของพอลิเมอร์ผสมระหว่างเอทิลีนไวนิลอะซิเตดกับยางธรรมชาติที่มีการเติมสารหน่วงไฟอะลูมิน่าแสดงรายละเอียด ดังรูปที่ 4.38



รูปที่ 4.38 กราฟแสดงค่าการทดสอบแรงดึง (Tensile strength) ของพอลิเมอร์ผสมระหว่างเอทิลีนไวนิลอะซิเตดกับยางธรรมชาติที่มีการเติมสารหน่วงไฟอะลูมิน่า

จากรูปที่ 4.38 แสดงค่าความทนต่อแรงดึงของพอลิเมอร์ผสมระหว่างเอทิลีนไวนิลอะซิเตดกับยางธรรมชาติในอัตราส่วน 70:30, 50:50 และ 30:70 โดยน้ำหนัก เปรียบเทียบกับเอทิลีนไวนิลอะซิเตดที่ใช้ในงานในอุตสาหกรรมฉนวนกันเสียงภายในรถยนต์ พบว่าค่าความทนต่อแรงดึงของพอลิเมอร์ผสมต่ำกว่าค่าความทนต่อแรงดึงของเอทิลีนไวนิลอะซิเตด เพราะความเข้ากันไม่ได้ของพอลิเมอร์ผสมระหว่างเอทิลีนไวนิลอะซิเตดกับยางธรรมชาติ ทำให้ความแข็งแรงลดลง ดังแสดงในแบบจำลองรูปที่ 4.6 การเติมสารหน่วงไฟอะลูมินา 10, 30 และ 50 phr มีค่าความทนต่อแรงดึงลดลงตามปริมาณของสารหน่วงไฟอะลูมินาที่เติมลงไป ดังนั้นสารหน่วงไฟอะลูมินาไม่ช่วยเสริมแรงให้กับพอลิเมอร์ผสมระหว่างเอทิลีนไวนิลอะซิเตดกับยางธรรมชาติ

ค่าการทดสอบแรงดึง (Tensile strength) ของพอลิเมอร์ผสมระหว่างเอทิลีนไวนิลอะซิเตดกับยางสไตรีนบิวตาไดอีนที่มีการเติมสารหน่วงไฟอะลูมินาแสดงรายละเอียด ดังรูปที่ 4.39

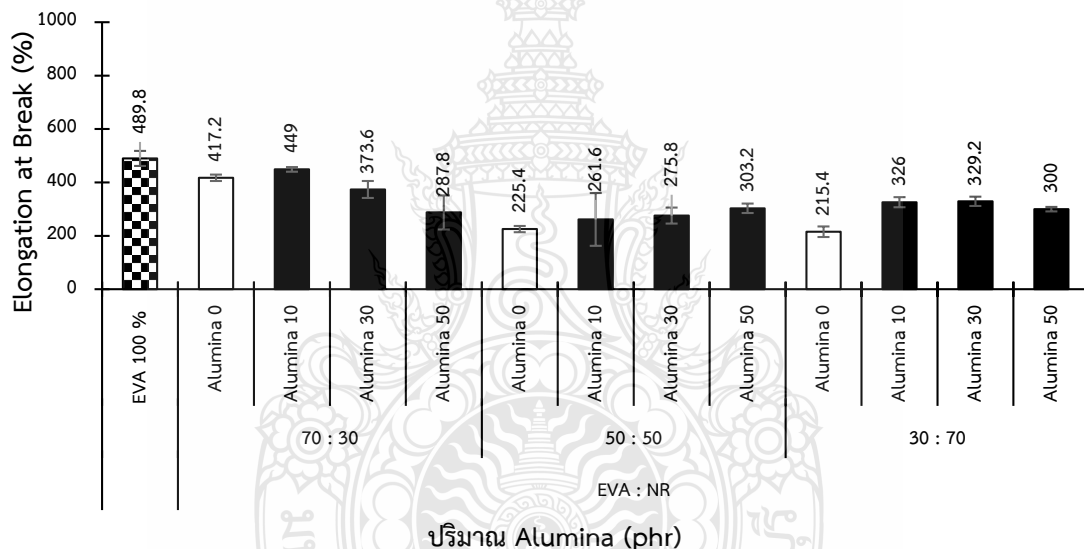


รูปที่ 4.39 กราฟแสดงค่าการทดสอบแรงดึง (Tensile strength) ของพอลิเมอร์ผสมระหว่างเอทิลีนไวนิลอะซิเตดกับยางสไตรีนบิวตาไดอีนที่มีการเติมสารหน่วงไฟอะลูมินา

จากรูปที่ 4.39 ผลการทดลองค่าความทนต่อแรงดึงของพอลิเมอร์ผสมระหว่างเอทิลีนไวนิลอะซิเตดผสมยางสไตรีนบิวตาไดอีนที่มีการเติมสารหน่วงไฟอะลูมินา มีผลการทดลองไปทิศทางเดียวกันกับค่าความทนต่อแรงดึงของพอลิเมอร์ผสมระหว่างเอทิลีนไวนิลอะซิเตดผสมธรรมชาติที่มีการเติมสารหน่วงไฟอะลูมินา

จากรูปที่ 4.38 และ 4.39 พบว่าค่าความทนต่อแรงดึงของพอลิเมอร์ผสมระหว่างเอทิลีนไวนิลอะซิเตดกับยางธรรมชาติมีค่าความทนต่อแรงดึงสูงกว่าพอลิเมอร์ผสมระหว่างเอทิลีนไวนิลอะซิเตดกับยางสไตรีนบิวตาไดอีน เนื่องจากยางธรรมชาติมีค่าความทนต่อแรงดึงมากกว่ายางสไตรีนบิวตาไดอีน การเติมสารหน่วงไฟอะลูมินาในพอลิเมอร์ผสมที่ปริมาณ 10, 30 และ 50 phr พบว่าพอลิเมอร์ผสมมีค่าความทนต่อแรงดึงลดลงตามปริมาณของสารหน่วงไฟอะลูมินาที่เติมลงไป เพราะสารหน่วงไฟอะลูมินาไม่ช่วยเสริมแรงให้กับพอลิเมอร์ผสม

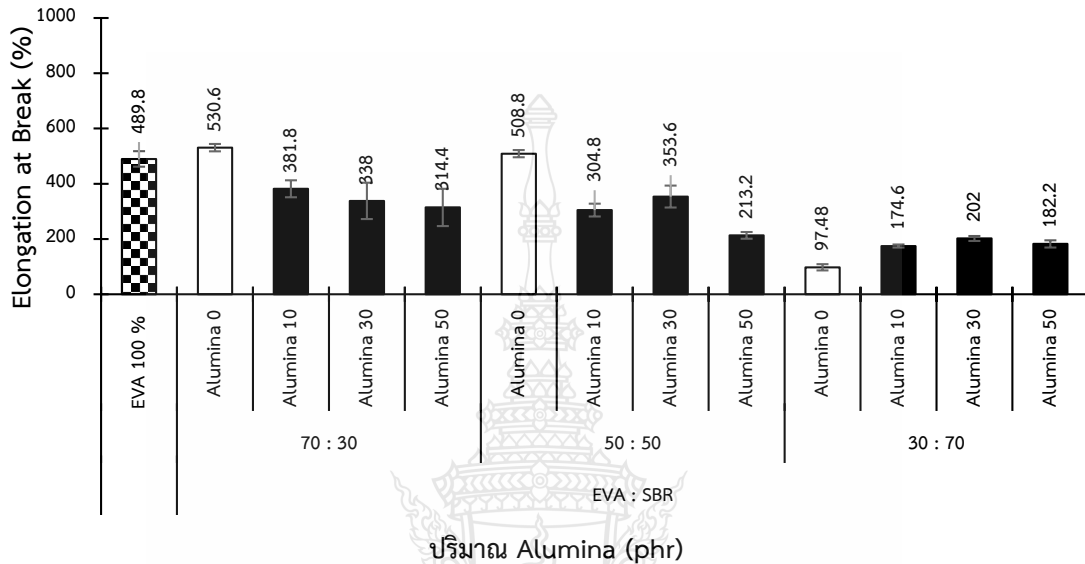
ค่าการยืดตัว ณ จุดขาด (Elongation at break) ของพอลิเมอร์ผสมระหว่างเอทิลีนไวนิลอะซิเตดกับยางธรรมชาติที่มีการเติมสารหน่วงไฟอะลูมินาแสดงรายละเอียด ดังรูปที่ 4.40



รูปที่ 4.40 กราฟแสดงค่าการยืดตัว ณ จุดขาด (Elongation at break) ของพอลิเมอร์ผสมระหว่างเอทิลีนไวนิลอะซิเตดกับยางธรรมชาติที่มีการเติมสารหน่วงไฟอะลูมินา

จากรูปที่ 4.40 แสดงค่าการยืดตัว ณ จุดขาด ที่อัตราส่วน เอทิลีนไวนิลอะซิเตด:อีลาสโตเมอร์ 70:30, 50:50 และ 30:70 โดยน้ำหนัก ค่าการยืดตัว ณ จุดขาด ต่ำกว่าเอทิลีนไวนิลอะซิเตด เนื่องจากโครงสร้างของเอทิลีนไวนิลอะซิเตดมีขั้ว แต่โครงสร้างของยางธรรมชาติไม่มีขั้วทำให้เกิดเฟสขนาดใหญ่ ซึ่งมีการติดประสานระหว่างเฟสต่ำทำให้ความแข็งแรงของพอลิเมอร์ผสมต่ำลง การเติมสารหน่วงไฟอะลูมินา ส่งผลให้อัตราส่วน เอทิลีนไวนิลอะซิเตด:ยางธรรมชาติ 70:30, 50:50 และ 30:70 โดยน้ำหนัก พบว่าการยืดตัว ณ จุดขาด ลดลง ตามปริมาณสารหน่วงไฟอะลูมินาที่เพิ่มขึ้น

ค่าการยืดตัว ณ จุดขาด (Elongation at break) ของพอลิเมอร์ผสมระหว่างเอทิลีนไวนิลอะซิเตดกับยางสไตรีนบิวตาไดอีนที่มีการเติมสารหน่วงไฟอะลูมินาแสดงรายละเอียด ดังรูปที่ 4.41

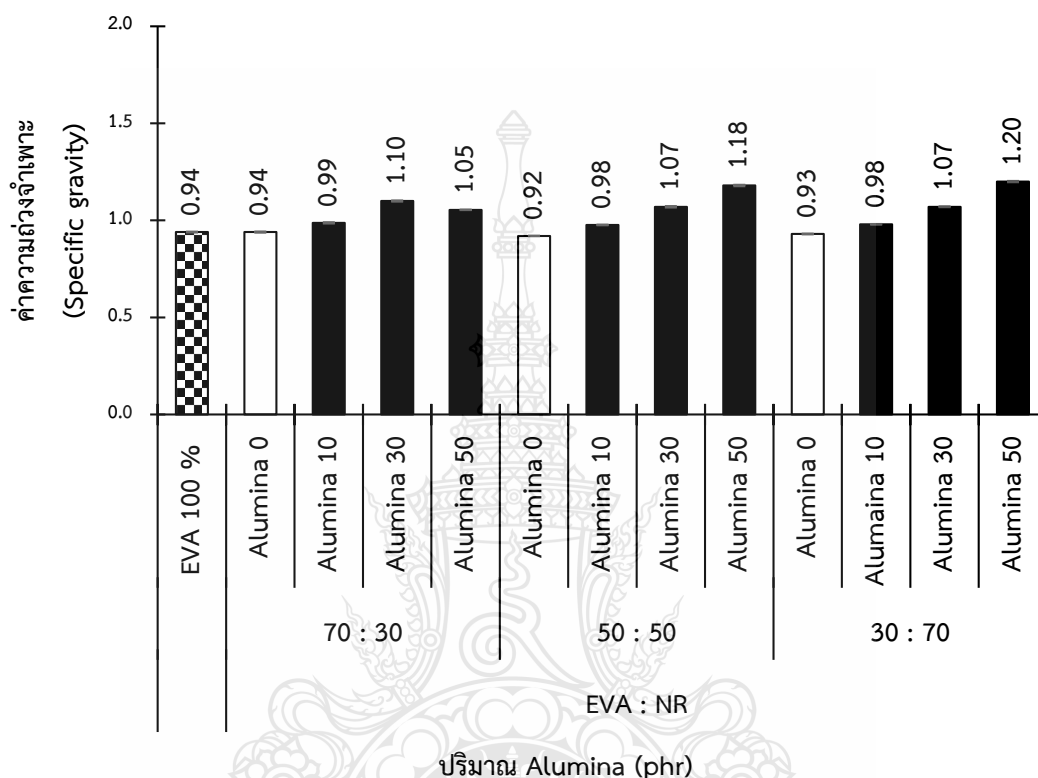


รูปที่ 4.41 กราฟแสดงค่าการยืดตัว ณ จุดขาด (Elongation at break) ของพอลิเมอร์ผสมระหว่างเอทิลีนไวนิลอะซิเตดกับยางสไตรีนบิวตาไดอีนที่มีการเติมสารหน่วงไฟอะลูมินา

จากรูปที่ 4.41 แสดงค่าการยืดตัว ณ จุดขาด ที่อัตราส่วน เอทิลีนไวนิลอะซิเตด:อิลาสโตเมอร์ 30:70, 50:50 และ 70:30 โดยน้ำหนัก ค่าการยืดตัว ณ จุดขาด ต่ำกว่าเอทิลีนไวนิลอะซิเตดที่ใช้งานในอุตสาหกรรมฉนวนกันเสียงภายในรถยนต์ เนื่องจากโครงสร้างของเอทิลีนไวนิลอะซิเตดมีขั้วและโครงสร้างของยางสไตรีนบิวตาไดอีนมีขั้วทำให้เข้ากันได้จึงส่งผลให้ค่าการยืดตัว ณ จุดขาดมีค่าเพิ่มขึ้น การเติมสารหน่วงไฟอะลูมินาลงไปส่งผลให้อัตราส่วน เอทิลีนไวนิลอะซิเตด:ยางสไตรีนบิวตาไดอีน 70:30 และ 50:50 โดยน้ำหนักมีค่าลดลง เกิดจากสารหน่วงไฟอะลูมินามีการกระจายตัวดีทั่วชิ้นงานไปขัดขวางสายโซ่โมเลกุลของพอลิเมอร์ผสมทำให้ค่าการยืดตัว ณ จุดขาด ลดลง ในอัตราส่วนเอทิลีนไวนิลอะซิเตด:ยางสไตรีนบิวตาไดอีน 30:70 การเติมอะลูมินามีผลทำให้ค่าการยืดตัว ณ จุดขาดเพิ่มขึ้น

4.3.4 ความถ่วงจำเพาะ

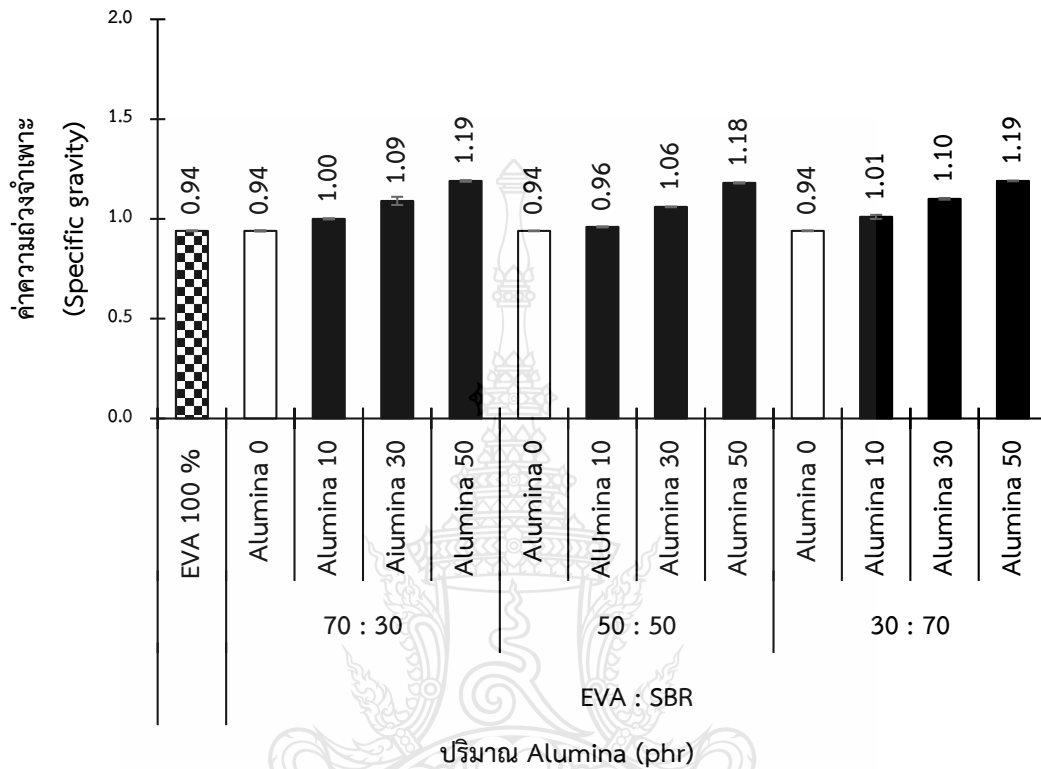
ความถ่วงจำเพาะของพอลิเมอร์ผสมระหว่างเอทิลีนไวนิลอะซิเตดกับยางธรรมชาติ โดยใช้สารหน่วงไฟอะลูมินาเป็นสารตัวเติมแสดงรายละเอียด ดังรูปที่ 4.42



รูปที่ 4.42 กราฟแสดงค่าความถ่วงจำเพาะ (Specific gravity) ของพอลิเมอร์ผสมระหว่างเอทิลีนไวนิลอะซิเตดกับยางธรรมชาติที่มีการเติมสารหน่วงไฟอะลูมินา

จากรูปที่ 4.42 แสดงผลค่าความถ่วงจำเพาะของพอลิเมอร์ผสมระหว่างเอทิลีนไวนิลอะซิเตดกับยางธรรมชาติในอัตราส่วน 70:30, 50:50 และ 30:70 โดยน้ำหนัก เปรียบเทียบกับเอทิลีนไวนิลอะซิเตดที่ใช้งานในอุตสาหกรรมฉนวนกันเสียงภายในรถยนต์ ผลการทดลองพบว่าความถ่วงจำเพาะของพอลิเมอร์ผสมมีค่าใกล้เคียงกับของเอทิลีนไวนิลอะซิเตด การเติมสารหน่วงไฟอะลูมินา 10, 30 และ 50 phr ในพอลิเมอร์ผสมระหว่างเอทิลีนไวนิลอะซิเตดกับยางธรรมชาติ มีค่าความถ่วงจำเพาะเพิ่มขึ้นเล็กน้อย เพราะสารหน่วงไฟอะลูมินามีความถ่วงจำเพาะสูงกว่าพอลิเมอร์ผสม

ความถ่วงจำเพาะของพอลิเมอร์ผสมระหว่างเอทิลีนไวนิลอะซิเตดกับยางสไตรีนบิวตาไดอีนโดยใช้สารหน่วงไฟอะลูมินาเป็นสารตัวเติมแสดงรายละเอียด ดังรูปที่ 4.43



รูปที่ 4.43 กราฟแสดงค่าความถ่วงจำเพาะ (Specific gravity) ของพอลิเมอร์ผสมระหว่างเอทิลีนไวนิลอะซิเตดกับยางสไตรีนบิวตาไดอีนที่มีการเติมสารหน่วงไฟอะลูมินา

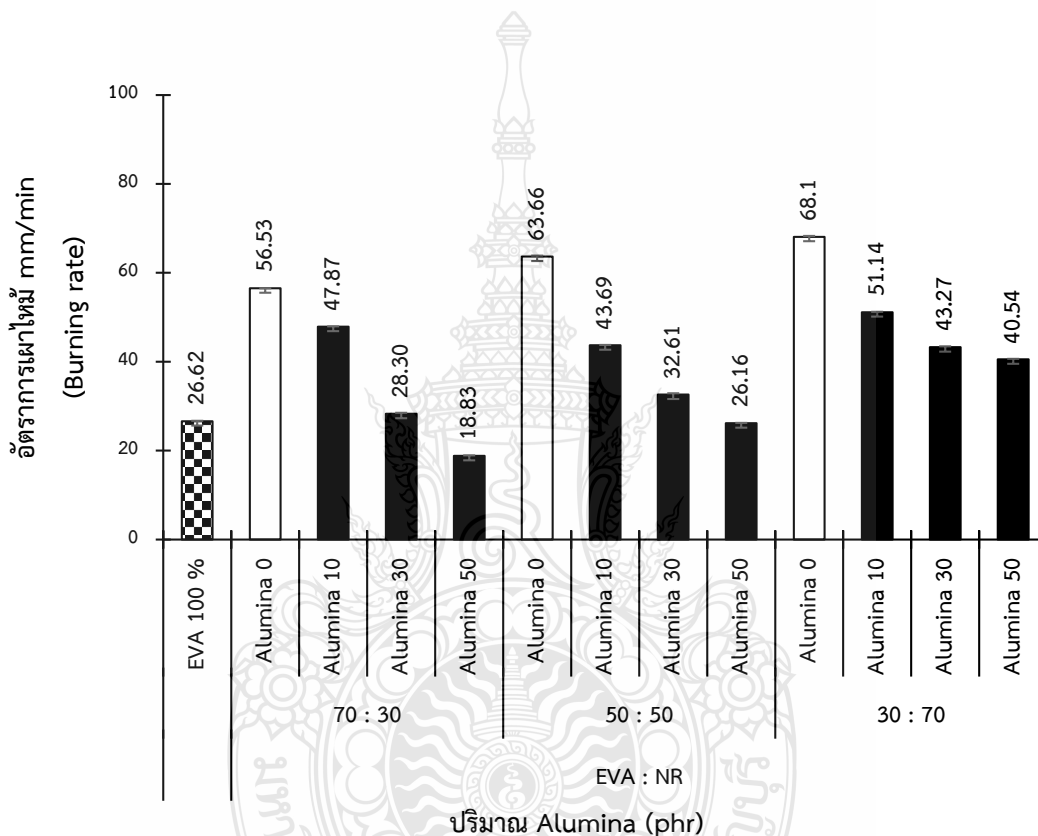
จากรูปที่ 4.43 แสดงค่าความถ่วงจำเพาะของพอลิเมอร์ผสมระหว่างเอทิลีนไวนิลอะซิเตดกับยางสไตรีนบิวตาไดอีนโดยใช้สารหน่วงไฟอะลูมินาเป็นสารตัวเติม มีผลการทดลองไปทิศทางเดียวกันกับค่าความถ่วงจำเพาะของพอลิเมอร์ผสมระหว่างเอทิลีนไวนิลอะซิเตดกับยางธรรมชาติโดยใช้สารหน่วงไฟอะลูมินาเป็นสารตัวเติม

จากรูปที่ 4.42 และ 4.43 พบว่าวัสดุอีลาสโตเมอร์ 2 ชนิด ได้แก่ ยางธรรมชาติและยางสไตรีนบิวตาไดอีน ที่นำไปผสมกับเอทิลีนไวนิลอะซิเตด มีค่าความถ่วงจำเพาะใกล้เคียงกัน การสารหน่วงไฟอะลูมินาลงไปในพอลิเมอร์ผสม มีค่าความถ่วงจำเพาะใกล้เคียงกันกับเอทิลีนไวนิลอะซิเตด เพราะสารหน่วงไฟอะลูมินามีความถ่วงจำเพาะสูงกว่าพอลิเมอร์ผสม

4.3.5 สมบัติการหน่วงการติดไฟ

การทดสอบสมบัติการติดไฟของวัสดุมาตรฐาน UL-94 ทดสอบการติดไฟและลามไฟแนวนอน (Horizontal Burning Test)

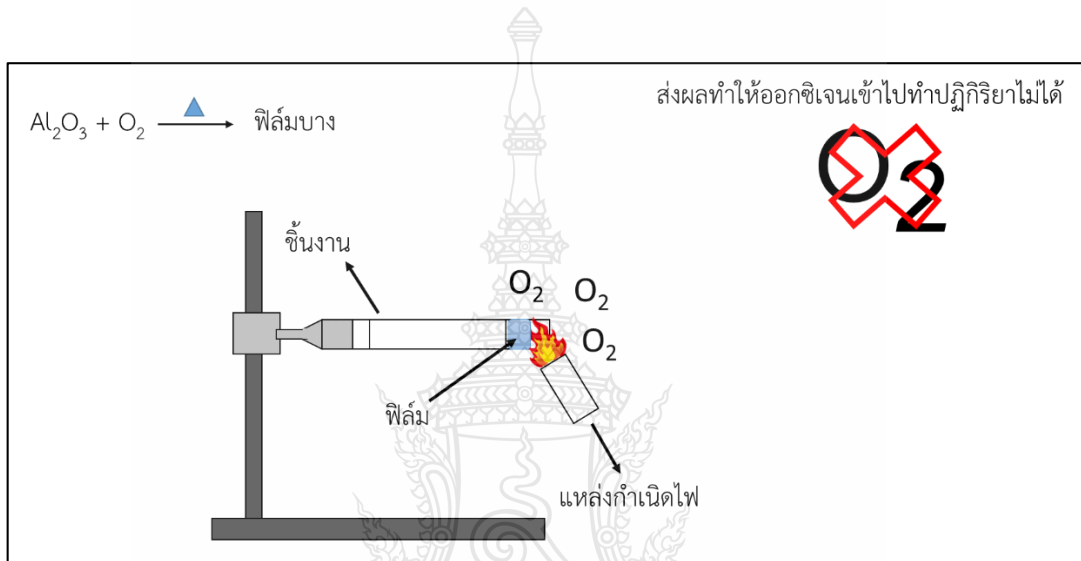
สมบัติการหน่วงการติดไฟของพอลิเมอร์ผสมระหว่างเอทิลีนไวนิลอะซิเตดกับยางธรรมชาติใช้สารหน่วงไฟอะลูมินาเป็นสารตัวเติมแสดงรายละเอียด ดังรูปที่ 4.44



รูปที่ 4.44 กราฟแสดงค่าอัตราเร็วของการเผาไหม้ (Burning Rate) ของพอลิเมอร์ผสมระหว่างเอทิลีนไวนิลอะซิเตดกับยางธรรมชาติที่มีการเติมสารหน่วงไฟอะลูมินา

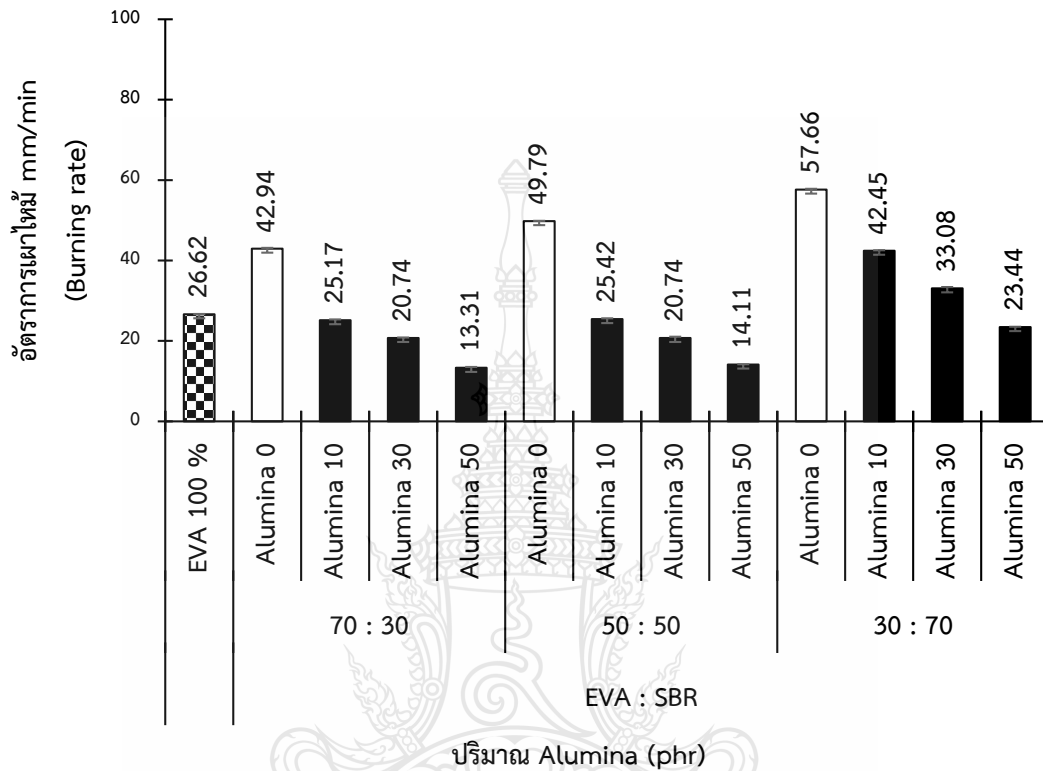
จากรูปที่ 4.44 ผลการทดสอบการหน่วงการติดไฟ ทำการทดสอบการลามไฟแนวนอนพบว่าที่อัตราส่วน เอทิลีนไวนิลอะซิเตด:ยางธรรมชาติ 70:30, 50:50 และ 30:70 โดยน้ำหนัก ผลการทดสอบพบว่าไม่ผ่านมาตรฐาน UL-94 HB เนื่องจากมีอัตราเร็วของการเผาไหม้มากกว่า 40 มิลลิเมตร/วินาที เพราะยางธรรมชาติเป็นวัสดุที่ลามไฟได้ดีกว่าเอทิลีนไวนิลอะซิเตด ทำให้พอลิเมอร์

ผลสมระหว่างยางธรรมชาติกับเอทิลีนไวนิลอะซิเตดมีอัตราเร็วของการเผาไหม้สูงขึ้นตามปริมาณของยางธรรมชาติที่เพิ่มขึ้น การเติมสารหน่วงไฟอะลูมินาที่ปริมาณ 10 พบว่าไม่ผ่านมาตรฐาน UL-94 HB แต่การเติมสารหน่วงไฟอะลูมินาที่ปริมาณ 30 และ 50 phr ในพอลิเมอร์ผสมระหว่างเอทิลีนไวนิลอะซิเตดกับยางธรรมชาติ ผ่านมาตรฐาน UL-94 HB สอดคล้องกับงานวิจัยของ [Shan Hu 2012] เพราะสารหน่วงไฟอะลูมินาเมื่อเกิดการเผาไหม้จะเกิดชั้นฟิล์มบางของออกไซด์มา ปกคลุมบริเวณผิวชิ้นงานที่เกิดการเผาไหม้ทำให้ออกซิเจนเข้ามาทำปฏิกิริยาได้ยาก ดังรูป 4.45



รูปที่ 4.45 กลไกการหน่วงการติดไฟอะลูมินา [Shan Hu 2012] [21]

สมบัติการหน่วงการติดไฟของพอลิเมอร์ผสมระหว่างเอทิลีนไวนิลอะซิเตดกับยางสไตรีนบิวตาไดอีนโดยใช้สารหน่วงไฟอะลูมินาเป็นสารตัวเติมแสดงรายละเอียด ดังรูปที่ 4.46



รูปที่ 4.46 กราฟแสดงค่าอัตราเร็วของการเผาไหม้ (Burning Rate) ของพอลิเมอร์ผสมระหว่างเอทิลีนไวนิลอะซิเตดกับยางสไตรีนบิวตาไดอีนที่มีการเติมสารหน่วงไฟอะลูมินา

จากรูปที่ 4.46 แสดงค่าอัตราเร็วของการเผาไหม้ (Burning Rate) ของพอลิเมอร์ผสมระหว่างเอทิลีนไวนิลอะซิเตดกับยางสไตรีนบิวตาไดอีนโดยใช้สารหน่วงไฟอะลูมินาเป็นสารตัวเติม ผลการทดสอบพบว่าไม่ผ่านมาตรฐาน UL-94 HB เนื่องจากมีอัตราเร็วของการเผาไหม้มากกว่า 40 มิลลิเมตร/วินาที เพราะยางสไตรีนบิวตาไดอีนเป็นวัสดุที่ลามไฟได้ดีกว่าเอทิลีนไวนิลอะซิเตด ทำให้พอลิเมอร์ผสมระหว่างยางสไตรีนบิวตาไดอีนกับเอทิลีนไวนิลอะซิเตดมีอัตราเร็วของการเผาไหม้สูงขึ้นตามปริมาณของยาง สไตรีนบิวตาไดอีนที่เพิ่มขึ้น การเติมสารหน่วงไฟอะลูมินาที่ปริมาณ 10, 30 และ 50 phr ในพอลิเมอร์ผสมระหว่างเอทิลีนไวนิลอะซิเตดกับยางสไตรีนบิวตาไดอีน ผ่านมาตรฐาน UL-94

HB เพราะสารหน่วงไฟอะลูมินาเมื่อเกิดการเผาไหม้จะเกิดชั้นฟิล์มบางของออกไซด์มาปกคลุมบริเวณผิวชิ้นงานที่เกิดการเผาไหม้ทำให้ออกซิเจนเข้ามาทำปฏิกิริยาได้ยาก ดังรูป 4.45

จากรูปที่ 4.44 และ 4.46 พบว่าวัสดุอีลาสโตเมอร์ 2 ชนิด ได้แก่ ยางธรรมชาติและยางสไตรีนบิวตาไดอีน ที่นำไปผสมกับเอทิลีนไวนิลอะซิเตด พบว่าไม่ผ่านมาตรฐาน UL-94 HB เนื่องจากมีอัตราเร็วของการเผาไหม้มากกว่า 40 มิลลิเมตร/วินาที เพราะอีลาสโตเมอร์เป็นวัสดุที่ลามไฟได้ดีกว่าเอทิลีนไวนิลอะซิเตด แต่ยางธรรมชาติลามไฟได้ดีกว่ายางสไตรีนบิวตาไดอีนทำให้ค่าอัตราการเผาไหม้ของยางธรรมชาติสูงกว่า ทำให้ไม่ผ่านมาตรฐาน UL-94 HB การเติมการเติมสารหน่วงไฟอะลูมินาที่ปริมาณ 10, 30 และ 50 phr ในพอลิเมอร์ผสมระหว่างเอทิลีนไวนิลอะซิเตดกับยางสไตรีนบิวตาไดอีนมีค่าอัตราการเผาไหม้ต่ำกว่าพอลิเมอร์ผสมระหว่างยางธรรมชาติกับเอทิลีนไวนิลอะซิเตด เพราะยางธรรมชาติเป็นวัสดุที่ลามไฟได้ดีกว่ายางสไตรีนบิวตาไดอีน

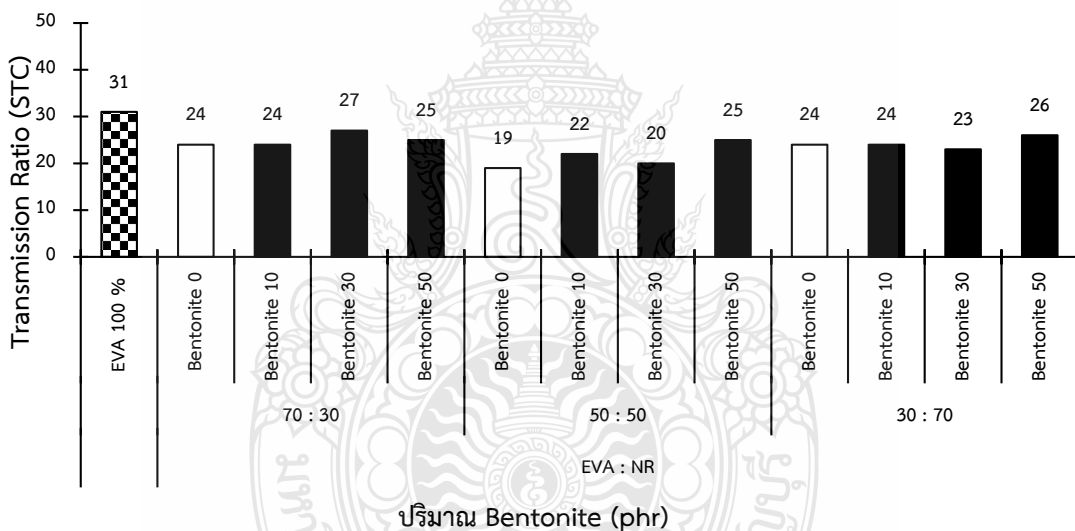


4.4 ผลของสารหน่วงไฟเบนโทไนท์ที่มีผลต่อสมบัติทางเสียงของพอลิเมอร์ผสมระหว่างเอทิลีนไวนิลอะซิเตดผสมกับวัสดุอีลาสโตเมอร์

4.4.1 สมบัติทางเสียง

ในงานวิจัยนี้ได้ศึกษาสมบัติความเป็นฉนวนกันเสียงของพอลิเมอร์ผสมระหว่างเอทิลีนไวนิลอะซิเตดกับวัสดุอีลาสโตเมอร์ โดยเน้นในการศึกษาสมบัติการกันเสียงเป็นหลัก ค่าการกันเสียงหาได้จาก ค่าระดับการส่งผ่านของเสียง (Transmission Ratio : STC)

สมบัติความเป็นฉนวนกันเสียงของพอลิเมอร์ผสมระหว่างเอทิลีนไวนิลอะซิเตดกับยางธรรมชาติ โดยใช้สารหน่วงไฟเบนโทไนท์เป็นสารตัวเติมแสดงรายละเอียด ดังรูปที่ 4.47

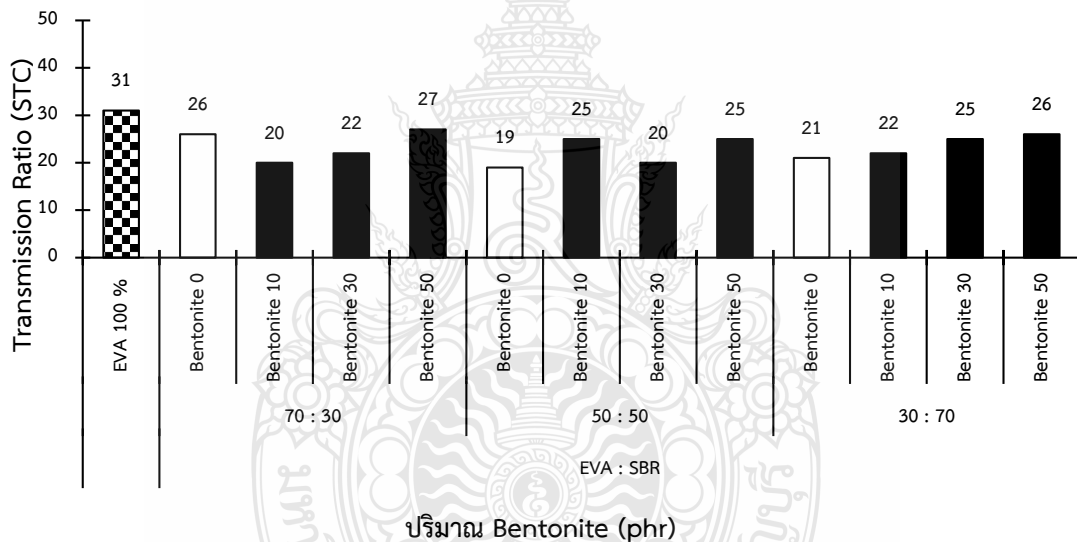


รูปที่ 4.47 กราฟแสดงค่าระดับการส่งผ่านของเสียง (STC) ของพอลิเมอร์ผสมระหว่างเอทิลีนไวนิลอะซิเตดกับยางธรรมชาติที่มีการเติมสารหน่วงไฟเบนโทไนท์

จากรูปที่ 4.47 แสดงผลการศึกษาสมบัติความเป็นฉนวนกันเสียงของพอลิเมอร์ผสมระหว่างเอทิลีนไวนิลอะซิเตดกับยางธรรมชาติ ในอัตราส่วน 70:30, 50:50 และ 30:70 โดยน้ำหนัก เปรียบเทียบกับเอทิลีนไวนิลอะซิเตดที่ใช้งานในอุตสาหกรรมฉนวนกันเสียงภายในรถยนต์ ผลการทดลองพบว่าค่าระดับการส่งผ่านของเสียงของพอลิเมอร์ผสมต่ำกว่าเอทิลีนไวนิลอะซิเตด เนื่องจากยางธรรมชาติมีความแข็งแรงน้อยกว่าเอทิลีนไวนิลอะซิเตด ทำให้ค่าความแข็งแรงลดลง ซึ่งค่าความแข็งแรงของวัสดุมี

ผลต่อค่าระดับการส่งผ่านของเสียง ส่งผลให้พอลิเมอร์ผสมมีค่าระดับการส่งผ่านของเสียงที่ลดลง การเติมสารหน่วงไฟเบนโทไนท์ที่ปริมาณ 10, 30 และ 50 phr ในพอลิเมอร์ผสมเพื่อเปรียบเทียบกับเอทิลีนไวนิลอะซิเตด พบว่าพอลิเมอร์ผสมระหว่างเอทิลีนไวนิลอะซิเตดกับยางธรรมชาติ มีค่าระดับการส่งผ่านของเสียงเพิ่มขึ้น เพราะเบนโทไนท์เป็นดินเมื่อนำไปผสมกับพอลิเมอร์ผสมทำให้เบนโทไนท์กระจายตัวเคลือบทั่วบริเวณพื้นผิวของพอลิเมอร์ผสม [คชินท์ สายอินทวงศ์] ส่งผลให้พื้นผิวของพอลิเมอร์ผสมมีความหนาแน่นเพิ่มขึ้นและจับตัวกันแน่นขึ้น ทำให้เสียงส่งผ่านไปได้ยาก ส่งผลให้ค่าระดับการส่งผ่านของเสียงเพิ่มขึ้น

สมบัติความเป็นฉนวนกันเสียงของพอลิเมอร์ผสมระหว่างเอทิลีนไวนิลอะซิเตดกับยางสไตรีนบิวตาไดอีน โดยใช้สารหน่วงไฟเบนโทไนท์เป็นสารตัวเติมแสดงรายละเอียด ดังรูปที่ 4.48



รูปที่ 4.48 กราฟแสดงค่าระดับการส่งผ่านของเสียง (STC) ของพอลิเมอร์ผสมระหว่างเอทิลีนไวนิลอะซิเตดกับยางสไตรีนบิวตาไดอีนที่มีการเติมสารหน่วงไฟเบนโทไนท์

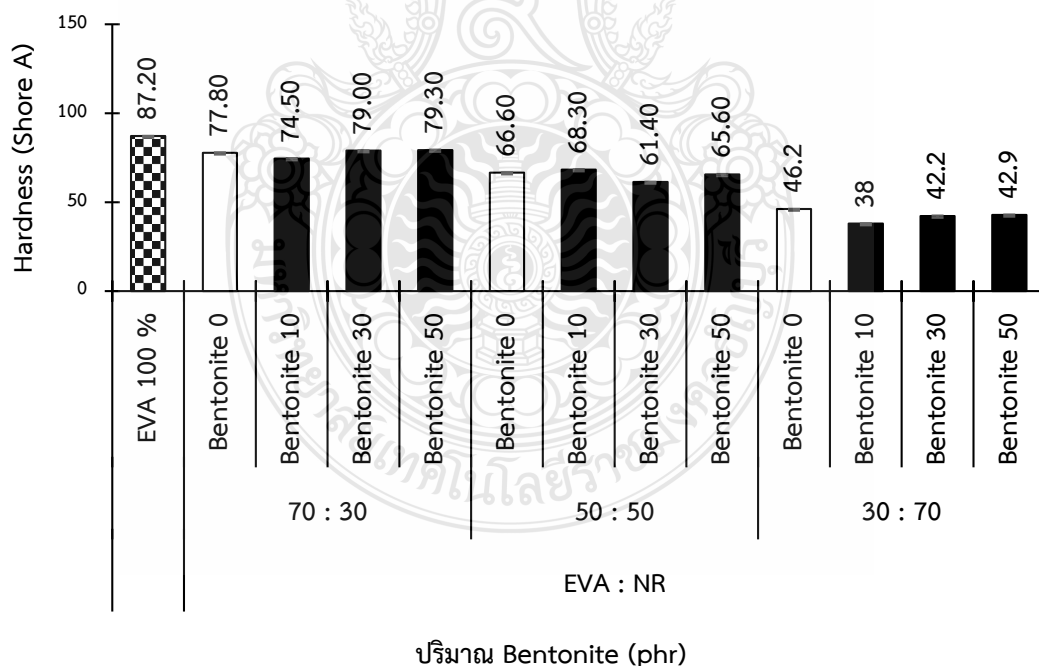
จากรูปที่ 4.48 แสดงผลการศึกษาศักยภาพสมบัติความเป็นฉนวนกันเสียงของพอลิเมอร์ผสมระหว่างเอทิลีนไวนิลอะซิเตดกับยางสไตรีนบิวตาไดอีน ในอัตราส่วน 70:30, 50:50 และ 30:70 โดยน้ำหนัก เปรียบเทียบกับเอทิลีนไวนิลอะซิเตดที่ใช้งานในอุตสาหกรรมฉนวนกันเสียงภายในรถยนต์ ผลการทดลองพบมีทิศทางเดียวกันกับ ผลการศึกษาศักยภาพสมบัติความเป็นฉนวนกันเสียงของพอลิเมอร์ผสมระหว่างเอทิลีนไวนิลอะซิเตดกับยางธรรมชาติ โดยใช้สารหน่วงไฟเบนโทไนท์เป็นสารตัวเติม

จากรูปที่ 4.47 และ 4.48 ผลการทดลองพบว่าวัสดุอีลาสโตเมอร์ 2 ชนิด ได้แก่ ยางธรรมชาติและยางสไตรีนบิวตาไดอีน ที่นำไปผสมกับเอทิลีนไวนิลอะซิเตด มีค่าระดับการส่งผ่านของเสียงใกล้เคียงกัน การเติมสารหน่วงไฟเบนโทไนท์ที่ปริมาณ 10, 30 และ 50 phr ในพอลิเมอร์ผสม มีค่าระดับการส่งผ่านของเสียงที่สูงกว่าเอทิลีนไวนิลอะซิเตด เนื่องจากเบนโทไนท์เป็นดินเมื่อนำไปผสมกับพอลิเมอร์ผสมทำให้เบนโทไนท์กระจายตัวเคลือบทั่วบริเวณพื้นผิวของพอลิเมอร์ผสม ส่งผลให้พื้นผิวของพอลิเมอร์ผสมมีความหนาแน่นและจับตัวกันแน่นขึ้น ทำให้เสียงส่งผ่านไปได้น้อย ส่งผลให้ค่าระดับการส่งผ่านของเสียงเพิ่มขึ้น

4.4.2 ความแข็ง

ค่าความแข็งสามารถวัดได้โดยนำหัวกดลงบนชิ้นทดสอบภายใต้สภาวะที่กำหนด ความลึกของการทะลุทะลวงของหัวกดจะสะท้อนถึงค่าความแข็ง

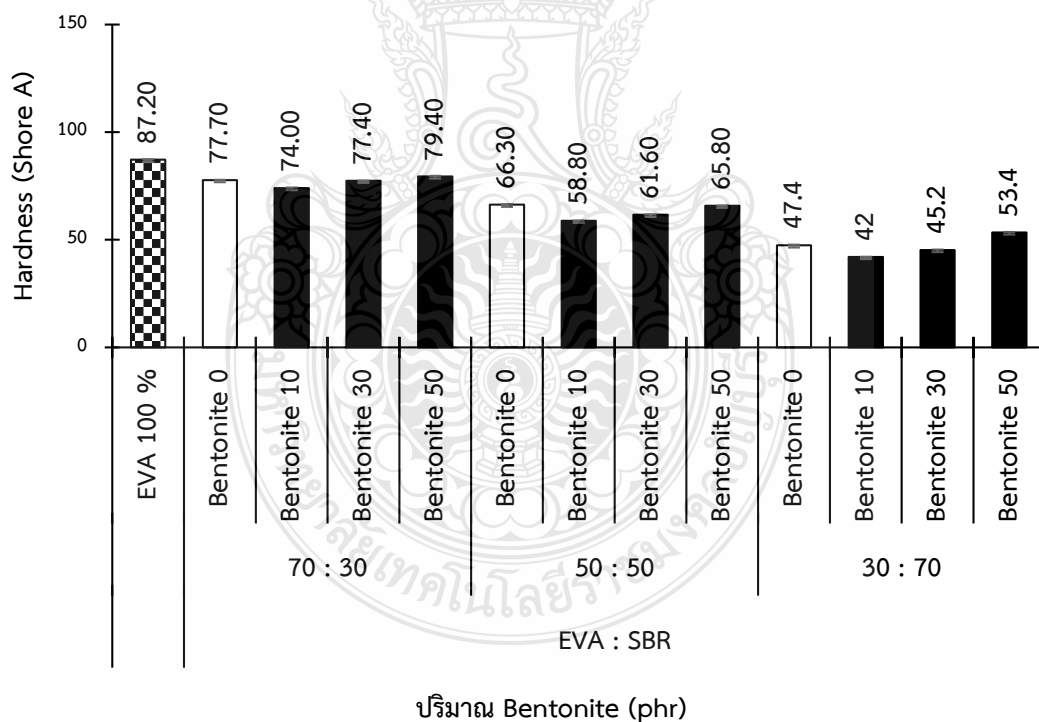
ค่าความแข็งของพอลิเมอร์ผสมระหว่างเอทิลีนไวนิลอะซิเตดกับยางธรรมชาติ โดยใช้สารหน่วงไฟเบนโทไนท์เป็นสารตัวเติมแสดงรายละเอียด ดังรูปที่ 4.49



รูปที่ 4.49 กราฟแสดงค่าความแข็ง (Hardness) ของพอลิเมอร์ผสมระหว่างเอทิลีนไวนิลอะซิเตดกับยางธรรมชาติที่มีการเติมสารหน่วงไฟเบนโทไนท์

จากรูปที่ 4.49 แสดงผลค่าความแข็งของพอลิเมอร์ผสมระหว่าง เอทิลีนไวนิลอะซิเตด กับยางธรรมชาติในอัตราส่วน 70:30, 50:50 และ 30:70 โดยน้ำหนัก เปรียบเทียบกับเอทิลีนไวนิลอะซิเตดที่ใช้งานในอุตสาหกรรมฉนวนกันเสียงภายในรถยนต์ ผลการทดลองพบว่าค่าความแข็งของพอลิเมอร์ผสมต่ำกว่าค่าความแข็งของเอทิลีนไวนิลอะซิเตด เนื่องจากยางธรรมชาติมีค่าความแข็งที่น้อยกว่าเอทิลีนไวนิลอะซิเตด การเติมยางธรรมชาติลงไปทำให้ค่าความแข็งของพอลิเมอร์ผสมลดลง การเติมสารหน่วงไฟเบนโทไนท์ที่ปริมาณ 10 30 และ 50 phr ในพอลิเมอร์ผสมเพื่อเปรียบเทียบกับเอทิลีนไวนิลอะซิเตด ผลการทดลองพบว่าสารหน่วงไฟเบนโทไนท์ไม่ส่งผลให้พอลิเมอร์ผสมมีความแข็งเพิ่มขึ้น ซึ่งสารหน่วงไฟเบนโทไนท์ไม่ใช่สารตัวเติมเสริมแรงที่เพิ่มความแข็งให้กับวัสดุพอลิเมอร์ เมื่อนำสารหน่วงไฟเบนโทไนท์มาผสมกับพอลิเมอร์ผสมจึงทำให้ค่าความแข็งไม่เพิ่มขึ้น

ค่าความแข็งของพอลิเมอร์ผสมระหว่างเอทิลีนไวนิลอะซิเตดกับยางสไตรีนบิวตาไดอีน โดยใช้สารหน่วงไฟเบนโทไนท์เป็นสารตัวเติมแสดงรายละเอียด ดังรูปที่ 4.50



รูปที่ 4.50 กราฟแสดงค่าความแข็ง (Hardness) ของพอลิเมอร์ผสมระหว่างเอทิลีนไวนิลอะซิเตดกับยางสไตรีนบิวตาไดอีนที่มีการเติมสารหน่วงไฟเบนโทไนท์

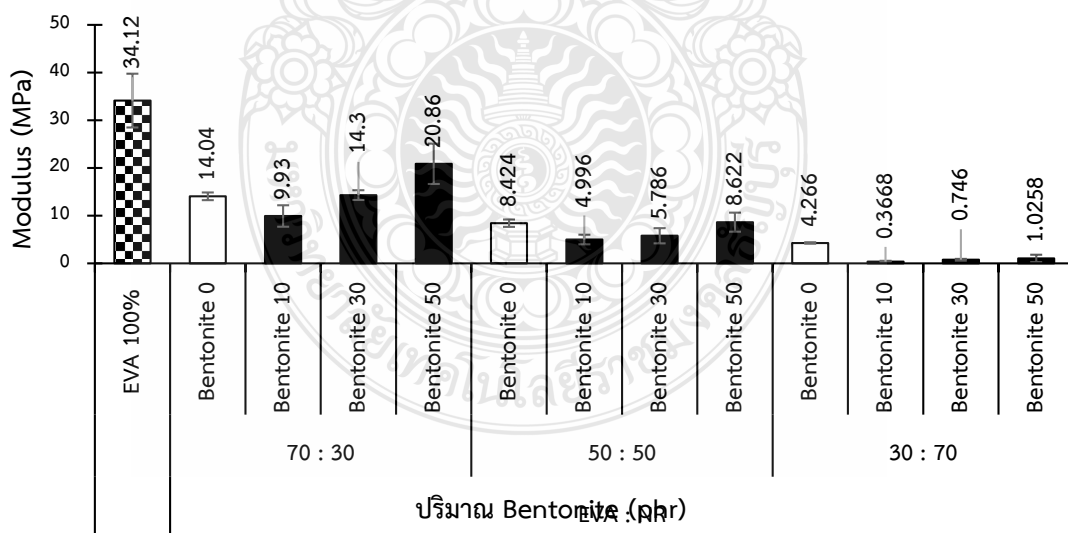
จากรูปที่ 4.50 แสดงค่าความแข็งของพอลิเมอร์ผสมระหว่างเอทิลีนไวนิลอะซิเตดกับยางสไตรีนบิวตาไดอีนโดยใช้สารหน่วงไฟเบนโทไนท์เป็นสารตัวเติม มีผลการทดลองไปทิศทางเดียวกันกับ ค่าความแข็งของพอลิเมอร์ผสมระหว่างเอทิลีนไวนิลอะซิเตดกับธรรมชาติโดยใช้สารหน่วงไฟเบนโทไนท์เป็นสารตัวเติม

จากรูปที่ 4.49 และ 4.50 พบว่าวัสดุคลาสโตเมอร์ 2 ชนิด ได้แก่ ยางธรรมชาติและยางสไตรีนบิวตาไดอีน ที่นำไปผสมกับเอทิลีนไวนิลอะซิเตด มีค่าความแข็งใกล้เคียงกัน การเติมสารหน่วงไฟเบนโทไนท์ลงไปไม่ได้ช่วยให้ค่าความแข็งของพอลิเมอร์ผสมสูงขึ้น เพราะสารหน่วงไฟเบนโทไนท์ไม่ใช่สารตัวเติมเสริมแรงที่เพิ่มความแข็งให้กับวัสดุพอลิเมอร์

4.4.3 คุณสมบัติแรงดึง

ในงานวิจัยนี้ได้ศึกษาสมบัติความเป็นฉนวนกันเสียงของพอลิเมอร์ผสมระหว่างเอทิลีนไวนิลอะซิเตดกับวัสดุคลาสโตเมอร์ ในการศึกษาสมบัติความทนต่อแรงดึง (Tensile properties) มีสมบัติ 3 ประการที่ศึกษาได้แก่ มอดุลัส (Modulus), ความทนต่อแรงดึง (Tensile strength) และ การยืดตัว ณ จุดขาด (Elongation at break)

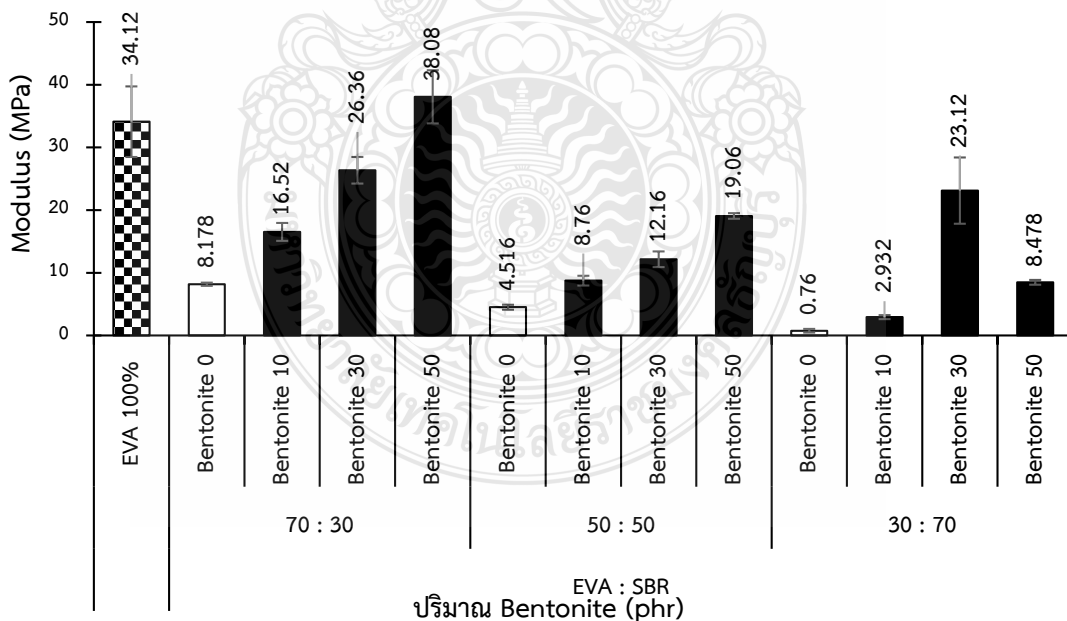
มอดุลัสของพอลิเมอร์ผสมระหว่างเอทิลีนไวนิลอะซิเตดกับยางธรรมชาติ โดยใช้สารหน่วงไฟเบนโทไนท์เป็นสารตัวเติมแสดงรายละเอียดดังรูปที่ 4.51



รูปที่ 4.51 กราฟแสดงค่ามอดุลัส (Modulus) ของพอลิเมอร์ผสมระหว่างเอทิลีนไวนิลอะซิเตดกับยางธรรมชาติที่มีการเติมสารหน่วงไฟเบนโทไนท์

จากรูปที่ 4.51 แสดงค่ามอดุลัส จากผลการทดลองสะท้อนให้เห็นความสามารถในการต้านทานการเปลี่ยนรูปร่างของพอลิเมอร์ผสมระหว่างเอทิลีนไวนิลอะซิเตดกับยางธรรมชาติในอัตราส่วน 70:30, 50:50 และ 30:70 โดยน้ำหนัก เปรียบเทียบกับเอทิลีนไวนิลอะซิเตดที่ใช้ในงานในอุตสาหกรรม ฉนวนกันเสียงภายในรถยนต์ พบว่าค่ามอดุลัสของพอลิเมอร์ผสมต่ำกว่าค่ามอดุลัสของเอทิลีนไวนิลอะซิเตด เกิดจากความไม่เข้ากันของพอลิเมอร์ผสมระหว่างเอทิลีนไวนิลอะซิเตดกับยางธรรมชาติ เนื่องจากเอทิลีนไวนิลอะซิเตดมีความเป็นขี้และยางธรรมชาติไม่มีความเป็นขี้ ทำให้เกิดการไม่เข้ากัน ดังแสดงในแบบจำลองรูปที่ 4.6 และยางธรรมชาติมีความต้านทานต่อการเปลี่ยนแปลงรูปร่างต่ำกว่าเอทิลีนไวนิลอะซิเตด เมื่อนำไปผสมกับเอทิลีนไวนิลอะซิเตดจึงทำให้พอลิเมอร์ผสมมีค่ามอดุลัสต่ำลง การเติมสารหน่วงไฟเบนโทไนท์ในพอลิเมอร์ผสมที่ปริมาณ 10, 30 และ 50 phr พบว่า มีค่ามอดุลัสเพิ่มขึ้นตามปริมาณของสารหน่วงไฟเบนโทไนท์ที่เติมลงไป ซึ่งสารหน่วงไฟเบนโทไนท์มีการกระจายตัวทั่วเนื้อของพอลิเมอร์ผสมไปขัดขวางการเคลื่อนไหวของสายโซ่โมเลกุล ทำให้โมเลกุลของสายโซ่โมเลกุลเคลื่อนไหวได้ยากขึ้น ส่งผลทำให้การเปลี่ยนแปลงรูปร่างทำได้ยากขึ้นทำให้ค่ามอดุลัสมีค่าสูงขึ้น

มอดุลัสของพอลิเมอร์ผสมระหว่างเอทิลีนไวนิลอะซิเตดกับยางสไตรีนบิวตาไดอีนโดยใช้สารหน่วงไฟเบนโทไนท์เป็นสารตัวเติมแสดงรายละเอียดดังรูปที่ 4.52

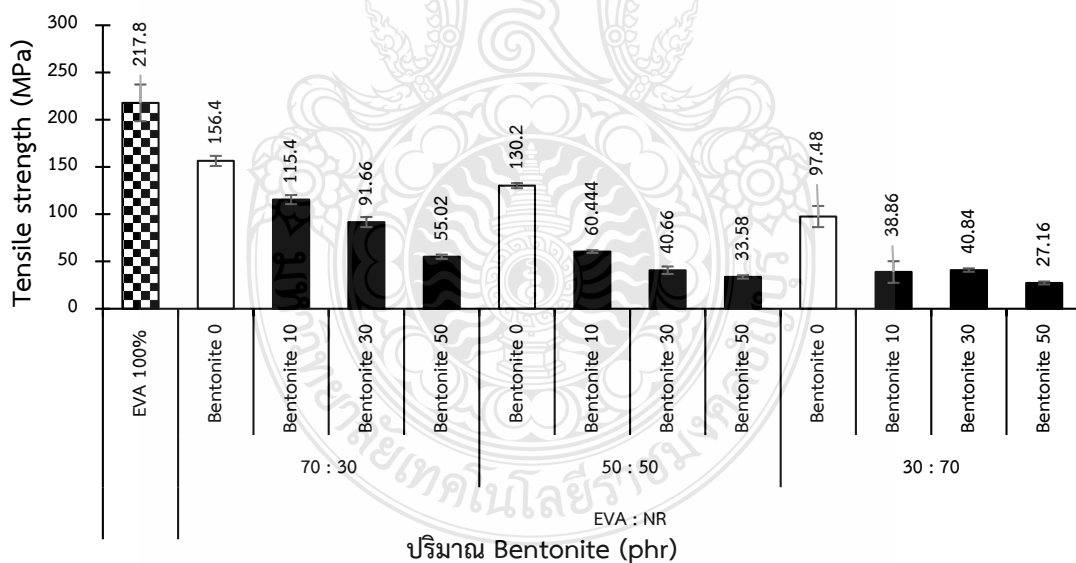


รูปที่ 4.52 กราฟแสดงค่ามอดุลัส (Modulus) ของพอลิเมอร์ผสมระหว่างเอทิลีนไวนิลอะซิเตดกับยางสไตรีนบิวตาไดอีนที่มีการเติมสารหน่วงไฟเบนโทไนท์

จากรูปที่ 4.52 ผลการทดลองค่ามอดูลัสของพอลิเมอร์ผสมระหว่างเอทิลีนไวนิลอะซิเตดผสมยางสไตรีนบิวตาไดอีนที่มีการเติมสารหน่วงไฟเบนโทไนท์ มีผลการทดลองไปทิศทางเดียวกันกับค่ามอดูลัสของพอลิเมอร์ผสมระหว่างเอทิลีนไวนิลอะซิเตดผสมธรรมชาติที่มีการเติมสารหน่วงไฟเบนโทไนท์

จากรูปที่ 4.51 และ 4.52 พบว่าค่ามอดูลัสของพอลิเมอร์ผสมระหว่างเอทิลีนไวนิลอะซิเตดกับยางธรรมชาติมีค่ามอดูลัสสูงกว่าพอลิเมอร์ผสมระหว่างเอทิลีนไวนิลอะซิเตดกับยางสไตรีนบิวตาไดอีน เนื่องจากยางธรรมชาติมีค่ามอดูลัสมากกว่ายางสไตรีนบิวตาไดอีน การเติมสารหน่วงไฟเบนโทไนท์ในพอลิเมอร์ผสมที่ปริมาณ 10, 30 และ 50 phr พบว่า มีค่ามอดูลัสเพิ่มขึ้นตามปริมาณของสารหน่วงไฟเบนโทไนท์ที่เติมลงไป เพราะสารหน่วงไฟเบนโทไนท์กระจายตัวได้ดี ทำให้ขีดขวางการเคลื่อนไหวของสายโซ่โมเลกุล จึงเคลื่อนไหวได้ยากขึ้น ส่งผลทำให้การเปลี่ยนแปลงรูปร่างทำได้ยากขึ้นทำให้ค่ามอดูลัสมีค่าสูงขึ้น

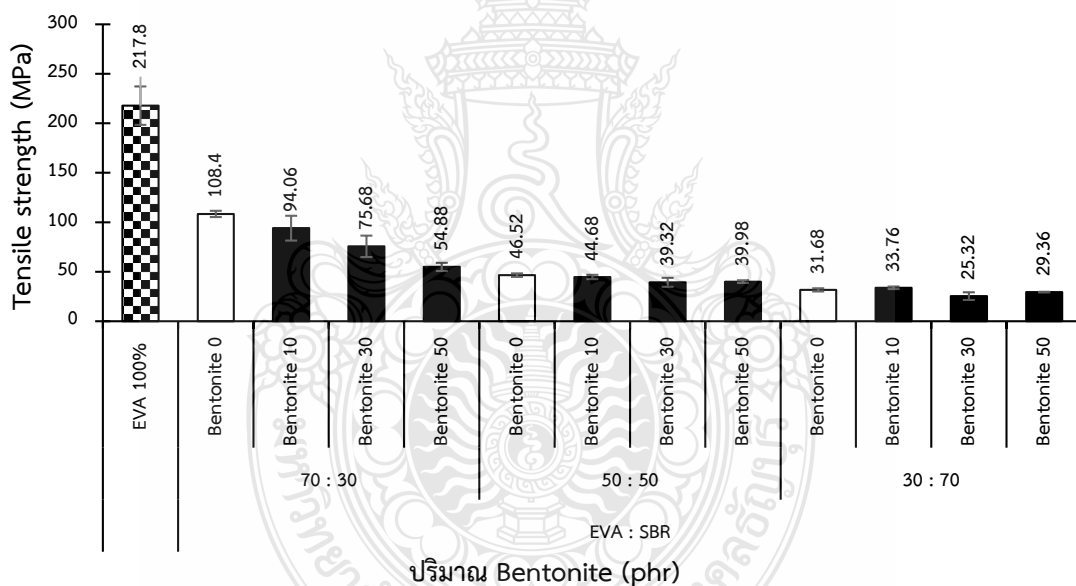
ค่าความทนต่อแรงดึงของพอลิเมอร์ผสมระหว่างเอทิลีนไวนิลอะซิเตดกับยางธรรมชาติโดยใช้สารหน่วงไฟเบนโทไนท์เป็นสารตัวเติมแสดงรายละเอียด ดังรูปที่ 4.53



รูปที่ 4.53 กราฟแสดงค่าความทนต่อแรงดึง (Tensile strength) ของพอลิเมอร์ผสมระหว่างเอทิลีนไวนิลอะซิเตดกับยางธรรมชาติที่มีการเติมสารหน่วงไฟเบนโทไนท์

จากรูปที่ 4.53 แสดงค่าความทนต่อแรงดึงของพอลิเมอร์ผสมระหว่างเอทิลีนไวนิลอะซิเตดกับยางธรรมชาติในอัตราส่วน 70:30, 50:50 และ 30:70 โดยน้ำหนัก เปรียบเทียบกับเอทิลีนไวนิลอะซิเตดที่ใช้ในงานในอุตสาหกรรมฉนวนกันเสียงภายในรถยนต์ พบว่าค่าความทนต่อแรงดึงของพอลิเมอร์ผสมต่ำกว่าค่าความทนต่อแรงดึงของเอทิลีนไวนิลอะซิเตด เพราะความเข้ากันไม่ได้ของพอลิเมอร์ผสมระหว่างเอทิลีนไวนิลอะซิเตดกับยางธรรมชาติ ทำให้ความแข็งแรงลดลง ดังแสดงในแบบจำลองรูปที่ 4.6 การเติมสารหน่วงไฟเบนโทไนท์ 10, 30 และ 50 phr มีค่าความทนต่อแรงดึงลดลงตามปริมาณของสารหน่วงไฟเบนโทไนท์ที่เติมลงไป ดังนั้นสารหน่วงไฟเบนโทไนท์ไม่ช่วยเสริมแรงให้กับพอลิเมอร์ผสมระหว่างเอทิลีนไวนิลอะซิเตดกับยางธรรมชาติ

ค่าความทนต่อแรงดึงของพอลิเมอร์ผสมระหว่างเอทิลีนไวนิลอะซิเตดกับยางสไตรีนบิวตาไดอีน โดยใช้สารหน่วงไฟเบนโทไนท์เป็นสารตัวเติมแสดงรายละเอียด ดังรูปที่ 4.54



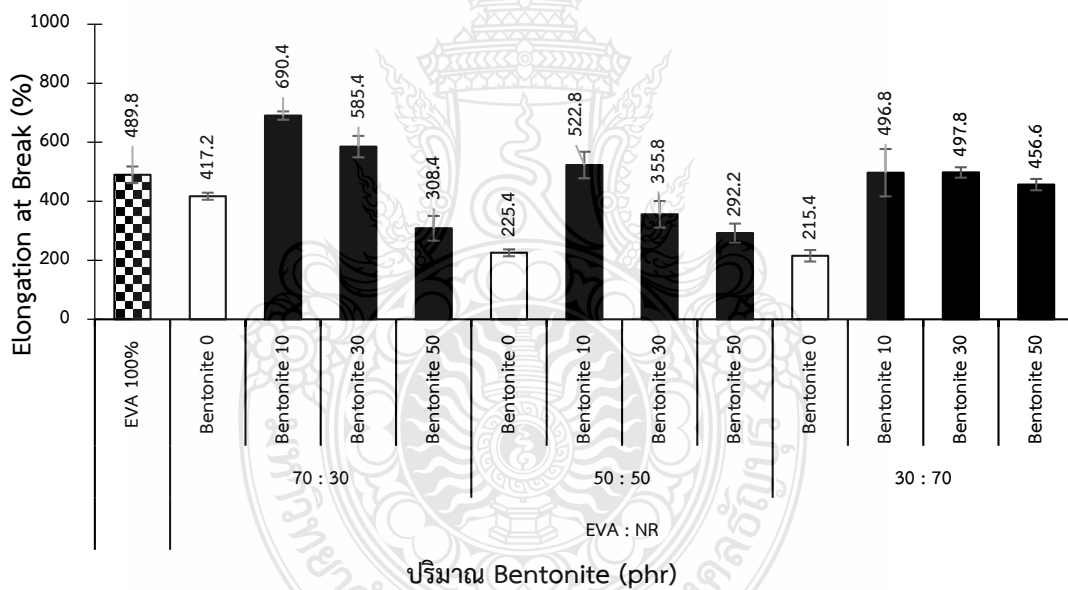
รูปที่ 4.54 กราฟแสดงค่าการทดสอบแรงดึง (Tensile strength) ของพอลิเมอร์ผสมระหว่างเอทิลีนไวนิลอะซิเตดกับยางสไตรีนบิวตาไดอีนที่มีการเติมสารหน่วงไฟเบนโทไนท์

จากรูปที่ 4.54 ผลการทดลองค่าความทนต่อแรงดึงของพอลิเมอร์ผสมระหว่างเอทิลีนไวนิลอะซิเตดผสมยางสไตรีนบิวตาไดอีนที่มีการเติมสารหน่วงไฟเบนโทไนท์ มีผลการทดลองไปทิศทาง

เดียวกันกับค่าความทนต่อแรงดึงของพอลิเมอร์ผสมระหว่างเอทิลีนไวนิลอะซิเตดผสมธรรมชาติที่มีการเติมสารหน่วงไฟเบนโทไนท์

จากรูปที่ 4.53 และ 4.54 พบว่าค่าความทนต่อแรงดึงของพอลิเมอร์ผสมระหว่างเอทิลีนไวนิลอะซิเตดกับยางธรรมชาติมีค่าความทนต่อแรงดึงสูงกว่าพอลิเมอร์ผสมระหว่างเอทิลีนไวนิลอะซิเตดกับยางสไตรีนบิวตาไดอีน เนื่องจากยางธรรมชาติมีค่าความทนต่อแรงดึงมากกว่ายางสไตรีนบิวตาไดอีน การเติมสารหน่วงไฟเบนโทไนท์ในพอลิเมอร์ผสมที่ปริมาณ 10, 30 และ 50 phr พบว่าพอลิเมอร์ผสมมีค่าความทนต่อแรงดึงลดลงตามปริมาณของสารหน่วงไฟอะลูมินาที่เติมลงไป เพราะสารหน่วงไฟเบนโทไนท์ไม่ช่วยเสริมแรงให้กับพอลิเมอร์ผสม

ค่าการยืดตัว ณ จุดขาด (Elongation at break) ของพอลิเมอร์ผสมระหว่างเอทิลีนไวนิลอะซิเตดกับยางธรรมชาติ โดยใช้เบนโทไนท์เป็นสารตัวเติมแสดงรายละเอียด ดังรูปที่ 4.55

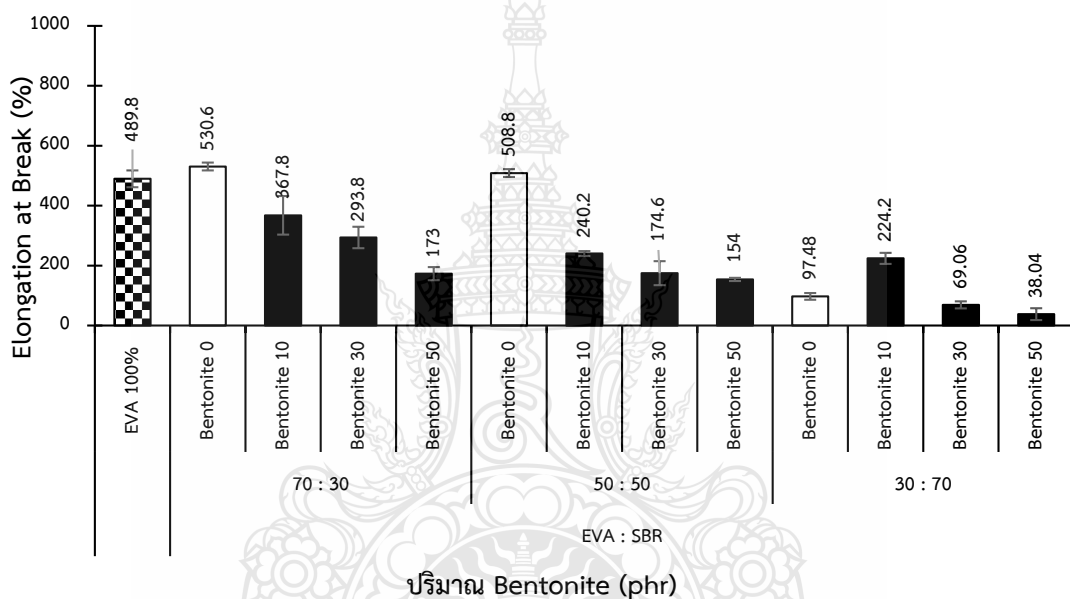


รูปที่ 4.55 กราฟแสดงค่าการยืดตัว ณ จุดขาด (Elongation at break) ของพอลิเมอร์ผสมระหว่างเอทิลีนไวนิลอะซิเตดกับยางธรรมชาติที่มีการเติมสารหน่วงไฟเบนโทไนท์

จากรูปที่ 4.55 แสดงค่าการยืดตัว ณ จุดขาด ของพอลิเมอร์ผสมระหว่างเอทิลีนไวนิลอะซิเตดกับยางธรรมชาติในอัตราส่วน 70:30, 50:50 และ 30:70 โดยน้ำหนัก เปรียบเทียบกับเอทิลีนไวนิลอะซิเตดที่ใช้งานในอุตสาหกรรมฉนวนกันเสียงภายในรถยนต์ ผลการทดลองพบว่าค่าการยืดตัว ณ

จุดขาด ของพอลิเมอร์ผสมต่ำกว่าค่าความทนต่อแรงดึงของเอทิลีนไวนิลอะซิเตด การสารหน่วงไฟเบนโทไนท์ในพอลิเมอร์ผสมที่ปริมาณ 10, 30 และ 50 phr พบว่าพอลิเมอร์ผสมระหว่างเอทิลีนไวนิลอะซิเตดกับยางธรรมชาติมีค่าการยืดตัว ณ จุดขาด ต่ำลง ตามปริมาณของสารหน่วงไฟเบนโทไนท์ที่เพิ่มขึ้น

ค่าการยืดตัว ณ จุดขาด (Elongation at break) ของพอลิเมอร์ผสมระหว่างเอทิลีนไวนิลอะซิเตดกับยางสไตรีนบิวตาไดอีน โดยใช้สารหน่วงไฟเบนโทไนท์เป็นสารตัวเติมแสดงรายละเอียด ดังรูปที่ 4.56



รูปที่ 4.56 กราฟแสดงค่าการยืดตัว ณ จุดขาด (Elongation at break) ของพอลิเมอร์ผสมระหว่างเอทิลีนไวนิลอะซิเตดกับยางสไตรีนบิวตาไดอีนที่มีการเติมสารหน่วงไฟเบนโทไนท์

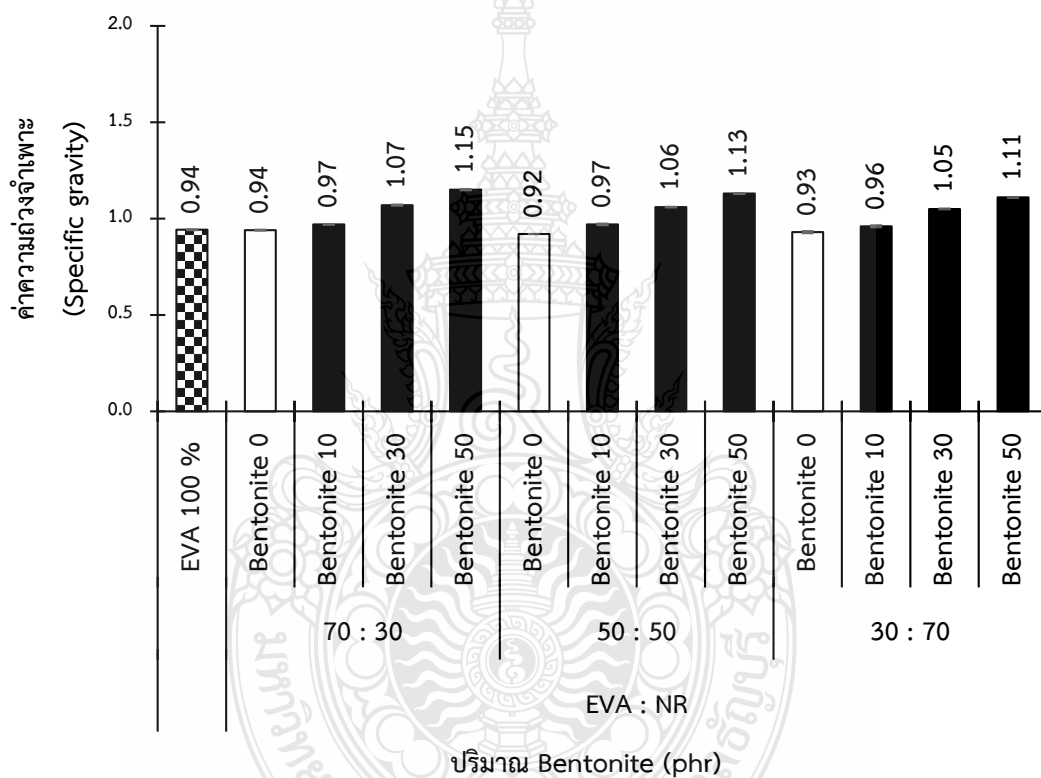
จากรูปที่ 4.56 แสดงค่าการยืดตัว ณ จุดขาด ของพอลิเมอร์ผสมระหว่างเอทิลีนไวนิลอะซิเตดกับยางสไตรีนบิวตาไดอีนโดยใช้สารหน่วงไฟเบนโทไนท์เป็นสารตัวเติม มีผลการทดลองไปทิศทางเดียวกันกับ ค่าค่าการยืดตัว ณ จุดขาด ของพอลิเมอร์ผสมระหว่างเอทิลีนไวนิลอะซิเตดกับธรรมชาติโดยใช้สารหน่วงไฟเบนโทไนท์เป็นสารตัวเติม

จากรูปที่ 4.55 และ 4.56 พบว่าวัสดุอิลาสโตเมอร์ 2 ชนิด ได้แก่ ยางธรรมชาติและยางสไตรีนบิวตาไดอีน ที่นำไปผสมกับเอทิลีนไวนิลอะซิเตด พบว่ายางธรรมชาติมีค่าการยืดตัว ณ จุดขาด สูงกว่ายางสไตรีนบิวตาไดอีน เนื่องจากยางธรรมชาติเมื่อถูกยืดสามารถเกิดผลึกได้ การเติมสาร

หน่วงไฟเบนโทไนท์ที่ปริมาณ 10, 30 และ 50 phr ลงไปในพอลิเมอร์ผสม พบว่าพอลิเมอร์ผสมระหว่างเอทิลีนไวนิลอะซิเตดกับยางธรรมชาติ มีค่าการยัดตัว ณ จุดขาด สูงกว่าพอลิเมอร์ผสมระหว่างเอทิลีนไวนิลอะซิเตดกับยางสไตรีนบิวตาไดอีน

4.4.4 ความถ่วงจำเพาะ

ความถ่วงจำเพาะของพอลิเมอร์ผสมระหว่างเอทิลีนไวนิลอะซิเตดกับยางธรรมชาติ โดยใช้สารหน่วงไฟเบนโทไนท์เป็นสารตัวเติมแสดงรายละเอียด ดังรูปที่ 4.57

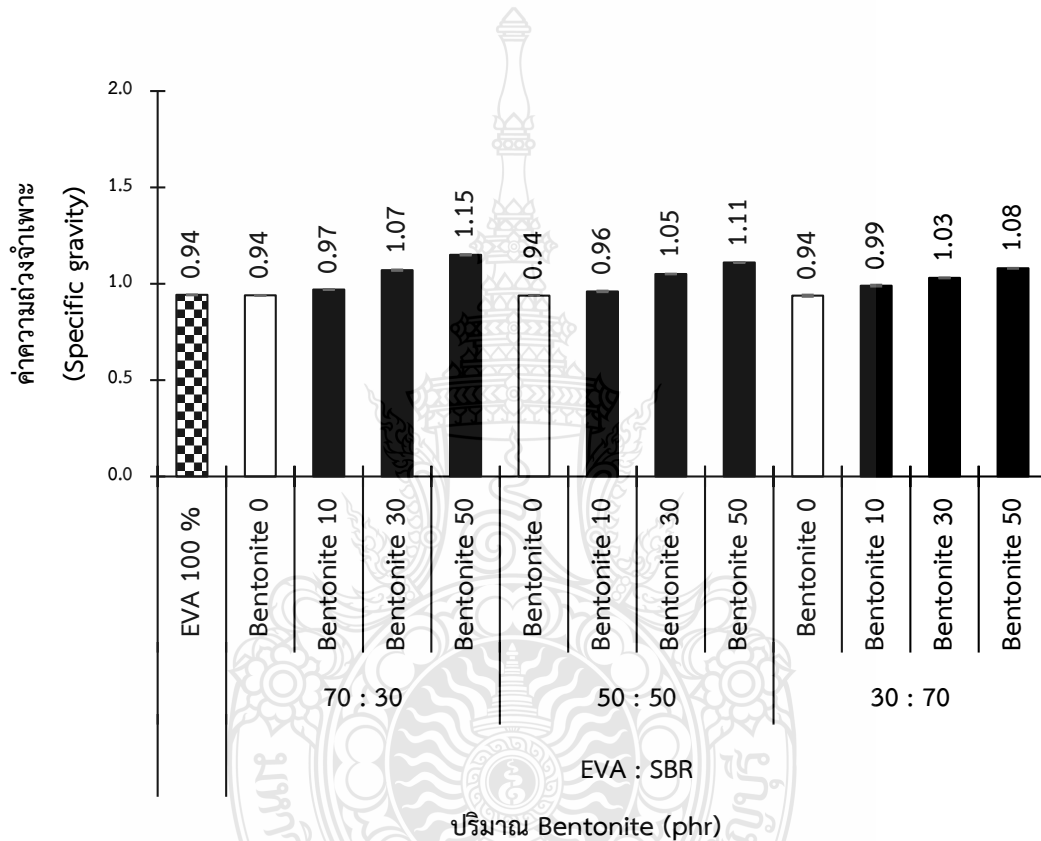


รูปที่ 4.57 กราฟแสดงค่าความถ่วงจำเพาะ (Specific gravity) ของพอลิเมอร์ผสมระหว่างเอทิลีนไวนิลอะซิเตดกับยางธรรมชาติที่มีการเติมสารหน่วงไฟเบนโทไนท์

จากรูปที่ 4.57 แสดงผลค่าความถ่วงจำเพาะของพอลิเมอร์ผสมระหว่างเอทิลีนไวนิลอะซิเตดกับยางธรรมชาติในอัตราส่วน 70:30, 50:50 และ 30:70 โดยน้ำหนัก เปรียบเทียบกับเอทิลีนไวนิลอะซิเตดที่ใช้งานในอุตสาหกรรมฉนวนกันเสียงภายในรถยนต์ ผลการทดลองพบว่าความ

ถ่วงจำเพาะของพอลิเมอร์ผสมมีค่าใกล้เคียงกับของเอทิลีนไวนิลอะซิเตด การเติมสารหน่วงไฟเบนโทไนท์ 10, 30 และ 50 phr ในพอลิเมอร์ผสมระหว่างเอทิลีนไวนิลอะซิเตดกับยางธรรมชาติ มีค่าความถ่วงจำเพาะเพิ่มขึ้นเล็กน้อย เพราะสารหน่วงไฟเบนโทไนท์มีความถ่วงจำเพาะสูงกว่าพอลิเมอร์ผสม

ความถ่วงจำเพาะของพอลิเมอร์ผสมระหว่างเอทิลีนไวนิลอะซิเตดกับยางสไตรีนบิวตาไดอีนโดยใช้สารหน่วงไฟเบนโทไนท์เป็นสารตัวเติมแสดงรายละเอียด ดังรูปที่ 4.58



รูปที่ 4.58 กราฟแสดงค่าความถ่วงจำเพาะ (Specific gravity) ของพอลิเมอร์ผสมระหว่างเอทิลีนไวนิลอะซิเตดกับยางสไตรีนบิวตาไดอีนที่มีการเติมสารหน่วงไฟเบนโทไนท์

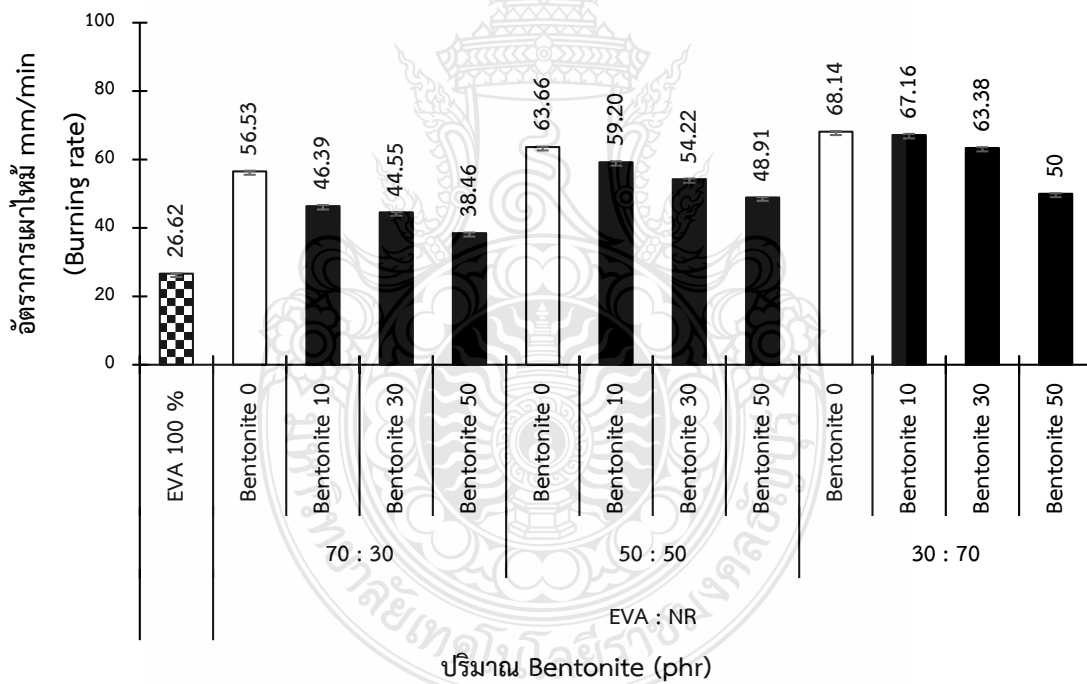
จากรูปที่ 4.58 แสดงค่าความถ่วงจำเพาะของพอลิเมอร์ผสมระหว่างเอทิลีนไวนิลอะซิเตดกับยางสไตรีนบิวตาไดอีนโดยใช้สารหน่วงไฟเบนโทไนท์เป็นสารตัวเติม มีผลการทดลองไปทิศทางเดียวกันกับค่าความถ่วงจำเพาะของพอลิเมอร์ผสมระหว่างเอทิลีนไวนิลอะซิเตดกับยางธรรมชาติโดยใช้สารหน่วงไฟเบนโทไนท์เป็นสารตัวเติม

จากรูปที่ 4.57 และ 4.58 พบว่าวัสดุอีลาสโตเมอร์ 2 ชนิด ได้แก่ ยางธรรมชาติและยางสไตรีนบิวตาไดอีน ที่นำไปผสมกับเอทิลีนไวนิลอะซิเตด มีค่าความถ่วงจำเพาะใกล้เคียงกัน การเติมสารหน่วงไฟเบนโทไนท์ลงไปในพอลิเมอร์ผสม มีค่าความถ่วงจำเพาะใกล้เคียงกันกับเอทิลีนไวนิลอะซิเตด เพราะสารหน่วงไฟเบนโทไนท์มีความถ่วงจำเพาะสูงกว่าพอลิเมอร์ผสม

4.4.5 สมบัติการหน่วงการติดไฟ

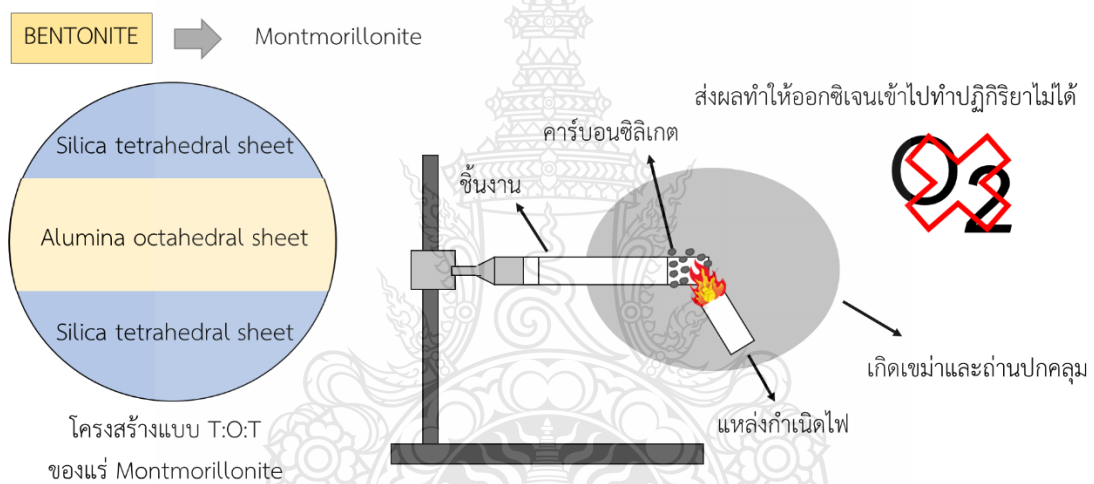
การทดสอบสมบัติการติดไฟของวัสดุมาตรฐาน UL-94 ทดสอบการติดไฟและลามไฟแนวนอน (Horizontal Burning Test)

สมบัติการหน่วงการติดไฟของพอลิเมอร์ผสมระหว่างเอทิลีนไวนิลอะซิเตดกับยางธรรมชาติโดยใช้สารหน่วงไฟเบนโทไนท์เป็นสารตัวเติมแสดงรายละเอียด ดังรูปที่ 4.59



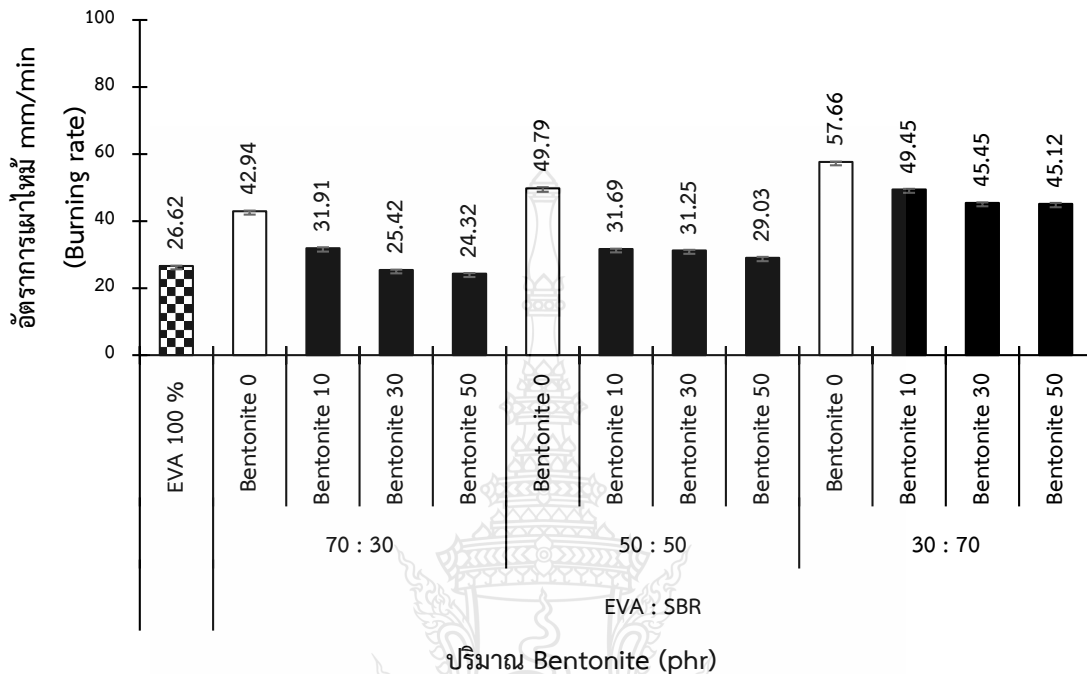
รูปที่ 4.59 กราฟแสดงค่าการทดสอบอัตราเร็วของการเผาไหม้ (Horizontal Burning Test) ของพอลิเมอร์ผสมระหว่างเอทิลีนไวนิลอะซิเตดกับยางธรรมชาติที่มีการเติมสารหน่วงไฟเบนโทไนท์

จากรูปที่ 4.59 ผลการทดสอบการหน่วงการติดไฟ ทำการทดสอบการลามไฟแนวนอนพบว่าที่อัตราส่วน เอทิลีนไวนิลอะซิเตด:ยางธรรมชาติ 70:30, 50:50 และ 30:70 โดยน้ำหนัก ผลการทดสอบพบว่าไม่ผ่านมาตรฐาน UL-94 HB เนื่องจากมีอัตราเร็วของการเผาไหม้มากกว่า 40 มิลลิเมตร/วินาที เพราะยางธรรมชาติเป็นวัสดุที่ลามไฟได้ดีกว่าเอทิลีนไวนิลอะซิเตด ทำให้พอลิเมอร์ผสมระหว่างยางธรรมชาติกับเอทิลีนไวนิลอะซิเตดมีอัตราเร็วของการเผาไหม้สูงขึ้นตามปริมาณของยางธรรมชาติที่เพิ่มขึ้น การเติมสารหน่วงไฟเบนโทไนท์ที่ปริมาณ 50 ที่อัตราส่วน เอทิลีนไวนิลอะซิเตด:ยางธรรมชาติ 70:30 พบว่าผ่านมาตรฐาน UL-94 HB สอดคล้องกับงานวิจัยของ [คชินท์ สายอินทวงศ์] [อนุชิต คำชาติ] เพราะสารหน่วงไฟเบนโทไนท์เมื่อเกิดการเผาไหม้ถ้ำถ่านของคาร์บอนซิลิเกตจะไปปกคลุมบริเวณที่เกิดการเผาไหม้ทำให้ออกซิเจนเข้ามาทำปฏิกิริยาได้ยาก ดังรูป 4.60



รูปที่ 4.60 กลไกการหน่วงการติดไฟของเบนโทไนท์ [คชินท์ สายอินทวงศ์] [อนุชิต คำชาติ] [12] [15]

สมบัติการหน่วงการติดไฟของพอลิเมอร์ผสมระหว่างเอทิลีนไวนิลอะซิเตดกับยางสไตรีนบิวตาไดอีนโดยใช้สารหน่วงไฟเบนโทไนท์เป็นสารตัวเติมแสดงรายละเอียด ดังรูปที่ 4.61



รูปที่ 4.61 กราฟแสดงค่าการทดสอบอัตราเร็วของการเผาไหม้ (Horizontal Burning Test) ของพอลิเมอร์ผสมระหว่างเอทิลีนไวนิลอะซิเตดกับยางสไตรีนบิวตาไดอีนที่มีการเติมสารหน่วงไฟเบนโทไนท์

จากรูปที่ 4.61 ผลการทดสอบการหน่วงการติดไฟ ทำการทดสอบการลามไฟแนวนอนพบว่าที่อัตราส่วน เอทิลีนไวนิลอะซิเตด:ยางธรรมชาติ 70:30, 50:50 และ 30:70 โดยน้ำหนัก ผลการทดสอบพบว่าไม่ผ่านมาตรฐาน UL-94 HB เนื่องจากมีอัตราเร็วของการเผาไหม้มากกว่า 40 มิลลิเมตร/วินาที เพราะยางสไตรีนบิวตาไดอีนเป็นวัสดุที่ลามไฟได้ดีกว่าเอทิลีนไวนิลอะซิเตด ทำให้พอลิเมอร์ผสมระหว่างยางสไตรีนบิวตาไดอีนกับเอทิลีนไวนิลอะซิเตดมีอัตราเร็วของการเผาไหม้สูงขึ้นตามปริมาณของยางสไตรีนบิวตาไดอีนที่เพิ่มขึ้น การเติมสารหน่วงไฟเบนโทไนท์ที่ปริมาณ 10, 30 และ 50 phr ที่อัตราส่วน เอทิลีนไวนิลอะซิเตด:ยางสไตรีนบิวตาไดอีน 70:30 และ 50:50 พบว่าผ่านมาตรฐาน UL-94 HB เพราะสารหน่วงไฟเบนโทไนท์เมื่อเกิดการเผาไหม้แก่ถ่านของคาร์บอนซิลิเกตจะไปปกคลุมบริเวณที่เกิดการเผาไหม้ทำให้ออกซิเจนเข้ามาทำปฏิกิริยาได้ยาก ดังรูป 4.58 แต่การเติมสารหน่วงไฟ

เบนโทไนท์ที่ปริมาณ 10 30 และ 50 phr ที่อัตราส่วน เอทิลีนไวนิลอะซิเตด:ยางสไตรีนบิวตาไดอีน 30:70 ไม่ผ่านมาตรฐาน UL-94 HB เพราะปริมาณของยางสไตรีนบิวตาไดอีนที่เพิ่มขึ้น

จากรูปที่ 4.59 และ 4.61 พบว่าวัสดุอีลาสโตเมอร์ 2 ชนิด ได้แก่ ยางธรรมชาติและยางสไตรีนบิวตาไดอีน ที่นำไปผสมกับเอทิลีนไวนิลอะซิเตด เพราะอีลาสโตเมอร์เป็นวัสดุที่ลามไฟได้ดีกว่าเอทิลีนไวนิลอะซิเตด แต่ยางธรรมชาติลามไฟได้ดีกว่ายางสไตรีนบิวตาไดอีนทำให้ค่าอัตราการเผาไหม้ของยางธรรมชาติสูงกว่า ทำให้ไม่ผ่านมาตรฐาน UL-94 HB การเติมสารหน่วงไฟเบนโทไนท์ที่ปริมาณ 10, 30 และ 50 phr ในพอลิเมอร์ผสมระหว่างเอทิลีนไวนิลอะซิเตดกับยางสไตรีนบิวตาไดอีน มีค่าอัตราการเผาไหม้ต่ำกว่าพอลิเมอร์ผสมระหว่างยางธรรมชาติกับเอทิลีนไวนิลอะซิเตด เพราะยางธรรมชาติเป็นวัสดุที่ลามไฟได้ดีกว่ายางสไตรีนบิวตาไดอีน โดยการเติมสารหน่วงไฟเบนโทไนท์ที่ปริมาณ 10, 30 และ 50 phr ที่อัตราส่วนเอทิลีนไวนิลอะซิเตด:ยางสไตรีนบิวตาไดอีน 70:30 และ 50:50 พบว่าผ่านมาตรฐาน UL-94 HB เช่นเดียวกับการเติมสารหน่วงไฟเบนโทไนท์ที่ปริมาณ 50 ที่อัตราส่วนเอทิลีนไวนิลอะซิเตด:ยางธรรมชาติ 70:30



บทที่ 5

สรุปผลการวิจัย และข้อเสนอแนะ

5.1 สรุปผลการทดลอง

งานวิจัยนี้มีวัตถุประสงค์เพื่อพัฒนาสมบัติความเป็นฉนวนกันเสียงและสมบัติการหน่วงการติดไฟของเอทิลีนไวนิลอะซิเตดที่ใช้งานในอุตสาหกรรมรถยนต์ โดยในงานวิจัยนี้ นำเอทิลีนไวนิลอะซิเตดมาผสมกับอิลาสโตเมอร์ 2 ชนิด ได้แก่ ยางธรรมชาติและยางสไตรีนบิวตาไดอีน ที่อัตราส่วน เอทิลีนไวนิลอะซิเตด:อิลาสโตเมอร์ 30:70, 50:50 และ 70:30 โดยน้ำหนัก โดยใช้ซิลิกาที่ปริมาณ 10, 20 และ 30 phr และใยมะพร้าวยาว 3 มิลลิเมตรที่ปริมาณ 5, 10 และ 15 phr เพื่อเป็นสารเติมแต่งสำหรับปรับปรุงสมบัติความเป็นฉนวนกันเสียงของพอลิเมอร์ผสม และใช้อะลูมินาและเบนโทไนด์ที่ปริมาณ 10 30 และ 50 phr เพื่อเป็นสารเติมแต่งในการปรับปรุงสมบัติการหน่วงการติดไฟของพอลิเมอร์ผสม อันได้แก่ ระดับการส่งผ่านของเสียง ความแข็ง Tensile properties ความถ่วงจำเพาะ และการหน่วงไฟ

ในงานวิจัยนี้จะแบ่งขั้นตอนการดำเนินงานออกเป็น 3 ส่วน ได้แก่

1. ศึกษาผลของซิลิกาที่มีผลต่อสมบัติทางเสียงของพอลิเมอร์ผสมระหว่างเอทิลีนไวนิลอะซิเตดกับวัสดุอิลาสโตเมอร์
2. ศึกษาผลของใยธรรมชาติที่มีผลต่อสมบัติทางเสียงของพอลิเมอร์ผสมระหว่างเอทิลีนไวนิลอะซิเตดกับวัสดุอิลาสโตเมอร์
3. ศึกษาผลของสารหน่วงไฟที่มีผลต่อสมบัติทางเสียงของพอลิเมอร์ผสมระหว่างเอทิลีนไวนิลอะซิเตดผสมกับวัสดุอิลาสโตเมอร์

ผลการดำเนินงานและวิเคราะห์ผล สามารถสรุปผลการวิจัย ดังต่อไปนี้

5.1.1 ผลของซิลิกาที่มีผลต่อสมบัติทางเสียงของพอลิเมอร์ผสมระหว่างเอทิลีนไวนิลอะซิเตดกับวัสดุอิลาสโตเมอร์

5.1.1.1 สมบัติทางเสียง

การทดสอบระดับการส่งผ่านของเสียง พบว่าวัสดุอิลาสโตเมอร์ 2 ชนิด ได้แก่ ยางธรรมชาติและยางสไตรีนบิวตาไดอีน ที่นำไปผสมกับเอทิลีนไวนิลอะซิเตด มีค่าระดับการส่งผ่านของเสียงลดลง เพราะยางธรรมชาติมีค่าความแข็งน้อยกว่าเอทิลีนไวนิลอะซิเตด การเติมซิลิกาที่ปริมาณ 10, 20 และ 30 phr ในพอลิเมอร์ผสม มีค่าระดับการส่งผ่านของเสียงที่สูงกว่าเอทิลีนไวนิลอะซิเตด แต่เมื่อปริมาณยางเพิ่มขึ้นมีค่าระดับการส่งผ่านของเสียงจะลดลง เนื่องจากยางมีความแข็งน้อยกว่าเอทิลีนไวนิลอะซิเตด ดังนั้นการเติมซิลิกาในพอลิเมอร์ผสมช่วยให้ค่าระดับการส่งผ่านของเสียงสูงขึ้น โดย

เอทิลีนไวนิลอะซิเตด:ยางธรรมชาติ 70:30 ที่มีการเติมซิลิกา 20 phr มีค่าระดับการส่งผ่านของเสียงใกล้เคียงเอทิลีนไวนิลอะซิเตด แต่เอทิลีนไวนิลอะซิเตด:ยางสไตรีนบิวตาไดอีน:ซิลิกา 70:30 ต้องใช้ซิลิกา 30 phr ถึงจะมีค่าการกันเสียงใกล้เคียงกับเอทิลีนไวนิลอะซิเตด

5.1.1.2 ความแข็ง

การทดสอบค่าความแข็ง วัสดุอีลาสโตเมอร์ 2 ชนิด ได้แก่ ยางธรรมชาติและยางสไตรีนบิวตาไดอีน ที่นำไปผสมกับเอทิลีนไวนิลอะซิเตด มีค่าความแข็งลดลง เพราะวัสดุอีลาสโตเมอร์มีค่าความแข็งที่น้อยกว่าเอทิลีนไวนิลอะซิเตด การเติมซิลิกา 30 phr ลงไปในพอลิเมอร์ผสมระหว่างเอทิลีนไวนิลอะซิเตดกับวัสดุอีลาสโตเมอร์ 70:30 มีค่าความแข็งใกล้เคียงกับค่าความแข็งของเอทิลีนไวนิลอะซิเตด เพราะซิลิกาเป็นสารตัวเติมเสริมแรงที่เพิ่มความแข็งแรง

5.1.1.3 คุณสมบัติแรงดึง

การทดสอบค่ามอดูลัส พบว่าค่ามอดูลัสของพอลิเมอร์ผสมระหว่างเอทิลีนไวนิลอะซิเตดกับยางธรรมชาติมีค่ามอดูลัสสูงกว่าพอลิเมอร์ผสมระหว่างเอทิลีนไวนิลอะซิเตดกับยางสไตรีนบิวตาไดอีน เนื่องจากยางธรรมชาติมีค่ามอดูลัสมากกว่ายางสไตรีนบิวตาไดอีน การเติมซิลิกาในพอลิเมอร์ผสมระหว่างเอทิลีนไวนิลอะซิเตดกับยางธรรมชาติ ในอัตราส่วน 50:50 และ 30:70 มีค่ามอดูลัสที่ต่ำกว่า เพราะยางธรรมชาติไม่มีความเป็นขั้วและซิลิกามีความเป็นขั้วมากกว่า ทำให้ความเข้ากันได้ของยางธรรมชาติและซิลิกาน้อย ไม่เกิดแรงอันตรกิริยาระหว่างกัน ส่งผลให้ค่ามอดูลัสต่ำกว่าพอลิเมอร์ผสมระหว่างเอทิลีนไวนิลอะซิเตดกับยางสไตรีนบิวตาไดอีน ในอัตราส่วน 50:50 และ 30:70 มีค่ามอดูลัสสูงขึ้นตามปริมาณซิลิกาที่เพิ่มขึ้น เพราะยางสไตรีนบิวตาไดอีนมีความเป็นขั้วต่ำๆ และซิลิกามีความเป็นขั้ว ทำให้ยางสไตรีนบิวตาไดอีนและซิลิกาเกิดแรงอันตรกิริยาระหว่างกันได้ดีกว่ายางธรรมชาติ จึงทำให้ซิลิกามีการกระจายตัวในพอลิเมอร์ผสมระหว่างเอทิลีนไวนิลอะซิเตดผสมยางสไตรีนบิวตาไดอีนได้ดีกว่าพอลิเมอร์ผสมระหว่างเอทิลีนไวนิลอะซิเตดผสมยางธรรมชาติ ส่งผลให้ค่ามอดูลัสมีค่าสูงขึ้น จึงส่งผลให้ซิลิกามีประสิทธิภาพเสริมแรงให้กับเอทิลีนไวนิลอะซิเตดผสมยางสไตรีนบิวตาไดอีน

การทดสอบความทนต่อแรงดึง พบว่าวัสดุอีลาสโตเมอร์ 2 ชนิด ได้แก่ ยางธรรมชาติและยางสไตรีนบิวตาไดอีน ที่นำไปผสมกับเอทิลีนไวนิลอะซิเตด พบว่ายางธรรมชาติมีค่าความทนต่อแรงดึงสูงกว่ายางสไตรีนบิวตาไดอีน เนื่องจากยางธรรมชาติเมื่อถูกยืดสามารถเกิดผลึกได้ แต่ยางสไตรีนบิวตาไดอีนไม่สามารถเกิดการตกผลึกได้เมื่อถูกยืดจึงส่งผลให้ค่าความทนต่อแรงดึงของยางสไตรีนบิวตาไดอีนต่ำกว่าค่าความทนต่อแรงดึงของยางธรรมชาติ การเติมซิลิกาในพอลิเมอร์ผสมที่ปริมาณ 10, 20 และ 30 phr ทำให้ความทนต่อแรงดึงของพอลิเมอร์ผสมของเอทิลีนไวนิลอะซิเตดกับยางสไตรีนบิวตาไดอีนเพิ่มขึ้น แต่พอลิเมอร์ผสมระหว่างเอทิลีนไวนิลอะซิเตดกับยางธรรมชาติลดลง เพราะซิลิกามีความเป็นขั้วและยางสไตรีนบิวตาไดอีนมีความเป็นขั้วต่ำๆ จึงส่งผลให้ซิลิกาเกิดอันตรกิริยาการเข้ากันได้

กับยางสไตรีนบิวตาไดอีนได้ดีกว่ายางธรรมชาติที่ไม่มีซัลเฟอร์ และซิลิกาเข้าไปขัดขวางการเคลื่อนไหวของสายโซ่โมเลกุลของพอลิเมอร์ผสมของเอทิลีนไวไนลอะซิเตดกับยางธรรมชาติทำให้สายโซ่โมเลกุลเคลื่อนไหวได้ยากขึ้น ส่งผลให้เกิดการตกผลึกได้ยาก จึงทำให้ซิลิกาไม่เสริมแรงในพอลิเมอร์ผสมของเอทิลีนไวไนลอะซิเตดกับยางธรรมชาติ แต่ซิลิกาช่วยเสริมแรงให้กับพอลิเมอร์ผสมของเอทิลีนไวไนลอะซิเตดกับยางสไตรีนบิวตาไดอีน

การทดสอบค่าการยืดตัว ณ จุดขาด พบว่าวัสดุอีลาสโตเมอร์ 2 ชนิด ได้แก่ ยางธรรมชาติและยางสไตรีนบิวตาไดอีน ที่นำไปผสมกับเอทิลีนไวไนลอะซิเตด พบว่ายางธรรมชาติมีค่าการยืดตัว ณ จุดขาด สูงกว่ายางสไตรีนบิวตาไดอีน เนื่องจากยางธรรมชาติเมื่อถูกยืดสามารถเกิดผลึกได้ การเติมซิลิกาที่ปริมาณ 10, 20 และ 30 phr ลงไปในพอลิเมอร์ผสม พบว่ายางสไตรีนบิวตาไดอีนมีค่าการยืดตัว ณ จุดขาด สูงกว่ายางธรรมชาติ เพราะซิลิกามีความเป็นขี้และยางสไตรีนบิวตาไดอีนมีความเป็นขี้ต่ำๆ จึงส่งผลให้ซิลิกาเกิดการเข้ากันได้กับยางสไตรีนบิวตาไดอีนได้ดีกว่ายางธรรมชาติที่ไม่มีซัลเฟอร์ โดยซิลิกาในพอลิเมอร์ผสมระหว่างเอทิลีนไวไนลอะซิเตดกับยางสไตรีนบิวตาไดอีน มีการกระจายตัวที่ดี ทำให้เข้าไปขัดขวางการเคลื่อนไหวของสายโซ่โมเลกุลของพอลิเมอร์ผสม ทำให้สายโซ่โมเลกุลเคลื่อนไหวได้ยากขึ้น ส่งผลให้ค่าการยืดตัว ณ จุดขาด ต่ำลง

5.1.1.4 ความถ่วงจำเพาะ

การทดสอบค่าความถ่วงจำเพาะ พบว่าวัสดุอีลาสโตเมอร์ 2 ชนิด ได้แก่ ยางธรรมชาติและยางสไตรีนบิวตาไดอีน ที่นำไปผสมกับเอทิลีนไวไนลอะซิเตด มีค่าความถ่วงจำเพาะใกล้เคียงกัน การเติมซิลิกาเข้าไปในพอลิเมอร์ผสม มีค่าความถ่วงจำเพาะใกล้เคียงกันกับเอทิลีนไวไนลอะซิเตด เพราะซิลิกามีความถ่วงจำเพาะสูงกว่าพอลิเมอร์ผสม

5.1.1.5 สมบัติการหน่วงไฟ

อัตราเร็วของการเผาไหม้ พบว่าวัสดุอีลาสโตเมอร์ 2 ชนิด ได้แก่ ยางธรรมชาติและยางสไตรีนบิวตาไดอีน ที่นำไปผสมกับเอทิลีนไวไนลอะซิเตด ผลการทดสอบพบว่าไม่ผ่านมาตรฐาน UL-94 HB แต่การเติมซิลิกาที่ปริมาณ 10, 20 และ 30 phr ในพอลิเมอร์ผสมระหว่างเอทิลีนไวไนลอะซิเตดกับวัสดุอีลาสโตเมอร์ผ่านมาตรฐาน UL-94 HB โดยพอลิเมอร์ผสมระหว่างเอทิลีนไวไนลอะซิเตดกับยางสไตรีนบิวตาไดอีนมีอัตราการเผาไหม้ต่ำที่สุด เมื่อเปรียบเทียบกับเอทิลีนไวไนลอะซิเตด เพราะซิลิกามีการกระจายตัวทั่วชิ้นงาน เนื่องจากความเข้ากันได้ของยางสไตรีนบิวตาไดอีนที่มีซัลเฟอร์ต่ำๆ กับซิลิกาที่มีซัลเฟอร์ แต่พอลิเมอร์ผสมระหว่างเอทิลีนไวไนลอะซิเตดกับยางธรรมชาติมีการกระจายตัวไม่ทั่วชิ้นงาน เกิดการเกาะกลุ่มกัน เพราะความเข้ากันได้ไม่ได้ของยางธรรมชาติที่ไม่มีซัลเฟอร์กับซิลิกาที่มีซัลเฟอร์

5.1.2 ผลของใยธรรมชาติที่มีผลต่อสมบัติทางเสียงของพอลิเมอร์ผสมระหว่างเอทิลีนไวนิลอะซิเตดกับวัสดุโกลาส์ไฟเบอร์

5.1.2.1 สมบัติทางเสียง

การทดสอบระดับการส่งผ่านของเสียง พบว่าพอลิเมอร์ผสมระหว่างเอทิลีนไวนิลอะซิเตดกับวัสดุโกลาส์ไฟเบอร์ 2 ชนิด ได้แก่ ยางธรรมชาติและยางสไตรีนบิวตาไดอีน ที่นำไปผสมกับเอทิลีนไวนิลอะซิเตด มีค่าระดับการส่งผ่านของเสียงใกล้เคียงกัน การเติมใยมะพร้าวยาว 3 มิลลิเมตร ที่ปริมาณ 5, 10 และ 15 phr ในพอลิเมอร์ผสม มีค่าระดับการส่งผ่านของเสียงที่ต่ำกว่าเอทิลีนไวนิลอะซิเตด

5.1.2.2 ความแข็ง

การทดสอบค่าความแข็ง พบว่าวัสดุโกลาส์ไฟเบอร์ 2 ชนิด ได้แก่ ยางธรรมชาติและยางสไตรีนบิวตาไดอีน ที่นำไปผสมกับเอทิลีนไวนิลอะซิเตด มีค่าความแข็งใกล้เคียงกัน การเติมใยมะพร้าวลงไป ในพอลิเมอร์ผสม มีค่าแข็งเพิ่มขึ้นตามปริมาณของใยมะพร้าวยาว 3 มิลลิเมตรที่เพิ่มขึ้น เนื่องจากใยมะพร้าวยาว 3 มิลลิเมตร มีความแข็งมากกว่าพอลิเมอร์ผสม เมื่อเติมใยมะพร้าวเข้าไปเลย ทำให้ค่าความแข็งเพิ่มขึ้น

5.1.2.3 คุณสมบัติแรงดึง

การทดสอบค่ามอดุลัส พบว่าค่ามอดุลัสของพอลิเมอร์ผสมระหว่างเอทิลีนไวนิลอะซิเตดกับยางธรรมชาติมีค่ามอดุลัสสูงกว่าพอลิเมอร์ผสมระหว่างเอทิลีนไวนิลอะซิเตดกับยางสไตรีนบิวตาไดอีน เนื่องจากยางธรรมชาติมีค่ามอดุลัสมากกว่ายางสไตรีนบิวตาไดอีน การเติมใยมะพร้าวยาว 3 มิลลิเมตรในพอลิเมอร์ผสมที่ปริมาณ 5, 10 และ 15 phr พบว่าค่ามอดุลัสสูงขึ้น เพราะทำให้โมเลกุลของสายโซ่เคลื่อนไหวได้ยากขึ้น ทำให้ค่ามอดุลัสจึงมีค่าสูงขึ้น

การทดสอบความทนต่อแรงดึง พบว่าวัสดุโกลาส์ไฟเบอร์ 2 ชนิด ได้แก่ ยางธรรมชาติและยางสไตรีนบิวตาไดอีน ที่นำไปผสมกับเอทิลีนไวนิลอะซิเตด พบว่ายางธรรมชาติมีค่าความทนต่อแรงดึงสูงกว่ายางสไตรีนบิวตาไดอีน เนื่องจากยางธรรมชาติเมื่อถูกยึดสามารถเกิดผลึกได้ แต่ยางสไตรีนบิวตาไดอีนไม่สามารถเกิดการตกผลึกได้เมื่อถูกยึดจึงส่งผลให้ค่าความทนต่อแรงดึงของยางสไตรีนบิวตาไดอีน ต่ำกว่าค่าความทนต่อแรงดึงของยางธรรมชาติ การเติมเส้นใยมะพร้าวลงไป ในพอลิเมอร์ผสมระหว่าง เอทิลีนไวนิลอะซิเตดกับยางธรรมชาติส่งผลให้ค่าความทนต่อแรงดึงต่ำลง เพราะเกิดความเข้ากันไม่ได้ของพอลิเมอร์ผสม แต่การเติมใยมะพร้าวลงไป ในพอลิเมอร์ผสมระหว่าง เอทิลีนไวนิลอะซิเตดกับยางสไตรีนบิวตาไดอีน ส่งผลให้ค่าความทนต่อแรงดึงสูงขึ้นเพียงเล็กน้อย เพราะความเข้ากันได้ของยางสไตรีนบิวตาไดอีนและใยมะพร้าว ดังเหตุผลที่กล่าวข้างต้น ส่งผลให้ใยมะพร้าวช่วยเสริมแรงในเอทิลีนไวนิลอะซิเตดกับยางสไตรีนบิวตาไดอีน ตามปริมาณของยางสไตรีนบิวตาไดอีนที่เพิ่มขึ้น

การทดสอบค่าการยึดตัว ณ จุดขาด พบว่าวัสดุอีลาสโตเมอร์ 2 ชนิด ได้แก่ ยางธรรมชาติและยางสไตรีนบิวตาไดอีน ที่นำไปผสมกับเอทิลีนไวนิลอะซิเตด ค่าการยึดตัว ณ จุดขาดของพอลิเมอร์ผสมต่ำกว่าเอทิลีนไวนิลอะซิเตด การเติมไยมะพร้าวยาว 3 มิลลิเมตร 5 phr พบว่าการยึดตัว ณ จุดขาด เพิ่มขึ้น เพราะสายโซ่โมเลกุลขยับได้ง่าย แต่เมื่อเพิ่มปริมาณของไยมะพร้าวที่ปริมาณ 10 และ 15 phr ทำให้การยึดตัว ณ จุดขาด ต่ำลง เนื่องจากไยมะพร้าวขัดขวางการเคลื่อนไหวของสายโมเลกุล ดังนั้นการเติมไยมะพร้าวในปริมาณที่มากขึ้นส่งผลให้การยึดตัว ณ จุดขาด ต่ำลง

5.1.2.4 ความถ่วงจำเพาะ

การทดสอบค่าความถ่วงจำเพาะ พบว่าวัสดุอีลาสโตเมอร์ 2 ชนิด ได้แก่ ยางธรรมชาติและยางสไตรีนบิวตาไดอีน ที่นำไปผสมกับเอทิลีนไวนิลอะซิเตด มีค่าความถ่วงจำเพาะใกล้เคียงกัน การเติมไยมะพร้าว 3 มิลลิเมตรลงไปในพอลิเมอร์ผสม มีค่าความถ่วงจำเพาะใกล้เคียงกันกับเอทิลีนไวนิลอะซิเตด

5.1.2.5 สมบัติการหน่วงไฟ

อัตราเร็วของการเผาไหม้ พบว่าวัสดุอีลาสโตเมอร์ 2 ชนิด ได้แก่ ยางธรรมชาติและยางสไตรีนบิวตาไดอีน ที่นำไปผสมกับเอทิลีนไวนิลอะซิเตด มีค่าอัตราเร็วของการเผาไหม้เร็วขึ้น เพราะอีลาสโตเมอร์เป็นวัสดุที่ลามไฟได้ดีกว่าเอทิลีนไวนิลอะซิเตด แต่ยางธรรมชาติลามไฟได้ดีกว่ายางสไตรีนบิวตาไดอีนทำให้ค่าอัตราการเผาไหม้ของยางธรรมชาติสูงกว่า ทำให้ไม่ผ่านมาตรฐาน UL-94 HB การเติมไยมะพร้าวยาว 3 มิลลิเมตร 5, 10 และ 15 phr 50:50 ไม่ผ่านมาตรฐาน UL-94 HB เพราะไยมะพร้าวเป็นวัสดุที่ลามไฟได้ดีเช่นเดียวกับยางสไตรีนบิวตาไดอีน แต่ที่อัตราส่วนเอทิลีนไวนิลอะซิเตด:ยางสไตรีนบิวตาไดอีน 70:30 และ 30:70 ผ่านมาตรฐาน UL-94 HB

5.1.3 ผลของสารหน่วงไฟอะลูมินาที่มีผลต่อสมบัติทางเสียงของพอลิเมอร์ผสมระหว่างเอทิลีนไวนิลอะซิเตดผสมกับวัสดุอีลาสโตเมอร์

5.1.3.1 สมบัติทางเสียง

การทดสอบระดับการส่งผ่านของเสียง พบว่าวัสดุอีลาสโตเมอร์ 2 ชนิด ได้แก่ ยางธรรมชาติและยางสไตรีนบิวตาไดอีน ที่นำไปผสมกับเอทิลีนไวนิลอะซิเตด มีค่าระดับการส่งผ่านของเสียงใกล้เคียงกัน การเติมสารหน่วงไฟอะลูมินา ที่ปริมาณ 10, 30 และ 50 phr ในพอลิเมอร์ผสม มีค่าระดับการส่งผ่านของเสียงที่สูงกว่าเอทิลีนไวนิลอะซิเตด แต่เมื่อปริมาณยางเพิ่มขึ้นมีค่าระดับการส่งผ่านของเสียงจะลดลง เนื่องจากยางมีความแข็งน้อยกว่าเอทิลีนไวนิลอะซิเตด และการเติมสารหน่วงไฟอะลูมินาลงในพอลิเมอร์ผสมไม่ได้ช่วยเพิ่มความแข็งให้วัสดุ ทำให้การส่งผ่านของเสียงลดลง

5.1.3.2 ความแข็ง

การทดสอบค่าความแข็ง พบว่าวัสดุอีลาสโตเมอร์ 2 ชนิด ได้แก่ ยางธรรมชาติ และยางสไตรีนบิวตาไดอีน ที่นำไปผสมกับเอทิลีนไวนิลอะซิเตด มีค่าความแข็งใกล้เคียงกัน การเติมสารหน่วงไฟอะลูมินาลงไปไม่ได้ช่วยให้ค่าความแข็งของพอลิเมอร์ผสมสูงขึ้น เพราะอะลูมินาไม่ใช่เป็นสารตัวเสริมแรงที่เพิ่มความแข็งให้กับวัสดุพอลิเมอร์

5.1.3.3 คุณสมบัติแรงดึง

การทดสอบค่ามอดุลัส พบว่าค่ามอดุลัสของพอลิเมอร์ผสมระหว่างเอทิลีนไวนิลอะซิเตดกับยางธรรมชาติมีค่ามอดุลัสสูงกว่าพอลิเมอร์ผสมระหว่างเอทิลีนไวนิลอะซิเตดกับยางสไตรีนบิวตาไดอีน เนื่องจากยางธรรมชาติมีค่ามอดุลัสมากกว่ายางสไตรีนบิวตาไดอีน การเติมสารหน่วงไฟอะลูมินาในพอลิเมอร์ผสมที่ปริมาณ 10, 30 และ 50 phr พบว่า มีค่ามอดุลัสเพิ่มขึ้นตามปริมาณของสารหน่วงไฟอะลูมินาที่เติมลงไป เพราะสารหน่วงไฟอะลูมินากระจายตัวได้ดี ทำให้ขัดขวางการเคลื่อนไหวของสายโซ่โมเลกุล จึงเคลื่อนไหวได้ยากขึ้น ส่งผลทำให้การเปลี่ยนแปลงรูปร่างทำได้ยากขึ้น ทำให้ค่ามอดุลัสมีค่าสูงขึ้น

การทดสอบความต้านทานต่อแรงดึง พบว่าค่าความทนต่อแรงดึงของพอลิเมอร์ผสมระหว่างเอทิลีนไวนิลอะซิเตดกับยางธรรมชาติมีค่าความทนต่อแรงดึงสูงกว่าพอลิเมอร์ผสมระหว่างเอทิลีนไวนิลอะซิเตดกับยางสไตรีนบิวตาไดอีน เนื่องจากยางธรรมชาติมีค่าความทนต่อแรงดึงมากกว่ายางสไตรีนบิวตาไดอีน การเติมสารหน่วงไฟอะลูมินาในพอลิเมอร์ผสมที่ปริมาณ 10, 30 และ 50 phr พบว่าพอลิเมอร์ผสมมีค่าความทนต่อแรงดึงลดลงตามปริมาณของสารหน่วงไฟอะลูมินาที่เติมลงไป เพราะสารหน่วงไฟอะลูมินาไม่ช่วยเสริมแรงให้กับพอลิเมอร์ผสม

การทดสอบค่าการยืดตัว ณ จุดขาด พบว่าวัสดุอีลาสโตเมอร์ 2 ชนิด ได้แก่ ยางธรรมชาติและยางสไตรีนบิวตาไดอีน ที่นำไปผสมกับเอทิลีนไวนิลอะซิเตด พบว่ายางธรรมชาติมีค่าการยืดตัว ณ จุดขาด สูงกว่ายางสไตรีนบิวตาไดอีน เนื่องจากยางธรรมชาติเมื่อถูกยืดสามารถเกิดผลึกได้ การเติมสารหน่วงไฟอะลูมินาที่ปริมาณ 10 30 และ 50 phr ลงไปในพอลิเมอร์ผสม พบว่ายางสไตรีนบิวตาไดอีนมีค่าการยืดตัว ณ จุดขาด สูงกว่ายางธรรมชาติ เพราะสารหน่วงไฟอะลูมินามีความเป็นขั้วและยางสไตรีนบิวตาไดอีนมีความเป็นขั้วต่ำๆ จึงส่งผลให้สารหน่วงไฟอะลูมินาเกิดการเข้ากันได้กับยางสไตรีนบิวตาไดอีนได้ดีกว่ายางธรรมชาติที่ไม่มีขั้ว โดยสารหน่วงไฟอะลูมินาในพอลิเมอร์ผสมระหว่างเอทิลีนไวนิลอะซิเตดกับยางสไตรีนบิวตาไดอีน มีการกระจายตัวที่ดี ทำให้เข้าไปขัดขวางการเคลื่อนไหวของสายโซ่โมเลกุลของพอลิเมอร์ผสม ทำให้สายโซ่โมเลกุลเคลื่อนไหวได้ยากขึ้น ส่งผลให้ค่าการยืดตัว ณ จุดขาดสูงขึ้น

5.1.3.4 ความถ่วงจำเพาะ

การทดสอบค่าความถ่วงจำเพาะ พบว่าวัสดุอิลาสโตเมอร์ 2 ชนิด ได้แก่ ยางธรรมชาติและยางสไตรีนบิวตาไดอิน ที่นำไปผสมกับเอทิลีนไวนิลอะซิเตด มีค่าความถ่วงจำเพาะใกล้เคียงกัน การสารหน่วงไฟอะลูมิน่าลงในพอลิเมอร์ผสม มีค่าความถ่วงจำเพาะใกล้เคียงกันกับเอทิลีนไวนิลอะซิเตด เพราะสารหน่วงไฟอะลูมิน่ามีความถ่วงจำเพาะสูงกว่าพอลิเมอร์ผสม

5.1.3.5 สมบัติการหน่วงไฟ

อัตราเร็วของการเผาไหม้ พบว่าวัสดุอิลาสโตเมอร์ 2 ชนิด ได้แก่ ยางธรรมชาติและยางสไตรีนบิวตาไดอิน ที่นำไปผสมกับเอทิลีนไวนิลอะซิเตด เพราะอิลาสโตเมอร์เป็นวัสดุที่ลามไฟได้ดีกว่าเอทิลีนไวนิลอะซิเตด แต่ยางธรรมชาติลามไฟได้ดีกว่ายางสไตรีนบิวตาไดอินทำให้ค่าอัตราการเผาไหม้ของยางธรรมชาติสูงกว่า ทำให้ไม่ผ่านมาตรฐาน UL-94 HB การเติมการเติมสารหน่วงไฟอะลูมิน่าที่ปริมาณ 10, 30 และ 50 phr ในพอลิเมอร์ผสมระหว่างเอทิลีนไวนิลอะซิเตดกับยางสไตรีนบิวตาไดอินมีค่าอัตราการเผาไหม้ต่ำกว่าพอลิเมอร์ผสมระหว่างยางธรรมชาติกับเอทิลีนไวนิลอะซิเตด เพราะยางธรรมชาติเป็นวัสดุที่ลามไฟได้ดีกว่ายางสไตรีนบิวตาไดอิน

5.1.4 ผลของสารหน่วงไฟเบนโทไนท์ที่มีผลต่อสมบัติทางเสียงของพอลิเมอร์ผสมระหว่างเอทิลีนไวนิลอะซิเตดผสมกับวัสดุอิลาสโตเมอร์

5.1.4.1 สมบัติทางเสียง

การทดสอบระดับการส่งผ่านของเสียง พบว่าวัสดุอิลาสโตเมอร์ 2 ชนิด ได้แก่ ยางธรรมชาติและยางสไตรีนบิวตาไดอิน ที่นำไปผสมกับเอทิลีนไวนิลอะซิเตด มีค่าระดับการส่งผ่านของเสียงใกล้เคียงกัน การเติมสารหน่วงไฟเบนโทไนท์ที่ปริมาณ 10, 30 และ 50 phr ในพอลิเมอร์ผสม มีค่าระดับการส่งผ่านของเสียงที่สูงกว่าเอทิลีนไวนิลอะซิเตด เนื่องจากเบนโทไนท์เป็นดินเมื่อนำไปผสมกับพอลิเมอร์ผสมทำให้เบนโทไนท์กระจายตัวเคลือบทั่วบริเวณพื้นผิวของพอลิเมอร์ผสม ส่งผลให้พื้นผิวของพอลิเมอร์ผสมมีความหนาแน่นและจับตัวกันแน่นขึ้น ทำให้เสียงส่งผ่านไปได้ยาก ส่งผลให้ค่าระดับการส่งผ่านของเสียงเพิ่มขึ้น

5.1.4.2 ความแข็ง

การทดสอบค่าความแข็ง พบว่าวัสดุอิลาสโตเมอร์ 2 ชนิด ได้แก่ ยางธรรมชาติและยางสไตรีนบิวตาไดอิน ที่นำไปผสมกับเอทิลีนไวนิลอะซิเตด มีค่าความแข็งใกล้เคียงกัน การเติมสารหน่วงไฟเบนโทไนท์ลงไปไม่ได้ช่วยให้ค่าความแข็งของพอลิเมอร์ผสมสูงขึ้น เพราะสารหน่วงไฟเบนโทไนท์ไม่ใช่สารตัวเติมเสริมแรงที่เพิ่มความแข็งให้กับวัสดุพอลิเมอร์

5.1.4.3 คุณสมบัติแรงดึง

การทดสอบค่ามอดุลัส พบว่าค่ามอดุลัสของพอลิเมอร์ผสมระหว่างเอทิลีนไวนิลอะซิเตดกับยางธรรมชาติมีค่ามอดุลัสสูงกว่าพอลิเมอร์ผสมระหว่างเอทิลีนไวนิลอะซิเตดกับยางสไตรีนบิวตาไดอีน เนื่องจากยางธรรมชาติมีค่ามอดุลัสมากกว่ายางสไตรีนบิวตาไดอีน การเติมสารหน่วงไฟเบนโทไนท์ในพอลิเมอร์ผสมที่ปริมาณ 10, 30 และ 50 phr พบว่า มีค่ามอดุลัสเพิ่มขึ้นตามปริมาณของสารหน่วงไฟเบนโทไนท์ที่เติมลงไป เพราะสารหน่วงไฟเบนโทไนท์กระจายตัวได้ดี ทำให้ขีดขวางการเคลื่อนไหวของสายโซ่โมเลกุล จึงเคลื่อนไหวได้ยากขึ้น ส่งผลทำให้การเปลี่ยนแปลงรูปร่างทำได้ยากขึ้น ทำให้ค่ามอดุลัสมีค่าสูงขึ้น

การทดสอบความต้านทานต่อแรงดึง พบว่าค่าความต้านทานต่อแรงดึงของพอลิเมอร์ผสมระหว่างเอทิลีนไวนิลอะซิเตดกับยางธรรมชาติมีค่าความต้านทานต่อแรงดึงสูงกว่าพอลิเมอร์ผสมระหว่างเอทิลีนไวนิลอะซิเตดกับยางสไตรีนบิวตาไดอีน เนื่องจากยางธรรมชาติมีค่าความต้านทานต่อแรงดึงมากกว่ายางสไตรีนบิวตาไดอีน การเติมสารหน่วงไฟเบนโทไนท์ในพอลิเมอร์ผสมที่ปริมาณ 10, 30 และ 50 phr พบว่าพอลิเมอร์ผสมมีค่าความต้านทานต่อแรงดึงลดลงตามปริมาณของสารหน่วงไฟอะลูมินาที่เติมลงไป เพราะสารหน่วงไฟเบนโทไนท์ไม่ช่วยเสริมแรงให้กับพอลิเมอร์ผสม

การทดสอบค่าการยืดตัว ณ จุดขาด พบว่าวัสดุอีลาสโตเมอร์ 2 ชนิด ได้แก่ ยางธรรมชาติและยางสไตรีนบิวตาไดอีน ที่นำไปผสมกับเอทิลีนไวนิลอะซิเตด พบว่ายางธรรมชาติมีค่าการยืดตัว ณ จุดขาด สูงกว่ายางสไตรีนบิวตาไดอีน เนื่องจากยางธรรมชาติเมื่อถูกยืดสามารถเกิดผลึกได้ การเติมสารหน่วงไฟเบนโทไนท์ที่ปริมาณ 10, 30 และ 50 phr ลงไปในพอลิเมอร์ผสม พบว่าพอลิเมอร์ผสมระหว่างเอทิลีนไวนิลอะซิเตดกับยางธรรมชาติ มีค่าการยืดตัว ณ จุดขาด สูงกว่าพอลิเมอร์ผสมระหว่างเอทิลีนไวนิลอะซิเตดกับยางสไตรีนบิวตาไดอีน

5.1.4.4 ความถ่วงจำเพาะ

การทดสอบค่าความถ่วงจำเพาะ พบว่าวัสดุอีลาสโตเมอร์ 2 ชนิด ได้แก่ ยางธรรมชาติและยางสไตรีนบิวตาไดอีน ที่นำไปผสมกับเอทิลีนไวนิลอะซิเตด มีค่าความถ่วงจำเพาะใกล้เคียงกัน การเติมสารหน่วงไฟเบนโทไนท์ลงไปในพอลิเมอร์ผสม มีค่าความถ่วงจำเพาะใกล้เคียงกันกับเอทิลีนไวนิลอะซิเตด เพราะสารหน่วงไฟเบนโทไนท์มีความถ่วงจำเพาะสูงกว่าพอลิเมอร์ผสม

5.1.4.5 สมบัติการหน่วงไฟ

อัตราเร็วของการเผาไหม้ พบว่าวัสดุอีลาสโตเมอร์ 2 ชนิด ได้แก่ ยางธรรมชาติและยางสไตรีนบิวตาไดอีน ที่นำไปผสมกับเอทิลีนไวนิลอะซิเตด เพราะอีลาสโตเมอร์เป็นวัสดุที่ลามไฟได้ดีกว่าเอทิลีนไวนิลอะซิเตด แต่ยางธรรมชาติลามไฟได้ดีกว่ายางสไตรีนบิวตาไดอีนทำให้ค่าอัตราการ

แผ่นไหม้ของยางธรรมชาติสูงกว่า ทำให้ไม่ผ่านมาตรฐาน UL-94 HB การเติมสารหน่วงไฟเบนโทไนท์ที่ ปริมาณ 10, 30 และ 50 phr ในพอลิเมอร์ผสมระหว่างเอทิลีนไวนิลอะซิเตดกับยางสไตรีนบิวตาไดอีนมี ค่าอัตราการเผาไหม้ต่ำกว่าพอลิเมอร์ผสมระหว่างยางธรรมชาติกับเอทิลีนไวนิลอะซิเตด เพราะยาง ธรรมชาติเป็นวัสดุที่ลามไฟได้ดีกว่ายางสไตรีนบิวตาไดอีน โดยการเติมสารหน่วงไฟเบนโทไนท์ที่ปริมาณ 10, 30 และ 50 phr ที่อัตราส่วนเอทิลีนไวนิลอะซิเตด:ยางสไตรีนบิวตาไดอีน 70:30 และ 50:50 พบว่า ผ่านมามาตรฐาน UL-94 HB เช่นเดียวกับการเติมสารหน่วงไฟเบนโทไนท์ที่ปริมาณ 50 ที่อัตราส่วน เอ ทิลีนไวนิลอะซิเตด:ยางธรรมชาติ 70:30

ตารางที่ 5.1 แสดงองค์ประกอบของพอลิเมอร์ผสมตามอัตราส่วน เอทิลีนไวนิลอะซิเตด:อิลาสโตเมอร์ โดยน้ำหนัก ที่สามารถลดต้นทุนให้กับเอทิลีนไวนิลอะซิเตดที่ใช้งานในอุตสาหกรรม ฉนวนกันเสียงภายในรถยนต์

อัตราส่วน	ลดต้นทุนในการผลิตต่อ 1 กิโลกรัมเป็นเงิน (บาท)
EVA : SBR	
70 : 30	7.72
50 : 50	12.88
30 : 70	18.03
EVA : NR	
70 : 30	1.21
50 : 50	2
30 : 70	2.8

จากตารางที่ 5.1 พบว่าการผสมวัสดุอิลาสโตเมอร์ลงไปในทุกอัตราส่วนสามารถลด ต้นทุนให้กับเอทิลีนไวนิลอะซิเตดที่ใช้งานในอุตสาหกรรมฉนวนกันเสียงภายในรถยนต์และสามารถเพิ่ม มูลค่าให้กับวัสดุอิลาสโตเมอร์ได้ ยกตัวอย่าง เช่น ในอัตราส่วน EVA 70 / SBR 30 โดยราคาของเอทิลีน

ไวนิลแอสีเตด (EVA) ราคา 75.75 บาท/กิโลกรัม, ยางสไตรีนบิวตาไดอีน (SBR) ราคา 50 บาท/กิโลกรัม , ยางธรรมชาติ STR 5L ราคา 71.75 บาท/กิโลกรัม [การยางแห่งประเทศไทย]

เทียบบัญญัติยาง

ใช้ EVA 1 กิโลกรัมราคา 75.75 บาท

ถ้าใช้ EVA 0.7 กิโลกรัม จะใช้เงิน $0.7 \times 75.75/1 = 53.02$ บาท

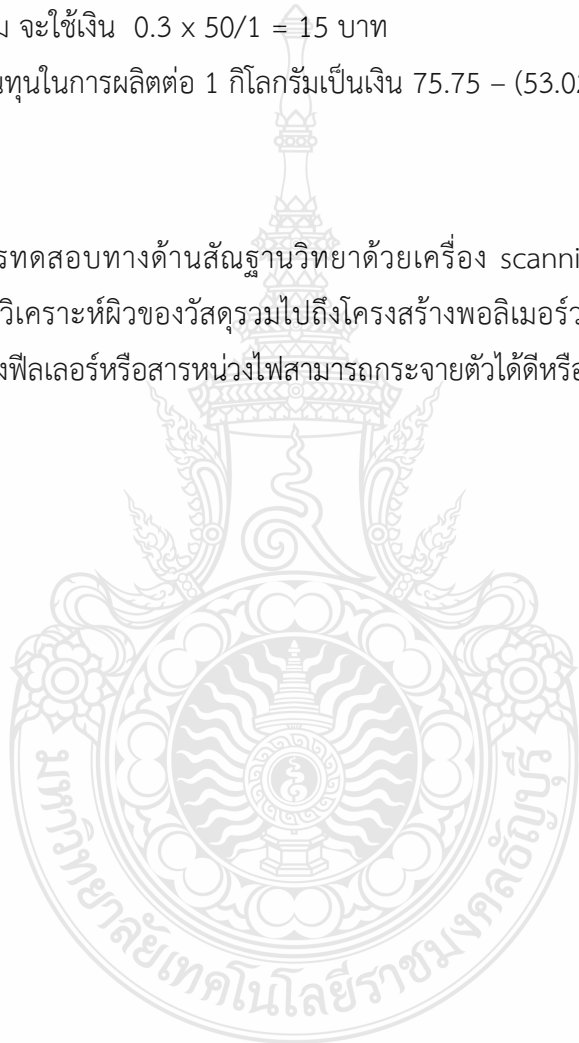
ใช้ SBR 1 กิโลกรัมราคา 50 บาท

ถ้าใช้ SBR 0.3 กิโลกรัม จะใช้เงิน $0.3 \times 50/1 = 15$ บาท

ดังนั้นจะสามารถลดต้นทุนในการผลิตต่อ 1 กิโลกรัมเป็นเงิน $75.75 - (53.02+15) = 7.72$ บาท

5.2 ข้อเสนอแนะ

ควรเพิ่มการทดสอบทางด้านสัญญาณวิทยาด้วยเครื่อง scanning electron microscope (SEM) เพื่อสังเกตและวิเคราะห์ผิวของวัสดุรวมไปถึงโครงสร้างพอลิเมอร์ว่ามีความเข้ากันได้ดีหรือไม่ และการกระจายตัวของฟิลเลอร์หรือสารหน่วงไฟสามารถกระจายตัวได้ดีหรือไม่



บรรณานุกรม

- [1] สาวิตรี ชัยรัตน์. (2255). “ปัจจัยที่เกี่ยวข้องและผลกระทบต่อ สุขภาพจากการเปลี่ยนระดับความสามารถในการได้ยินมาตรฐาน”, วิทยาศาสตร์ สาขาวิชาชีวเวชศาสตร์,
- [2] บจก.พวงพวงษ์. (2546). แผ่นแดมป์. สืบค้นจาก <https://www.powersoundv9.com/tips/74damp.html>.
- [3] เดชฤทธิ์ พลเยี่ยม. (2019). เสียงคืออะไร. COVER STORY 2019 No.204, สืบค้นจาก <http://www.soundstagemag.com>
- [4] LEGA CORPARATION. มลภาวะทางเสียง. สืบค้นจาก <https://legatool.com/wp/4213>
- [5] วิฑิต วรรณเลิศลักษณ์. (2560). พิสิกส์รอบตัว ตอน ฉนวนกัน เสียง. คลังความรู้ SciMath.
- [6] กรมโรงงานอุตสาหกรรม. “คู่มือการจัดการสารเคมีอันตรายสูง ไวนิลอะซีเตตมอนอเมอร์ (Vinyl acetate monomer)”, พิมพ์เมื่อ : ตุลาคม พ.ศ. 2551 ISBN 978-974- 357-808-8 จัดพิมพ์ที่ : โรงพิมพ์แห่งจุฬาลงกรณ์มหาวิทยาลัย
- [7] พงษ์ธร แซ่ฮุย. ยาง: ชนิด สมบัติและการใช้งาน, พิมพ์ครั้งที่ 2, ปทุมธานี:ศูนย์เทคโนโลยีโลหะ และวัสดุแห่งชาติ (เอ็มเทค), 2548
- [8] พงษ์ธร แซ่ฮุย, สารเคมียาง, พิมพ์ครั้งที่ 2, ปทุมธานี: ศูนย์เทคโนโลยีโลหะและวัสดุแห่งชาติ (เอ็มเทค), 2548
- [9] วาสนา. (2541). โยมะพร้าว. สืบค้นจาก <http://kb.psu.ac.th>
- [10] Jha, N. K., Misra, A. C., and Bajai, P. (1984). Flame-retardant additives for polypropylene. *Macromol. Sci. Chem.* 24: 69-116.
- [11] Yoshiyasu Mizuno. เอกสารประกอบการสัมมนาเรื่อง Alumina Ceramic : Application, Processing and Future Potential. จัดโดย สถาบันวิจัยโลหะและวัสดุ จุฬาลงกรณ์มหาวิทยาลัย. เมื่อวันที่ 9 กรกฎาคม พ.ศ. 2542.
- [12] คชินท์ สายอินทวงศ์. Thai Ceramic Society. เบนโทไนท์ (Bentonite). สืบค้นจาก <http://thai.sodium-cryolite.com>

บรรณานุกรม (ต่อ)

- [13] กิตติชาติ โหมาศวิน. การไขว้ใยมะพร้าวรวมกับยางพาราเพื่อเป็นฉนวนดูดซับเสียง.
Faculty of Architecture and Faculty of Education, Kasetsart
University
- [14] Leitao Cao, Qiuxia Fu, Yang Si, Bin Ding, Jianyong Yu. **Composites
Communications**. 10 December 2018, 25-35 Short Review
- [15] อนุชิต คำชาติ. “ฉนวนกันเสียงจากยางธรรมชาติเติมขุยมะพร้าวที่มีการต้านทานต่อการ
ติดไฟสูง”. ปรินูญานิพนธ์ตามหลักสูตรวิศวกรรมศาสตรบัณฑิต ภาควิชาวิศวกรรม
วัสดุและโลหะการ มหาวิทยาลัยเทคโนโลยีราชมงคลธัญบุรี
- [16] Umberto Berardi, Gino Iannace, **Acoustic characterization of natural fibers
for sound absorption applications**. Building and Environment Volume
94, 2 December 2015, 840-852
- [17] นฤเบศร์ มั่นจิตร, “การศึกษาสมบัติทางเสียงของวัสดุอิลาสโตเมอร์”.
ปรินูญานิพนธ์ตามหลักสูตรวิศวกรรมศาสตรบัณฑิต ภาควิชาวิศวกรรมวัสดุและโลหะ
การ มหาวิทยาลัยเทคโนโลยีราชมงคลธัญบุรี
- [18] วริศรา บรภาค, ณรงค์ เชื้องชยะพันธุ์, สกฤรัตน์ พิชัยยุทธ์ และวรรณรัตน์ เชื้องชยะพันธุ์.
“ผลของปริมาณซิลิกาต่อสมบัติของยางธรรมชาติเสริมแรงด้วยซิลิกาที่มียาง
ธรรมชาติอีพอกไซด์ เป็นสารเพิ่มความสามารถในการเข้ากัน”.
การประชุมวิชาการระดับชาติ. วลัยลักษณ์วิจัย. ครั้งที่, 11 วันที่ 27-28 มีนาคม
2562
- [19] D.Carolan. (2015). **Co-continuous polymer systems: A numerical
investigation**. 98, pp 24-33
- [20] Heng Zhang. (2019). **Synergistic Flame-Retardant Mechanism of
Dicyclohexenyl Aluminum Hypophosphite and Nano-Silica
Polymers**. 11(7), 1211

บรรณานุกรม (ต่อ)

- [21] อุษารัตน์ รัตนคำวน. (2557). ผลของพลาสติกไซเซอร์ที่มีต่อสมบัติทางกายภาพและสมบัติเชิงกลของฟิล์มเซลลูโลสเอสเทอร์จากฟางข้าวและเปลือกข้าวโพด. กรุงเทพมหานคร:ฐานข้อมูลโครงสร้างพื้นฐานภาครัฐด้านวิทยาศาสตร์และเทคโนโลยี กระทรวงวิทยาศาสตร์และเทคโนโลยี.
- [22] Shan Hu. (2012). Effects of aluminum oxide on combustion behavior of intumescent fire-retarded polypropylene composites. Applied Mechanics and Materials. 120, pp 598-602
- [23] การยางแห่งประเทศไทย. (2559). สืบค้นจาก <https://www.raot.co.th/rubber2012/menu5.php>





ภาคผนวก ก

การนำเสนอผลงานทางวิชาการ



**The 5th Rajamangala Manufacturing and Management
Technology Conference 2020**

การประชุมวิชาการราชมนังคาลัยด้านเทคโนโลยีการผลิตและการจัดการ ครั้งที่ 5

R MTC 2020

Production Technology and Management for Improving Smart Farming

Proceedings
Conference 2020

3-4 September 2020, K.P. Grand Hotel Chanthaburi

www.rmtc2020.org



Conference Topics

- Production and Operations Management
- Manufacturing engineering
- Materials Science and Applications
- Supply Chain and Logistics
- Industrial Education
- Other Related fields

สาขาวิชาในการประชุม

- การจัดการการผลิตและการดำเนินงาน (Production and Operations Management)
- วิศวกรรมการผลิต (Manufacturing Engineering)
- วัสดุศาสตร์และการประยุกต์ใช้งาน (Materials Science and Application)
- โซ่อุปทานและโลจิสติกส์ (Supply Chain and Logistics)
- ครุศาสตร์อุตสาหกรรม (Industrial Education)
- สาขาอื่นที่เกี่ยวข้อง (Other Related Fields)



ประธานคณะกรรมการดำเนินงานประชุมวิชาการ RMTC 2020

ผู้ช่วยศาสตราจารย์ ดร.เทอดศักดิ์	ประมงคณ	(มทร.ตะวันออก)
ผู้ช่วยศาสตราจารย์พันธุ์เดช	นนท์แสงโรจน์	(มทร.ตะวันออก)
อาจารย์ธิตติ	หมอรักรา	(มทร.ตะวันออก)
อาจารย์จิรวัดน์	ณ พัทลุง	(มทร.ตะวันออก)
อาจารย์ศราวุธ	จันทร์กลาง	(มทร.ตะวันออก)
อาจารย์อึ้งยศ	ทิพย์ศรีราช	(มทร.ตะวันออก)
อาจารย์สมภาร	ศรีประเทือง	(มทร.ตะวันออก)
นายพิชิตชัย	เรือน้อย	(มทร.ตะวันออก)
นางสาววรรณนิสา	อยู่สนอง	(มทร.ตะวันออก)

คณะกรรมการดำเนินงานประชุมวิชาการ RMTC 2020 ประจำเครือข่าย

ผู้ช่วยศาสตราจารย์ ดร.อนินท์	มีมนต์	(มทร.ธัญบุรี)	ประธานกรรมการ
ผู้ช่วยศาสตราจารย์ ดร.ภาสพิรุฬห์	วัชรศรีสำเร็จ	(มทร.สุวรรณภูมิ)	รองประธานกรรมการ
รองศาสตราจารย์ ดร.ศิริชัย	ต่อสกุล	(มทร.ธัญบุรี)	กรรมการ
รองศาสตราจารย์สุรสิทธิ์	ระวีวงศ์	(มทร.ศรีวิชัย)	กรรมการ
ผู้ช่วยศาสตราจารย์พัชระ	กัญจนกาญจน์	(มทร.สุวรรณภูมิ)	กรรมการ
ผู้ช่วยศาสตราจารย์ ดร.นนท์โชติ	อุดมศรี	(มทร.สุวรรณภูมิ)	กรรมการ
อาจารย์สัญญา	คำจริง	(มทร.สุวรรณภูมิ)	กรรมการ
ผู้ช่วยศาสตราจารย์ ดร.คณ	สุจารี	(มทร.รัตนโกสินทร์)	กรรมการ
อาจารย์เนริยุชลา	กำไลทอง	(มทร.รัตนโกสินทร์)	กรรมการ
ผู้ช่วยศาสตราจารย์นทีชัย	ผัสดี	(มทร.ล้านนา)	กรรมการ
ผู้ช่วยศาสตราจารย์ ดร.แมน	ดัยแพร์	(มทร.ล้านนา)	กรรมการ
อาจารย์สุทธิพงษ์	จำรูญรัตน์	(มทร.พระนคร)	กรรมการ
อาจารย์ธวัชชัย	ชาติตำนาน	(มทร.พระนคร)	กรรมการ
ผู้ช่วยศาสตราจารย์ ดร.พิชัย	จันทร์มณี	(มทร.กรุงเทพ)	กรรมการ
อาจารย์ ดร.อุทธิชัย	ภาเนียม	(มทร.กรุงเทพ)	กรรมการ
ผู้ช่วยศาสตราจารย์ ดร.สุรัตน์	วรรณศรี	(มทร.อีสาน)	กรรมการ
ผู้ช่วยศาสตราจารย์ ดร.จิตติวัฒน์	นิกัญจนธาร	(มทร.อีสาน)	กรรมการ
ผู้ช่วยศาสตราจารย์ ดร.สุวิทย์	จรรยาแสง	(มทร.อีสาน)	กรรมการ
ผู้ช่วยศาสตราจารย์พิสิษฐ์	ศรีน้อย	(มทร.อีสาน)	กรรมการ
ผู้ช่วยศาสตราจารย์พันธุ์เดช	นนท์แสงโรจน์	(มทร.ตะวันออก)	กรรมการ
อาจารย์จิรวัดน์	ณ พัทลุง	(มทร.ตะวันออก)	กรรมการ
ผู้ช่วยศาสตราจารย์ชูชาติ	สนิ	(มทร.ศรีวิชัย)	กรรมการและเลขานุการ
อาจารย์ธิตติ	หมอรักรา	(มทร.ตะวันออก)	กรรมการและผู้ช่วยเลขานุการ

คณะกรรมการดำเนินงานประชุมวิชาการ RMTC 2020 ด้านบทความ

อาจารย์อึ้งยศ	ทิพย์ศรีราช	ประธานกรรมการ
อาจารย์ขงวิญจิต	ออกเวหา	รองประธานกรรมการ
ผู้ช่วยศาสตราจารย์คณ	ทองอวัช	กรรมการ
อาจารย์วัชรธร	จันทร์ขมภู	กรรมการ



อาจารย์กฤษภา	เจริญมูล	กรรมการ
อาจารย์ยุพา	บุญมี	กรรมการ
อาจารย์สุจิตรา	ทิพย์ศรีราช	กรรมการและเลขานุการ

ผู้ทรงคุณวุฒิพิจารณาบทความ (Reviewer)

ศาสตราจารย์ ดร.สุรินทร์	พงศ์ศุภสมิทธิ์	ข้าราชการบำนาญ
ศาสตราจารย์ ดร.สิน	พันธ์พิณิจ	ข้าราชการบำนาญ
ศาสตราจารย์ ดร.วีไล	รังสาดทอง	มหาวิทยาลัยเทคโนโลยีพระจอมเกล้าพระนครเหนือ
ศาสตราจารย์ ดร.อรรถกร	แก่งพล	มหาวิทยาลัยเทคโนโลยีพระจอมเกล้าพระนครเหนือ
ศาสตราจารย์ ดร.ระพีพันธ์	ปิตาคะโส	มหาวิทยาลัยอุบลราชธานี
ศาสตราจารย์ ดร.กาญจนา	เศรษฐนันท์	มหาวิทยาลัยขอนแก่น
รองศาสตราจารย์ ดร.ทศพล	เกียรติเจริญผล	สถาบันเทคโนโลยีพระจอมเกล้าเจ้าคุณทหารลาดกระบัง
รองศาสตราจารย์ ดร.ธีรเดช	วุฒิพรพันธ์	มหาวิทยาลัยเทคโนโลยีพระจอมเกล้าพระนครเหนือ
รองศาสตราจารย์ ดร.สุรศักดิ์	สุนันท์ชัย	มหาวิทยาลัยเทคโนโลยีพระจอมเกล้าธนบุรี
รองศาสตราจารย์ ดร.วารุณี	เปรมานนท์	มหาวิทยาลัยเทคโนโลยีพระจอมเกล้าธนบุรี
รองศาสตราจารย์ ดร.มณีนครา	พิริยวิรุฒิ	มหาวิทยาลัยเทคโนโลยีพระจอมเกล้าธนบุรี
รองศาสตราจารย์ ดร.ประชา	บุญยานิชกุล	มหาวิทยาลัยศรีนครินทรวิโรฒ
รองศาสตราจารย์ ดร.กัณวีรัช	พลุปราษฎ์	มหาวิทยาลัยศรีนครินทรวิโรฒ
รองศาสตราจารย์ ดร.ธนศ	รัตนวีไล	มหาวิทยาลัยสงขลานครินทร์
รองศาสตราจารย์ ดร.จันทร์ศิริ	สิงห์เลื่อน	มหาวิทยาลัยเกษตรศาสตร์
รองศาสตราจารย์เลิศชัย	ระตะนธอาพร	มหาวิทยาลัยเกษตรศาสตร์
รองศาสตราจารย์ ดร.เสมอจิตร์	หอมรสสุคนธ์	มหาวิทยาลัยธรรมศาสตร์
รองศาสตราจารย์ ดร.สุศสาคร	อินธิเดช	มหาวิทยาลัยมหาสารคาม
รองศาสตราจารย์ ดร.นุชสรา	เกรียงกรกฎ	มหาวิทยาลัยอุบลราชธานี
รองศาสตราจารย์ ดร.ปรีชา	เกรียงกรกฎ	มหาวิทยาลัยอุบลราชธานี
รองศาสตราจารย์ ดร.สมศักดิ์	แก้วพลอย	มหาวิทยาลัยราชภัฏสงขลา
รองศาสตราจารย์ ดร.ประยูร	สุรินทร์	สถาบันเทคโนโลยีปทุมวัน
รองศาสตราจารย์ ดร.ชนนาล	กฤตวรกาญจน์	มหาวิทยาลัยเชียงใหม่
รองศาสตราจารย์ ดร.นิวิท	เจริญใจ	มหาวิทยาลัยเชียงใหม่
รองศาสตราจารย์ ดร.ชมพูนุท	เกษมเศรษฐ์	มหาวิทยาลัยเชียงใหม่
รองศาสตราจารย์ ดร.สุพรรณ	สุดสนธิ์	มหาวิทยาลัยกาฬสินธุ์
รองศาสตราจารย์ ดร.ประจวบ	กลมมจิตร	มหาวิทยาลัยศิลปากร
รองศาสตราจารย์ ดร.กวิน	สนธิ์เพิ่มพูน	มหาวิทยาลัยนเรศวร
รองศาสตราจารย์ ดร.ยุทธิชัย	บันเทิงจิตร	มหาวิทยาลัยสยาม
รองศาสตราจารย์ ดร.ทวีศักดิ์	เทพพิทักษ์	มหาวิทยาลัยบูรพา
รองศาสตราจารย์จันทร์ชา	นาควจิตรระกุล	มหาวิทยาลัยบูรพา
รองศาสตราจารย์วรัญญา	โนนม่วง	มหาวิทยาลัยเทคโนโลยีราชมงคลตะวันออก
รองศาสตราจารย์สุรสิทธิ์	ระวีวงศ์	มหาวิทยาลัยเทคโนโลยีราชมงคลศรีวิชัย
รองศาสตราจารย์เคช	เหมือนขาว	มหาวิทยาลัยเทคโนโลยีราชมงคลศรีวิชัย
รองศาสตราจารย์ไพบุลย์	แย้มเมื่อน	มหาวิทยาลัยเทคโนโลยีราชมงคลธัญบุรี
ผู้ช่วยศาสตราจารย์ ดร.มนัสชนก	จงประสิทธิ์พร	สถาบันเทคโนโลยีพระจอมเกล้าเจ้าคุณทหารลาดกระบัง

ผู้ช่วยศาสตราจารย์ ดร.กิตติวัฒน์	สิริเกษมสุข	สถาบันเทคโนโลยีพระจอมเกล้าเจ้าคุณทหารลาดกระบัง
ผู้ช่วยศาสตราจารย์ ดร.สุทัศน์	รัตนพันธ์	มหาวิทยาลัยเทคโนโลยีพระจอมเกล้าธนบุรี
ผู้ช่วยศาสตราจารย์ ดร.อุจน์	สังขพงศ์	มหาวิทยาลัยสงขลานครินทร์
ผู้ช่วยศาสตราจารย์ ดร.นภัสพร	มีมงคล	มหาวิทยาลัยสงขลานครินทร์
ผู้ช่วยศาสตราจารย์ ดร.สวัสดิ์	ภาชะราช	มหาวิทยาลัยธรรมศาสตร์
ผู้ช่วยศาสตราจารย์ ดร.อภิวัฒน์	มุตตามระ	มหาวิทยาลัยธรรมศาสตร์
ผู้ช่วยศาสตราจารย์ ดร.จิรวรรณ	คล้ายกันต์	มหาวิทยาลัยธรรมศาสตร์
ผู้ช่วยศาสตราจารย์ ดร.วสุวัชร	นาคเขียว	มหาวิทยาลัยเชียงใหม่
ผู้ช่วยศาสตราจารย์ ดร.อนิรุท	ไชยจารุณิช	มหาวิทยาลัยเชียงใหม่
ผู้ช่วยศาสตราจารย์ ดร.ธนิดา	สุนารักษ์	มหาวิทยาลัยเทคโนโลยีมหานคร
ผู้ช่วยศาสตราจารย์ ดร.อรอุมา	ลาสุนนท์	มหาวิทยาลัยมหาสารคาม
ผู้ช่วยศาสตราจารย์ ดร.นเรศ	มีโส	มหาวิทยาลัยมหาสารคาม
ผู้ช่วยศาสตราจารย์ ดร.กิตติมา	ศิลปะษา	มหาวิทยาลัยอุบลราชธานี
ผู้ช่วยศาสตราจารย์ ดร.นลิน	เพ็ชรทอง	มหาวิทยาลัยอุบลราชธานี
ผู้ช่วยศาสตราจารย์ ดร.สมบัติ	สินธุเขาวน	มหาวิทยาลัยอุบลราชธานี
ผู้ช่วยศาสตราจารย์ ดร.คณิศร	ภูนิคม	มหาวิทยาลัยอุบลราชธานี
ผู้ช่วยศาสตราจารย์ ดร.กสิณ	รังสิกรรพุม	มหาวิทยาลัยอุบลราชธานี
ผู้ช่วยศาสตราจารย์ ดร.ชวลิต	มณิศรี	มหาวิทยาลัยศรีปทุม
ผู้ช่วยศาสตราจารย์ ดร.สุพัตรา	ศรียานลิกขณ์	มหาวิทยาลัยศรีปทุม
ผู้ช่วยศาสตราจารย์ ดร.ชูศักดิ์	พรสิงห์	มหาวิทยาลัยศิลปากร
ผู้ช่วยศาสตราจารย์จันทร์เพ็ญ	อนูรัตน์นันท	มหาวิทยาลัยศิลปากร
ผู้ช่วยศาสตราจารย์ปิยนัฐ	โตอ่อน	มหาวิทยาลัยกาฬสินธุ์
ผู้ช่วยศาสตราจารย์ ดร.สมลักษณ์	วรรณกุล กิเยลาโรว่า	มหาวิทยาลัยนครสวรรค์
ผู้ช่วยศาสตราจารย์ ดร.ภูพงษ์	พงษ์เจริญ	มหาวิทยาลัยนเรศวร
ผู้ช่วยศาสตราจารย์ ดร.สุรนต์ย์	พุทธพนม	มหาวิทยาลัยนเรศวร
ผู้ช่วยศาสตราจารย์ ดร.โพธิ์งาม	สมกุล	มหาวิทยาลัยนเรศวร
ผู้ช่วยศาสตราจารย์ ดร.ศรีสัจจา	วิทย์ศักดิ์	มหาวิทยาลัยนเรศวร
ผู้ช่วยศาสตราจารย์ ดร.กฤษดา	ประสพชัยชนะ	มหาวิทยาลัยบูรพา
ผู้ช่วยศาสตราจารย์สมเสียง	จันทาสี	มหาวิทยาลัยบูรพา
ผู้ช่วยศาสตราจารย์ ดร.วิรัตน์ชา	เครือฟู	มหาวิทยาลัยแม่โจ้
ผู้ช่วยศาสตราจารย์ปณิศา	คินดี	มหาวิทยาลัยสยาม
ผู้ช่วยศาสตราจารย์ศิวะ	วสุนธราภีวัฒน์	มหาวิทยาลัยเทคโนโลยีราชมงคลรัตนโกสินทร์
ผู้ช่วยศาสตราจารย์ ดร.นฤมล	มงคลธนะวัฒน์	มหาวิทยาลัยเทคโนโลยีราชมงคลตะวันออก
ผู้ช่วยศาสตราจารย์ ดร.กรรณิการ์	เจริญสุข	มหาวิทยาลัยเทคโนโลยีราชมงคลตะวันออก
ผู้ช่วยศาสตราจารย์ ดร.เจตน์จรรย์	อาจไธสง	มหาวิทยาลัยเทคโนโลยีราชมงคลตะวันออก
ผู้ช่วยศาสตราจารย์พนัญเดช	นนท์แสงโรจน์	มหาวิทยาลัยเทคโนโลยีราชมงคลตะวันออก
ผู้ช่วยศาสตราจารย์ประหยัด	กองสุข	มหาวิทยาลัยเทคโนโลยีราชมงคลตะวันออก
ผู้ช่วยศาสตราจารย์ ดร.ปริญญา	ศรีสัตยกุล	มหาวิทยาลัยเทคโนโลยีราชมงคลกรุงเทพ
ผู้ช่วยศาสตราจารย์ ดร.สุธรรม	ศิวาวัธ	มหาวิทยาลัยเทคโนโลยีราชมงคลกรุงเทพ
ผู้ช่วยศาสตราจารย์ ดร.วัชรินทร์	สิทธิเจริญ	มหาวิทยาลัยเทคโนโลยีราชมงคลล้านนา
ผู้ช่วยศาสตราจารย์ ดร.วรพจน์	ศิริรักษ์	มหาวิทยาลัยเทคโนโลยีราชมงคลล้านนา
ผู้ช่วยศาสตราจารย์พีรวัตร	ลือลัก	มหาวิทยาลัยเทคโนโลยีราชมงคลล้านนา
ผู้ช่วยศาสตราจารย์นทีชัย	ฝัสดี	มหาวิทยาลัยเทคโนโลยีราชมงคลล้านนา



ผู้ช่วยศาสตราจารย์พงศ์กร	สุรินทร์	มหาวิทยาลัยเทคโนโลยีราชมงคลล้านนา
ผู้ช่วยศาสตราจารย์ ดร.ชาติตรี	หอมเขียว	มหาวิทยาลัยเทคโนโลยีราชมงคลศรีวิชัย
ผู้ช่วยศาสตราจารย์ชูโชติ	สนิ	มหาวิทยาลัยเทคโนโลยีราชมงคลศรีวิชัย
ผู้ช่วยศาสตราจารย์ยงยุทธ	ดุลยกุล	มหาวิทยาลัยเทคโนโลยีราชมงคลศรีวิชัย
ผู้ช่วยศาสตราจารย์พงษ์พันธ์	ราชภักดี	มหาวิทยาลัยเทคโนโลยีราชมงคลศรีวิชัย
ผู้ช่วยศาสตราจารย์ชวกร	มุกสถาน	มหาวิทยาลัยเทคโนโลยีราชมงคลศรีวิชัย
ผู้ช่วยศาสตราจารย์ ดร.สุวิทย์	ธรรมแสง	มหาวิทยาลัยเทคโนโลยีราชมงคลอีสาน
ผู้ช่วยศาสตราจารย์ ดร.วุฒิชัย	ลิทธิวิรัช	มหาวิทยาลัยเทคโนโลยีราชมงคลอีสาน
ผู้ช่วยศาสตราจารย์ ดร.ธนาภิญญา	อัครฤทธิ	มหาวิทยาลัยเทคโนโลยีราชมงคลอีสาน
ผู้ช่วยศาสตราจารย์ ดร.สมใจ	บุญหมื่นไวย	มหาวิทยาลัยเทคโนโลยีราชมงคลอีสาน
ผู้ช่วยศาสตราจารย์สุรพจน์	วัชโรภากุล	มหาวิทยาลัยเทคโนโลยีราชมงคลอีสาน
ผู้ช่วยศาสตราจารย์วุฒิชัย	สง่างาม	มหาวิทยาลัยเทคโนโลยีราชมงคลอีสาน
ผู้ช่วยศาสตราจารย์รพีพงษ์	เปี่ยมสุพรรณ	มหาวิทยาลัยเทคโนโลยีราชมงคลอีสาน
ผู้ช่วยศาสตราจารย์ ดร.ระพี	กาญจนะ	มหาวิทยาลัยเทคโนโลยีราชมงคลธัญบุรี
ผู้ช่วยศาสตราจารย์ ดร.กฤษฏาภา	ศุภระมูล	มหาวิทยาลัยราชภัฏวไลยอลงกรณ์ (เพชรบุรีวิทยาเขตกรณ)
ผู้ช่วยศาสตราจารย์ ดร.วีระยุทธ	สุดสมบุรณ์	มหาวิทยาลัยราชภัฏนครศรีธรรมราช
ผู้ช่วยศาสตราจารย์ ดร.นัทธพงศ์	นันทสำเริง	มหาวิทยาลัยราชภัฏอุบลราชธานี
ผู้ช่วยศาสตราจารย์ ดร.กัม	พรประเสริฐ	มหาวิทยาลัยราชภัฏอุบลราชธานี
ผู้ช่วยศาสตราจารย์ ดร.ไวรุจน์	อิมโพ	มหาวิทยาลัยราชภัฏสกลนคร
ผู้ช่วยศาสตราจารย์ ดร.เศรษฐภูมิ	เกาชาวี	มหาวิทยาลัยราชภัฏพระนคร
ผู้ช่วยศาสตราจารย์ ดร.อุดมพงษ์	เกศศิริพงษ์ศา	มหาวิทยาลัยราชภัฏบุรีรัมย์
ผู้ช่วยศาสตราจารย์ ดร.วีระชัย	แสงฉาย	มหาวิทยาลัยราชภัฏสงขลา
ผู้ช่วยศาสตราจารย์ชัยยุทธ	มิ่งาม	มหาวิทยาลัยราชภัฏสงขลา
ผู้ช่วยศาสตราจารย์ศุภชัย	ชัยณรงค์	มหาวิทยาลัยราชภัฏสงขลา
ผู้ช่วยศาสตราจารย์กุลยุทธ	บุญแข็ง	มหาวิทยาลัยราชภัฏสงขลา
อาจารย์ ดร.จรัสวรรณ	โกยวานิช	สถาบันเทคโนโลยีพระจอมเกล้าเจ้าคุณทหาร ลาดกระบัง
อาจารย์ ดร.ธนภุต	โชติภาวิศ	มหาวิทยาลัยสุโขทัยธรรมาธิราช
อาจารย์ ดร.นรา	สมิตถาพงศ์	มหาวิทยาลัยเทคโนโลยีสุรนารี
อาจารย์ ดร.สุริยา	จิรสถิตสิน	มหาวิทยาลัยสงขลานครินทร์
อาจารย์ ดร.กุลภัสร์	ทองแก้ว	มหาวิทยาลัยสงขลานครินทร์
อาจารย์ ดร.วิเรชา	คำจันทร์	มหาวิทยาลัยเกษตรศาสตร์
อาจารย์ ดร.ศักดิ์ดา	คำจันทร์	มหาวิทยาลัยเกษตรศาสตร์
อาจารย์ ดร.ทศพร	จูนิม	มหาวิทยาลัยอุบลราชธานี
อาจารย์ ดร.วาปี	มโนภินเวศ	มหาวิทยาลัยเชียงใหม่
อาจารย์ ดร.สาลิณี	สันติธีรากุล	มหาวิทยาลัยเชียงใหม่
อาจารย์ ดร.ชวิต	บุญมี	มหาวิทยาลัยเชียงใหม่
อาจารย์ ดร.ชุลีพร	ป่าไร่	มหาวิทยาลัยนเรศวร
อาจารย์ ดร.ลิทธิชัย	แซ่เหล่ม	มหาวิทยาลัยศิลปากร
อาจารย์ ดร.นรงค์	วิชามา	มหาวิทยาลัยกาฬสินธุ์
อาจารย์ ดร.อาจารี	แสงเสถียร	มหาวิทยาลัยกาฬสินธุ์
อาจารย์ ดร.โซชา	โฉมเฉลา	มหาวิทยาลัยนครพนม

สารบัญ (ต่อ)

	หน้า
MSA113	773
MSA115	779
MSA116	786
MSA117	798
MSA118	804
MSA119	811
MSA120	819
MSA121	825
MSA122	830
MSA123	835
MSA124	841
MSA125	846
MSA126	852





รหัสบทความ MSA-126

การพัฒนาความเป็นฉนวนกันเสียงและสมบัติการหน่วงการติดไฟของเอทิลีนไวนิลแอซิเตด
DEVELOPMENT OF SOUND INSULATION AND
FLAME RETARDANT PROPERTIES FOR ETHYLENE VINYL ACETATE (EVA)

خممหมหม หมหมหมหม^{1*} และหมหมหมหม หมหมหมหมหม²

^{1,2} ภาควิชาวิศวกรรมวัสดุและโลหการ คณะวิศวกรรมศาสตร์ มหาวิทยาลัยเทคโนโลยีราชมงคลธัญบุรี
E-mail: Khammathat_k@mail.rmutt.ac.th*

Khammathat Khiewwan^{1*} and Chuntip Sakulkaemruethai²

^{1,2} Department of Materials and Metallurgical Engineering, Faculty of Engineering,
Rajamangala University of Technology Thunyaburi
E-mail: Khammathat_k@mail.rmutt.ac.th*

บทคัดย่อ

งานวิจัยนี้มีวัตถุประสงค์เพื่อจะพัฒนาสมบัติฉนวนกันเสียง และสมบัติต้านทานการติดไฟ โดยใช้พลาสติกเอทิลีนไวนิลอะซิเตดผสมกับยางธรรมชาติ ผสมในอัตราส่วน 30:70,50:50 และ 70:30 phr ใช้สารเติมแต่งซิลิกาในปริมาณ 10,20 และ 30 phr เบนโทไนต์ในปริมาณ 10,30 และ 50 phr เพื่อหาอัตราส่วนที่เหมาะสม ใช้เทคนิคการผสมด้วยเครื่องผสมสองลูกกลิ้งที่อุณหภูมิ 135 องศาเซลเซียส แล้วนำไปขึ้นรูปด้วยเครื่องอัดขึ้นรูปที่อุณหภูมิ 130 องศาเซลเซียส และนำไปทดสอบสมบัติทางกายภาพ ทดสอบสมบัติเชิงกล ทดสอบสมบัติทางเสียง และสมบัติต้านทานการติดไฟ จากผลการทดสอบพบว่ายางธรรมชาติผสมเอทิลีนไวนิลแอซิเตดที่มีการผสมซิลิกา EVA/NR/Silica 70/30/20 มีสัมประสิทธิ์การกันเสียงที่ดีที่สุด และยางธรรมชาติผสมเอทิลีนไวนิลแอซิเตดที่มีการเติมสารหน่วงไฟเบนโทไนต์ EVA/NR/B 70/30/30 มีสัมประสิทธิ์การต้านทานการติดไฟที่ดีที่สุด

คำสำคัญ : ฉนวนกันเสียงและการต้านทานการติดไฟ, พลาสติกเอทิลีนไวนิลอะซิเตด, ยางธรรมชาติ, ซิลิกา, เบนโทไนต์

Abstract

The research aims to develop sound insulation properties and flammable properties using ethylene vinyl acetate plastic mixed with natural rubber. Mixed in a ratio of 30:70,50:50 and 70:30 phr, use silica additives in amounts of 10,20 and 30 phr. Bentonite in doses 10,30 and 50 phr to find the right ratio. Use the technique of mixing with a two-roller mixer at 135 °C and forming it with an extruder at 130 °C and test the physical properties. Mechanical Treasure Test The test results showed that natural rubber mixed with ethylene vinyl acetate with EVA/NR/Silica 70/30/20 with the best sound retardant coefficient and natural rubber mixing ethylene vinyl acetate with EVA/NR/B flame retardant 70/30/30.

Keywords : Sound insulation and Flame retardant, Ethylene vinyl acetate, Natural rubber, silica, Bentonite



1. บทนำ

เนื่องจากปัจจุบันปัญหาเรื่องเสียงรบกวนจากภายนอกที่เล็ดลอดเข้ามาในห้องโดยสาร ไม่ว่าจะเป็นเสียงลม เสียงยาง เสียงเครื่องยนต์ ฯลฯ มักเป็นปัญหาที่สร้างความรำคาญให้ผู้ขับขี่เป็นอย่างมาก สาเหตุอาจเกิดจากขอบยางประตูที่เสื่อมสภาพ แต่แท้จริงแล้วอาจเป็นการลดต้นทุนของผู้ผลิต ทำให้มีเสียงเล็ดลอดเข้ามาได้มาก ทำให้เกิดเสียงรบกวนในขณะขับขี่ ซึ่งอาจทำให้เกิดอุบัติเหตุได้[1] จึงได้มีการคิดค้นแผ่นดูดซับเสียงที่ทำมาจากยางมอดย เพื่อช่วยในการลดเสียงที่เข้ามาในห้องโดยสาร ชื่อว่าแผ่นแคมป์ ซึ่งมีสมบัติในการดูดซับเสียง ลดการสั่นสะเทือนของพื้นผิวซึ่งเป็นที่มาของการเกิดเสียงอย่างไรก็ตาม แผ่นแคมป์ก็ยังมีข้อเสียคือ การทนต่อความร้อนสูงๆได้ไม่เกิดการหลอมละลายไว ส่งผลให้รูปร่างของแผ่นแคมป์เปลี่ยนไปเมื่อแผ่นแคมป์เกิดการละลายจะปล่อยสารคาร์บอนไดออกไซด์ออกมาทำให้เกิดกลิ่นเหม็นในรถยนต์ส่งผลให้เกิดมลพิษภายในรถยนต์[2]

ผู้ทำวิจัยได้เล็งเห็นถึงความสำคัญของปัญหานี้จึงได้มีการพัฒนาฉนวนกันเสียงที่ทำมาจากเอทิลีนไวนิลอะซิเตท (Ethylene vinyl acetate ; EVA) นิยมนำมาผลิตเป็นแผ่นฝ้าเพดานและผนังดูดซับเสียงมาปรับใช้ในอุตสาหกรรมรถยนต์ และใช้อย่างธรรมชาติมาผสมเพื่อช่วยในการผสมสารเคมีได้ง่ายขึ้น รวมถึงเพิ่มมูลค่าของยางธรรมชาติ โดยใช้ซิลิกา (Silica) ซึ่งเป็นสารเติมแต่งจำพวกสารเสริมแรงที่ทำให้วัสดุมีความแข็งแรงขึ้น เมื่อวัสดุมีความแข็งแรงขึ้นสมบัติการกันเสียงก็จะยิ่งมากขึ้น และใช้สารหน่วงไฟ เบนโทไนต์ (Bentonite) เป็นวัสดุกลุ่มนาโนเคลย์ที่ใช้สารในกลุ่มนี้เพราะไม่ปล่อยสารพิษออกมาเมื่อเกิดการเผาไหม้ลดสมบัติการติดไฟและเพิ่มอุณหภูมิเสื่อมสลายของพอลิเมอร์

ดังนั้นในการทำวิจัยมีวัตถุประสงค์เพื่อจะพัฒนาสมบัติฉนวนกันเสียง และสมบัติต้านทานการติดไฟ โดยใช้พลาสติกเอทิลีนไวนิลอะซิเตทผสมกับยางธรรมชาติ และใช้สารเติมแต่งซิลิกาและเบนโทไนต์

2. วิธีดำเนินการวิจัย

2.1 วัสดุสารเคมีที่ใช้ในการทดลอง

ในงานวิจัยนี้ใช้วัสดุสารเคมี ซิลิกา (Silica) ของบริษัท นิคอนเตอร์เคท จำกัด, สารหน่วงไฟเบนโทไนต์ (Bentonite) เกรด SCA-1 บริษัท THAI NIPPON CHEMICAL INDUSTRY CO.,LTD. ยางธรรมชาติ (Natural Rubber; NR) เกรด STR 5L ของบริษัทไทยอ้อยางพารา ประเทศไทย จำกัด (มหาชน) และเม็ดพลาสติกเอทิลีนไวนิล

อะซิเตท (Ethylene Vinyl Acetate) เกรด N8038 บริษัท ทีพีโอ โพลีน จำกัด (มหาชน) ได้รับความอนุเคราะห์จาก บริษัทยูนิโปรแมเนจเมนท์ จำกัด

2.2 ตารางสูตร

ตารางที่ 1 แสดงสูตรที่ใช้ทดลองที่เติมซิลิกา

วัสดุ EVA : NR	Silica (phr)			
70 : 30				
50 : 50	0	10	20	30
30 : 70				

ตารางที่ 2 แสดงสูตรที่ใช้ทดลองที่เติมเบนโทไนต์

วัสดุ EVA : NR	Bentonite (phr)			
70 : 30				
50 : 50	0	10	30	50
30 : 70				

2.3 ขั้นตอนการขึ้นรูปชิ้นงาน

ใช้เครื่องบดผสมสองลูกกลิ้ง (Two Roll Mill) ในการผสมเม็ดพลาสติก ยางธรรมชาติ และสารเคมีให้เข้ากันใช้อุนหภูมิ 130 องศาเซลเซียส ในการผสม หลังจากผสมเสร็จแล้วนำไปขึ้นรูปด้วยเครื่องอัดขึ้นรูป (Compression Molding) ใช้เวลาในการอัดขึ้นรูป 3 นาที แล้วนำไป Cooling ต่อกัน 3 นาที แล้วจะได้ชิ้นงานออกมาชิ้นงานที่ได้จะมีความหนา 3 mm. กว้าง 20 cm. ยาว 20 cm.

2.4 การทดสอบสมบัติ

ในขั้นตอนการทดสอบนำพอลิเมอร์ผสมที่ไม่ได้ใส่สารเคมีมาทดสอบสมบัติต่างๆ เปรียบเทียบกับพอลิเมอร์ผสมที่ใส่สารเคมี โดยทำการทดสอบสมบัติต่างๆ ได้แก่ ทดสอบการทดสอบสมบัติทางเสียง มาตรฐาน ASTM E1050 ทดสอบการลามไฟ มาตรฐาน UL94 ทดสอบความแข็งโดยเครื่อง Durometer (Shore A) ทดสอบความถ่วงจำเพาะ (Specific gravity) มาตรฐาน ASTM D792

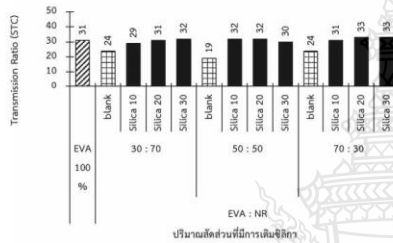
3. ผลการวิจัย

3.1 ทดสอบสมบัติทางเสียง

สมมุติว่าการกันเสียงมีค่าที่ 40 หมายความว่าค่าคลื่นความถี่นั้นถ้าปล่อยเสียงออกมา 100 dB จะถูกกันไว้ 40 และ



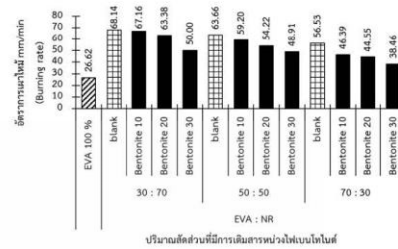
ผ่านไป 60 dB ซึ่งในการวัดค่าการกั้นเสียงในโรงงานอุตสาหกรรมที่ผลิตฉนวน จะมีการนำค่าในช่วงความถี่ต่างๆ มาคำนวณหาค่า STC (Sound transmission Class) คือ ค่าสัมประสิทธิ์การส่งผ่านของเสียงในช่วงคลื่นความถี่ตั้งแต่ 125-4000 Hz โดย รูปที่ 1 แสดงให้เห็นว่าเมื่อเปรียบเทียบกับ EVA กับ EVA ผสมยางธรรมชาติที่ไม่มีการเติมซิลิกา จะเห็นได้ว่า EVA มีค่า STC สูงกว่า แต่เมื่อเติมซิลิกาเข้าไปใน EVA ผสมยางธรรมชาติ พบว่ามีค่า STC สูงขึ้น แสดงว่าการเติมซิลิกาใน EVA ผสมยางธรรมชาติส่งผลต่อการกั้นเสียงที่เพิ่มขึ้น โดย EVA/NR/Silica 70/30/20 มีสัมประสิทธิ์การกั้นเสียงที่ดีที่สุด



รูปที่ 1 แสดงค่า Sound Transmission Loss (dB) ของวัสดุที่มีการเติมซิลิกา

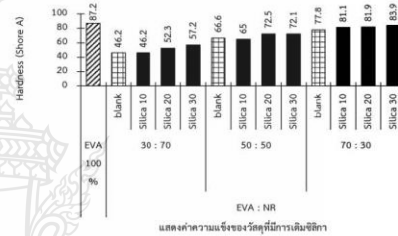
3.2. ทดสอบการลามไฟ

จาก รูปที่ 2 พบว่า EVA มีอัตราเร็วของการเผาไหม้ผ่านมาตรฐาน UL94 แบบ HB test แต่เมื่อ EVA ผสมกับยางธรรมชาติมีอัตราเร็วของการเผาไหม้ไม่ผ่านมาตรฐาน UL94 แบบ HB test เนื่องจากยางธรรมชาติมีความว่องไวต่อการเผาไหม้ โดยเมื่อเติมสารหน่วงไฟ Bentonite เข้าไป จะเห็นได้ว่ามีอัตราเร็วของการเผาไหม้ลดลงอย่างเห็นได้ชัด ในอัตราส่วนของยางธรรมชาติที่น้อยกว่า EVA เนื่องจาก เบนโทไนต์ เป็นวัสดุประเภทนาโนเคลย์ที่ทนต่ออุณหภูมิได้สูง เมื่อเกิดการเผาไหม้จะเกิดเขม่าปกคลุมบริเวณที่เกิดการลุกไหม้ทำให้ออกซิเจนไม่สามารถเข้าไปได้เลยส่งผลทำให้อัตราเร็วในการเผาไหม้ลดลงและช่วยเพิ่มความทนทานต่อความร้อน [3] โดยอัตราส่วน 70/30/30 มีอัตราเร็วในการเผาไหม้ที่ดีที่สุด



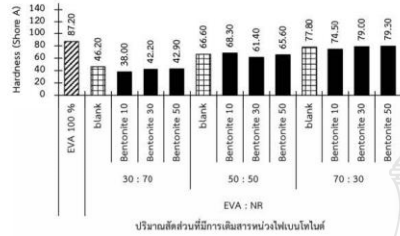
รูปที่ 2 แสดงค่าการทดสอบอัตราเร็วของการเผาไหม้ (Horizontal Burning Test)

3.3 ทดสอบความแข็ง



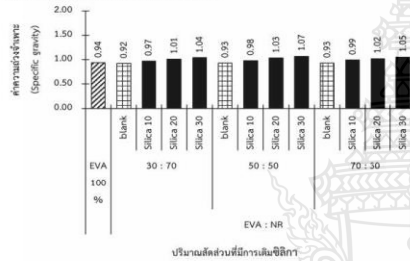
รูปที่ 3 แสดงค่าความแข็งของวัสดุที่มีการเติมซิลิกา

จาก รูปที่ 3 เมื่อเปรียบเทียบค่าความแข็งของ EVA และ EVA ผสมยางธรรมชาติที่ไม่มีการเติมซิลิกา จะเห็นได้ว่า EVA มีค่าความแข็งสูงกว่า แต่เมื่อเติมซิลิกาเข้าไปใน EVA ผสมยางธรรมชาติ พบว่าในอัตราส่วนที่มียางธรรมชาติ 70% มีค่าความแข็งน้อยกว่าอัตราส่วนยางธรรมชาติ 30% เพราะยางธรรมชาติมีความนิ่มและยืดหยุ่นทำให้มีค่าความแข็งลดลง รูปที่ 4 เป็นการเติมสารหน่วงไฟ เบนโทไนต์ จะเห็นได้ว่า EVA ผสมยางธรรมชาติในอัตราส่วนที่มียางธรรมชาติ 70% มีค่าความแข็งน้อยกว่าอัตราส่วนยางธรรมชาติ 30% เพราะยางธรรมชาติมีความนิ่มและยืดหยุ่น โดยยางธรรมชาติช่วยให้เติมสาร เบนโทไนต์ ได้ง่ายขึ้น เนื่องจาก เบนโทไนต์ เป็นนาโนเคลย์ที่เป็นดินชนิดหนึ่ง จึงทำให้มีค่าความแข็งลดลงเมื่อเปรียบเทียบกับ EVA และ EVA ผสมยางธรรมชาติที่ไม่มีการเติม เบนโทไนต์



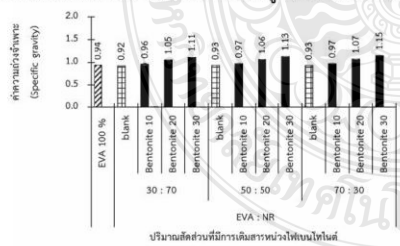
รูปที่ 4 แสดงค่าความแข็งของวัสดุที่มีการเติมเบนโทไนต์

3.3 ทดสอบความถ่วงจำเพาะ



รูปที่ 5 แสดงค่าความถ่วงจำเพาะของวัสดุที่มีการเติมซิลิกา

จาก รูปที่ 5,6 แสดงให้เห็นว่า EVA กับ EVA ผสมยางธรรมชาติที่ไม่มีการเติมสารเติมแต่งมีค่าความถ่วงจำเพาะที่ใกล้เคียงกัน โดย รูปที่ 5 เป็นการเติมซิลิกาเข้าไปใน EVA ผสมยางธรรมชาติ พบว่ามีค่าความถ่วงจำเพาะที่สูงขึ้นเมื่อเปรียบเทียบกับ EVA และ EVA ผสมยางธรรมชาติที่ไม่มีการเติมสารเติมแต่ง ใน รูปที่ 6 เป็นการเติมสารหน่วงไฟ Bentonite จะเห็นได้ว่าในปริมาณของ เบนโทไนต์ ที่สูงขึ้นส่งผลทำให้ค่าความถ่วงจำเพาะสูงขึ้นด้วยเช่นกัน



รูปที่ 6 แสดงค่าความถ่วงจำเพาะของวัสดุที่มีการเติมเบนโทไนต์

4. อภิปรายผล

ผลการวิจัยความเป็นฉนวนกันเสียง สอดคล้องกับ Yang H. และคณะ [5] และ Ardanuy M. และคณะ [6] ที่ได้ทำการศึกษาสมบัติทางเสียงของวัสดุ พบว่าความหนาแน่นที่เพิ่มขึ้นส่งผลให้ค่าการกั้นเสียง (STC) สูงขึ้น แต่บทความของ วิฑิต วรณเลิศลักษณ์ (2560) [7] ได้ระบุว่าเมื่อวัสดุมีความแข็งที่เพิ่มขึ้น จะส่งผลให้สามารถกั้นเสียงได้ดีขึ้น ทำให้ไม่สอดคล้องกับสมมติฐานที่ตั้งไว้ เนื่องจากในงานวิจัยนี้มีผลการทดสอบที่อัตราส่วน EVA 30/NR 70/Silica 30 มีความแข็งอยู่ที่ 57.2 มีค่า STC อยู่ที่ 32 แต่อัตราส่วน EVA 70/NR 30/Silica 30 มีความแข็งอยู่ที่ 83.9 มีค่า STC อยู่ที่ 33 จึงสรุปผลได้ว่าอัตราส่วนที่มีค่าความแข็งที่ต่ำก็สามารถกั้นเสียงได้ดี และผลการวิจัยการต้านทานการติดไฟ สอดคล้องกับ เกียรติศักดิ์ ทองสม [3] ที่ใช้เบนโทไนต์เป็นสารหน่วงไฟในยางธรรมชาติ โดยเมื่อเติมสารหน่วงไฟเบนโทไนต์เข้าไป จะเห็นได้ว่ามีอัตราเร็วของการเผาไหม้ลดลงอย่างเห็นได้ชัด เนื่องจากเบนโทไนต์เป็นวัสดุประเภทนาโนเคลย์ที่ทนต่ออุณหภูมิได้สูง เมื่อเกิดการเผาไหม้จะเกิดเขม่าปกคลุมบริเวณที่เกิดการลุกไหม้ทำให้ออกซิเจนไม่สามารถเข้าไปได้ ส่งผลผลทำให้อัตราเร็วในการเผาไหม้ลดลงและช่วยเพิ่มความทนทานต่อความร้อน

5. สรุป

จากการพัฒนาสมบัติความเป็นฉนวนกันเสียงและการต้านทานการติดไฟของ EVA และ EVA ผสมยางธรรมชาติที่มีการเติมสารเติมแต่ง (ซิลิกาและเบนโทไนต์) พบว่าการเติมซิลิกาที่ปริมาณมากขึ้นมีผลกับความหนาแน่นและความแข็งที่สูงขึ้น ส่งผลต่อสมบัติทางเสียงที่สูงขึ้น โดย EVA/NR/Silica 70/30/20 มีสัมประสิทธิ์การกั้นเสียงที่ดีที่สุด แต่ EVA ผสมยางธรรมชาติที่ไม่มีการเติมสารเติมแต่งพบว่าไม่ผลทำให้ความหนาแน่นและความแข็งลดลงเมื่อเปรียบเทียบกับ EVA ส่งผลทำให้สมบัติทางเสียงลดลง และการเติมเบนโทไนต์พบว่า EVA ผสมกับยางธรรมชาติมีอัตราเร็วของการเผาไหม้ไม่ผ่านมาตรฐาน UL94 แบบ HB test เนื่องจากยางธรรมชาติมีความว่องไวต่อการเผาไหม้ โดยเมื่อเติมสารหน่วงไฟ Bentonite เข้าไป จะเห็นได้ว่ามีอัตราเร็วของการเผาไหม้ลดลงอย่างเห็นได้ชัด โดยอัตราส่วน 70/30/30 มีอัตราเร็วในการเผาไหม้ที่ดีที่สุด



6. กิตติกรรมประกาศ

งานวิจัยนี้ได้รับการสนับสนุนจากสำนักงานคณะกรรมการส่งเสริมวิทยาศาสตร์ วิจัยและนวัตกรรม (สกสว.) ได้รับความอนุเคราะห์วัสดุที่ใช้ในการทดลองจาก บริษัท ยูนิโปรแมนูแฟคเจอร์ จำกัด และความอนุเคราะห์ในการใช้เครื่องมือทดสอบจากมหาวิทยาลัยเทคโนโลยีราชมงคลธัญบุรี

7. เอกสารอ้างอิง

- [1] สาวิตรี ชัยรัตน์, “ปัจจัยที่เกี่ยวข้องและผลกระทบต่อสุขภาพจากการเปลี่ยนระดับความสามารถในการได้ยินมาตรฐาน”, วิทยาศาสตร์ สาขาวิชาชีวเวชศาสตร์, (2255).
- [2] POWERSOUND, ข้อมูลจาก <https://www.powersoundv9.com/tips/74-damp.html> (วันที่สืบค้นข้อมูล 8 มิถุนายน 2561)
- [3] เกียรติศักดิ์ ทองสม และ ฉันทิเทพ สกุลขมุขทัย, ผลของการเติมเบนโทโนซ์ต่อสมบัติของยางธรรมชาติ ; พฤติกรรมการคงรูป สมบัติเชิงกล และความต้านทานต่อการติดไฟ, The TNI Academic Conference 2017 ครั้งที่ 4 ภายใต้หัวข้อ “การจัดการวิจัยเชิงนวัตกรรมเพื่อขับเคลื่อนประเทศไทย 4.0”, 19 พฤษภาคม 2560, สถาบันเทคโนโลยีไทย-ญี่ปุ่น, กรุงเทพฯ, หน้า 37-42.
- [4] Yang H., Kim, D. and Kim, H., 2003, “Rice Straw-Wood Particle Composite for Sound Absorbing Wooden Construction Materials”, Bioresource Technology, Vol. 86(2), pp. 117-121.
- [5] Ardanuy, M., Claramunt, J. and Filho, R., 2015, “Cellulosic Fiber Reinforced Cement-Based Composites: A Review of Recent Research”, Construction and Building Materials, Vol. 79(15), pp. 115-128.
- [6] วิหิต วรรณเลิศลักษณ์, “ฟิล์มสรอบตัว ตอน อนุวณกันเสียง”, คลังความรู้ SciMath, พูธ 14 มิถุนายน 2560.
- [7] พงษ์ธร แสงอุย. (2550), “การใช้ซิลิกาเป็นสารตัวเติมในยาง”, วิทยาศาสตร์และเทคโนโลยีวารสารเพื่อการพัฒนาของอุตสาหกรรม ไทย, 1(2), 30-38

ประวัติผู้เขียน

ชื่อ-สกุล	นายเขมทัต เขียวหวาน
วัน เดือน ปี	8 ธันวาคม 2538
ที่อยู่	11 ม.4 ต.บางพระ อ.ปากพนัง จ.นครศรีธรรมราช 80140
การศึกษา	ปริญญาตรี วิศวกรรมศาสตรบัณฑิต (วิศวกรรมพอลิเมอร์) สถาบันเทคโนโลยีราชมงคล ปีการศึกษา 2536
ประสบการณ์การทำงาน	-
เบอร์โทรศัพท์	062-0873451
อีเมล	khammathat318@gmail.com

